

UNIVERSIDADE ESTADUAL DE CAMPINAS
INSTITUTO DE QUÍMICA

ESTE EXEMPLAR CORRESPONDE A REDAÇÃO FINAL DA TESE DEFENDIDA POR
ERNANI ABICHT BASSO E APROVADO PELA COMISSÃO JULGADORA

Campinas, de dezembro de 1991

Rob L. Rith. L.

Prof. Dr. Roberto Rittner Neto

ESTUDOS DE R.M.N. DE ^1H E DE ^{13}C DE
CICLOEXANONAS α -HETEROSSUBSTITUÍDAS

ERNANI ABICHT BASSO

TESE DE DOUTORADO

PROF. DR. ROBERTO RITTNER NETO

ORIENTADOR

CAMPINAS - SP

1991

Aos meus pais e irmãs,
por todo apoio, compreensão
e constante incentivo.
Dedico esta tese.

AGRADECIMENTOS

- Ao Prof. Dr. Roberto Rittner Neto pela orientação, amizade e constante apoio.
- Ao Prof. Dr. Joseph Lambert pela utilização de seu laboratório durante a aquisição dos espectros.
- Ao amigo Carlos Kaiser pela parceria e colaboração.
- Aos colegas Milton, José Eduardo, Raquel, Ana Lúcia, Catarina, Expedito, Luciane, Paulo, Viviane e em especial ao Paulo Sérgio pela colaboração prestada.
- Aos colegas e amigos do Instituto de Química pelo bom relacionamento.
- Ao Departamento de Química da U.E.M. pelo apoio, em especial ao William pela amizade e dedicação na execução dos gráficos.
- À Rô, pelo constante incentivo durante a redação desta tese.
- Ao Conselho Nacional de Desenvolvimento Científico e Tecnológico (CNPq) pelas bolsas (Brasil e E.U.A.) e auxílios concedidos.
- À Fundação de Amparo à Pesquisa do Estado de São Paulo (FAPESP) pelos auxílios concedidos.

ÍNDICE

	Página
- RESUMO.....	xv
- ABSTRACT.....	xvii
- ABREVIACÕES.....	xix
- INTRODUÇÃO E OBJETIVOS.....	01

C A P I T U L O 1

REVISÃO BIBLIOGRÁFICA

1.1. Introdução.....	05
1.2. Estrutura Molecular da Cicloexanona.....	06
1.3. Efeitos Envolvidos no Equilíbrio Conformatacional de Cicloexanonas 2-Monossubstituídas.....	07
1.4. Determinação do Equilíbrio Conformatacional de Cicloexanonas 2-Monossubstituídas.....	11
1.5. Efeitos dos Substituintes nos Deslocamentos Químicos de Carbono-13.....	16
1.5.1. Deslocamento Químico e Constante de Blindagem Nuclear.....	16
1.5.2. Efeitos Diamagnéticos e Paramagnéticos.....	17
1.5.3. Outros Efeitos.....	20
1.5.4. Efeitos Empíricos dos Substituintes.....	25
1.5.4.1. Efeito α	25
1.5.4.2. Efeito β	28
1.5.4.3. Efeito γ	30
1.5.4.4. Efeito δ	33

C A P I T U L O 2

APRESENTAÇÃO E DISCUSSÃO DOS RESULTADOS

2.1. Síntese dos Compostos.....	35
2.1.1. Cicloexanonas 2-Monossubstituídas.....	35
2.1.2. 4- <i>t</i> -Butilcicloexanonas 2-Monossubstituídas...	40
2.2. Determinação dos Espectros de R.M.N.....	45
2.2.1. Espectros de r.m.n. de ^1H	45
2.2.2. Espectros de r.m.n. de ^{13}C	49
2.2.3. Espectros de r.m.n. de ^{17}O	50
2.3. Atribuição dos Sinais nos Espectros de R.M.N.....	50
2.3.1. Espectros de r.m.n. de ^1H	50
2.3.1.1. Análise Conformatacional por r.m.n. de ^1H	71
2.3.2. Espectros de r.m.n. de ^{13}C	79
2.3.2.1. Efeitos Empíricos dos Substituintes.	85
2.3.2.2. Cálculos Empíricos dos Deslocamentos Químicos de Carbono-13.....	95
2.3.2.3. Determinação do Equilíbrio Conformato- cial por r.m.n. de ^{13}C a Temperatu- ra Ambiente.....	100
2.3.2.4. Determinação do Equilíbrio Conformato- cial por r.m.n. de ^{13}C a Baixas Temperaturas.....	103
2.3.3. Espectros de r.m.n. de ^{17}O	109
2.4. Conclusões.....	113

C A P I T U L O 3

PARTE EXPERIMENTAL

3.1. Instrumentação.....	116
3.2. Espectros de R.M.N.....	116
3.2.1. Espectros de r.m.n. de ^1H	116
3.2.2. Espectros de r.m.n. de ^{13}C	116
3.2.3. Espectros de r.m.n. de ^{13}C a Baixas Temperaturas.....	117
3.2.4. Espectros de r.m.n. de ^{17}O	118
3.2.5. Espectros de r.m.n. em Duas Dimensões.....	119
3.3. Solventes.....	119
3.4. Preparação das Amostras.....	120
3.5. Compostos Sintetizados e/ou Purificados.....	120
3.5.1. Reações de Epimerização.....	144
- REFERÊNCIAS BIBLIOGRÁFICAS.....	147
- APÊNDICES.....	156

ÍNDICE DE ESQUEMAS

	Página
Esquema 1 - Compostos sintetizados e/ou purificados.....	36
Esquema 2 - Rota sintética para obtenção da <u>cis</u> (17e) e <u>trans</u> -4- <u>t</u> -butil-2-metoxicicloexanona (17a)...	42
Esquema 3 - Rota sintética para obtenção da <u>cis</u> (21e) e <u>trans</u> -4- <u>t</u> -butil-2-metilcicloexanona (21a)....	43
Esquema 4 - Rota sintética para obtenção da <u>cis</u> ,4- <u>t</u> -butil- -2-fluorcicloexanona (13e).....	43
Esquema 5 - Rota sintética para obtenção da <u>cis</u> e <u>trans</u> - -4- <u>t</u> -butil-2-trimetilsililcicloexanona (37)..	44

ÍNDICE DE FIGURAS

	Página
Figura 1 - Equilíbrio conformacional de cicloexanonas α -monossubstituídas.....	08
Figura 2 - Formas de ressonância de uma α -bromocetona...	08
Figura 3 - Forma hiperconjugativa de estabilização do <u>ha</u> logênio axial.....	09
Figura 4 - Interações $n_F \leftrightarrow \pi^*_{CO}$, na 2-fluorcicloexanona...	10
Figura 5 - Diastereoisômeros <u>trans</u> e <u>cis</u> de 4- <u>t</u> -butilci- cloexanonas 2-monossubstituídas.....	12
Figura 6 - Gráfico da densidade eletrônica π de siste- mas aromáticos de 6 elétrons π versus desloca- mento químico de ^{13}C (δ_C).....	19
Figura 7 - Gráfico de deslocamento químico de ^{13}C $\delta_{^{13}C}$, do carbono <u>para</u> de benzenos monossubstituídos versus o parâmetro de Hammett σ_p^+	24
Figura 8 - Caracterização do efeito do substituinte.....	25
Figura 9 - Transferência de carga hiperconjugativa de <u>pa</u> res de elétrons livres de um átomo X para um carbono γ -trans.....	32
Figura 10 - Orientação de um susbstituinte Z e equilíbrio Conformacional em cicloexanonas 2-monossusti- tuidas.....	47

Figura 11 - 4- <u>t</u> -butilcicloexanonas 2-monossubstituídas....	48
Figura 12 - Acoplamentos em 4- <u>t</u> -butilcicloexanonas 2-mo- nossubstituídas.....	55
Figura 13 - Espectro de correlação heteronuclear (^{13}C x ^1H) da 2-metilcicloexanona (<u>10</u>).....	56
Figura 14 - Espectros de prótons ligados a cada carbono da 2-metilcicloexanona (<u>10</u>).....	57
Figura 15 - Espectros de r.m.n. de ^{13}C da <u>cis</u> (<u>21e</u>) e <u>trans</u> -4- <u>t</u> -butilcicloexanona (<u>21a</u>).....	58
Figura 16 - Espectro da correlação heteronuclear (^{13}C x ^1H) da <u>cis</u> (<u>21e</u>) e <u>trans</u> -4- <u>t</u> -butil-2-metilcicloexa- nona (<u>21a</u>).....	59
Figura 17 - Espectros dos prótons ligados a cada carbono na <u>cis</u> (<u>21e</u>) e <u>trans</u> -4- <u>t</u> -butil-2-metilcicloexa- nona (<u>21a</u>).....	60
Figura 18 - Espectro de correlação homonuclear (^1H x ^1H) da <u>cis</u> (<u>21e</u>) e <u>trans</u> -4- <u>t</u> -butil-2-metilcicloexa- nona (<u>21a</u>).....	62
Figura 19 - Espectro de correlação heteronuclear (^{13}C x ^1H) da 2- <u>t</u> -butilcicloexanona (<u>11</u>).....	64
Figura 20 - Espectros dos prótons ligados a cada carbono na 2- <u>t</u> -butilcicloexanona (<u>11</u>).....	65

Figura 21 - Espectro de correlação heteronuclear (^{13}C x ^1H) da <u>cis</u> , <u>2,4-di-t-butilcicloexanona</u> (22e).....	67
Figura 22 - Espectros dos prótons ligados a cada carbono na <u>cis</u> , <u>2,4-di-t-butilcicloexanona</u> (22e).....	68
Figura 23 - Espectro de correlação heteronuclear (^{13}C x ^1H) da <u>cis</u> (22e) e <u>trans-2,4-di-t-butilcicloexano</u> na (22a).....	69
Figura 24 - Espectros dos prótons ligados a cada carbono na <u>cis</u> (22e) e <u>trans-2,4-di-t-butilcicloexano</u> na (22a).....	70
Figura 25 - Espectro dos prótons ligados a cada carbono na <u>cis</u> (22e) e <u>trans-4-t-butil-2-N,N,dimetilaminocicloexanona</u> (22a).....	75
Figura 26 - Acoplamento do próton H-2 da <u>cis</u> -2-bromo-4- <u>t</u> -butilcicloexanona.....	77
Figura 27 - Correlação entre o efeito α em 4- <u>t</u> -butilcicloexanonas-2-monossubstituídas e <u>trans</u> -3-decalonas-4-monossubstituídas.....	86
Figura 28 - Correlação entre o efeito β em 4- <u>t</u> -butilcicloexanonas-2-monossubstituídas e <u>trans</u> -3-decalonas-4-monossubstituídas.....	86
Figura 29 - Correlação entre o efeito γ em 4- <u>t</u> -butilcicloexanonas-2-monossubstituídas e <u>trans</u> -3-decalonas-4-monossubstituídas.....	87

Figura 30 - Correlação entre o efeito β' em 4- <u>t</u> -butilcicloexanonas-2-monossubstituídas e <u>trans</u> -3-decalo- nas-4-monossubstituídas.....	87
Figura 31 - Correlação entre o efeito γ' em 4- <u>t</u> -butilcicloexanonas-2-monossubstituídas e <u>trans</u> -3-decalo- nas-4-monossubstituídas.....	88
Figura 32 - Estruturas canônicas do grupo carbonila.....	90
Figura 33 - Gráfico do efeito α <u>vs</u> , eletronegatividade de grupos (σ_2), para algumas cicloexanonas e 4- - <u>t</u> -butilcicloexanonas α -monossubstituídas...	92
Figura 34 - Conformações <u>cis</u> e <u>gauche</u> em Cicloexanonas e Propanonas α -heterossubstituídas.....	99
Figura 35 - Espectros de R.M.N. de ^{13}C da 2, <u>N,N</u> -dimetila- minocicloexanona à baixas temperaturas.....	105
Figura 36 - Espectros de R.M.N. de ^{13}C (100 MHz) da 2, <u>N</u> , <u>N</u> ,dimetilaminocicloexanona (9) à temperaturas abaixo da de Coalescência em diferentes sol- ventes.....	106
Figura 37 - Confronto entre os deslocamentos químicos de ^{17}O e ^{13}C de aldeídos e cetonas alifáticos...	109
Figura 38 - Confronto entre os deslocamentos químicos de ^{17}O e ^{13}C de algumas cicloexanonas 2-monossu- bstituidas.....	112

ÍNDICE DE TABELAS

	Página
Tabela 1 - Dados de Geometria do Cicloexano e Cicloexanona.....	06
Tabela 2 - Percentual de Conformero com Substituinte Axial, determinado por Ressonância Magnética Nuclear (R.M.N.), Infravermelho (IV), Ultravioleta (UV) e Momento de Dipolo (μ) em 2-Halicicloexanonas.....	14
Tabela 3 - Eletronegatividade de Pauling (Ep) e Deslocamento Químico do Carbono Alfa (δ_{CH_2}) de Eta nos, quando Trocamos um Hidrogênio por Halogênio.....	21
Tabela 4 - Efeitos Empíricos dos Substituintes em Alcanos Monossubstituídos Lineares e Ramificados.	26
Tabela 5 - Efeitos de Substituintes Axiais e Equatoriais em Cicloexanos Monossubstituídos.....	29
Tabela 6 - Efeitos Médios dos Substituintes em Cicloexanos Monossubstituídos.....	30
Tabela 7 - Efeitos dos Substituintes em Norbornanos 2-Monossubstituídos.....	31
Tabela 8 - Rendimentos e Propriedades Físicas de Algumas Cicloexanonas 2-Monossubstituídas.....	39

Tabela 9 - Rendimentos e Propriedades Físicas de Algumas 4- <u>t</u> -butilcicloexanonas 2-Monossubstituídas...	46
Tabela 10 - Deslocamentos Químicos de ^1H e Constantes de Acoplamento em Cicloexanonas 2-Monossubstituí- das.....	52
Tabela 11 - Deslocamentos Químicos de ^1H e Constantes de Acoplamento em 4- <u>t</u> -Butilcicloexanonas 2-Monos- substituídas.....	54
Tabela 12 - Deslocamentos Químicos de Hidrogênio-1 e Car- bono-13 da 2-Metilcicloexanona e seus Deriva- dos.....	63
Tabela 13 - Deslocamentos Químicos de Hidrogênio-1 e Car- bono-13 da 2- <u>t</u> -Butilcicloexanona e seus Deri- vados 4- <u>t</u> -Butílicos.....	66
Tabela 14 - Percentual do Conformero com Substituinte Axial em Cicloexanonas 2-Monossubstituídas por R.M. N. de ^1H a 20°C.....	72
Tabela 15 - Percentual do Conformero com Substituinte Axial em Cicloexanonas 2-Monossubstituídas, Obtidos por Diferentes Métodos.....	74
Tabela 16 - Constantes de Acoplamento e Percentagem do Conformero com Substituinte Axial em Cicloexa- nonas 2-Monossubstituídas.....	78

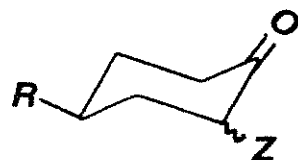
Tabela 17 - Deslocamentos Químicos de ^{13}C de Cicloexano-	
nas 2-Monossubstituídas.....	80
Tabela 18 - Efeitos dos Substituintes nos Deslocamentos	
Químicos de Cicloexanonas 2-Monossubstituídas	81
Tabela 19 - Deslocamentos Químicos de ^{13}C de 4- <u>t</u> -Butilci-	
cloexanonas 2-Monossubstituídas.....	82
Tabela 20 - Efeitos dos Substituintes nos Deslocamentos	
Químicos de 4- <u>t</u> -Butilcicloexanonas 2-Monossu-	
bstituídas.....	84
Tabela 21 - Efeitos dos Substituintes nos Deslocamentos	
Químicos de ^{13}C de <u>trans</u> -3-Decalonas-4-Mono-	
substituídas.....	89
Tabela 22 - Variação do Efeito α_Z com a Eletronegativida-	
de de Grupos (σ_Z) para Cicloexanonas e 4- <u>t</u> -Bu	
tilcicloexanonas α -Monossubstituídas.....	93
Tabela 23 - Deslocamentos Químicos Experimental e Calcula	
dos para Alguns Carbonos de Cicloexanonas α -	
-Heterossubstituídas.....	96
Tabela 24 - Deslocamentos Químicos Experimental e Calcula	
dos para Alguns Carbonos de 4- <u>t</u> -Butilcicloexa	
nonas α -Heterossubstituídas.....	97
Tabela 25 - Diferenças entre Deslocamentos Químicos Calcu	
lados e Experimental para Cicloexanonas (\bar{m}) e	
4- <u>t</u> -Butilcicloexanonas (Eq e Ax) α -Heterossu-	
bstituídas.....	98

Tabela 26 - Diferenças entre Deslocamentos Químicos Calculados e Experimental do Carbono-2 de Cicloexanonas e Propanonas α -Heterossubstituídas.....	100
Tabela 27 - Percentual de Substituinte Axial em Cicloexanonas-2-Monossubstituídas.....	102
Tabela 28 - Deslocamentos Químicos de ^{13}C da 2,N,N,Dimetilaminocicloexanona (9) e Percentual do Conformero com Substituinte Axial.....	108
Tabela 29 - Deslocamentos Químicos de ^{17}O e de ^{13}C do Grupo Carbonila de Algumas Cicloexanonas 2-Monosubstituídas.....	110
Tabela 30 - Deslocamentos Químicos de ^{13}C e ^{17}O do Grupo Carbonila de Aldeídos e Cetonas Alifáticas...	111

RESUMO

O presente trabalho tem por objetivo o estudo dos equilíbrios conformacionais de cicloexanonas α -monossubstituídas (2 a 11) pela espectroscopia de ressonância magnética nuclear de Hidrogênio-1 e de Carbono-13, além de uma investigação minuciosa nos efeitos que os diferentes substituintes causam nos deslocamentos químicos de Carbono-13 dos diversos carbonos desses compostos. Correlações entre deslocamentos químicos de Carbono-13 e de Oxigênio-17, embora com menor ênfase, também foram abordados.

Para a realização deste trabalho, foram utilizados os compostos de 1 a 22, a grande maioria sendo sintetizados no laboratório.



R = H	Z	R = <u>t</u> -Bu	Composto
<u>1</u>	H	<u>12</u>	
<u>2</u>	F	<u>13</u>	
<u>3</u>	Cl	<u>14</u>	
<u>4</u>	Br	<u>15</u>	
<u>5</u>	I	<u>16</u>	
<u>6</u>	OMe	<u>17</u>	
<u>7</u>	SMe	<u>18</u>	
<u>8</u>	SeMe	<u>19</u>	
<u>9</u>	NMe ₂	<u>20</u>	
<u>10</u>	Me	<u>21</u>	
<u>11</u>	<u>t</u> -Bu	<u>22</u>	

Uma revisão bibliográfica sobre equilíbrios conformacionais e ressonância magnética nuclear de Carbono-13 desta classe de compostos foi também incluída para fins de comparação com os resultados obtidos.

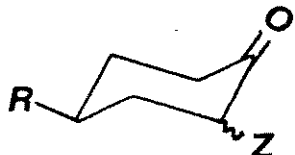
A atribuição dos sinais de Carbono-13 e Hidrogênio-1 dos diversos compostos foi efetuada da forma convencional e confirmada, quando necessário, por experimentos denominados pelas siglas "APT" e "DEPT" (1D) e HETCOR (2D).

Os equilíbrios conformacionais foram determinados pelo método de Eliel com resultados plenamente satisfatórios.

ABSTRACT

The aim of the present work has been the study of the conformational equilibrium of some α -monosubstituted cyclohexanones (2 to 11) by Hydrogen-1 and Carbon-13 nuclear magnetic resonance spectroscopy, and the effect of the several substituents in the Carbon-13 chemical shifts of the carbon atoms of the cyclohexanone ring has also been circumstantially investigated. A correlation between Carbon-13 and Oxygen-17 chemical shifts was briefly discussed.

Most of the required compounds (1 to 22) were synthesized in our laboratory.



R = H Compound	Z	R = <u>t</u> -Bu Compound
<u>1</u>	H	<u>12</u>
<u>2</u>	F	<u>13</u>
<u>3</u>	Cl	<u>14</u>
<u>4</u>	Br	<u>15</u>
<u>5</u>	I	<u>16</u>
<u>6</u>	OMe	<u>17</u>
<u>7</u>	SMe	<u>18</u>
<u>8</u>	SeMe	<u>19</u>
<u>9</u>	NMe ₂	<u>20</u>
<u>10</u>	Me	<u>21</u>
<u>11</u>	<u>t</u> -Bu	<u>22</u>

A bibliographic survey on the conformational equilibria and on Carbon-13 n.m.r. spectroscopy studies of related compounds was also included for a comparison with the results here presented.

The chemical shifts assignment, both Carbon-13 as Hydrogen-1 signals, was performed by the usual methods and checked, whenever it seemed necessary, by APT and DEPT (1D) and HETCOR (2D) experiments.

The conformational equilibria for all studied cyclohexanones were determined by the Eliel's method, which has lead to highly satisfactory results.

ABREVIACÕES

a	axial (índice)
ax	axial (índice)
col.	colaboradores
e	equatorial (índice)
eq.	equatorial (índice)
Fig.	Figura
i.v.	infravermelho
IV	infravermelho
p.	página
p.a.	para análise
p.e.	ponto de ebulação
p.f.	ponto de fusão
p/v	peso por volume
Ref.	referência bibliográfica
r.m.n.	ressonância magnética nuclear
R.M.N.	ressonância magnética nuclear
T.M.S.	Tetrametilsilano
u.v.	ultravioleta
UV	ultravioleta
X	fração molar
Z	substituinte qualquer

INTRODUÇÃO E OBJETIVOS

INTRODUÇÃO E OBJETIVOS

Atualmente é inquestionável a importância da espectros copia de ressonância magnética nuclear de Carbono-13 no estudo da estrutura eletrônica bem como na análise conformacional de com postos orgânicos^{15, 86, 99, 106}.

Apesar do avançado estágio de desenvolvimento, problemas fundamentais ainda permanecem em aberto, dada a sua enorme complexidade.

Nosso laboratório tem se empenhado nos últimos anos na investigação dos efeitos que diferentes substituintes em posição α ao grupo carbonila provocam nos carbonos α e carbonílico principalmente.

As pesquisas nesta área tiveram início com o estudo de uma série de 2-propanonas-1-monossubstituídas^{90, 91}.

Nestes trabalhos foram investigados os efeitos de substituintes como F, Cl, Br, I, OMe, SMe, NMe₂, etc. e os resultados obtidos, no que diz respeito as diferenças entre deslocamento químico calculado e experimental do carbono α -metilênico não demonstraram qualquer aditividade, requerendo um maior número e variedade de compostos de forma a buscar as melhores conclusões possíveis.

Assim, considerando que nos derivados propanônicos os deslocamentos químicos refletem o efeito médio do substituinte disposto nas orientações cis, gauche e trans em relação ao carbono carbonílico, fazia-se necessário o estudo de compostos que permitissem a análise dos efeitos separadamente, conforme a orientação do substituinte.

A classe de compostos que parece, do ponto de vista estrutural, mais viável são as cicloexanonas 2-monossubstituídas e seus derivados 4-t-butílicos, já que nestes compostos teríamos o efeito médio (cicloexanonas) e também poderíamos observar os efeitos independentes um do outro, considerando para isso que o substituinte axial (derivado 4-t-butílico) equivale a orientação gauche das 2-propanonas-1-monossubstituídas enquanto o substituinte equatorial equivale a orientação cis.

Também importante na elaboração das conclusões é o conhecimento da posição do equilíbrio conformacional destes compostos, outrora problemático para determinados compostos, já que o sinal do próton α -metínico (CH_2) muitas vezes fica encoberto pelos outros sinais do composto e, agora possível em virtude de espectros obtidos em duas dimensões com correlação hetero- (HETCOR) e homonuclear (COSY), além de uma qualidade muito superior dos espectros obtidos em aparelhos de alto campo.

Levando em conta os problemas surgidos, no estudo do efeito do substituinte sobre os deslocamentos químicos de Carbono-13, bem como na determinação do equilíbrio conformacional desta classe de compostos, a realização do presente trabalho foi proposta com os seguintes objetivos:

- a) Estudar o efeito de vários substituintes no deslocamento químico dos diferentes carbonos do anel cicloexanônico;
- b) Investigar possíveis correlações dos efeitos observados nos compostos em questão com os observados em outros compostos sejam estes acíclicos (cadeia móvel) ou cíclicos (de cadeia rígida);
- c) Investigar o equilíbrio conformacional destes compostos à luz de um aparelho de alto campo à temperatura ambiente e também à temperaturas abaixo da temperatura de coalescência.

C A P I T U L O 1

REVISÃO BIBLIOGRÁFICA

CAPÍTULO 1

REVISÃO BIBLIOGRÁFICA

1.1. Introdução

Neste Capítulo abordaremos apenas os itens mais relevantes, necessários para uma melhor compreensão acerca do trabalho desenvolvido nesta tese. Assim, primeiramente serão considerados pontos a respeito da estrutura da cicloexanona independente da presença de substituintes, para então discutirmos dados relacionados ao equilíbrio conformacional das cicloexanonas 2-monoossubstituídas e os trabalhos mais relevantes da literatura.

Em seguida serão considerados os efeitos dos substituintes nos deslocamentos químicos de R.M.N. de Carbono-13 e, para tanto, serão apresentados primeiramente alguns conceitos básicos relativos a este assunto.

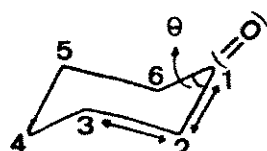
Uma revisão bibliográfica acerca do Equilíbrio Conformatacional de cicloexanonas 2-monossubstituídas e também sobre Efeitos dos Substituintes nos Deslocamentos Químicos de Carbono-13 faz parte da dissertação de mestrado apresentada por Basso¹². No presente trabalho tornamos a abordar estes assuntos, porém de forma mais abrangente e atual, buscando facilitar a leitura e compreensão deste trabalho.

1.2. Estrutura Molecular da Cicloexanona

A introdução de um átomo com geometria trigonal (hibridização sp^2) no anel do cicloexano resulta em alterações na forma da molécula. Ainda assim, a geometria da cicloexanona difere muito pouco da do cicloexano, assumindo também preferencialmente a conformação cadeira⁵¹, porém, como consequência de uma mudança no ângulo de valência C-C(=O)-C e no comprimento da ligação C-C(=O) (v. Tabela 1), a forma desta cadeira sofre um pequeno "achatamento" em relação ao cicloexano.

Em consequência da hibridização trigonal do carbono carbonílico os hidrogênios equatoriais das posições 2 e 6 se encontram aproximadamente eclipsados com o oxigênio carbonílico³⁶.

Tabela 1. Dados de Geometria do Cicloexano e Cicloexanona.



Cicloexano

Cicloexanona

Ângulo de valência C-C(=O) - C (θ)	$111^\circ 33'$ ^a	116° ^b
Comprimento da ligação 1 —— 2	$1,530 \text{ \AA}$ ^b	$1,510 \text{ \AA}$ ^b
Comprimento da ligação 2 —— 3	$1,530 \text{ \AA}$ ^b	$1,545 \text{ \AA}$ ^b

^a Ref. 13

^b Ref. 36

^c Ref. 10

Uma outra consequência¹⁷ muito importante desta hibridização, é que, devido a barreira de rotação para uma ligação $C_{sp^2}-C_{sp^3}$ ser menor do que para uma ligação $C_{sp^3}-C_{sp^3}$, a flexibilidade desta parte do anel é maior, o que ocasiona uma barreira mais baixa para inversão da cicloexanona em relação ao cicloexano.

Os valores de energia livre de ativação para o processo de inversão da cicloexanona foram determinados¹⁷ em torno de 5 Kcal/mol, enquanto que para o cicloexano o valor chegou a 10,4 Kcal/mol.

1.3. Efeitos Envolvidos no Equilíbrio Conformatacional de Cicloexanonas 2-Monossubstituídas

As conformações de uma molécula são os diferentes arranjos de átomos ou grupos resultantes de rotações em torno de ligações simples (sigma). Numa molécula tem-se um certo número de conformações correspondentes a mínimos de energia, as quais são chamadas isômeros conformacionais ou confôrmeros, não implicando contudo que esses isômeros possam ser isolados.

Alguns dos efeitos mais importantes que determinam o equilíbrio conformacional de uma dada molécula são os efeitos eletrônicos, repulsões dipolo-dipolo e efeitos estéricos.

Na cicloexanona, um substituinte em posição α ao grupo carbonila poderá ocupar a posição axial ou equatorial. A preferência deste substituinte por uma destas posições será coordenada por uma competição das interações estéricas 1,3-diaxial, quando o substituinte é axial (Fig. 1a), com as repulsões dipolo-di-

polo quando o substituinte é equatorial (Fig. 1e).

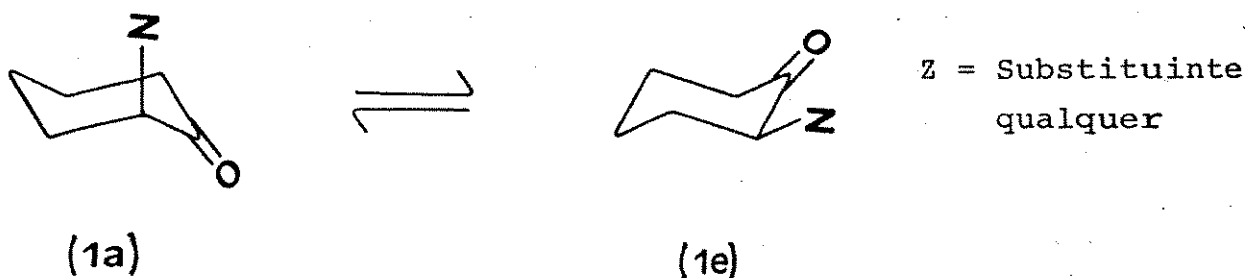


Figura 1. Equilibrio conformacional de cicloexanonas α -monosustituidas.

As primeiras observações em torno dos efeitos causados pela introdução de um heteroátomo em posição α à carbonila foram feitas com esteróides³⁶.

Foi observado que a introdução de um átomo de bromo provocava um aumento de aproximadamente 20 cm^{-1} na freqüência de estiramento da carbonila, para o bromo em posição equatorial enquanto que praticamente não se observava qualquer variação para o isômero com substituinte axial.

Este efeito foi justificado considerando as duas principais formas de ressonância do grupo carbonila (2.1. e 2.2. da Fig. 2), ou seja, a presença do dipolo C-Br adjacente (Br equatorial) à carbonila tende a diminuir a contribuição da forma (2.2), aumentando o caráter de dupla ligação da carbonila.

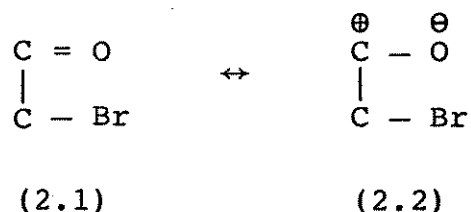


Figura 2. Formas de ressonância de uma α -bromocetona.

Em meados da década de 60 Allinger e col.⁸ e também Chen e Le Févre²⁴ publicaram trabalhos com o intuito de resolver uma polêmica gerada entre os pesquisadores da época^{5, 27, 62} com respeito a preferência pela posição axial de halogênios em cicloexanonas 2-heterossubstituídas que decrescia no sentido Br>Cl>F. A explicação dos autores^{8, 24} refere-se à contribuição da forma hiperconjugativa (3.2) da Figura 3, que seria mais importante para o substituinte axial e dependeria da polarizabilidade deste substituinte.

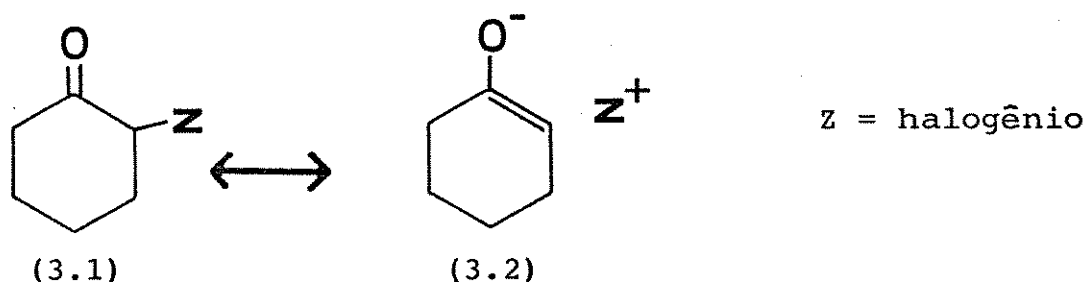


Figura 3. Hiperconjugação em α -halocicloexanonas.

Na década de 70 surgiram trabalhos mais detalhados, onde se passou a analisar as interações de orbitais envolvidos.

Um dos trabalhos importantes foi o de Salem³³, onde foi discutida a análise conformatacional da 2-fluorcicloexanona. Na Figura 4 são apresentadas as conformações com o fluor equatorial e axial, bem como as orientações dos orbitais n_F (hemi e peri) e π^*_{CO} . Na conformação axial, o orbital n_{peri} está orientado em direção ao orbital π^*_{CO} , conduzindo a um maior entrosamento $n_F \leftrightarrow \pi^*_{CO}$. Esse entrosamento resulta numa maior estabilização do confôrmero axial devido a um maior efeito de doação de elétrons do fluor para o orbital vazio do grupo carbonila.

Essa preferência pela orientação axial atua em oposi-

10

ção à preferência natural pela orientação equatorial, devendo aumentar ao longo da série F, Cl, Br, I.

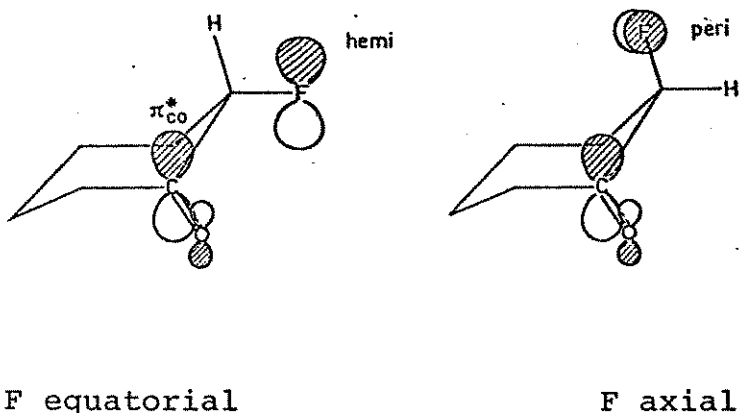


Figura 4. Interações $n_F \leftrightarrow \pi^*_{CO}$, na 2-fluorocicloexanona.

Num outro trabalho de Metras e col.⁷³ foram estudados a 2-fluor- e 2-clorocicloexanonas, onde três tipos de interações foram consideradas: $n_X \leftrightarrow \pi^*_{CO}$, $n_X \leftrightarrow n_O$ e $\sigma_X \leftrightarrow \sigma_O$. A principal conclusão desses autores foi que, como os pares de elétrons livres do cloro se situam em níveis energéticos mais elevados que os pares livres do flúor, então eles devem apresentar uma interação mais importante com o orbital π^*_{CO} , e esta interação estabiliza o ísomero axial.

Esse estudo veio a confirmar as conclusões feitas por Salem³³, de que a preferência pela orientação axial deve aumentar na série F, Cl, Br, I.

Em 1980, Casadeval e col.⁷⁴ publicaram um estudo de r.m.n. de ^{13}C de algumas trans-3-biciclo[4,n,0]-alcanonas α -metileno substituídas, no qual a blindagem observada no deslocamento químico do carbono carbonílico, quando um hidrogênio α -metileno era substituído por um átomo mais eletronegativo, foi justificada com base nas interações orbitais.

Foram propostas três interações: $n_X \leftrightarrow \sigma^*_{CO-CX}$, $n_X \leftrightarrow \pi^*_{CO}$ e $\pi_{CO} \leftrightarrow \sigma^*_{CX}$. A primeira e a segunda, já descritas por Salem³³ e Metras⁷³, seriam importantes na estabilização dos isômeros equatorial e axial, respectivamente.

Nestas duas interações a densidade eletrônica no carbono no carbonílico é aumentada no sentido F < Cl < Br em razão dos níveis energeticamente mais elevados de $n_{Br} > n_{Cl} > n_F$.

A terceira interação ocorreria no isômero axial, variando no sentido inverso das anteriores devido ao aumento da eletronegatividade que provocaria um abaixamento do nível energético do orbital σ^*_{CX} permitindo, desta forma, uma melhor interação $\pi_{CO} \leftrightarrow \sigma^*_{CX}$.

1.4. Determinação do Equilíbrio Conformatacional em Cicloexanonas 2-Monossubstituídas

A análise conformacional teve início na década de 50 com o trabalho de Barton¹⁰ sobre a conformação de esteróides. Alguns anos mais tarde o mesmo Barton¹¹ publicou um importante trabalho onde revelava a dependência conformacional em relação às propriedades físicas, como espectroscopia no infra-vermelho. Na década de 60 com o desenvolvimento da espectroscopia de ressonância magnética nuclear foi descoberto que o deslocamento químico era fortemente dependente da conformação, o que desencadeou um avanço sem precedentes na análise conformacional.

Estudos de equilíbrios conformacionais de cicloexanonas α -monossubstituídas tiveram início em 1953 com Corey²⁶, que estudou a 2-bromo e 2-clorocicloexanona pela espectroscopia no

infravermelho. Este trabalho de Corey²⁶ foi, pouco tempo depois, questionado por Kumler e Huitric⁶² que realizaram medidas do momento de dipolo, para os mesmos compostos de Corey²⁶. Nenhum destes trabalhos trouxeram, no entanto, dados conclusivos para se saber o percentual de cada isômero no equilíbrio (v. Fig. 1) e os fatores determinantes deste equilíbrio.

Em 1958, Allinger e Allinger³ realizaram um estudo da 2-bromocicloexanona pelas espectroscopias no infravermelho e no ultravioleta em vários solventes. Esses autores observaram que o percentual dos isômeros no equilíbrio dependia da polaridade do solvente, e que o confôrmero com o substituinte em posição equatorial era favorecido em solventes de alta constante dielétrica.

A grande dificuldade encontrada por Allinger e Allinger³ era a impossibilidade de separar os dois isômeros conformacionais. Assim, ainda no mesmo ano, Allinger e Allinger⁴ introduziram o uso dos derivados 4-t-butílicos (Fig. 5) como modelo rígido para o estudo deste sistema, numa reavaliação do equilíbrio conformational da 2-bromocicloexanona. Os resultados então obtidos⁴ apresentaram ótima concordância com os relatados anteriormente³.

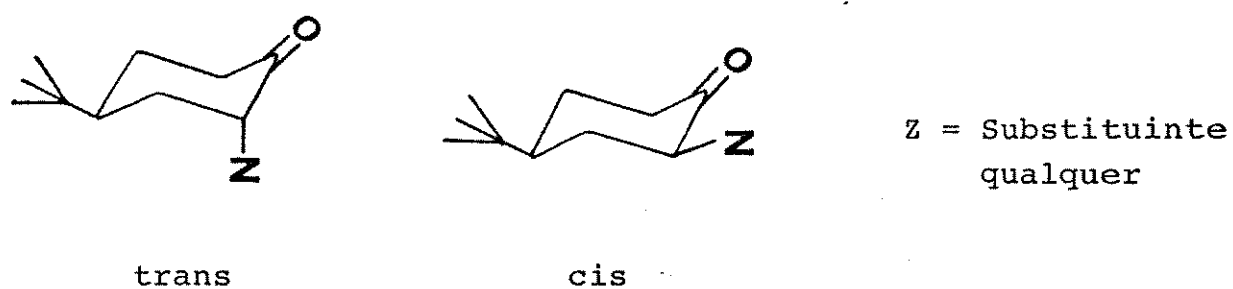


Figura 5. Diastereoisômeros trans e cis de 4-t-butilcicloexanonas 2-monossubstituídas.

Muitos outros trabalhos com as 2-halocicloexanonas se seguiram ao de Allinger e Allinger⁴, mas sem muito a acrescentar. Mais recentemente, a 2-metiltiocicloexanona também foi investigada¹¹⁰ quanto ao equilíbrio conformacional, pela espectroscopia no infravermelho, e as conclusões se mostraram semelhantes às obtidas para os 2-haloderivados.

A determinação do equilíbrio conformacional de cicloexanonas 2-monossubstituídas pela r.m.n. de H-1 teve início em 1964 com Garbisch⁴² que estudou a 2-bromocicloexanona utilizando o método de Eliel^{36, 38} (v. item 2.2.1. desta tese) e chegando a conclusões concordantes com as apresentadas em trabalhos anteriores^{3, 6}.

Em 1967, Pan e Stothers⁸² publicaram uma revisão sobre o equilíbrio conformacional de 2-halocicloexanonas, determinado pela r.m.n. de Hidrogênio-1. Os resultados se mostraram concordantes com os estudos anteriores realizados com o auxílio das espectroscopias de IV e UV e das medidas de momento de dipolo (v. Tabela 2). Como havia sido observado em alguns trabalhos anteriores^{3, 4, 5}, foi também evidenciado no trabalho de Pan e Stothers⁸² a variação do percentual dos isômeros em função da constante dieletrica do solvente onde era realizada a medida. Assim, quanto maior a constante dielétrica do solvente, maior era o percentual do isômero mais polar (substituinte equatorial - Figura 12). Outra observação importante é relativo a preferência pela posição axial que segue a ordem Br > Cl > F, fato atribuído a contribuição de uma forma hiperconjugativa de estabilização, conforme já mencionado (item 1.3 - Figura 3).

Em 1972, Cantacuzene e col.²² apresentaram um estudo sobre o equilíbrio conformacional de algumas halogenocicloexano-

Tabela 2. Percentual do Conformero com Substituinte Axial, Determinado por Ressonância Magnética Nuclear (R.M.N.), Infravermelho (IV), Ultravioleta (UV) e Momento de Dipolo (μ) em 2-Halocicloexanonas.

Solvente Halogênio	Método Utilizado					
	R.M.N. (δ) ^a	R.M.N. (J) ^a	IV	UV	μ	
Hidrocarboneto	Br	87	89	45 ^b	-	85 ^c
	Cl	77	70	73 ^d	63 ^d	76 ^d
	F	56	30	-	-	48 ^e
Tetracloroeto de Carbono	Br	84	87	74 ^b	-	-
	Cl	72	65	-	-	-
	F	34	34	-	-	-
Clorofórmio	Br	79	70	-	-	-
	Cl	56	49	-	-	-
	F	24	13	-	-	-
p-Dioxano	Br	70	69	57 ^b	-	62 ^c
	Cl	50	36	25 ^d	37 ^d	37 ^d
	F	20	23	-	-	15 ^e

^a Ref. 82

^b Ref. 3

^c Ref. 6

^d Ref. 5

^e Ref. 7

nas entre as quais foram apresentados dados para a 2-iodocicloexanona, que de acordo com o esperado, apresentou um grande percentual do isômero com substituinte axial: 95% em cicloexano.

Em 1976, Cantacuzene e Tordeux²⁰ estudaram o equilíbrio conformacional de 2-alcoxicicloexanonas. Estes autores utilizaram o substituinte deuterado, pois caso contrário, ocorreria a sobreposição do sinal do hidrogênio alfa pelo sinal dos hidrogênios do substituinte.

Zajac e Özbal publicaram dois estudos de equilíbrio conformacional de cicloexanonas 2-monossubstituídas, em 1979¹¹⁴ com os substituintes -O \emptyset , -S \emptyset , -SO \emptyset , -SO₂ \emptyset e Se \emptyset e em 1980¹¹³ com o grupo nitro (-NO₂). No primeiro estudo observaram a mesma tendência observada para os halogênios, já para o grupo nitro, os autores concluíram que este ocupa quase exclusivamente a posição equatorial (91% em CDCl₃), como consequência da forte atração eletrostática entre os grupos polares nitro e carbonílico.

Em 1981, Kitching e Drew⁶⁰ investigaram o equilíbrio conformacional de 2-cloromercurocicloexanonas, concluindo apenas que o substituinte era preferencialmente axial.

A obtenção de espectros de r.m.n. de Carbono-13 à temperaturas abaixo da temperatura de coalescência e medida da área dos picos correspondentes aos confôrmeros em questão tem sido largamente utilizado para a determinação do equilíbrio conformacional de derivados do cicloexano^{95, 101, 14, 97} e também outras classes de compostos^{63, 81, 41}, no entanto, nada foi encontrado realtivo a cicloexanonas 2-monossubstituídas.

1.5. Efeitos dos Substituintes nos Deslocamentos Químicos de Carbono-13

Os conceitos básicos relacionados a r.m.n. de ^{13}C e, mais especificamente, aos efeitos dos substituintes nos deslocamentos químicos de Carbono-13 podem ser encontrados numa grande variedade de livros textos^{67, 15, 106}, de forma que no presente item foram abordados apenas os tópicos mais importantes, a fim de facilitar a leitura desta tese.

1.5.1. Deslocamento Químico ou Constante de Blindagem Nuclear^{15, 71, 106}

É o parâmetro espectral o qual caracteriza a vizinhança de um dado núcleo i . A posição do sinal deste núcleo é usualmente comparada com a ressonância do núcleo de uma substância padrão (T.M.S.), e o deslocamento químico é definido como a diferença entre as freqüências de ressonância do núcleo i (freqüência de Larmor) v_i , e a da referência v_R , conforme Equação 1. O deslocamento químico δ_i é um parâmetro adimensional, independente do campo magnético B_0 e expresso em unidades de 10^{-6} (ppm), conforme Equação 2, onde v_1 é a freqüência da fonte de radiofrequência.

$$\Delta v_i = v_i - v_R \quad (1)$$

$$\delta_i = \frac{v_i - v_R}{v_1} \cdot 10^{-6} \quad (2)$$

Considerando um núcleo i , o campo magnético necessário para a condição de ressonância numa determinada freqüência irra-

diada não é igual ao campo aplicado B_0 , mas é dado pela Equação 3, onde σ_i é a constante de blindagem, que caracteriza a vizinhança química deste núcleo.

$$B_i = B_0(1 - \sigma_i) \quad (3)$$

O termo σ_i é resultante de várias contribuições, sendo uma das mais gerais⁷⁰ a apresentada na Equação 4. Na presente Equação, σ_d denota a contribuição diamagnética, σ_p a paramagnética local, σ_v a da anisotropia da vizinhança, σ_e a de campos elétricos e σ_s a do solvente.

$$\sigma_i = \sigma_d + \sigma_p + \sigma_v + \sigma_e + \sigma_s \quad (4)$$

1.5.2. Efeitos Diamagnéticos e Paramagnéticos

Conforme mostrado na Equação 4, a blindagem σ_i de um núcleo i numa molécula, é resultado do somatório de vários termos. Estes termos podem ser divididos em contribuições eletrônicas intra- e intermoleculares. Deste modo, σ_d , σ_p e σ_v fazem parte das contribuições intramoleculares, enquanto σ_e está relacionado com as contribuições intermoleculares.

A contribuição diamagnética σ_d descreve a circulação isotrópica de elétrons em torno do núcleo¹⁰⁶. Este movimento é perpendicular ao campo magnético externo produzindo assim um campo magnético secundário oposto ao campo aplicado (Lei de Lenz). Desta forma, quanto maior a densidade eletrônica no núcleo, maior será a contribuição diamagnética e em campo mais alto ocorrerá a ressonância.

Para o caso de uma distribuição esférica de carga, σ_d

pode ser expresso pela Equação 5 (fórmula de Lamb). A dependência do inverso da distância faz com que σ_d seja importante apenas no caso do Hidrogênio-1.

$$\sigma_d \propto < r^{-1} > \quad (5)$$

Para qualquer núcleo, que não hidrogênio, estados eletrônicos excitados têm sido usados para a discussão das contribuições intramoleculares à constante de blindagem σ_i^{106} . A mistura de campos induzidos de estados eletrônicos fundamental e excitado causam uma contribuição paramagnética à constante de blindagem σ_i , devido a uma circulação eletrônica anisotrópica em torno do núcleo i . O termo paramagnético pode ser expresso⁷⁰, de forma simplificada conforme a Equação 6. Assim, essa contribuição aumenta com a diminuição da energia de excitação eletrônica ΔE e com o inverso do cubo da distância entre um elétron 2p e o núcleo.

$$\sigma_p \propto \Delta E^{-1} < r_{2p}^{-3} > \quad (6)$$

A relação entre σ_p e ΔE pode ser facilmente verificada comparando os deslocamentos químicos de carbonos carbonílicos ($\delta > 170$ ppm, $\Delta E_{n \rightarrow \pi^*} \sim 7$ eV) com os de carbonos olefínicos ($\delta \sim 100 - 150$ ppm, $\Delta E_{\pi \rightarrow \pi^*} \sim 8$ eV) e com os carbonos de alcanos ($\delta < 50$ ppm, $\Delta E_{\sigma \rightarrow \sigma^*} \sim 10$ eV).

O termo r_{2p}^{-3} depende primeiramente da carga nuclear efetiva no núcleo i . Um aumento da densidade eletrônica num átomo de carbono tende a expandir os orbitais 2p, consequentemente, r_{2p}^{-3} é diminuído, diminuindo também o valor total de σ_p , originando assim uma blindagem. Uma dependência linear entre deslocamento químico de ^{13}C e densidade eletrônica pode ser observada¹⁰⁶,

indicando que o deslocamento químico em campo alto é causado pela adição de um elétron a um orbital 2p (ver Fig. 6).

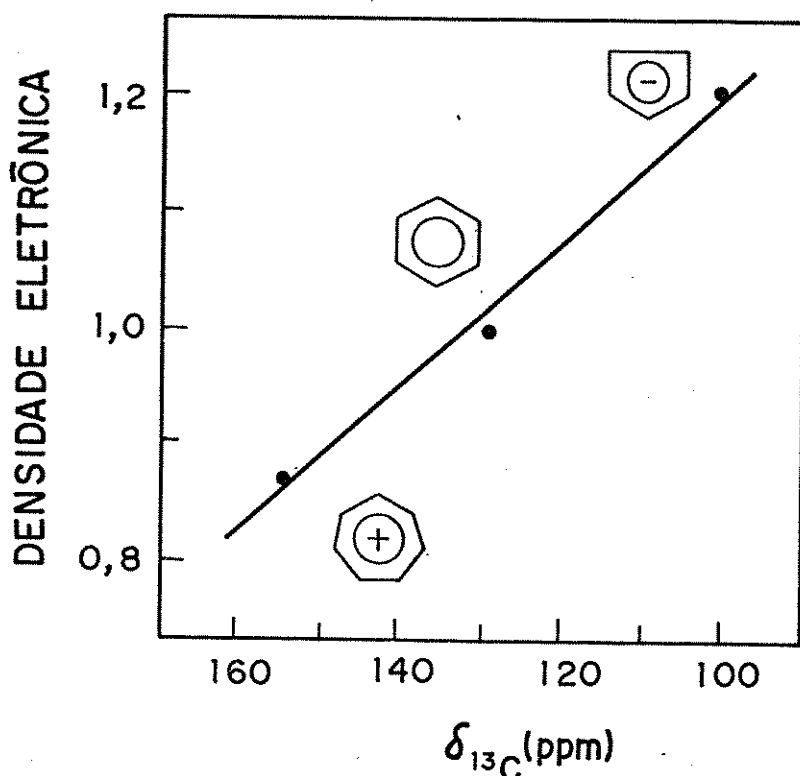


Figura 6. Gráfico da densidade eletrônica π de sistemas aromáticos de 6 elétrons π versus deslocamento químico de ^{13}C ($\delta_{^{13}\text{C}}$).

A contribuição referente a anisotropia da vizinhança σ_v , diz respeito à circulação de elétrons em átomos vizinhos e também corrente de elétrons interatônicos (elétrons das ligações). A contribuição para σ_p da anisotropia da vizinhança independe da natureza do núcleo observado, sendo da mesma ordem de magnitude em ^1H e ^{13}C , e logo, de pouco importância na r.m.n. de ^{13}C .

A contribuição referente ao campo elétrico σ_e pode ser

atribuída, por exemplo, à presença de um grupo ionizado resultante de uma protonação.

Os deslocamentos provocados pelo efeito de campo elétrico σ_e , são normalmente diamagnéticos e variam numa faixa de 0,5 a 6 ppm.

A contribuição referente ao efeito do solvente σ_s tem interesse no caso de solventes com insaturações (ef. anisotrópico), de solventes polares (campo elétrico) ou quando formam pontes de hidrogênio com o soluto.

1.5.3. Outros Efeitos^{15, 106, 70}

No presente item daremos ênfase a alguns efeitos intramoleculares de blindagem. Desses efeitos, os mais significativos são a hibridização, efeito indutivo do substituinte, efeito estérico, efeito anisotrópico, efeito mesomérico, efeito do átomo pésado, efeito isotópico, etc..

O efeito indutivo do substituinte está associado a eletronegatividade do mesmo. Alguns dados típicos de deslocamentos químicos de ^{13}C induzidos pela eletronegatividade do substituinte são encontrados na Tabela 3.

O deslocamento paramagnético pode ser atribuído ao efeito removedor de densidade eletrônica do substituinte que provoca um aumento do fator $\langle r^{-3} \rangle_{2p}$, causando a desblindagem.

A hibridização de um núcleo de carbono em estudo é, sem dúvida, um fator dominante no deslocamento químico observado. Assim, carbonos sp^3 apresentam sinais entre -20 e 110 ppm, carbonos sp ressonam entre 70 e 110 ppm e carbonos sp^2 entre 120 e 240 ppm, todos relativos ao T.M.S..

Tabela 3. Eletronegatividades de Pauling (Ep) e Deslocamento Químico^a do Carbono Alfa (δ_{CH_2}) de Etanos, quando Trocamos um Hidrogênio por um Halogênio.

$\text{CH}_3 - \text{CH}_2 - Z$		
Z	Ep	CH_2
H	0,0	6,50
F	3,98	78,00
Cl	3,16	38,70
Br	2,96	26,95
I	2,66	-0,25

^a Em ppm

Embora a hibridização venha sendo tratada como um efeito paralelo para a r.m.n. de ^{13}C e de $^1\text{H} ^{15}$, outros autores¹⁰⁶ colocam esta observação como uma coincidência casual, alegando, para tanto, que as diferenças nos deslocamentos químicos dos hidrogênios (de diferentes hibridizações) seriam muito mais uma consequência do termo de anisotropia da vizinhança.

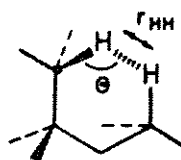
Os efeitos estéricos assumem uma grande importância na r.m.n. de ^{13}C , uma vez que, os deslocamentos químicos de ^{13}C são extremamente sensíveis a geometria molecular. Assim, carbonos separados por várias ligações podem influenciar fortemente um ao outro, se eles estiverem espacialmente próximos.

Tem sido bem aceito considerar o efeito estérico no deslocamento químico de ^{13}C como consequência de forças repulsivas que, não só produziriam distorções na distribuição eletrônica co-

mo também provocariam pequenas alterações na geometria molecular. Entretanto, a dificuldade em separar estes dois componentes impede qualquer tentativa de quantificação.

Por outro lado, como um método qualitativo pode-se interpretar o efeito estérico como ocasionado por uma polarização induzida da ligação C-H^{45, 106}. Segundo este conceito, a perturbação estérica de uma ligação C-H causaria um deslocamento de carga ao longo da ligação provocando um aumento da densidade eletrônica em torno do núcleo de carbono, com consequente expansão do orbital p. Esta expansão ocasionaria um menor valor para $\langle 1/r^3 \rangle$, que diminuiria o termo paramagnético, justificando assim, os deslocamentos observados¹⁵.

Na prática, o efeito estérico é observado quando dois prótons estão ligados a carbonos com uma orientação relativa γ -gauche. Segundo o modelo de Grant⁴⁵, o deslocamento induzido pelo efeito estérico, $\Delta\delta_{st}$ (Equação 7), depende tanto da distância próton-próton r_{HH} como do ângulo θ entre o eixo H...H e a ligação perturbada C-H.



$$\Delta\delta_{st} = C \cdot F_{HH}(r) \cdot \cos \theta \quad (7)$$

Na Equação 7, $F_{HH}(r)$ representa a força repulsiva entre os prótons interagindo, e C é uma constante.

Conforme já comentado anteriormente (item 1.5.2) a influência de grupos funcionais magneticamente anisotrópicos na blindagem nuclear é geralmente pequena em magnitude e não pode ser

distinguida de outras contribuições.

O efeito mesomérico pode ser observado em compostos insaturados, onde a deslocalização de carga através do sistema π produz grandes modificações na blindagem devido a dependência do termo paramagnético da carga nuclear efetiva.

O efeito mesomérico pode ser descrito em termos de contribuições de estruturas canônicas. Assim, substituintes doadores de elétrons (NH_2 , OH, F) deslocalizam seus pares de elétrons livres no sistema π aumentando a densidade de carga nos carbonos β e γ . Substituintes atraentes de elétrons (NO_2 , CN, COR) reduzem a densidade de carga nestes carbonos. A consequência destes efeitos seria uma blindagem dos carbonos β e γ no primeiro caso e, obviamente, o efeito oposto, ou desblindagem, no segundo caso. A importância do efeito mesomérico nos deslocamentos químicos de Carbono-13 pode ser evidenciado no confronto com os coeficientes de Hammett⁷⁸ σ_p^+ (Fig. 7). Segundo Swain e Lupton¹⁰² estes coeficientes representam 66% da contribuição da ressonância à densidade de carga.

Um outro efeito a ser considerado é o dito efeito do "átomo pesado". Embora o efeito da maioria dos substituintes eletronegativos, sobre carbonos alifáticos, seja considerado principalmente como induutivo (ver Tabela 3 e comentários relativos a esta), este não pode ser aplicado para halogênios pesados.

Estes substituintes exibem um aumento na blindagem diamagnética com o aumento do número atômico. Tais efeitos são causados por uma corrente eletrônica diamagnética produzida pelo grande número de elétrons presentes nos átomos pesados. Quando os deslocamentos químicos observados são corrigidos para a contribuição diamagnética, a dependência linear da eletronegatividade

de do substituinte pode ser observada⁷².

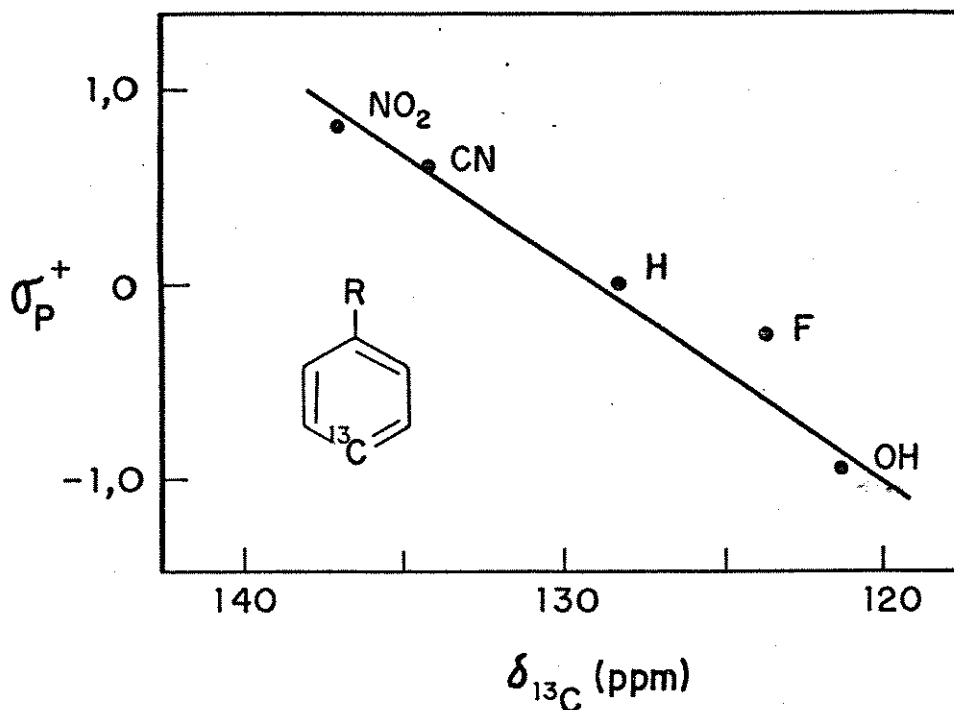


Figura 7. Gráfico do deslocamento químico de ^{13}C $\delta_{^{13}\text{C}}$, do carbono no para de benzenos monossubstituídos versus o parâmetro de Hammett σ_p^+ .

A substituição de um átomo qualquer por um isótopo mais pesado normalmente resulta num deslocamento diamagnético, do segundo em relação ao primeiro. Este efeito tem sido atribuído a um aumento no valor ΔE (Equação 6) e uma redução no comprimento da ligação⁵⁶, com uma consequente redução do termo paramagnético σ_p . O efeito causado pelo isótopo é usualmente aditivo e proporcional ao número de átomos isotopicamente substituídos. Tem sido demonstrado³⁴ que o efeito isotópico induzido pelo deutério na blindagem do carbono é da ordem de 0,25-0,40 ppm por átomo de deutério.

1.5.4. Efeitos Empíricos dos Substituintes¹⁰⁶

A blindagem de um dado núcleo de Carbono-13 é resultante da contribuição dos vários fatores estruturais acima mencionados (itens 1.5.2 e 1.5.3). Esses fatores geralmente atuam em conjunto, em extensões diferentes em cada caso, tornando difícil e, na maioria das vezes, inviável qualquer tentativa de isolar cada uma das contribuições individuais. Assim, do ponto de vista prático, o efeito dos substituintes nos deslocamentos químicos de Carbono-13 tem sido tratado de uma maneira global, através de parâmetros denominados de efeitos empíricos.

Tais efeitos são caracterizados por uma letra grega, em ordem alfabética, em função da posição do substituinte (Z) em relação ao carbono considerado de acordo com a Figura 8.

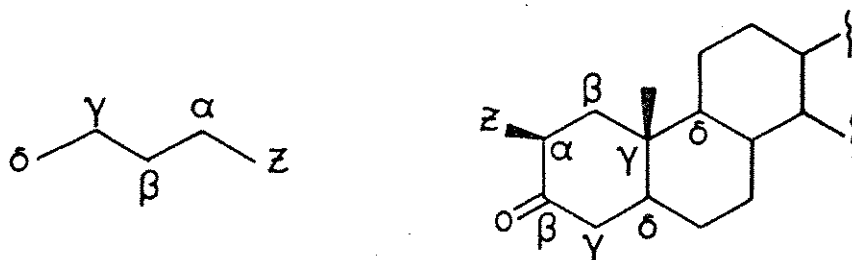


Figura 8. Caracterização do efeito do substituinte.

1.5.4.1. Efeito α

Conforme comentado anteriormente (ver item 1.5.3) o efeito α está intimamente ligado a eletronegatividade do substituinte. Numa rápida análise da Tabela 4 pode-se comprovar esta afirmativa, a exceção dos derivados de iodo que desviam desta tendência, como discutido anteriormente (ver item 1.5.3 - Efeito do átomo pesado).

Tabela 4. Efeitos Empíricos dos Substituintes^a em Alcanos Monosubstituídos Lineares e Ramificados.



Z	α		β		γ	δ
	n	iso	n	iso		
CH ₃	+ 9	+ 6	+10	+ 8	-2	0,3
COOH	+21	+16	+ 3	+ 2	-2	0
COOR	+20	+17	+ 3	+ 2	-2	0
COR	+30	+24	+ 1	+ 1	-2	0
OH	+48	+41	+10	+ 8	-5	0
OR	+58	+51	+ 8	+ 5	-4	-0,5
NH ₂	+29	+24	+11	+10	-5	0
NH ₃ ⁺	+26	+24	+ 8	+ 6	-5	0
NHR	+37	+31	+ 8	+ 6	-4	-0,5
NR ₂	+42		+ 6		-3	-0,5
NO ₂	+63	+57	+ 4	+ 4	-4	-1
SH	+11	+11	+12	+11	-4	0
SR	+20		+ 7		-3	0
F	+68	+63	+ 9	+ 6	-4	0
Cl	+31	+32	+11	+10	-4	-0,5
Br	+20	+25	+11	+10	-3	-0,5
I	- 6	+ 4	+11	+12	-1	-1

^a Dados da Ref. 106. Em ppm.

O valor do efeito alfa é em torno de 10 a 20% menor para carbonos secundários em relação aos primários.

O valor do efeito α de um dado substituinte Z é determinado subtraindo-se o deslocamento químico do carbono α não substituído (δ_{C-H}), do valor do deslocamento químico do carbono α substituído (δ_{C-Z}), conforme a Equação 8.

$$\alpha_Z = \delta_{C-Z} - \delta_{C-H} \quad (8)$$

Schneider e Hoppen⁹⁵, estudando cicloexanos monossustituídos a baixas temperaturas, constataram uma boa correlação ($r = 0,986$) entre o efeito α e a eletronegatividade de Pauling dos substituintes, não observando diferenças significativas entre a correlação para um substituinte equatorial e um substituinte axial. Os autores concluem que o efeito indutivo do substituinte é que domina o deslocamento químico do carbono α , e que não se pode confiar nos deslocamentos químicos deste carbono (ou do hidrogênio diretamente ligado a este) para diferenciação dos estereoisômeros.

O efeito α em compostos bicíclicos tipo norbornanos^{50, 108} são ligeiramente menores do que nos alcanos de cadeia linear, fato este justificado por Grutzner e col.⁵⁰ como sendo devido a diferença na hibridização do carbono observado.

Jantzen e col.⁵⁷ estudaram o efeito dos substituintes nos deslocamentos químicos de algumas 2-halocicloexanonas, e concluíram que o efeito α nestes compostos não dependia tão somente da eletronegatividade do substituinte, como no caso dos derivados do cicloexano⁹⁵. Estes autores observaram que o efeito nos derivados da cicloexanona eram menores do que nos derivados dos cicloexanos, o que foi justificado por uma interação existente

entre os orbitais π^* da carbonila e não ligante do halogênio (ver Figura 4 - item 1.3.).

Metzger e col.⁷⁴ investigaram o efeito dos substituintes em algumas bicicloalcanonas α -substituídas e chegaram às mesmas conclusões de Jantzen e col.⁵⁷.

Na Tabela 5 são apresentados valores de efeitos α , β , γ e δ para uma série de substituintes orientados axial e equatorialmente em cicloexanos monossubstituídos. Na Tabela 6 se encontram os efeitos médios de alguns substituintes em cicloexanos monossubstituídos, e na Tabela 7 os efeitos de vários substituintes nas posições endo e exo de norbornanos.

Valores de efeitos dos substituintes em cicloalcanonas podem ser encontrados no item 3.2.1. (Tabela 10).

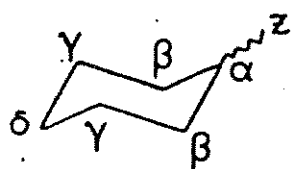
1.5.4.2. Efeito β

Com exceção dos grupos carbonila, ciano e nitro, o efeito do substituinte no carbono β independe da natureza do substituinte e seu valor normalmente se encontra entre +6 e +11, considerando compostos de cadeia linear (ver Tabela 4).

A presença de um certo "congestionamento" estérico na molécula tende a diminuir o valor deste efeito (ver Tabela 4, efeito β -iso e Tabelas 5 e 7).

O fato do efeito β induzir, com raras exceções, um deslocamento paramagnético do carbono considerado, nos leva a acrescentar que este efeito depende, em grande parte, da eletronegatividade do substituinte. Entretanto, não são encontradas explicações conclusivas na literatura a respeito deste efeito, tido apenas como resultante de efeitos competitivos.

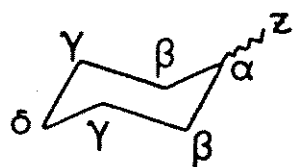
Tabela 5. Efeitos de Substituintes Axiais e Equatoriais em Cicloexanos Monossubstituídos ^{a,b}.



Z	α		β		γ		δ	
	e	a	e	a	e	a	e	a
COOCH ₃	16,3	12,1	2,5	0,7	-1,1	-3,9	-0,7	-0,3
F	64,5	61,1	5,6	3,1	-3,4	-7,2	-2,5	-2,0
Cl	32,8	33,1	10,6	6,9	-0,1	-6,6	-1,8	-1,0
Br	25,1	28,4	11,8	7,9	1,4	-5,5	-1,4	-0,6
I	3,6	11,3	13,4	9,0	2,3	-4,2	-1,7	-0,9
SH	11,1	8,9	10,7	6,1	-0,6	-7,6	-2,4	-1,3
NC	24,9	23,3	6,7	3,5	-2,6	-6,9	-1,8	-1,8
CN	0,7	-0,6	2,2	0,4	-2,5	-5,1	-2,6	-2,0
NCS	28,3	25,8	6,9	4,3	-2,5	-6,4	-2,2	-2,2
OCOC ₆ H ₅	45,8	42,0	4,5	2,3	-2,9	-6,7	-2,3	-2,3
OCH ₃	52,9	47,9	5,1	3,0	-2,3	-5,9	-0,9	-0,4
OH	43,9	38,5	8,6	6,2	-1,8	-6,5	-0,9	0,0
NH ₂	24,2	20,4	10,5	6,8	-1,2	-7,0	-0,9	0,0
CHO	23,2	19,6	-1,3	-2,3	-1,7	-4,3	0,0	0,0
CH ₃	5,9	1,4	9,0	5,4	0,0	-6,4	0,2	-0,1
C ₂ H ₅	13,0	8,5	6,0	3,0	-0,4	-5,6	0,1	0,1
i-C ₃ H ₇	17,6	14,1	3,0	3,2	-0,2	-5,4	0,3	0,1
t-C ₄ H ₉	21,6		0,7		-0,1		0,1	
CH ₂ Cl	13,3		3,6		-1,2		0,8	
CH ₂ OH	13,7		2,9		-0,9		-0,2	
COCl	27,8		2,1		-2,1		-1,7	
COCH ₃	23,9		1,4		-1,0		-1,3	
SiCl ₃	6,3		-0,5		-1,7		-1,2	
OCOCH ₃	44,7		4,6		-3,2		-1,5	
NH(CH ₃)	31,7		5,7		-1,3		-0,2	
N(CH ₃) ₂	37,3		2,2		-0,5		-0,1	
NH ₂ HCl	23,9		5,8		-2,0		-1,6	

^aDados da Ref. 59; ^bA parte inferior da Tabela corresponde a valores médios obtidos à temperatura ambiente.

Tabela 6. Efeitos Médios dos Substituintes em Cicloexanos Monosubstituídos^a.



Z	α	β	γ	δ	$-\Delta G^b$	% axial ^c
F	63,0	5,6	-4,0	-1,5	0,15	42
Cl	32,3	9,7	-2,3	-1,9	0,43	33
Br	25,1	10,4	-1,4	-1,9	0,38	35
I	4,3	12,3	-0,1	-2,0	0,43	33
OMe	51,1	4,8	-3,2	-0,8	0,60	27
Me	5,9	8,5	-0,4	-0,5	1,70	5
t-Bu	21,3	0,6	0,2	-0,4	4,2	~0
NH ₂	23,5	10,1	-1,8	-1,1	1,20	12
OH	42,4	8,4	-2,6	-1,2	0,52	30

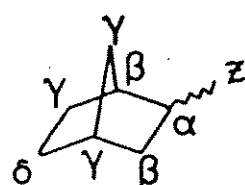
^a Dados da Ref. 84; ^b Dados em Kcal/mol da Ref. 53; ^c Dados da Ref. 26.

1.5.4.3. Efeito γ

Embora apresente um valor numericamente pequeno, este efeito tem sido de grande utilidade em estudos de estereoquímica¹⁰⁸. O cálculo do efeito γ é feito de maneira análoga ao efeito α .

Grant e Cheney⁴⁵ interpretaram o efeito γ como uma polarização induzida da ligação C γ -H que deslocaria a carga ao longo

Tabela 7. Efeitos dos Substituintes em Norbornanos 2-Monossubstituídos^a.



Z	Orientação	α		β		γ			δ
		C-2	C-1	C-3	C-4	C-6	C-7	C-5	
Me	exo	6,7	6,7	10,1	0,5	-0,9	-3,7	0,2	
	endo	4,5	5,4	10,6	1,4	-7,7	0,2	0,5	
CH_2OH	exo	15,1	1,8	4,4	-0,2	-0,7	-3,3	0,2	
	endo	12,8	1,7	4,0	0,4	-7,2	1,4	0,2	
COOH	exo	16,7	4,6	4,4	-0,2	-1,0	-1,8	-0,3	
	endo	16,2	4,2	2,1	0,9	-4,8	1,9	-0,6	
COOMe	exo	16,4	5,1	4,2	-0,4	-1,4	-2,1	-1,1	
	endo	15,9	4,0	2,2	0,7	-5,0	1,7	-0,7	
NH_2	exo	25,3	8,9	12,4	-0,4	-3,1	-4,4	-1,2	
	endo	23,3	6,8	10,5	1,2	-9,5	0,3	0,6	
OH	exo	44,3	7,7	12,3	-1,0	-5,2	-4,1	-1,3	
	endo	42,4	6,3	9,5	0,9	-9,7	-0,9	0,2	
OMe	exo	54,2	3,4	9,6	-1,8	-5,3	-3,2	-1,1	
	endo	51,9	2,9	7,4	0,1	-9,6	-1,4	0,1	
CN	exo	1,0	5,5	6,3	-0,3	-1,6	-1,3	-1,5	
	endo	0,1	3,4	5,5	0,2	-4,9	0,0	-0,7	
Br	exo	23,5	10,1	14,2	0,7	-2,2	-2,8	-1,6	
	endo	23,7	7,5	11,8	0,6	-5,2	0,9	-0,2	
Cl	exo	32,1	9,6	13,8	0,0	-3,1	-3,3	-1,6	
	endo	31,0	7,2	11,2	0,6	-7,4	-0,4	-0,2	

^a Dados da Ref. 108.

da ligação, em direção ao carbono, causando uma expansão do orbital e consequente aumento da blindagem (ver Efeitos Estéricos no item 1.5.3.).

Os valores da Tabela 4 representam valores médios para alcanos de cadeia aberta. Nas Tabelas 5 e 7 podemos observar valores para sistemas cíclicos móveis e rígidos. Pode-se observar no último caso que o efeito γ na configuração trans (substituinte equatorial na Tabela 5 e exo na Tabela 7) é bastante reduzido em relação ao efeito observado na configuração gauche (substituinte axial na Tabela 5 e endo na Tabela 7). Tais efeitos são ditos γ -trans ou γ -anti e γ -gauche ou γ -syn, respectivamente.

O efeito γ -trans tem sido explicado³⁷, no caso dos heteroátomos da primeira linha (N, O, F), como uma interação hiperconjugativa entre os pares de elétrons livres do substituinte e a ligação $C_\alpha-C_\beta$ (Figura 9). Tal interação resultaria num aumento da densidade eletrônica do carbono γ . Esta interação seria favorecida para elementos como N, O e F devido esses possuírem uma ligação C-X curta e o raio do orbital $p\pi$ semelhante ao do carbono.

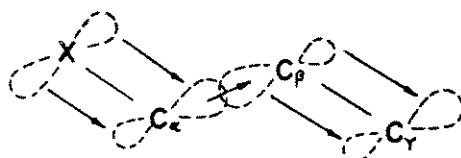
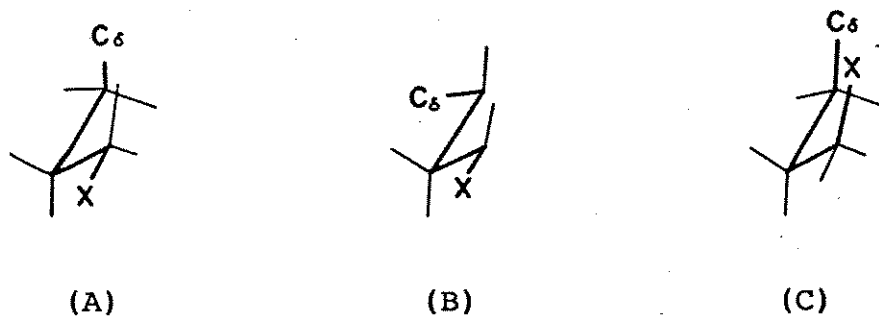


Figura 9. Transferência de carga hiperconjugativa, de pares de elétrons livres de um átomo X para um carbono γ -trans.

1.5.4.4. Efeito δ

O efeito δ de um substituinte afastado quatro ligações é normalmente desprezível em sistemas alifáticos ($< 1 \text{ ppm}$), uma vez que, nas conformações energeticamente favorecidas (A) e (B) a distância entre o carbono δ e o substituinte é muito grande.



Por outro lado para uma conformação syn-axial (C), onde a distância internuclear entre o carbono δ e o substituinte pode ser igual ou até mesmo menor do que nas conformações γ -gauche, fortes interações podem ser esperadas. Mas, como nos compostos de cadeia aberta, a população do rotâmero syn-axial é muito baixa, normalmente não se observa o efeito δ .

A situação é um pouco diferente quando consideramos sistemas incapazes de interconversão conformacional (norbornanos, esteróides...). Stothers e col.⁹⁹ apresentaram um estudo dos efeitos da hidroxila sobre os deslocamentos químicos de uma metila na posição δ em compostos de conformação rígida (norbornanos, decalinas e alguns esteróides), os quais apresentaram deslocamentos paramagnéticos, em torno de 1 ppm para interações do tipo (A) e numa faixa de 2,0 a 3,5 ppm para interações do tipo (C).

Outros valores de efeito δ , para diversos substituintes, são apresentados nas Tabelas 4, 5, 6 e 7.

C A P I T U L O 2

APRESENTAÇÃO E DISCUSSÃO DOS RESULTADOS

CAPÍTULO 2

APRESENTAÇÃO E DISCUSSÃO DOS RESULTADOS

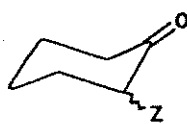
2.1. Síntese dos Compostos

Para a realização deste trabalho foram sintetizadas e/ou purificadas diversas cetonas 2-monossubstituídas (1 - 22) além de outros compostos (23 - 39), utilizados como precursores ou intermediários nas reações de obtenção das cetonas desejadas.

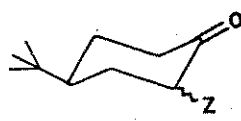
No Esquema 1 pode-se encontrar todos estes compostos devidamente numerados, numeração esta, independente da até então utilizada mas totalmente equivalente à utilizada na Parte Experimental desta tese. Vale lembar que os compostos de 13 a 22 podem existir como uma mistura de diastereoisômeros (cis e trans) que não é comentada nesta parte da tese, já que a maioria destas misturas (cis e trans) são originadas na própria reação ou no momento de isolar o produto¹². Casos em que isto não ocorreu são tratados na Parte Experimental.

2.1.1. Cicloexanonas 2-monossubstituídas

A cicloexanona (1), a 2-clorocicloexanona (3), a 2-metoxicicloexanona (6) e a 2-metilcicloexanona (10) eram de procedência comercial e foram apenas purificadas por métodos convencionais. A 2-N,N-dimetilaminocicloexanona (9) estava disponível em nosso laboratório e também foi apenas purificada. A 2-bromocicloexanona (4) foi facilmente preparada³ pela adição de bromo molecular à cicloexanona, em meio



$Z =$	H	(1)
	F	(2)
	Cl	(3)
	Br	(4)
	I	(5)
	OCH ₃	(6)
	SCH ₃	(7)
	SeCH ₃	(8)
	N(CH ₃) ₂	(9)
	CH ₃	(10)
	C(CH ₃) ₂	(11)



$Z =$	H	(12)
	F	eq. (13e) ax. (13a)
	Cl	eq. (14e) ax. (14a)
	Br	eq. (15e) ax. (15a)
	I	eq. (16e) ax. (16a)
	OCH ₃	eq. (17e) ax. (17a)

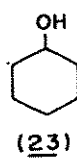
SCH₃ eq. (18e)
ax. (18a)

SeCH₃ eq. (19e)
ax. (19a)

N(CH₃)₂ eq. (20e)
ax. (20a)

CH₃ eq. (21e)
ax. (21a)

C(CH₃)₃ eq. (22e)
ax. (22a)



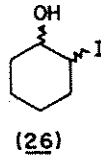
(23)



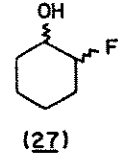
(24)



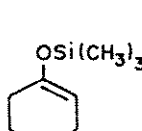
(25)



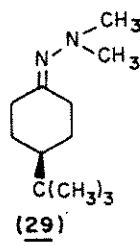
(26)



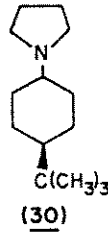
(27)



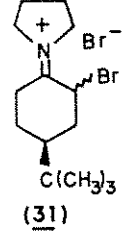
(28)



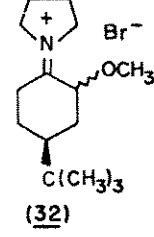
(29)



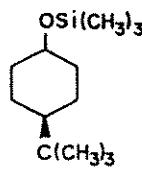
(30)



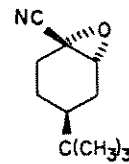
(31)



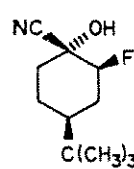
(32)



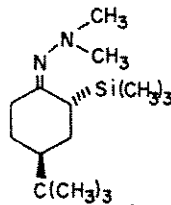
(33)



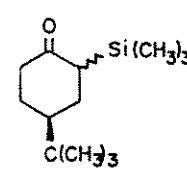
(34)



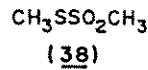
(35)



(36)

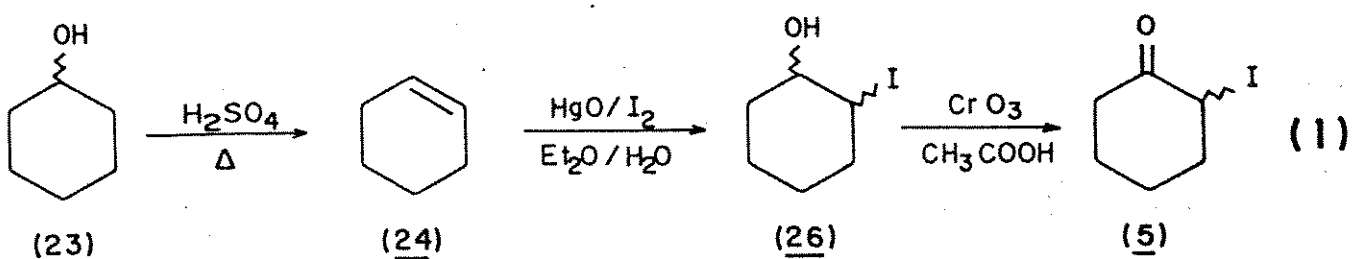


(37)



Esquema 1. Compostos Sintetizados e/ou Purificados.

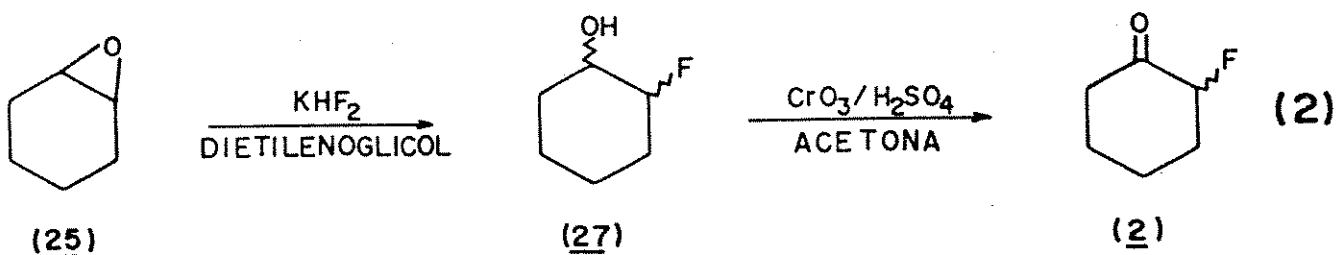
aquoso e à temperatura do banho de gelo. A 2-iodocicloexanona (5) foi inicialmente preparada em 3 etapas conforme demonstrado na Reação 1.



Primeiramente desidratou-se²⁵ o cicloexanol (23) pela ação de ácido sulfúrico concentrado e aquecimento obtendo-se o cicloexeno (24). Pela reação do cicloexeno (24) com óxido de mercurio II e iodo obteve-se o 2-iodocicloexanol (26) que foi oxidado pela ação do óxido de crômio VI em meio de ácido acético, originando a 2-iodocicloexanona (5).

A dificuldade de isolar o produto (que se decompõe facilmente) obrigou-nos à utilização de uma rota alternativa, visando a obtenção do produto com um grau de pureza relativamente alto, de forma a utilizá-lo sem purificação. Assim, a 2-iodocicloexanona (5) foi preparada⁴⁹ pela adição de iodo, dissolvido em tetraidrofurano (THF), sobre o enolato da cicloexanona (gerado com diisopropilamideto de lítio-LDA) a -78°C.

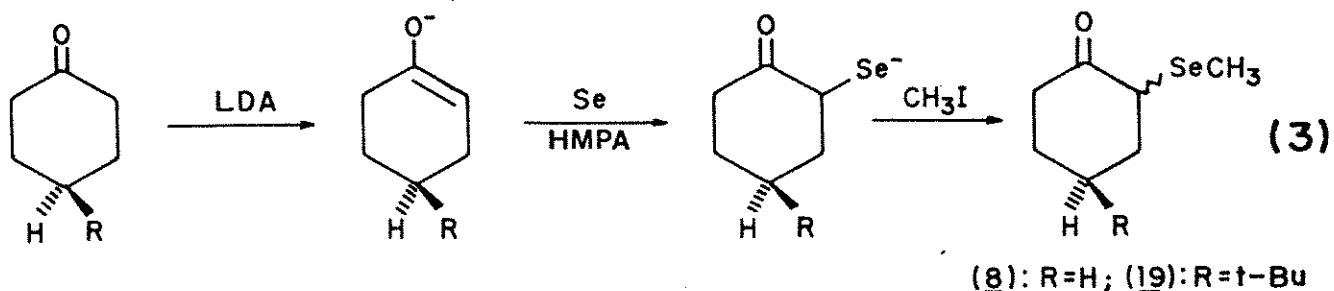
A 2-fluorocicloexanona (2) foi obtida em duas etapas¹⁰⁹, conforme demonstrado abaixo (Reação 2).



Primeiramente, procedeu-se a obtenção do 2-fluorcicloexanol (27) mediante a reação de óxido de cicloexeno (25) com hidrogenofluoretos de potássio. Após purificação do álcool obtido, fez-se a oxidação do mesmo com óxido de crômio VI, em presença de ácido sulfúrico.

A 2-metiltiocicloexanona (7) foi obtida⁹⁶ por um procedimento análogo ao descrito para a 2-iodocicloexanona (5). Assim, neste caso, adicionou-se metanotiosulfonato de metila (38) sobre o enolato da cicloexanona (gerado com diisopropilamideto de lítio-LDA).

A 2-metilselenocicloexanona (8) também foi obtida a partir do enolato de cicloexanona, porém, neste caso, juntamos ao enolato hexametilfosforamida (HMPA) e selênio em pó, mantendo-se sempre um controle rigoroso de temperatura (ver Parte Experimental) e, finalmente, adicionamos iodeto de metila (ver Reação 3).



A 2-t-butylcicloexanona (11) foi obtida^{87, 88} pela reação do éter sililenólico da cicloexanona (28) (preparado pelo método de Heathcock e col.⁵²) com cloreto de t-butila em presença de tetracloreto de titânio (ver Reação 4, R=H).

Na Tabela 8 são apresentados os rendimentos e propriedades físicas das cicloexanonas 2-monossubstituídas obtidas.

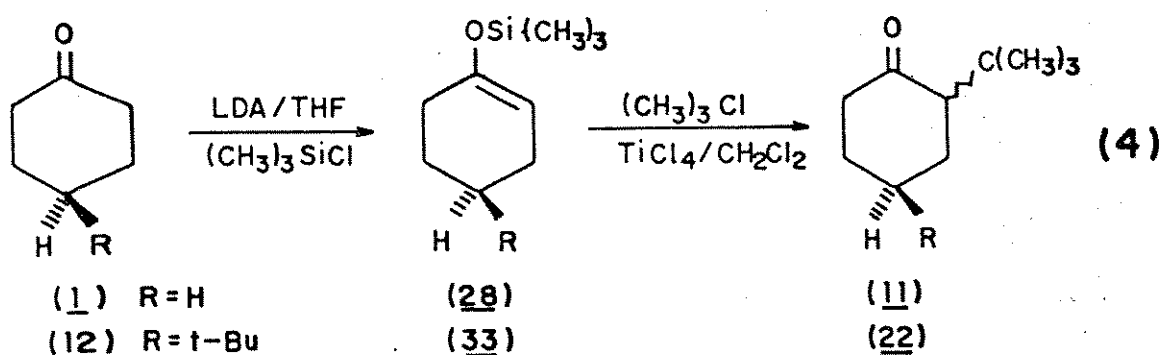


Tabela 8. Rendimentos e Propriedades Físicas de Algumas Cicloexanonas 2-monossubstituídas.

Número	Substituinte	p.e. (°C) / p. Torr	Rendimento (%)
<u>1</u>	H	70/45	--- ^a
<u>2</u>	F	95-97/20	42
<u>3</u>	Cl	85/13	--- ^a
<u>4</u>	Br	45/0,5	58
<u>5</u>	I	--- ^b	74
<u>6</u>	OCH ₃	80/20	--- ^a
<u>7</u>	SCH ₃	88-90/6,5	73
<u>8</u>	SeCH ₃	--- ^c	53
<u>9</u>	N(CH ₃) ₂	75-76/5	--- ^d
<u>10</u>	CH ₃	--- ^b	--- ^a
<u>11</u>	C(CH ₃) ₂	--- ^c	60

^a Produto comercial

^b Produto não purificado

^c Purificação por cromatografia em coluna de sílica

^d Produto disponível no laboratório

2.1.2. 4-t-Butilcicloexanonas 2-monossubstituídas

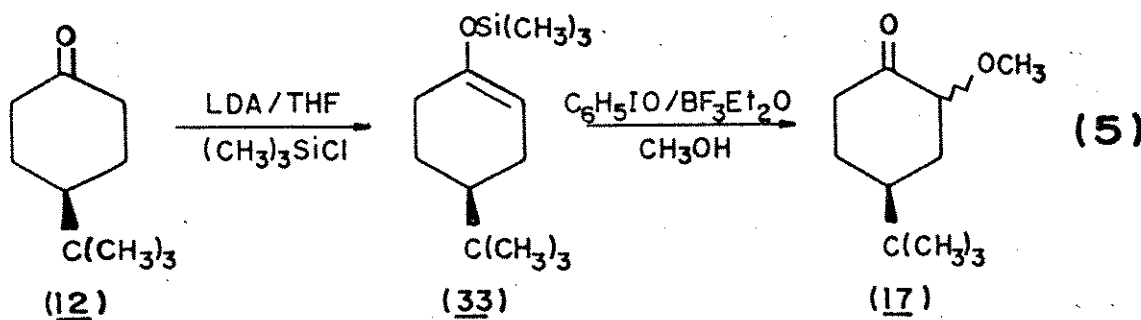
Para a obtenção dos compostos derivados da 4-t-butilcicloexanona utilizou-se, praticamente os mesmos caminhos escolhidos para a obtenção das cicloexanonas 2-monossubstituídas (item 2.1.1.). Assim, para a obtenção da 2-bromo-4-t-butilcicloexanona (15) apenas mudamos o solvente de água para éter etílico, devido a problemas de solubilidade⁴. Na preparação da 4-t-butil-2-cloro cicloexanona (14), dissolvemos 4-t-butilcicloexanona (12) em ácido acético e borbulhamos cloro⁸⁰.

A 4-t-butil-2-iodocicloexanona (16) e 4-t-butil-2-metiltiocicloexanona (18) foram obtidas^{49, 96}, pela reação de seus enolatos (gerados com diisopropilamideto de lítio-LDA), com iodo e metanotiosulfonato de metila (38), respectivamente.

A 4-t-butil-2-metilselenocicloexanona (19) foi obtida pelo mesmo procedimento utilizado na obtenção da 2-metilselenocicloexanona (8)⁶⁸. A reação (ver Reação 3 - R = t-Bu) forneceu apenas o diastereoisômero trans (19a), e as tentativas de epimerização desse composto provocaram a sua decomposição.

A 4-t-butil-2-N,N-dimetilaminocicloexanona (20) como no caso da 2-N,N-dimetilaminocicloexanona (9) também era disponível no laboratório, procedente de trabalhos anteriores¹², sendo apenas purificada por cromatografia.

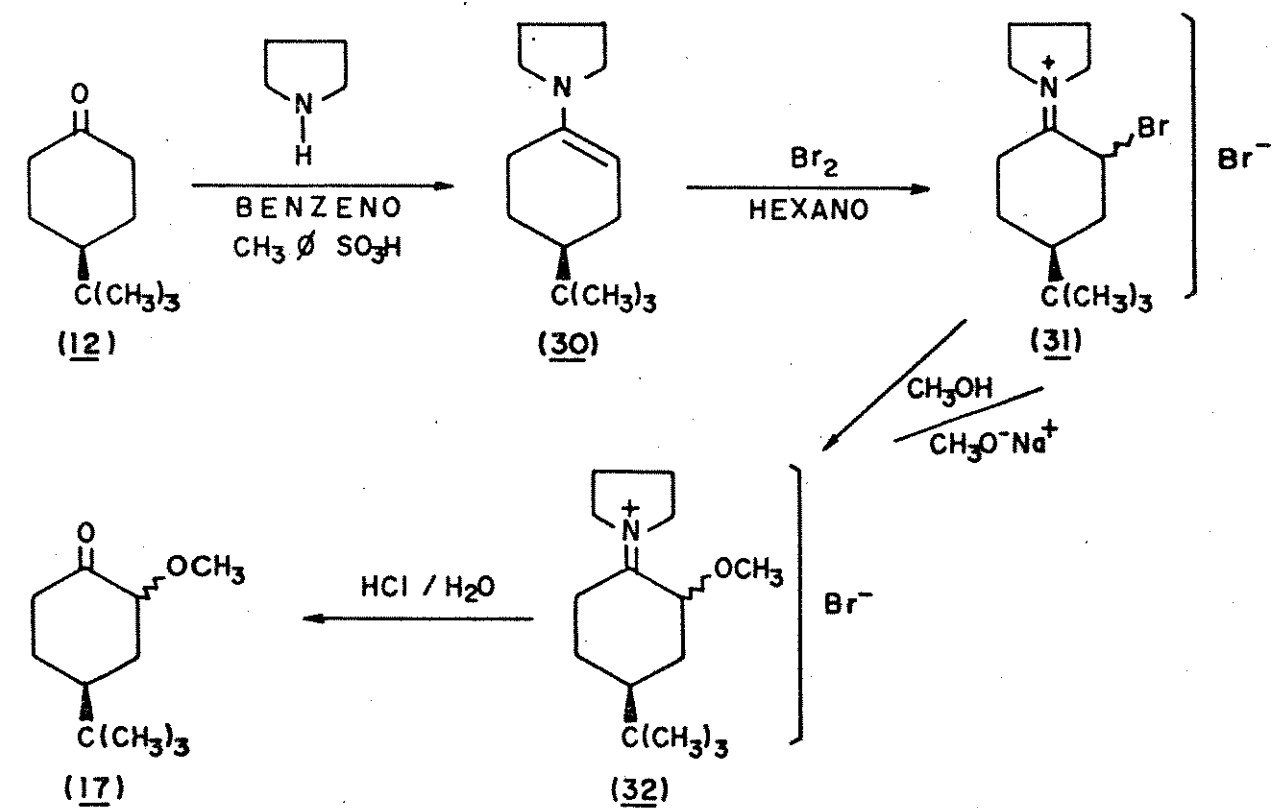
A preparação da 4-t-butil-2-metoxicicloexanona (17) foi inicialmente tentada por um método recente descrito por Moriarty e col.⁷⁶. A reação é realizada em duas etapas (Reação 5), sendo a primeira a obtenção do éter sililenólico da 4-t-butilcicloexanona e então a oxidação desta em meio de iodosobenzeno (39), trifluoreterato de boro e metanol.



Embora os autores⁷⁶ tenham relatado um bom rendimento (78%) para obtenção da 2-metoxicicloexanona, não conseguimos obter o derivado 4-*t*-butílico (17) por este método. Assim, a 4-*t*-butil-2-metoxicicloexanona (17) foi obtida por um método tradicional descrito por Cantacuzene e Tordeux¹⁹ (ver Esquema 2), que embora utilize 4 etapas, as reações são relativamente simples e apresentam um bom rendimento.

Primeiramente, procedeu-se a proteção da carbonila, na forma de enamina, pela reação com a pirrolidina, que originou o 4-*t*-butil-1-pirrolidinocicloexeno (30) o qual na presença de bromo dá o brometo de *cis* e *trans*-2-bromo-4-*t*-butil-1-pirrodinocicloexeno (31). Na etapa seguinte, substituiu-se o bromo por metoxila na reação com metóxido de sódio em meio metanólico. Em seguida, procedeu-se à hidrólise da enamina, na presença de ácido clorídrico, obtendo-se a cetona desejada (17).

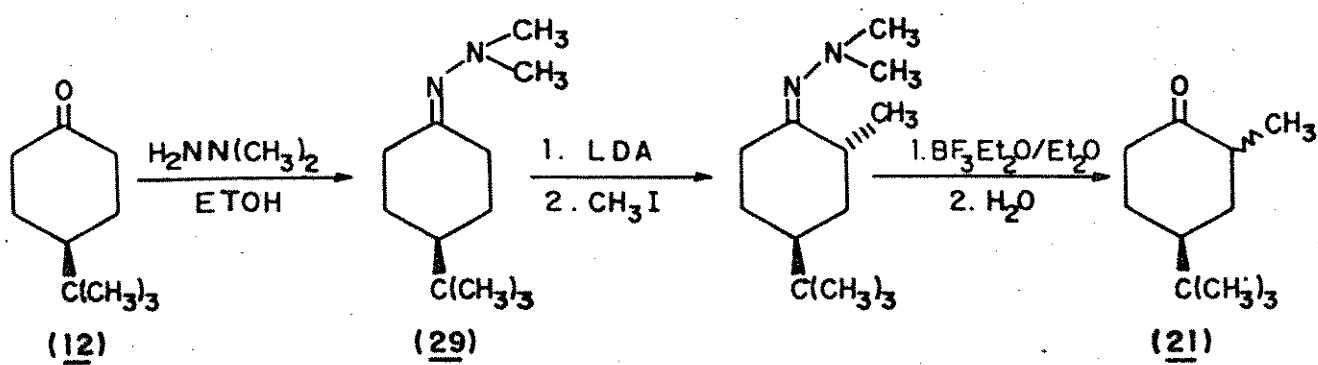
Para obtenção da 4-*t*-butil-2-metilcicloexanona (21)²⁸ fez-se a proteção da carbonila da 4-*t*-butilcicloexanona (12) na forma de hidrazona (29)⁸⁰. Numa etapa seguinte, fez-se a metilação da hidrazona pela adição de iodeto de metila ao enolato desta e então, procedeu-se à conversão de hidrazona em cetona novamente (ver Esquema 3).



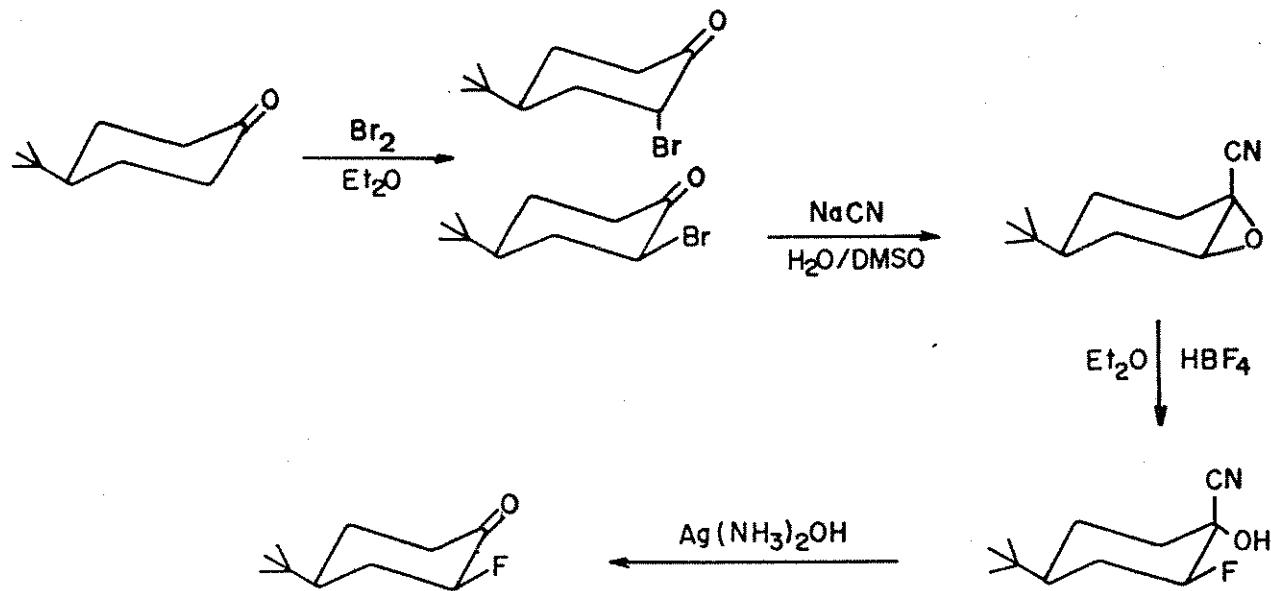
Esquema 2. Rota sintética para obtenção da cis (17e) e trans-4-t-butil-2-metoxicicloexanona (17a).

A 2,4-di-t-butilcicloexanona (22) foi obtida (ver Reação 4 - $\text{R} = \text{t-Bu}$) pelo mesmo procedimento^{87, 88}, já citado (item 2.1.1.) para a obtenção da 2-t-butilcicloexanona (11).

Para a obtenção da 4-t-butil-2-fluorocicloexanona (13) foram necessárias 4 etapas²¹, conforme mostrado no Esquema 4.



Esquema 3. Rota sintética para obtenção da cis (21e) e trans-4-
-*t*-butil-2-metilcicloexanona (21a).

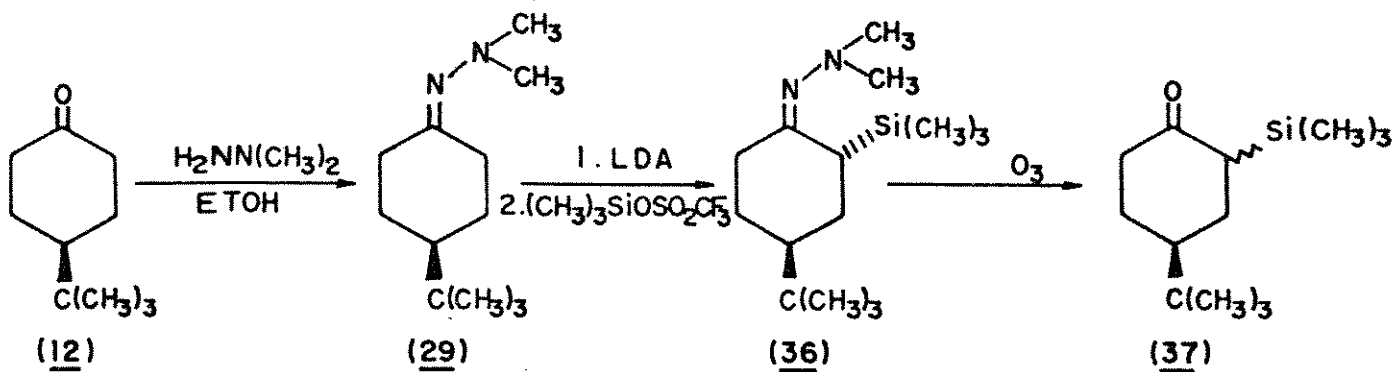


Esquema 4. Rota sintética para obtenção da cis-4-*t*-butil-2-fluor
cicloexanona (13e).

Primeiramente, fez-se a obtenção da 2-bromo-4-*t*-butilcicloexanona (15) por adição de bromo a uma solução etérea da ceta. Esta reação forneceu uma mistura dos diastereoisômeros cis e trans, mas, como apenas o cis nos interessava, colocou-se a mistura numa solução de brometo de hidrogênio seco em pentano onde este isômero cristaliza e é facilmente separado.

Pela reação da cis-2-bromo-4-*t*-butilcicloexanona (15e) com cianeto de sódio obteve-se o trans-cianoepóxido (34), o qual reagimos com ácido fluorídrico anidro (gerado in situ) para obter a fluorcianidrina correspondente (35) que, tratada com hidróxido de diamimprata nos forneceu a cis-4-*t*-butil-2-fluorcicloexanona (13e).

Além dos compostos até aqui obtidos, foram realizadas tentativas para obtenção do 4-*t*-butil-2-trimetilsiliciocicloexanona (37) pelo método descrito por Enders e Lohray³⁹ (ver Esquema 5).



Esquema 5. Rota sintética para obtenção da cis e trans-4-*t*-butil-2-trimetilsililcicloexanona (37).

Primeiramente, fez-se uma proteção da carbonila na forma de hidrazona. Num passo seguinte, geramos o enolato da hidrazona com LDA (diisopropilamideto de lítio) em tetraidrofurano e então, procedemos à silição, do enolado gerado, pela adição do trifluormetanosulfonato de trimetilsilila. Isolado o composto (36) passou-se para a etapa seguinte que era a clivagem da hidrazona e consequente regeneração da cetona. Embora esta última reação tenha sido repetida várias vezes, o produto não foi obtido. Tentou-se métodos alternativos para efetuar a clivagem da hidrazona, como o uso de trifluoreterato de boro⁴³ ou ainda utilizando cloreto cúprico²⁹, entretanto, estes métodos ao realizarem a conversão da N,N-dimetilhidrazona à cetona, clivavam também a ligação C-Si, originando assim a 4-t-butilcicloexanona (12).

Na Tabela 9 são apresentados os rendimentos e propriedades físicas de algumas 4-t-butilcicloexanonas 2-monossubstituídas.

2.2. Determinação dos Espectros de R.M.N.

2.2.1. Espectros de r.m.n. de ^1H

Os espectros de r.m.n. de ^1H , (ver Apêndice A - p. 158) foram determinados da maneira usual, inserindo-se em cada um deles expansões de determinadas regiões, de forma a propiciar não só a identificação do composto em questão como a retirada de dados (deslocamento químico e constantes de acoplamento) necessários ao estudo do equilíbrio conformacional.

No caso da 2-metilcicloexanona (10) e cis e trans-4-

Tabela 9. Rendimentos e Propriedades Físicas de Algumas 4-t-butilcicloexanonas 2-monossubstituídas.

Número	Substituinte	p.e. (°C) / p. Torr	Rendimento (%)
<u>12</u>	H	---d	---
<u>13</u>	F	---c	47
<u>14</u>	Cl	89-110/1	57
<u>15</u>	Br	95-120/1	61
<u>16</u>	I	---b	58
<u>17</u>	OCH ₃	---c	31
<u>18</u>	SCH ₃	123-130/0,5	78
<u>19</u>	SeCH ₃	---c	42
<u>20</u>	N(CH ₃) ₂	---c	---
<u>21</u>	CH ₃	---c	58
<u>22</u>	C(CH ₃) ₃	---c	73

^a Produto comercial

^b Produto não purificado

^c Purificado por cromatografia em coluna de sílica

^d Purificado por recristalização

^e Produto disponível no laboratório

-*t*-butil-2-metilcicloexanona (21e e 21a) foram obtidos espectros com Correlação Heteronuclear ($^{13}\text{C} \times ^1\text{H}$), de forma a identificar a qual dos isômeros (cis ou trans) pertence cada sinal.

Para a determinação da percentagem dos confôrmeros no equilíbrio, utilizou-se o método de Eliel^{36, 38}, que prevê que o deslocamento químico ou a constante de acoplamento do próton 2(H_X), desta classe de compostos, absorve como a média ponderada pelo equilíbrio conformacional em questão (Figura 10).

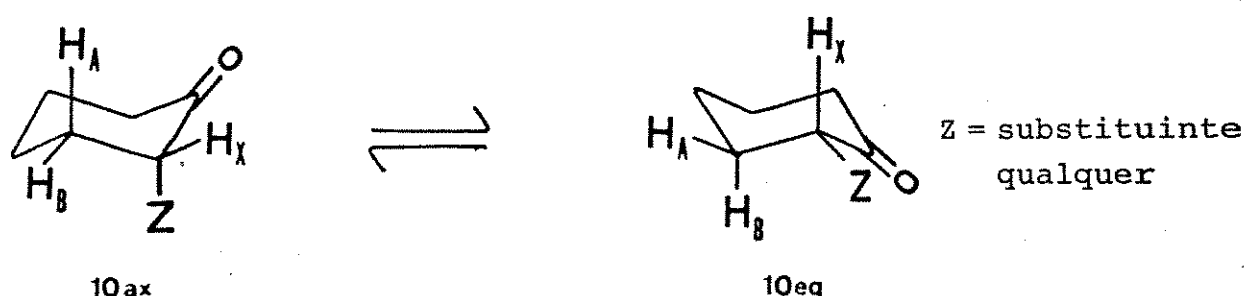


Figura 10. Orientação de um substituinte Z e equilíbrio conformacional em cicloexanonas 2-monossubstituídas.

Uma vez que a velocidade de interconversão destes confôrmeros é muito alta, impossibilitando a observação de cada um dos sinais, utiliza-se modelos (derivados 4-*t*-butílicos - ver Figura 11), rígidos conformacionalmente, que nos fornecem os valores extremos utilizados nas Equações de Eliel (Equações 9 e 10).

$$J_m = x_{ax} \cdot J_{ax} + x_{eq} \cdot J_{eq} \quad (9)$$

$$\delta_m = x_{ax} \cdot \delta_{ax} + x_{eq} \cdot \delta_{eq} \quad (10)$$

Os valores J_m e δ_m se referem aos valores médios obti-

20

dos para as cicloexanonas 2-monossubstituídas, x_{ax} e x_{eq} são as frações molares do isômero com substituinte axial e equatorial, respectivamente, enquanto que J_{ax} ou J_{eq} e δ_{ax} e δ_{eq} são os valores obtidos para cada um dos isômeros separadamente, utilizando os compostos modelos (derivados 4-t-butílicos - Figura 11).



Figura 11. 4-t-butilcicloexanonas 2-monossubstituídas.

Os acoplamentos a que nos referimos anteriormente refererem-se ao sistema $J(H_X, H_A) + J(H_X, H_B)$ e são determinados pela separação entre as linhas terminais da ressonância do próton 2 (H_X).

Casos onde o sinal do próton-2 é sobreposto por algum outro sinal faz-se necessária a aquisição de espectros de Correlação Heteronuclear ($^{13}\text{C} \times ^1\text{H}$) e, dependendo também da Correlação Homonuclear ($^1\text{H} \times ^1\text{H}$) para correta identificação dos sinais.

Também utilizamos como método alternativo, o sinal referente aos hidrogênios do substituinte, sendo assim, extremamente importante saber com segurança qual sinal correspondia a cada configuração.

2.2.2. Espectros de r.m.n. de ^{13}C

Os espectros de r.m.n. de ^{13}C (ver Apêndice B) foram determinados tomando-se o cuidado de evitar quaisquer variações instrumentais. Para cada um dos compostos em questão foram obtidos espectros normais (com desacoplamento de próton) e utilizando a técnica conhecida como APT (do inglês - Attached Proton Test)⁸², que nos permite obter espectros onde, dependendo da multiplicidade de cada carbono observaremos uma orientação para o sinal (Ex.: Se C, CH_2 orientam-se para baixo, CH e CH_3 orientam-se para cima). Para alguns compostos foi necessário também a obtenção de espectros utilizando a técnica DEPT ("Distortionless Enhancement by Polarization Transfer")³², que nos permite diferenciar, segundo vários sub-espectros a multiplicidade de cada carbono. Para a obtenção de espectros utilizando estas duas técnicas citadas (APT e DEPT) utilizou-se um programa embutido no "software" do computador do próprio aparelho (XL-400) de forma que foram necessários apenas o fornecimento de dados como, número de transientes a serem acumulados e o tempo relativo a $1/J$, que determina a orientação dos sinais no espectro.

Para algumas das cicloexanonas 2-monossubstituídas foram obtidos espectros a baixas temperaturas (até -135°C). A discussão em torno destas experiências se encontra nas páginas seguintes.

2.2.3. Espectros de r.m.n. de ^{17}O

As condições experimentais utilizadas na aquisição destes espectros se encontram descritas na Parte Experimental (Capítulo 3).

A determinação destes espectros foi realizada com Oxigênio-17 em abundância natural, já que não dispúnhamos de reagente ($^{17}\text{O}[\text{H}_2\text{O}]$) para proceder o enriquecimento isotópico dos compostos em estudo. Ainda assim, dada a sofisticação do aparelho utilizado, foi possível a aquisição de espectros num tempo relativamente curto (cerca de 3 h para cada espectro).

Foram adquiridos espectros apenas dos derivados da ciclocloexanona, com o intuito de se fazer uma correlação dos deslocamentos químicos de ^{17}O com os de ^{13}C . Por falta de tempo (duração da bolsa no exterior) não foi possível a aquisição dos espectros dos derivados da 4-t-butilcicloexanona.

2.3. Atribuição dos Sinais nos Espectros de R.M.N.

2.3.1. Espectros de r.m.n. de ^1H

Os espectros de r.m.n. de ^1H , dos compostos que foram utilizados no desenvolvimento desta tese, se encontram no Apêndice A.

Embora os espectros tenham sido obtidos num aparelho de alto campo (400 MHz), todos são de 2ª ordem, de forma que, a exceção do próton metínico do carbono 2 que absorve a campos mais baixos do que os prótons restantes do anel cicloexânico prati-

camente não pudemos obter outros dados também relevantes destes espectros. Desta forma, a atribuição dos sinais refere-se apenas ao próton 2 (carbono substituído) e aos substituintes, quando estes apresentam hidrogênios.

O próton 2 absorve numa região entre 3,0 e 5,0 ppm, dependendo do substituinte, com constantes de acoplamento que variam entre 8,0 e 20 Hz. Para o caso dos derivados da cicloexanona (2 - 11) o sinal observado corresponde a uma média, ponderada pelo equilíbrio conformacional (já comentado - ver Figura 10 p. 46) tanto no que diz respeito ao deslocamento químico como à constante de acoplamento, sendo esta última atribuída a parte X de um sistema ABX. Os valores de deslocamento químico e constante de acoplamento para estes compostos são apresentados na Tabela 10.

As 4-t-butilcicloexanonas 2-monossubstituídas (13 - 22) foram preparadas e isoladas normalmente como uma mistura dos diastereoisômeros cis e trans, ambos indispensáveis para a estimativa da percentagem de cada um dos confôrmeros das cicloexanonas 2-monossubstituídas (ver Figura 10 - p. 46). Quando este não foi o caso, procurou-se realizar reações de epimerização a fim de se obter a mistura (ver Parte Experimental). Em alguns outros casos, dada a dificuldade em interpretar os espectros, foi necessário isolar (quando possível) cada um dos isômeros, para então obter espectros separadamente.

Nos espectros de r.m.n. de ^1H dos derivados da 4-t-butilcicloexanona identifica-se com relativa facilidade o sinal de cada um dos prótons (cis-próton axial e trans-próton equatorial - ver Figura 11), por duas razões fundamentais: primeiro, o próton axial absorve a campos mais baixos que o respectivo próton equa-

Tabela 10. Deslocamentos Químicos^a de ^1H e Constantes de Acoplamento em Cicloexanonas 2-monossubstituídas.



Nº	Z	δH_2 (ppm)	$J(\text{H}_2\text{Z})$ ^b	δZ (ppm)
2	F	4,899	20,39 (49,00) ^c	-
3	Cl	4,394	16,49	-
4	Br	4,449	13,12	-
5	I	4,694	10,95	-
6	OCH ₃	3,726	17,80	3,425
7	SCH ₃	3,242	12,34	2,054
8	SeCH ₃	3,486	10,70	2,008
9	N(CH ₃) ₂	2,905	16,16	2,316
10	CH ₃	2,40 ^d	-	1,028
11	C(CH ₃) ₃	2,14 ^d	-	1,007

^a Em CDCl₃, Ref. interna T.M.S.

^b Determinado pela largura do sinal a meia altura.

^c Acoplamento geminal F-H (J_{HF})

^d Atribuído através de espectros com Correlação Heteronuclear ($^{13}\text{C} \times ^1\text{H}$), conforme descrito na p. 53.

atorial¹⁰⁷ e, em segundo, que confirma a primeira razão, pode-se distingui-los pelo acoplamento, uma vez que o próton axial (isômero cis) apresenta um duplo dublete, com constantes de acoplamento em torno de 12 Hz, resultante do acoplamento entre dois hidrogênios axiais (ângulo diedro $\Phi \sim 180^\circ$) e em torno de 5 Hz resultante do acoplamento de um hidrogênio axial e outro equatorial ($\Phi \sim 60^\circ$)⁴⁴.

O próton equatorial (isômero trans) apresenta um sinal menos resolvido que na realidade refere-se a acoplamentos semelhantes aos demonstrados pelo próton axial, mas, devido ao ângulo diedro ($\Phi \sim 60^\circ$) em relação a H_A e H_B, faz com que o sinal não seja resolvido o suficiente.

A Figura 12 exemplifica cada uma das situações citadas acima.

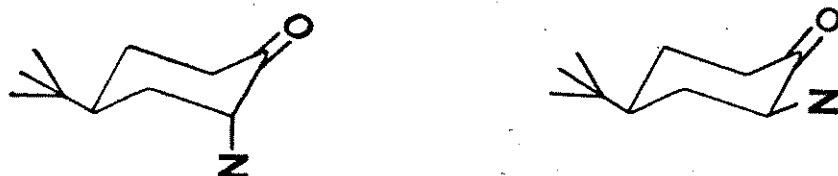
Além dos acoplamentos citados, ainda pode-se observar um pequeno desdobramento ($\sim 1,0$ Hz) referente a acoplamentos a longa distância, provavelmente com os hidrogênios do carbono 6 (⁴J)⁸⁹, mas que não nos auxiliam no estudo em questão e, assim, serão deixados de lado.

Na Tabela 11 são encontrados os valores de deslocamentos químicos e constantes de acoplamento das 4-t-butilcicloexano nas 2-monossubstituídas (13 - 22).

De forma a identificar corretamente os isômeros cis e trans da 4-t-butil-2-metilcicloexanona (21) e também obter os deslocamentos químicos dos prótons alfa (ligado ao C-2), necessários para o cálculo do equilíbrio conformacional, fez-se necessária a aquisição de espectros de correlação heteronuclear entre Carbono-13 e Hidrogênio-1 (HETCOR).

Primeiramente, obteve-se o espectro de correlação (¹³C x ¹H) da 2-metilcicloexanona (10) a partir do qual, através da

Tabela 11. Deslocamentos Químicos de ^1H e Constantes de Acoplamento em 4-t-Butilcicloexanonas 2-Monossubstituídas.



Nº	Z	Orientação	δH_2	cis	
				J^b	δ_Z
<u>13</u>	F	cis	4,958	22,74 (48,60) ^c	-
		trans	4,681	8,80 (50,80) ^c	-
<u>14</u>	Cl	cis	4,540	20,89	-
		trans	4,245	8,74	-
<u>15</u>	Br	cis	4,689	21,64	-
		trans	4,372	9,18	-
<u>16</u>	I	cis	4,918	21,60	-
		trans	4,692	9,38	-
<u>17</u>	OCH_3	cis	3,809	21,18	3,477
		trans	3,499	9,14	3,294
<u>18</u>	SCH_3	cis	3,429	20,33	2,122
		trans	3,176	9,72	2,049
<u>19</u>	SeCH_3	cis	-	20,50 ^d	-
		trans	3,454	9,94	2,029
<u>20</u>	$\text{N}(\text{CH}_3)_2$	cis	3,228	20,84	2,428
		trans	2,38 ^e	9,50 ^d	2,179
<u>21</u>	CH_3	cis	2,40 ^e	-	1,020
		trans	2,53 ^e	-	1,160
<u>22</u>	$\text{C}(\text{CH}_3)_3$	cis	2,13 ^e	-	0,993
		trans	2,23 ^e	-	1,008

^a Em CDCl_3 , Ref. interna T.M.S.

^b Determinado pela largura do sinal a meia altura.

^c Acoplamento geminal H-F (J_{HF})

^d Valor estimado por analogia (ver texto)

^e Atribuições realizadas com espectros de Correlação Heteronuclear ($^{13}\text{C} \times ^1\text{H}$), conforme texto a seguir.

análise do sub-espectro dos prótons ligados a cada carbono, pode-se determinar o deslocamento químico do próton α (ligado ao carbono absorvendo em 45,3 ppm) como 2,40 ppm (ver Figuras 13 e 14).

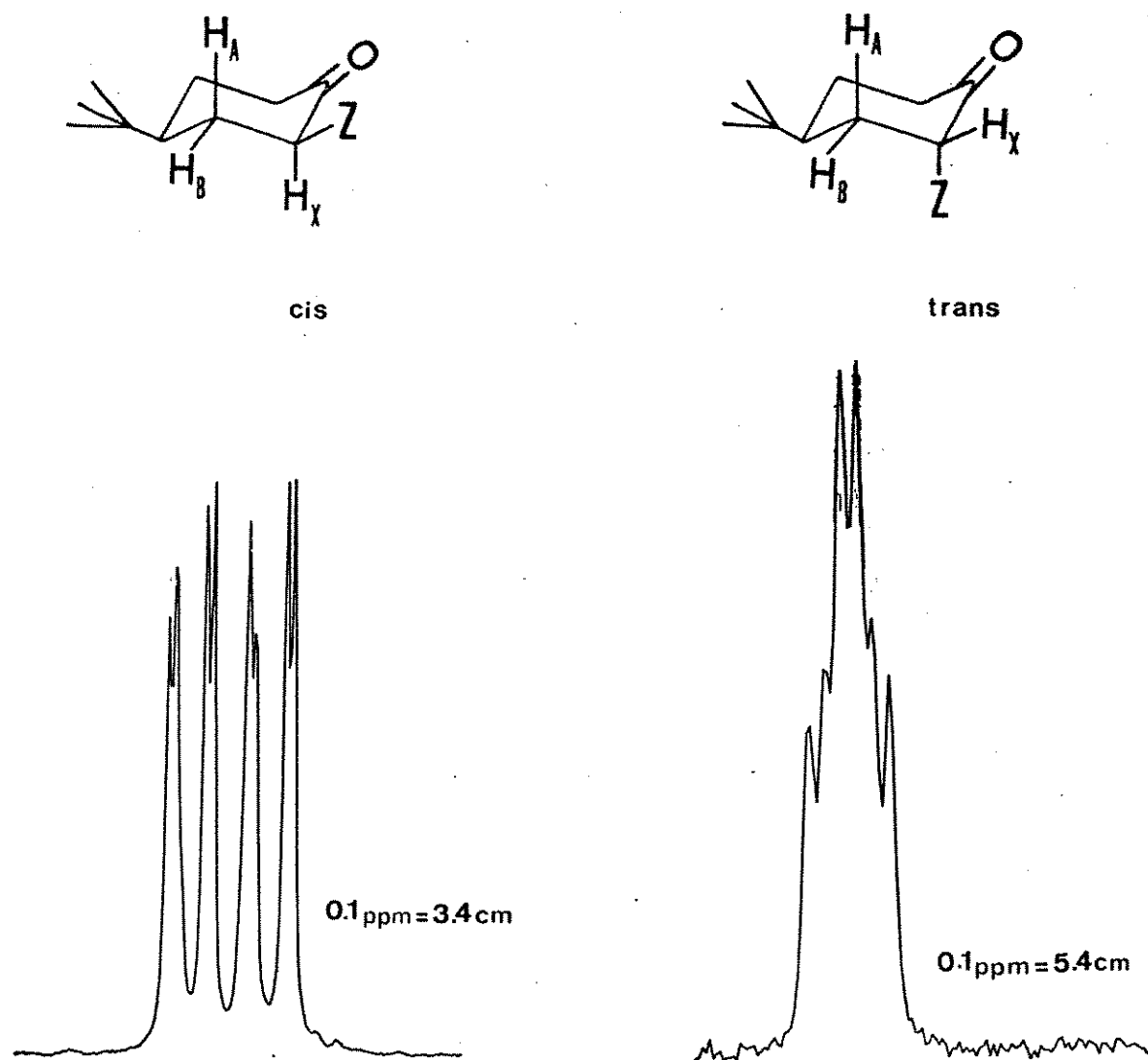


Figura 12. Acoplamentos em 4-*t*-butilcicloexanonas 2-monossustituidas.

Para a atribuição do derivado 4-*t*-butílico (21) buscou-se um maior número de informações já que neste caso, temos uma mistura de diastereoisômeros. Espectro deste composto obtido com a técnica APT (ver item 2.2.2.) nos permite identificar com segu-

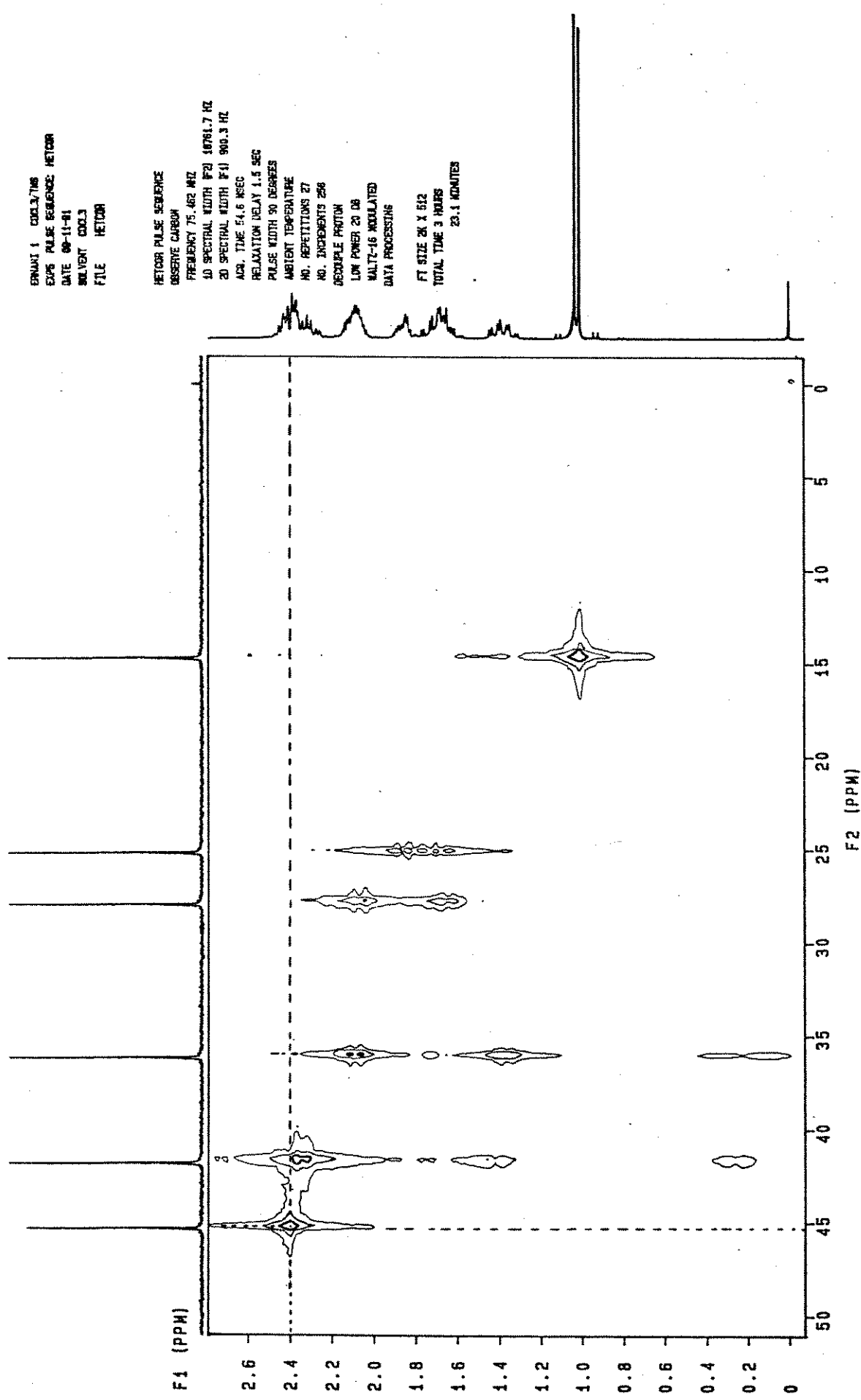


Figura 13. Espectro de Correlação Heteronuclear (¹³C . ¹H) da 2-Metilcicloexanona (10).

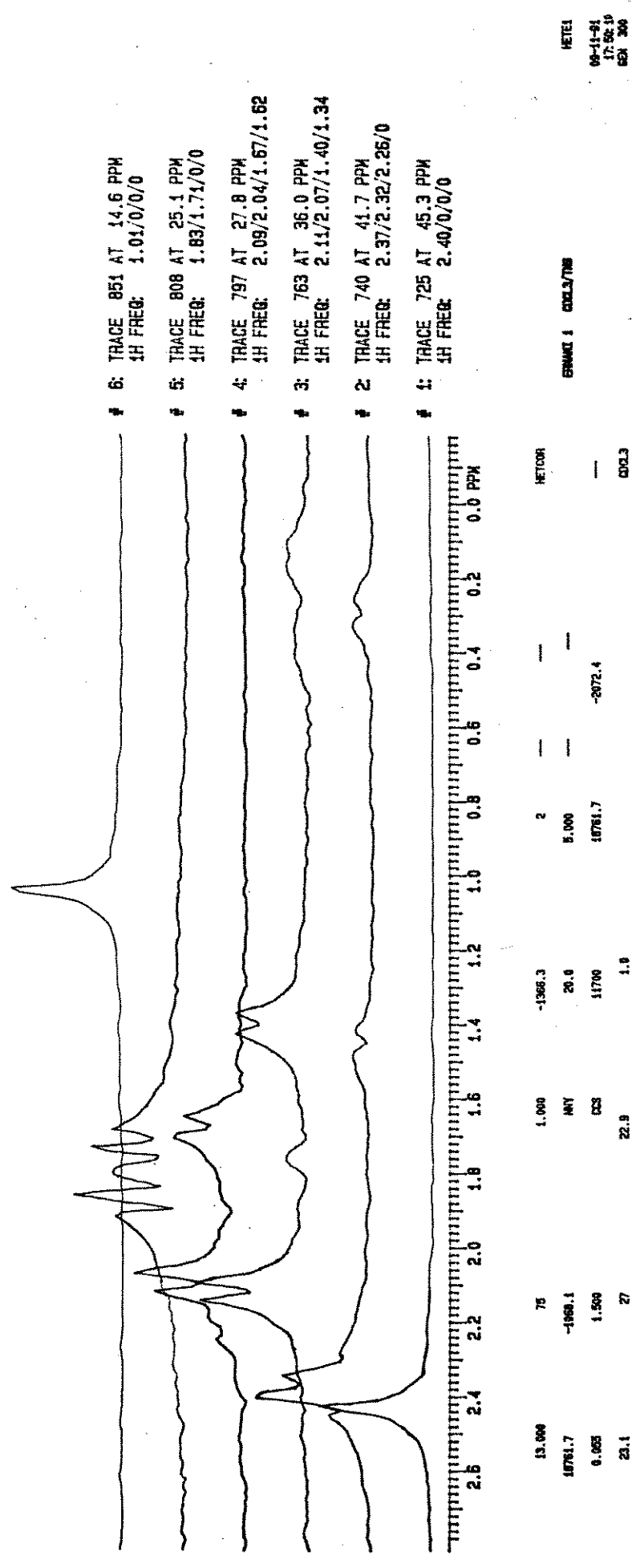


Figura 14. Espectros de Prôtons Ligados a cada Carbono da 2-Metilcicloexanona (10).

rança os Carbonos 4 e 2, que absorvem na região entre 47 e 41 ppm (ver Figura 15), sem contudo diferenciá-los entre si, e qual pertence a cada um dos isômeros, cis e trans. Analisando as Figuras 16 e 17, percebe-se que dos quatro sinais a serem identificados (47,11; 44,46; 42,97 e 41,23 ppm) apenas os que absorvem em 47,11 e 41,23 possuem correlação com um hidrogênio absorvendo em torno de 1,6 ppm, que é típico para hidrogênio ligado ao Carbono-4⁴⁸. A presença de mais uma correlação nesta região refere-se ao Carbono absorvendo em 41,34 ppm, que como pode ser observado na Figura 15, possui orientação oposta a dos sinais de interesse.

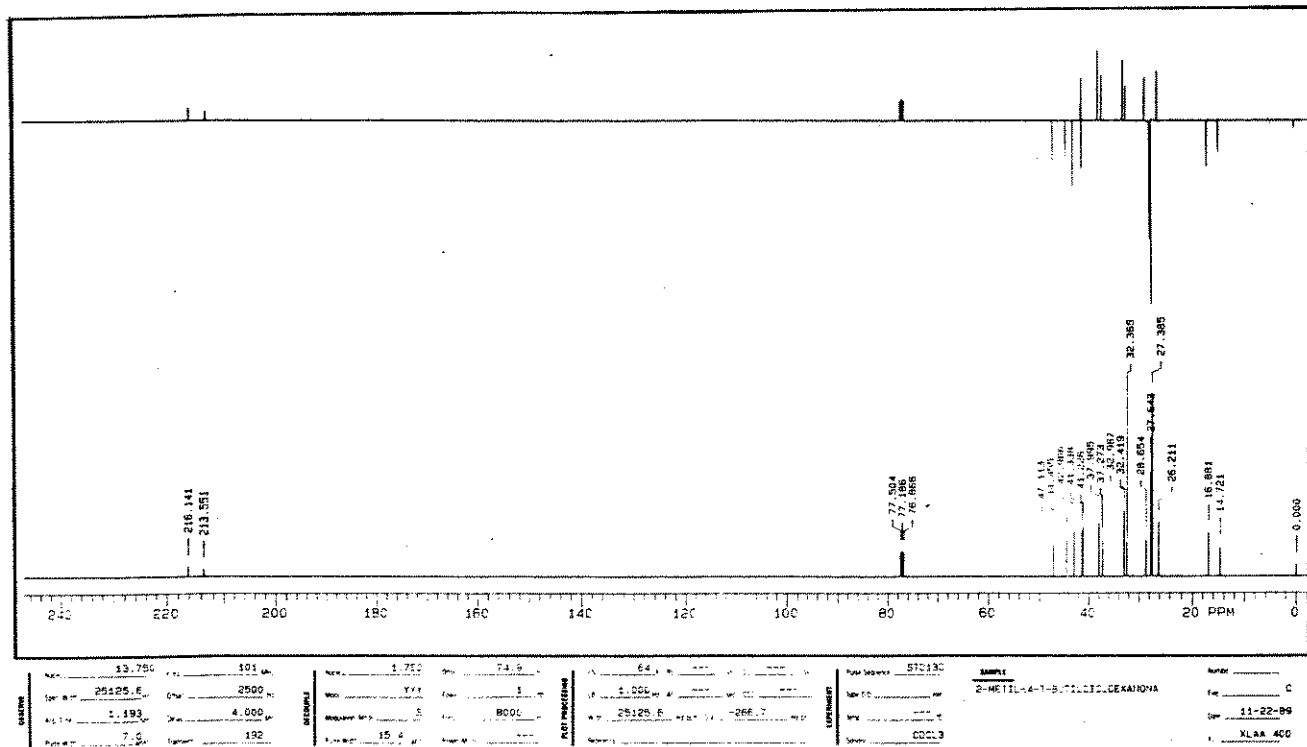


Figura 15. Espectros de r.m.n. de ^{13}C da cis (21e) e trans-4-t-butil-2-metilcicloexanona (21a).

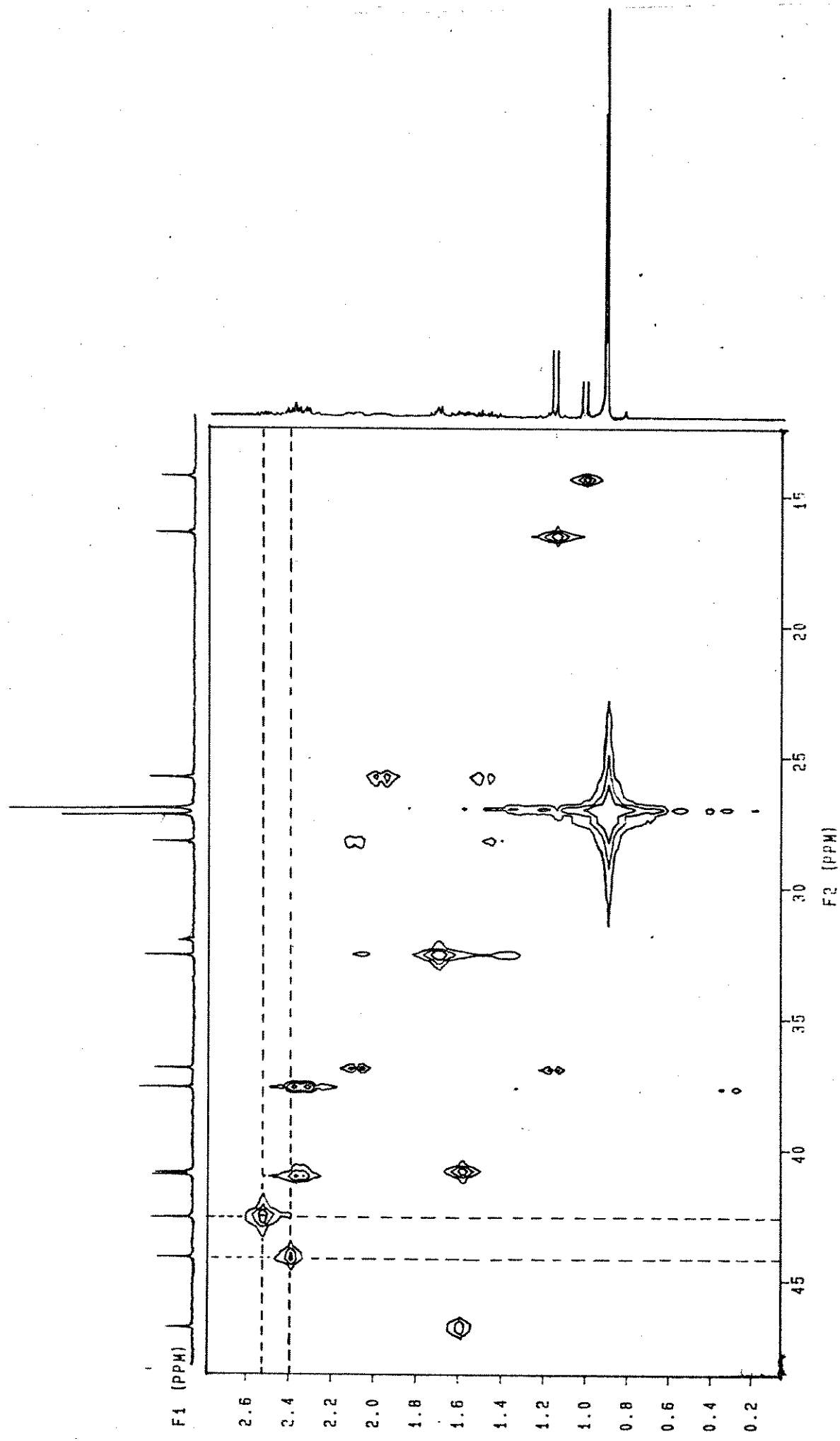


Figura 16. Espectro de Correlação Heteronuclear (^{13}C . ^1H) da cis(21e) e trans-4-t-Butil-2-metilcicloexanona (21a).

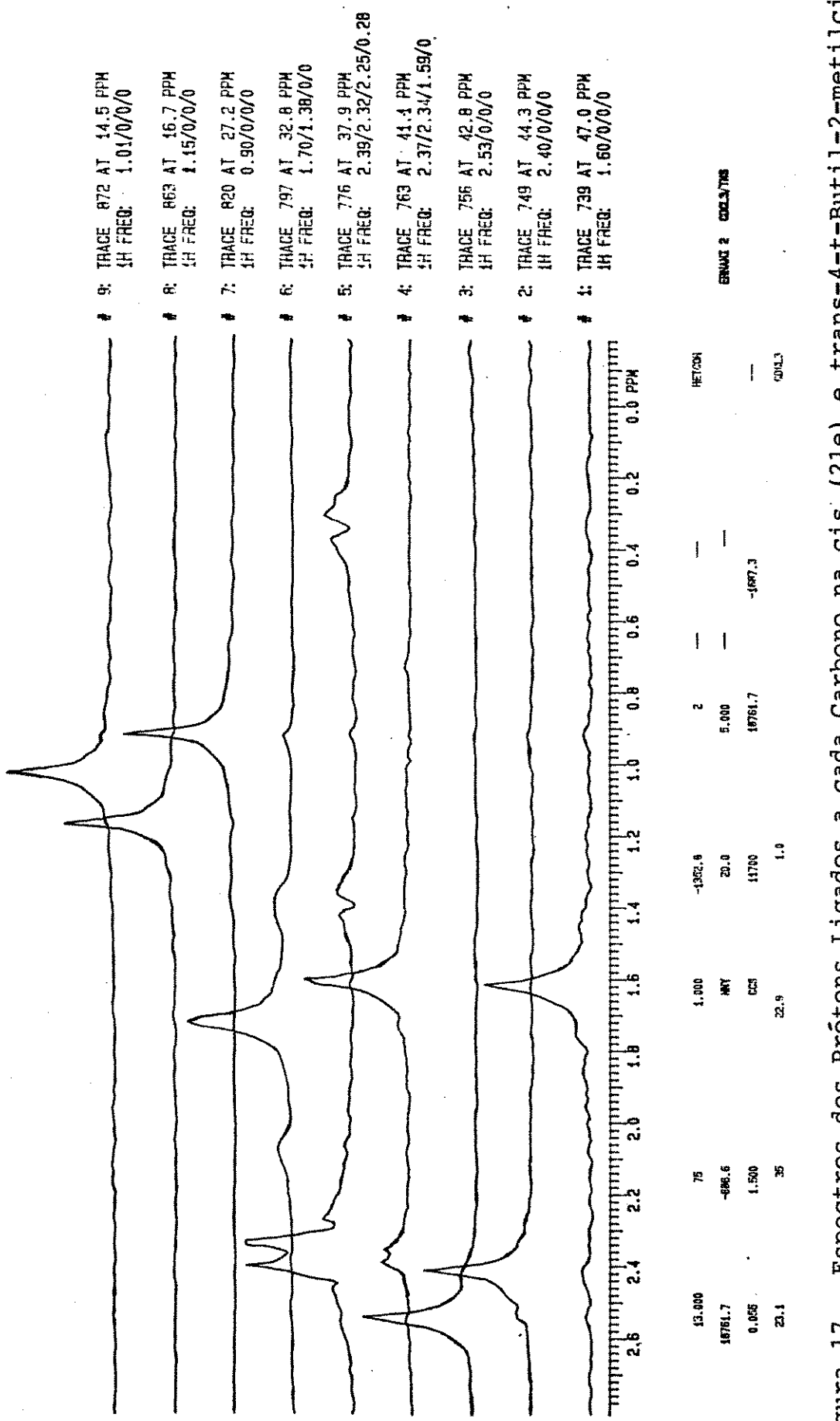


Figura 17. Espectros dos Prótons Ligados a cada Carbono na cis (21e) e trans-4-t-Butil-2-metilcicloexanona (21a).

É possível afirmar então que os sinais em 44,56 e 42,97 ppm são dos Carbonos-2 de cada um dos isômeros, cis e trans.

Conforme descrito na literatura¹⁰⁰, a interação γ do metil com o grupo carbonila tem um efeito de blindagem (r.m.n. de ¹³C) maior do que duas interações do tipo 1,3-diaxial da metila axial, o que equivale dizer que a metila ligada à posição 2 axial da cicloexanona é desblindada em relação à equatorial. A obtenção de um espectro de correlação homonuclear (¹H x ¹H) nos permite observar que o próton absorvendo em campo mais baixo (2,53 ppm) se correlaciona com a metila em 1,160 ppm, enquanto que o próton em 2,40 ppm se correlaciona com a metila em 1,020 ppm (ver Figura 18). Voltando ao espectro de correlação heteronuclear (Figura 16) podemos observar que a metila absorvendo em 16,88 ppm (¹³C) está correlacionada com os prótons metílicos em 1,16 ppm, enquanto a metila em 14,72 ppm (¹³C) correlaciona-se com os prótons metílicos em 1,02 ppm.

Unindo as informações dos espectros das Figuras 16 e 18, podemos observar que a metila absorvendo em 16,88 ppm (¹³C) tem seus prótons absorvendo em 1,16 ppm (Figura 16), sendo estes correlacionados com o próton que absorve em 2,53 ppm (Figura 18) que, por sua vez, está correlacionado com o carbono absorvendo em 42,97 ppm (Figura 16). Em suma, estes sinais pertencem todos a um único isômero (trans). Na Tabela 12 são relacionadas as atribuições decorrentes deste estudo.

Espectros com correlação heteronuclear também foram utilizados para atribuição do próton alfa nos derivados 2-t-butílicos. Assim, pode-se observar que o Carbono-2 da 2-t-butilcicloexana (11) absorve a 60,23 ppm (ver Apêndice B - Figura B-24) e está correlacionado com o hidrogênio absorvendo em 2,14 ppm, con-

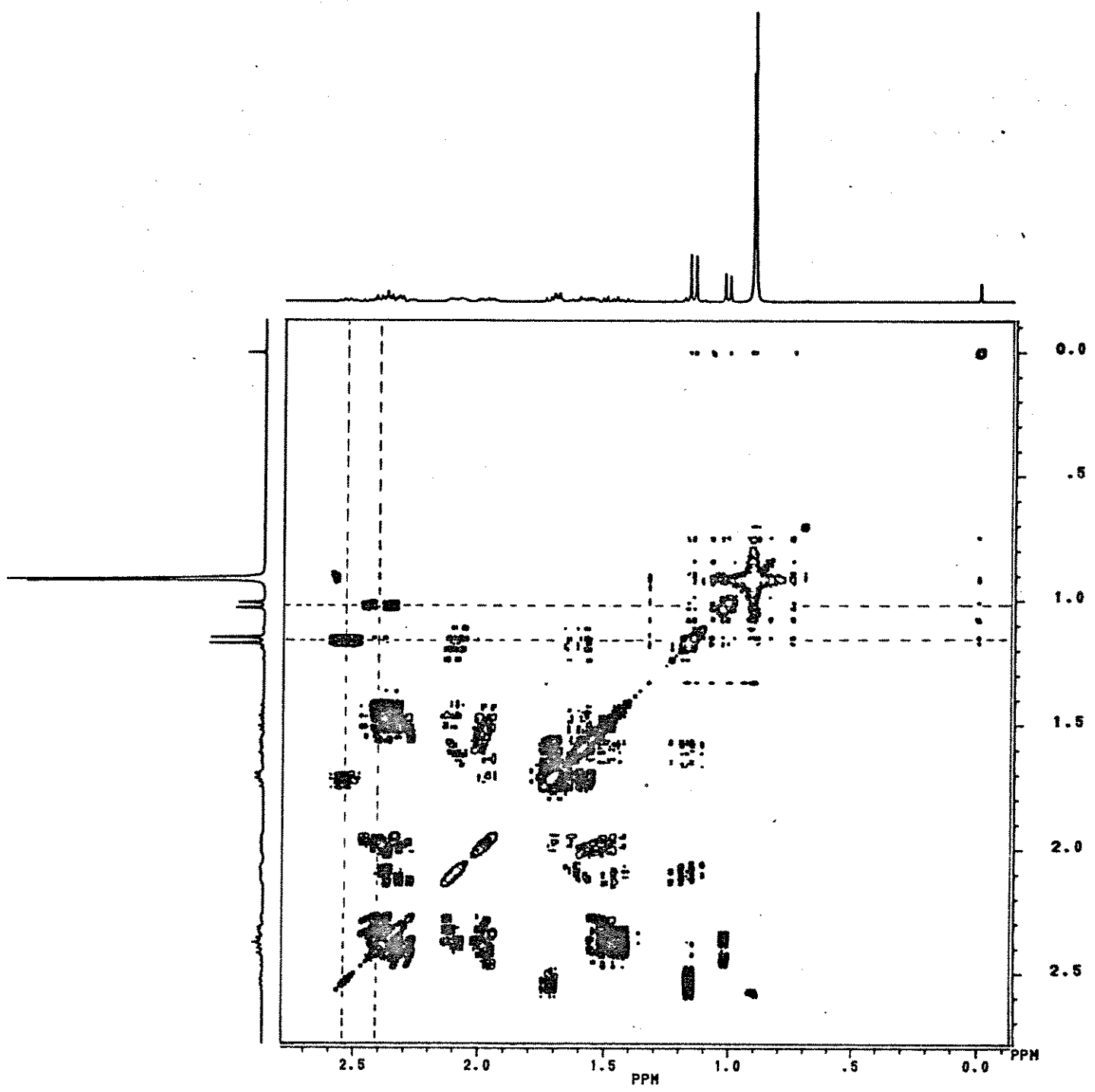


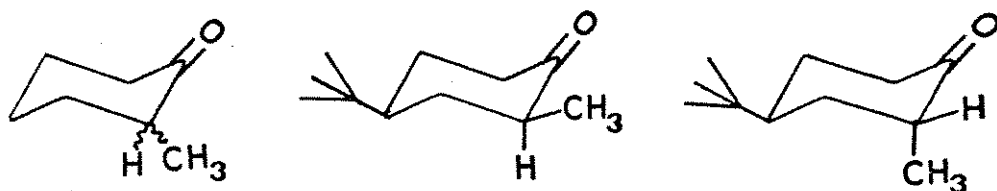
Figura 18. Espectro de Correlação Homonuclear ($^1\text{H} \times ^1\text{H}$) da cis (21e) e trans-4-*t*-Butil-2-metilcicloexanona (21a).

formas é demonstrado nas Figuras 19 e 20.

Nas Figuras 21 e 22 são demonstrados os espectros de correlação heteronuclear e dos hidrogênios de cada carbono, respectivamente, para a cis-2,4-di-*t*-butilcicloexanona (22e), através dos quais observa-se a correlação entre o Carbono-2 (59,04 ppm) e o hidrogênio ligado a este (2,13 ppm).

Nas Figuras seguintes (23 e 24) são apresentados os mesmos tipos de espectros das Figuras 21 e 22, porém, referentes à mistura dos isômeros cis (22e) e trans (22a) da 2,4-di-*t*-butilcicloexanona, donde retiramos o deslocamento químico do próton alfa do isômero trans (2,23 ppm) correlacionado com o Carbono-2 absorvendo em 55,79 ppm.

Tabela 12. Deslocamentos Químicos^a de Hidrogênio-1 e Carbono-13 da 2-Metilcicloexanona e seus Derivados 4-*t*-Butílicos.



$\delta_H(C-2)$	2,40	2,40	2,53
$\delta_H(C-9)$	1,028	1,020	1,160
$\delta_{^{13}C-2}$	45,37	44,46	42,97
$\delta_{^{13}C-9}$	14,75	14,72	16,88

^a Em ppm, relativo ao T.M.S.

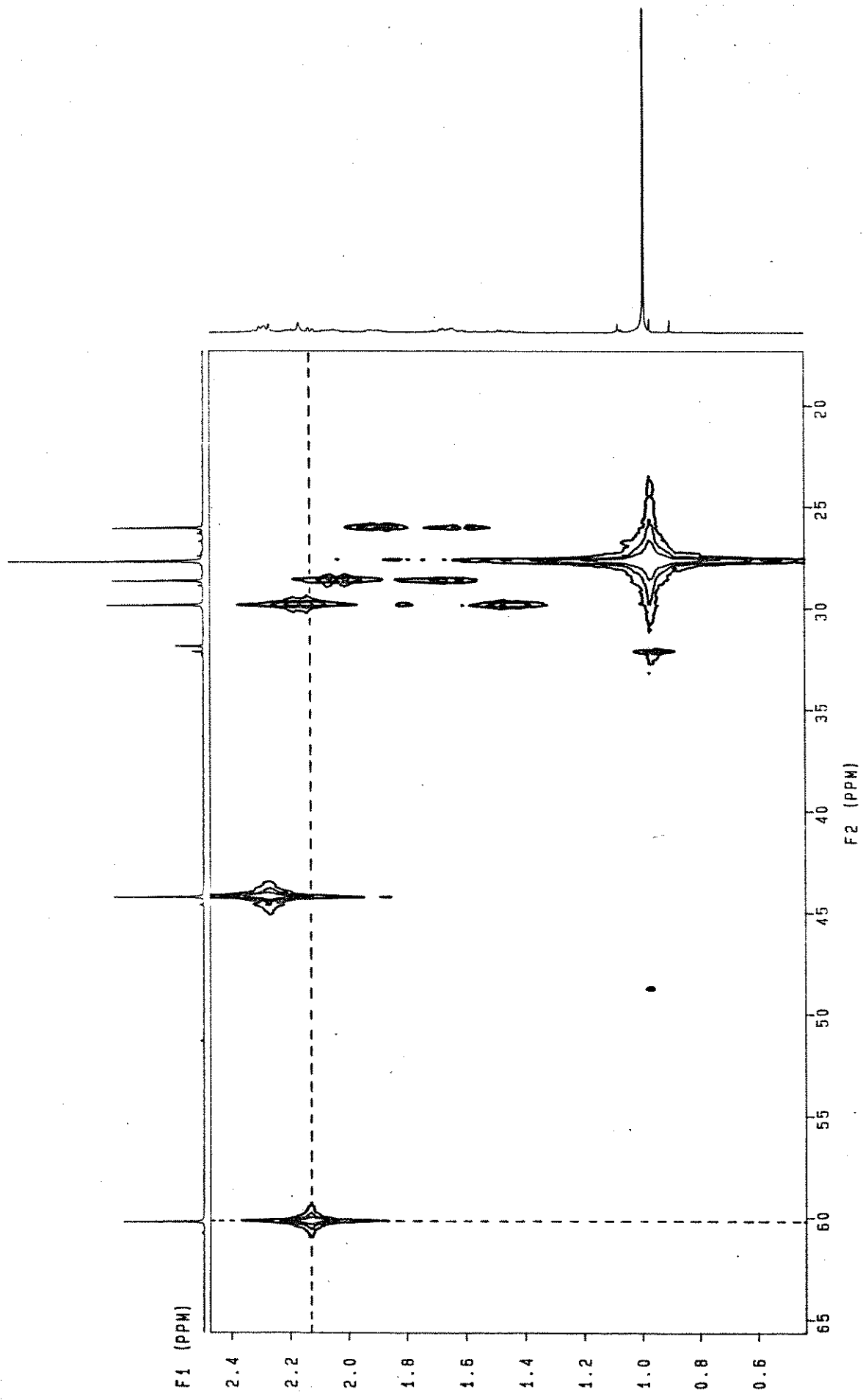


Figura 19. Espectro de Correlação Heteronuclear (¹³C x ¹H) da 2-*t*-Butilcicloexanona (11).

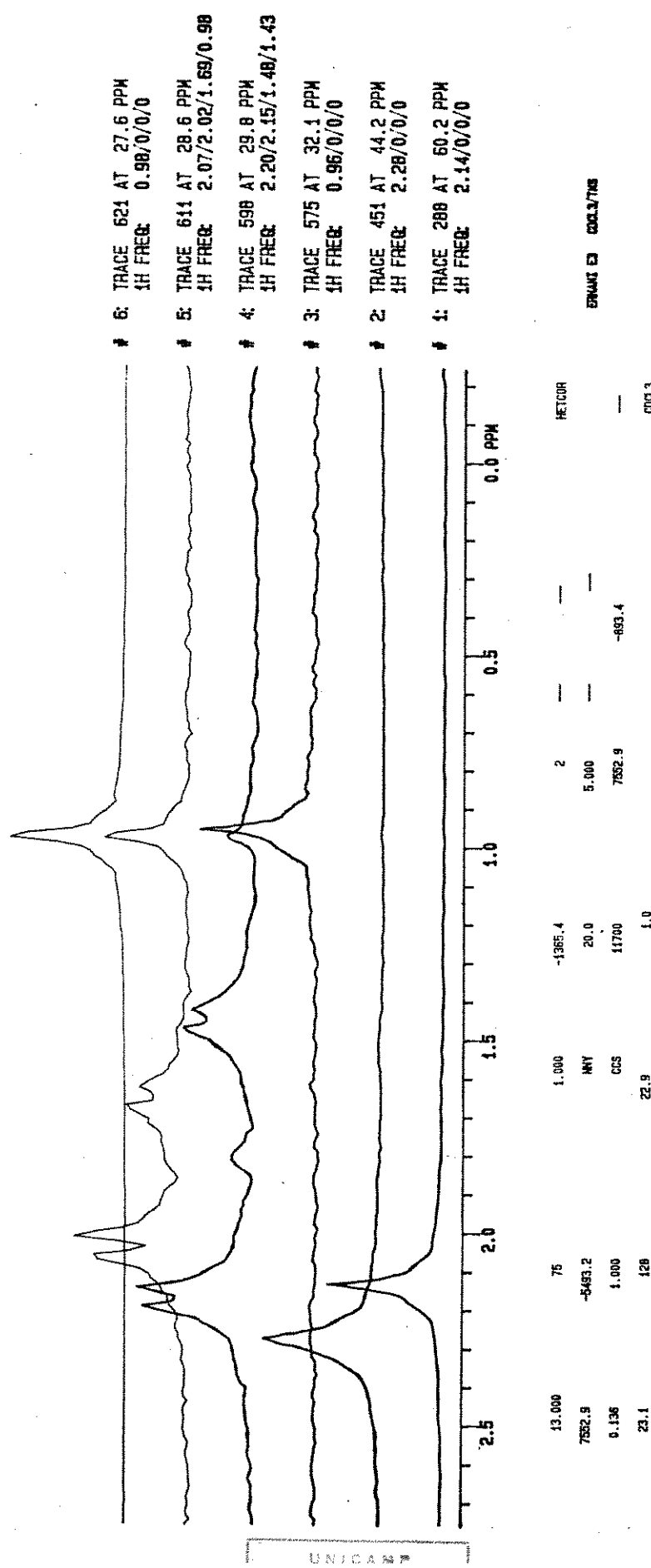
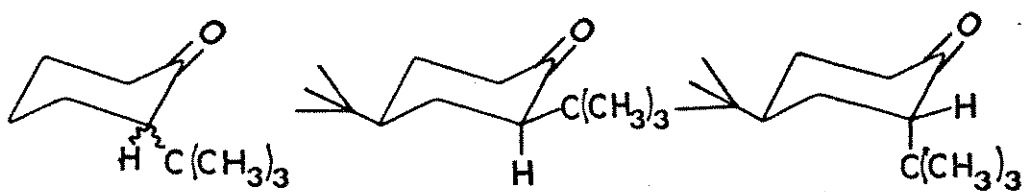


Figura 20. Espectros dos Prótons Ligados a cada Carbono na 2-t-Butilcicloexanona (11).

Na Tabela 13 encontram-se relacionados os dados retirados destes espectros.

Tabela 13. Deslocamentos Químicos^a de Hidrogênio-1 e Carbono-13 da 2-t-Butilcicloexanona e seus Derivados 4-t-Butílicos.



$\delta_{\text{H}}(\text{C}-2)$	2,14	2,13	2,23
$\delta_{^{13}\text{C}-2}$	60,23	59,04	55,79

^a Em ppm, relativo ao T.M.S.

Analizando as Tabelas 12 e 13 pode-se observar que os prótons alfa dos isômeros cis da 4-t-butil-2-metilcicloexanona (21) e da 2-4-di-t-butilcicloexanona (22) absorvem em campos mais altos do que o respectivo próton do isômero trans. Tal fato se opõe ao observado para as outras cicloexanonas 2-monossubstituídas deste trabalho (Tabela 11) onde o hidrogênio do isômero cis sempre absorve a campos mais baixos que o respectivo do isômero trans. Como estes dados não são descritos na literatura, registramos espectros de Correlação Heteronuclear ($^{13}\text{C} \times ^1\text{H}$) e Homonuclear ($^1\text{H} \times ^1\text{H}$) que nos permitiram uma atribuição segura des-

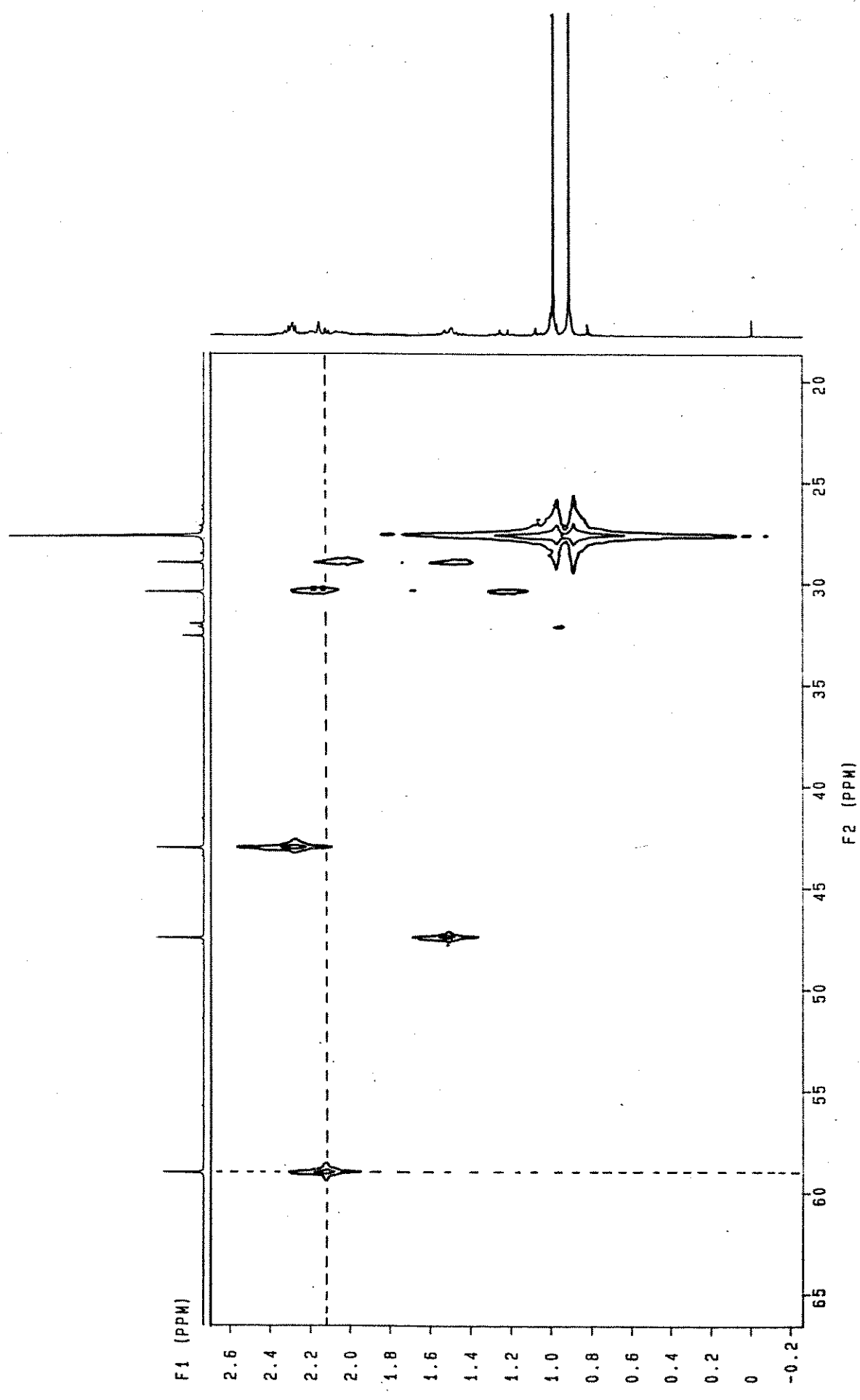


Figura 21. Espectro de Correlação Heteronuclear (^{13}C x ^1H) da cis-2,4-di-*t*-Butilcicloexanona (22e).

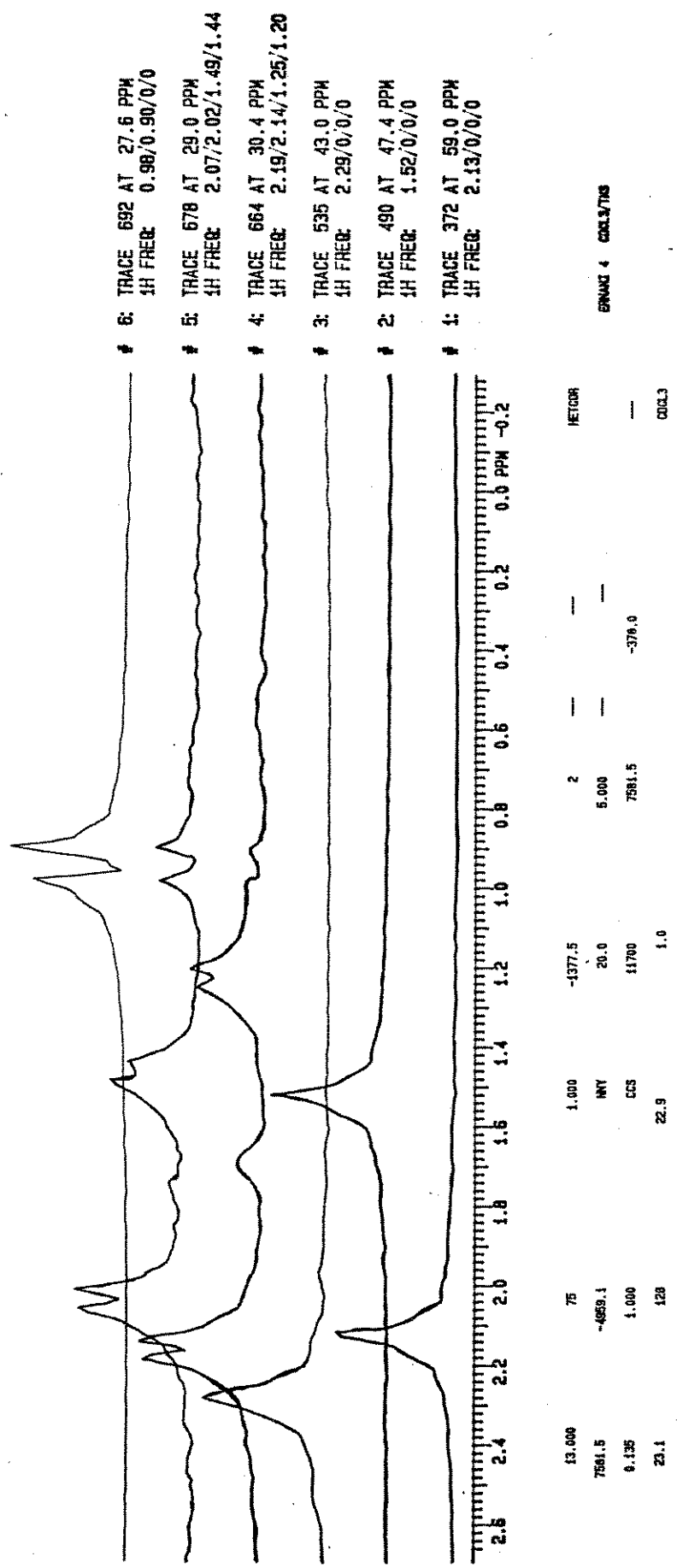


Figura 22. Espectros dos Prótons Ligados a cada Carbono na cis-2,4-di-t-Butilcicloexanona (22e).

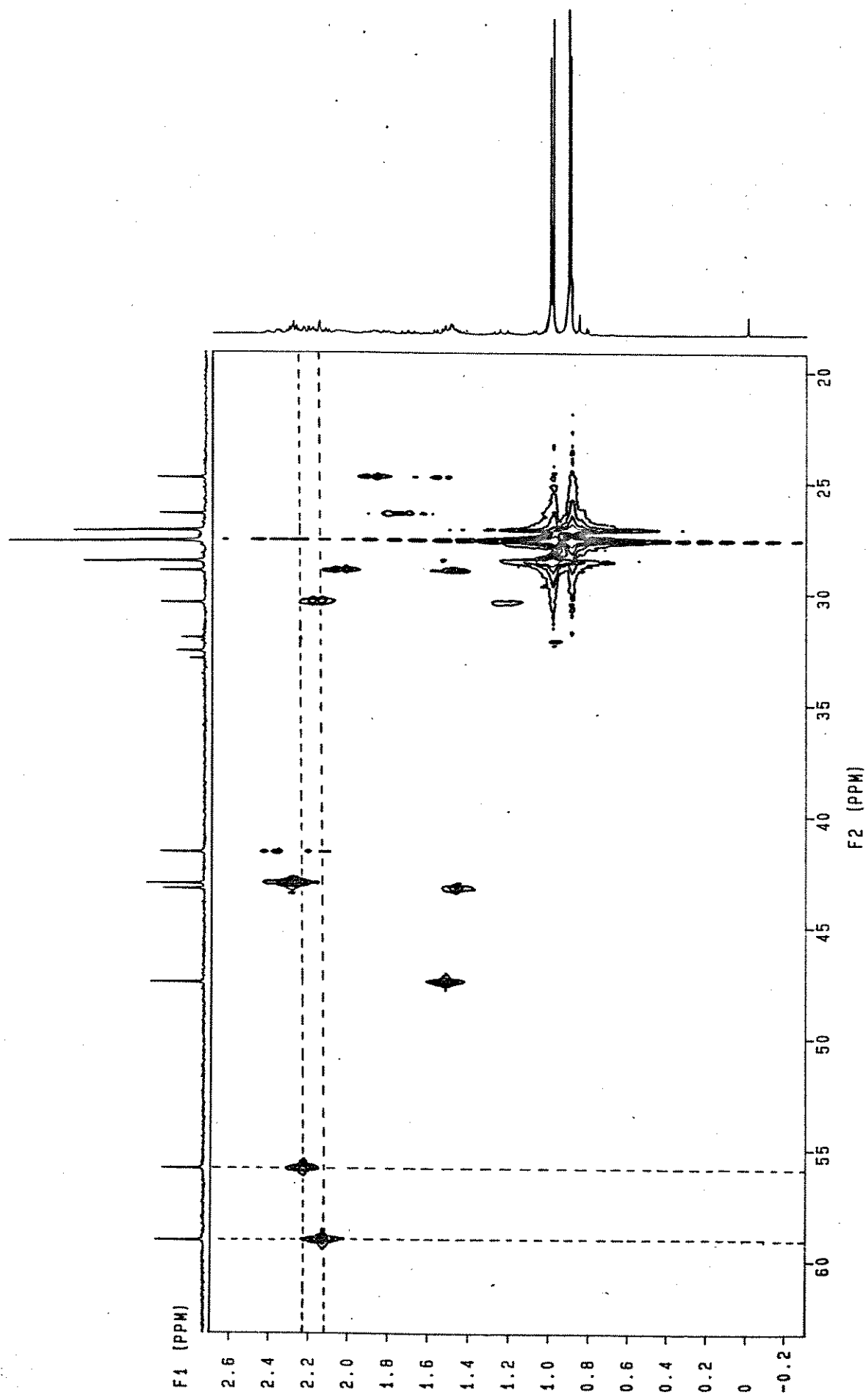


Figura 23. Espectro de Correlação Heteronuclear (^{13}C x ^1H) da cis(22e) e trans-2,4-di-t-Butilcicloexano na (22a).

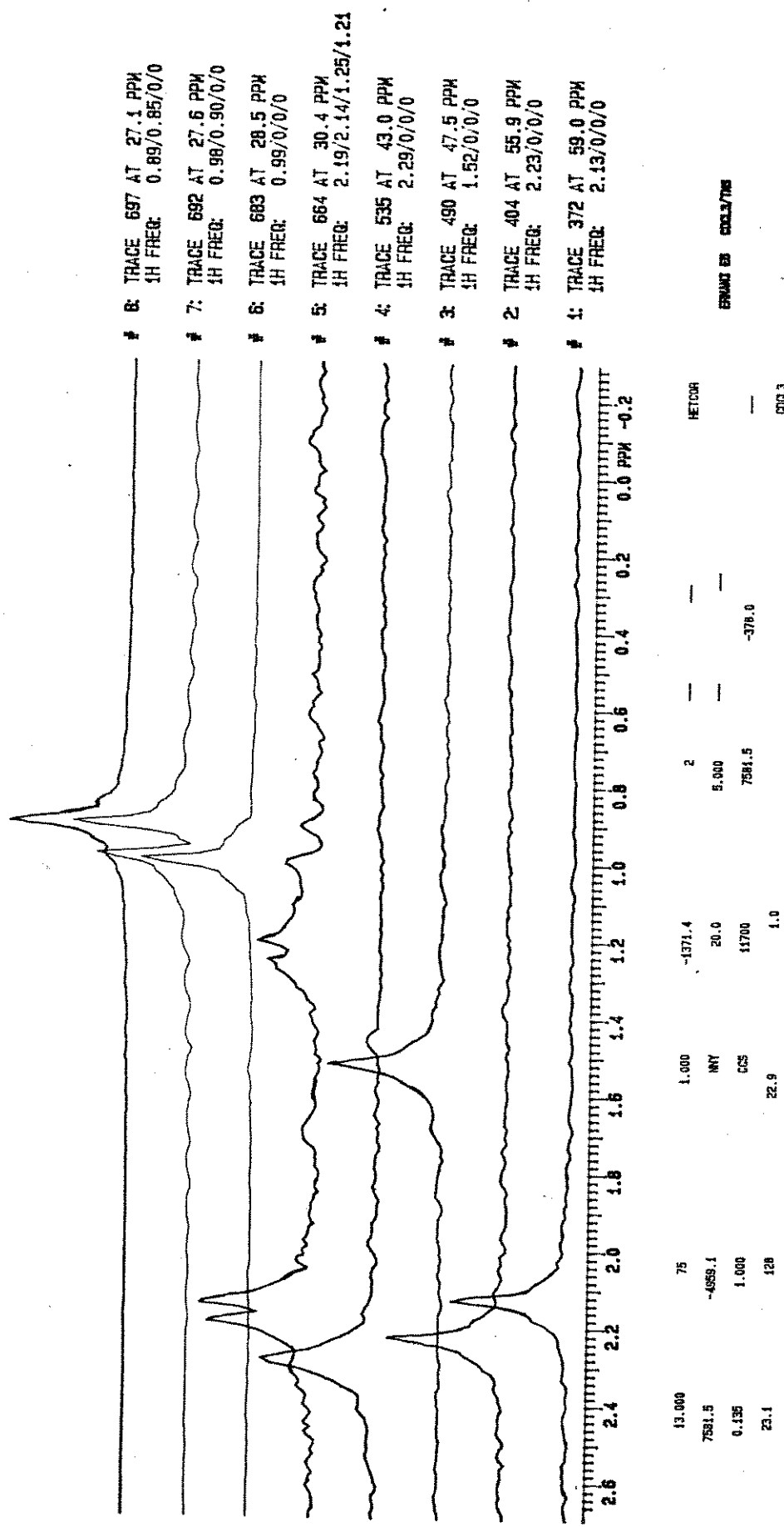


Figura 24. Espectros dos Prótons Ligados a cada Carbono na cis (22e) e trans-2,4-di-*t*-Butilcicloexano na (22a).

tes deslocamentos químicos, conforme discutido nas páginas anteriores.

2.3.1.1. Análise Conformatacional por r.m.n. de ^1H

Conforme já comentado anteriormente (ver item 2.2.1.) utilizou-se o método de Eliel (Equações 9 e 10). Sabendo-se que o somatório das frações molares é igual a unidade (Equação 11), a combinação das Equações 9 e 11 e/ou 10 e 11 conduz à determinação de x_{ax} (Equação 12 e 13) respectivamente.

$$x_{ax} + x_{eq} = 1 \quad (11)$$

$$x_{ax} = \frac{J_m - J_{eq}}{J_{ax} - J_{eq}} \quad (12)$$

$$x_{ax} = \frac{\delta_m - \delta_{eq}}{\delta_{ax} - \delta_{eq}} \quad (13)$$

Substituindo os valores que se encontram nas Tabelas 10 e 11 nas Equações 12 e 13 obtém-se a estimativa da fração molar do isômero axial no equilíbrio e, em seguida, com o uso da Equação 11, a fração molar do equatorial. A Tabela 14 contém a percentagem do isômero axial assim calculada.

Cabe salientar que nos cálculos realizados com os valores de Constante de Acoplamento (J) utilizou-se apenas uma casa depois da vírgula, já que a resolução digital ($R_d = 1/At$; $At =$ tempo de aquisição) é igual a 0,37 Hz/ponto.

Tabela 14. Percentual do Conformero com Substituinte Axial^a em Cicloexanonas 2-monossubstituídas por R.M.N. de ¹H a 20°C.

Nº	Substituinte	por J (%) ^d	por δ (%) ^d
<u>2</u>	F	17 (18)	21
<u>3</u>	Cl	36	49
<u>4</u>	Br	68	76
<u>5</u>	I	87	99
<u>6</u>	OCH ₃	28	27 (28) ^b
<u>7</u>	SCH ₃	75	75 (93) ^b
<u>8</u>	SeCH ₃	92 ^c	-
<u>9</u>	N(CH ₃) ₂	41 ^c	38 (45) ^b
<u>10</u>	CH ₃	-	0 (6) ^b
<u>11</u>	C(CH ₃) ₃	-	10 (93) ^b

^a Em CDCl₃

^b Cálculo realizado com os valores de δ do substituinte

^c Cálculo realizado com valores estimados por analogia (ver texto a seguir)

^d Cálculo realizado com os valores de largura a meia altura dos sinais

Dentre os compostos investigados neste trabalho, apenas estudos de análise conformacional sobre os derivados halogênicos são encontrados na literatura. Na Tabela 15 selecionamos alguns resultados para comparação com os por nós obtidos.

Numa rápida análise das Tabelas 14 e 15 podemos observar uma boa concordância entre os resultados obtidos, com os dados da literatura.

Para a determinação do equilíbrio conformacional dos derivados metilseleno ($-SeCH_3$) e dimetilamino ($-N(CH_3)_2$) foi necessário fazer uma estimativa, por analogia com os outros compostos, de seus valores de constante de acoplamento. No caso de derivado metilselênico ($-SeCH_3$) não foi possível a síntese do cis-4-t-butil-2-metilselenocicloexanona (ver Parte Experimental). Já no caso do derivado dimetilaminico ($-N(CH_3)_2$) os dois isômeros (cis e trans) estão presentes, entretanto, o sinal do próton alfa da trans-4-t-butil-2-N,N-dimetilaminocicloexanona se encontra encoberto pela absorção do grupo dimetilamino e de outros hidrogênios do anel cicloexanônico (ver Apêndice A - Figura A. 21).

O valor do deslocamento químico do próton alfa do isômero trans (2,38 ppm) foi obtido através de espectros de correlação heteronuclear ($^{13}C \times ^1H$). Na Figura 25 é demonstrado o espetro individual dos hidrogênios ligados a cada carbono, onde observa-se que o Carbono-2 do isômero trans (74,2 ppm) está ligado a um hidrogênio absorvendo em 2,38 ppm.

Para substituintes que contêm hidrogênios [$-OCH_3$, $-SCH_3$, $-N(CH_3)_2$, $-CH_3$ e $-C(CH_3)_3$] também utilizamos, como método alternativo, para o cálculo do equilíbrio conformacional, o deslocamento químico destes substituintes. Os resultados assim obtidos demonstraram boa concordância com os obtidos pelos valores de des-

Tabela 15. Percentual do Conformero com Substituinte Axial em Cicloexanonas 2-monossubstituídas, obtidos por Diferentes Métodos.

Substituinte	Método		
	R.M.N. (J)	R.M.N. (δ)	I.V.
F	13 ^a	24 ^a	-
Cl	49 ^a	56 ^a	75 ^d
Br	70 ^a	79 ^a	68 ^e
I	-	95 ^f	-
OCH ₃	-	20 ^c	-
SCH ₃	-	-	70 ^b
SeCH ₃	-	-	-
N(CH ₃) ₂	-	-	-
CH ₃	-	5 ^g	-
C(CH ₃) ₃	-	-	-

^a Ref. 82, em CHCl₃

^b Ref. 110, em CHCl₃

^c Ref. 20, em CH₃CN, para o substituinte deuterado (-OCD₃)

^d Ref. 5, em Dioxano

^e Ref. 3, em CHCl₃

^f Ref. 22, em C₆H₁₂

^g Ref. 1, em CDCl₃, determinado com o auxílio de reagentes de deslocamento químico [Yb(fod)₃]

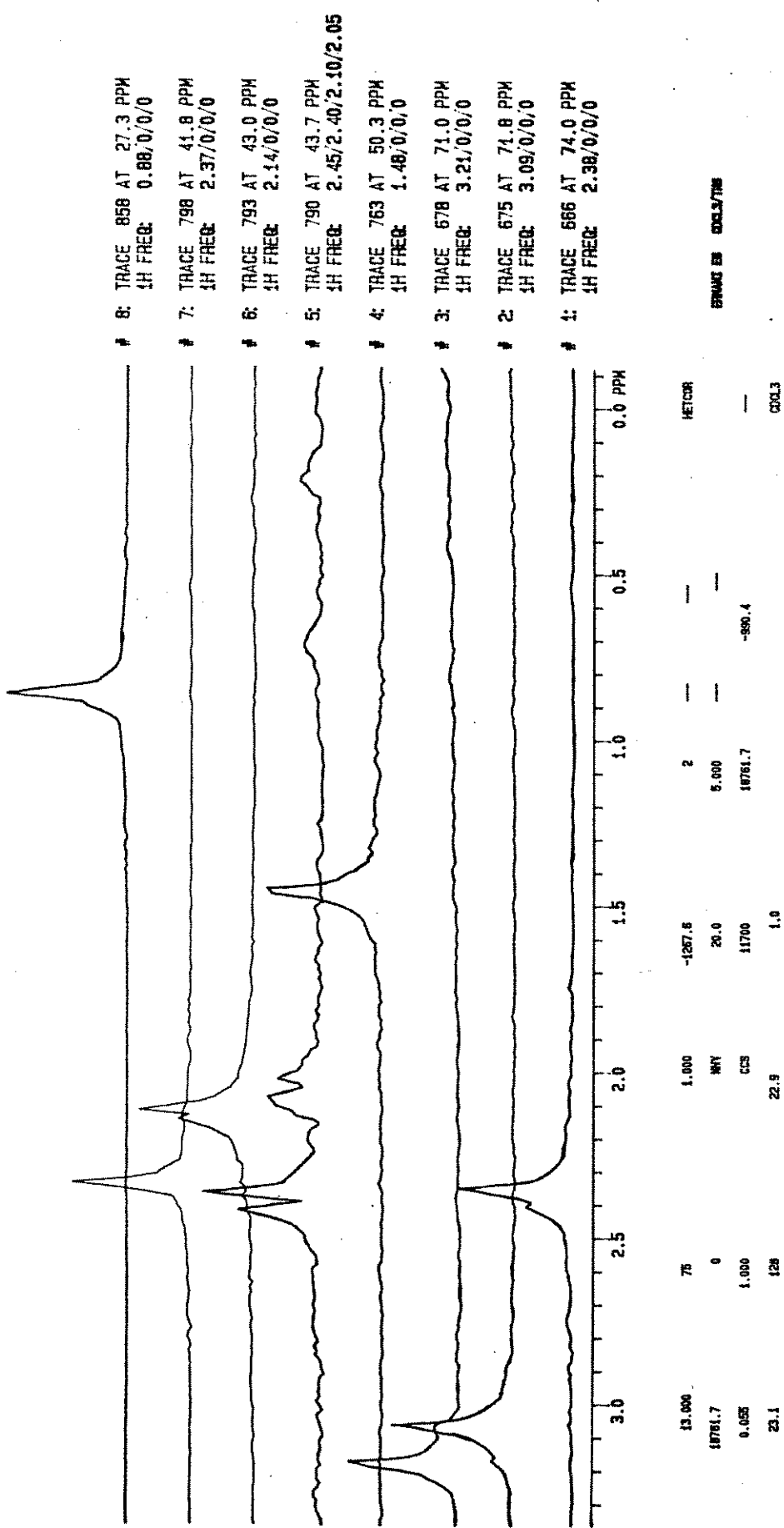


Figura 25. Espectro dos Prótons Ligados a cada Carbono na cis (22e) e trans-4-*t*-Butil-2-N,N-dimetilaminocicloexanona (22a).

locamento químico do próton alfa, à exceção dos derivados -SCH₃ e -C(CH₃)₃ que apresentaram valores discrepantes, principalmente para o -C(CH₃)₃ que demonstrou um valor exatamente oposto. Tal fato pode ser atribuído a proximidade entre os valores de deslocamentos químicos, utilizados para o cálculo (ver Tabelas 10 e 11), que chegam a apresentar variação apenas na terceira casa após a vírgula.

Quando utilizamos a constante de acoplamento (J) para o cálculo do equilíbrio conformacional desta classe de compostos, estamos, na realidade, utilizando a largura do sinal a meia altura¹⁸, a qual normalmente é representado por W (width). Este procedimento foi até então utilizado devido ao sinal do próton em estudo não estar resolvido o suficiente (aparelho de baixo campo) para que dele pudéssemos extrair as reais constantes de acoplamento (ver Figura 26a).

No presente trabalho, devido ao uso de um aparelho de alto campo (400 MHz), foi possível, na maioria dos casos, obter as constantes de acoplamento J, utilizando os dados de deslocamento químico (Figura 26b). As variações, na realidade, não são muito grandes, uma vez que os dados obtidos diferenciam-se apenas pelo acoplamento à longa distância (⁴J_{H2-H6}), que não é detectado no aparelho de baixo campo. A Tabela 16 contém os valores de constante de acoplamento J e a percentagem do confôrmero axial, calculados com estes valores. Ao compararmos os valores desta Tabela com os da Tabela 14 perceberemos uma boa concordância entre os mesmos, à exceção da 2-metilcicloexanona (10). Neste caso particular, não podemos observar o próton alfa, de forma que os valores referem-se ao acoplamento ³J_{CH₃-H}, observado apenas no sinal do CH₃. Este sinal desdobra-se num dublete em que

as diferenças de deslocamento químico se encontram dentro do erro experimental.

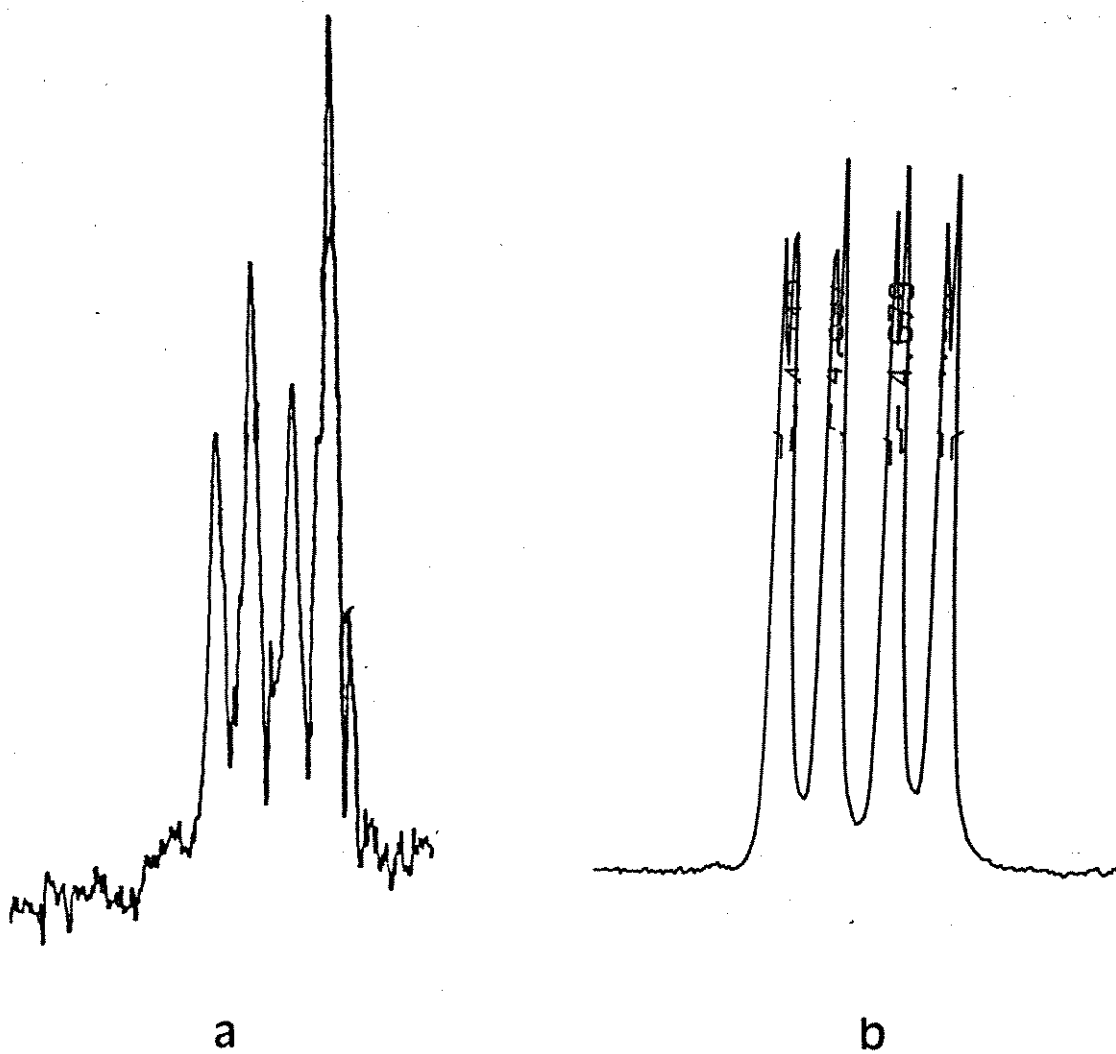
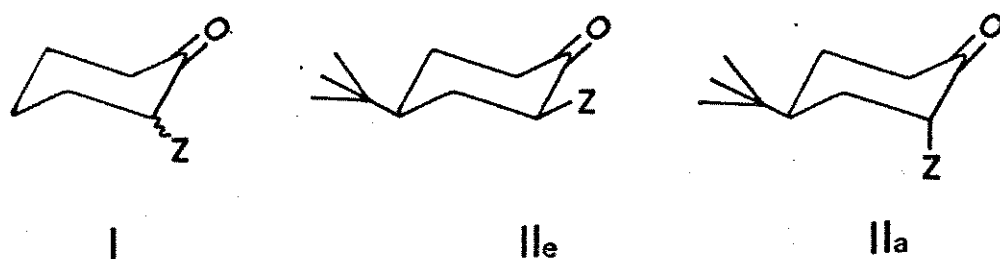


Figura 26. Acoplamento do Próton H-2 da cis-2-bromo-4-t-butilcicloexanona:

- a) "W" a 60 MHz
- b) "J" a 400 MHz

Tabela 16. Constantes de Acoplamento^a e Percentagem do Conformero com Substituinte Axial^b em Cicloexanonas 2-Monossubstituídas.



Nº	Z	J (Hz)			%A _X ^c
		I	IIe	IIa	
2	F	17,40	19,00	4,80	11
3	Cl	14,00	18,70	8,04	44
4	Br	10,90	19,20	8,00	74
5	I	9,60	19,60	8,40	89
6	OCH ₃	15,60	18,50	6,80	25
7	SCH ₃	9,80	18,40	8,80	89
8	SeCH ₃	6,80	-	8,80	-
9	N(CH ₃) ₂	13,60	18,20	-	-
10	CH ₃	6,80 ^d	7,20 ^d	6,40 ^d	50

^a Obtidas pela Leitura dos Deslocamentos Químicos (ver texto a seguir)

^b Em CDCl₃.

^c Percentagem do conformero com substituinte axial, calculada através da Equação 12.

^d Acoplamento ³J(CH₃-H)

2.3.2. Espectros de r.m.n. de ^{13}C

A atribuição dos sinais nos espectros de r.m.n. de ^{13}C foi realizada levando em consideração os seguintes critérios: (a) Intensidade do sinal; (b) Multiplicidade do sinal; (c) Comparação com os espectros de r.m.n. de ^1H ; (d) Dados de efeitos dos substituintes; (e) Comparação com os dados da literatura.

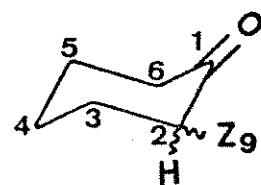
Os espectros dos derivados da cicloexanona (2 a 11) não apresentaram quaisquer dificuldades. Estes espectros apresentam apenas 6 picos (mais o do substituinte quando for o caso) que podem ser facilmente identificados, segundo os critérios já citados. Os dados de deslocamentos químicos destas cetonas se encontram na Tabela 17.

Numa rápida análise dos dados da Tabela 17, pode-se observar que, à exceção dos compostos 10 e 11, todos os carbonos carbonílicos (C-1) sofrem blindagem em relação à cetona não substituída (1). Não apenas este efeito, mas também o efeito sentido pelos outros carbonos do anel cicloexanônico aparecem nestes compostos como um valor médio provocado pelo substituinte, de forma que serão discutidos mais adiante, quando analisarmos os derivados 4-t-butílicos, que demonstram este efeito para um substituinte axial e equatorial, separadamente.

Na Tabela 18 são encontrados os efeitos dos substituintes nos deslocamentos químicos dos carbonos da cicloexanona (1). Estes efeitos foram determinados a partir da Equação 14, onde E_f refere-se aos efeitos α , β , γ ou δ do substituinte, enquanto δ_{CX} e δ_{CH} são os deslocamentos químicos do carbono considerado na cetona substituída (2 a 11) e não-substituída (1), respectivamente.

$$E_f = \delta_{CX} - \delta_{CH} \quad (14)$$

Tabela 17. Deslocamentos Químicos^a de Carbono-13 de Cicloexanonas 2-Monossubstituídas.

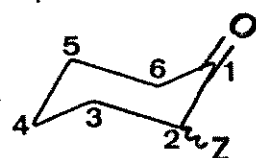


Composto	Z	δ (ppm)						
		C-1	C-2	C-3	C-4	C-5	C-6	C-9
<u>1</u>	H	212,11	42,00	27,06	25,02	27,06	42,00	-
<u>2</u>	F	205,82	92,76	34,26	22,81	26,96	40,30	-
<u>3</u>	Cl	203,37	63,01	37,52	23,04	27,05	39,54	-
<u>4</u>	Br	203,37	53,63	36,85	22,22	26,78	38,00	-
<u>5</u>	I	204,62	32,55	36,30	22,47	27,71	37,22	-
<u>6</u>	OCH ₃	209,97	84,26	34,24	23,17	27,71	40,61	57,70
<u>7</u>	S(CH ₃)	207,66	53,85	32,73	21,74	26,89	37,52	14,88
<u>8</u>	Se(CH ₃)	207,56	46,82	32,67	21,89	26,49	36,58	5,33
<u>9</u>	N(CH ₃) ₂	211,72	73,09	30,35	23,05	28,08	41,03	42,21
<u>10</u>	CH ₃	213,51	45,37	36,22	25,22	28,00	41,87	14,75
<u>11</u>	C(CH ₃) ₃ ^b	212,80	60,23	29,86	26,06	28,67	44,26	27,69

^a Em CDCl₃, relativo ao T.M.S.

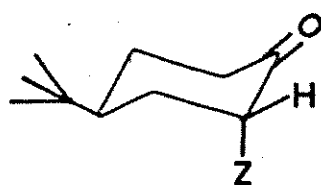
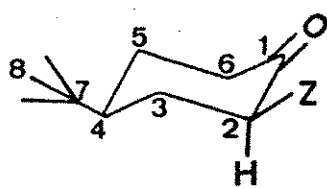
^b δ do Carbono Quaternário - 31,88 ppm

Tabela 18. Efeitos dos Substituintes nos Deslocamentos Químicos de Cicloexanonas 2-Monossubstituídas.



Composto	Z	C-1(β')	C-2(α)	C-3(β)	C-4(γ)	C-5(δ)	C-6(γ')
<u>2</u>	F	-6,29	50,76	7,20	-2,21	-0,10	-1,7
<u>3</u>	Cl	-8,74	21,01	10,46	-1,98	-0,01	-2,46
<u>4</u>	Br	-8,74	11,63	9,79	-2,80	-0,28	-4,00
<u>5</u>	I	-7,49	-9,45	9,24	-2,55	-0,48	-4,78
<u>6</u>	OCH ₃	-2,14	42,26	7,18	-1,85	0,65	-1,39
<u>7</u>	SCH ₃	-4,45	11,85	5,67	-3,28	-0,17	-4,48
<u>8</u>	SeCH ₃	-4,55	4,82	5,61	-3,13	-0,57	-5,42
<u>9</u>	N(CH ₃) ₂	-0,39	31,09	3,29	-1,97	1,02	-0,97
<u>10</u>	CH ₃	1,40	3,37	9,16	0,20	0,94	-0,13
<u>11</u>	C(CH ₃) ₂	0,69	18,23	2,80	1,04	1,61	2,26

Tabela 19. Deslocamentos Químicos^a de Carbono-13 de 4-t-Butilcicloexanonas 2-Monossubstituídas.



cis

trans

Composto	Z	δ (ppm)									
		C-1	C-2	C-3	C-4	C-5	C-6	C-7	C-8	C-9	
<u>12</u>	H	212,41	41,30	27,61	46,68	27,61	41,30	32,46	27,61	-	
<u>13</u>	F	<u>cis</u>	205,69	92,55	35,44	45,35	27,83	39,08	32,42	27,58	-
		<u>trans</u>	207,79	92,48	34,39	40,55	27,89	32,72	32,06	27,43	-
<u>14</u>	Cl	<u>cis</u>	202,42	64,22	40,25	47,47	28,03	40,21	32,57	27,56	-
		<u>trans</u>	205,23	60,41	36,02	40,08	27,28	35,91	31,92	27,51	-
<u>15</u>	Br	<u>cis</u>	201,71	56,51	40,06	48,47	27,86	40,98	32,59	27,55	-
		<u>trans</u>	204,80	51,59	36,01	40,71	27,43	35,61	31,90	27,53	-
<u>16</u>	I	<u>cis</u>	202,27	37,00	38,85	49,79	27,93	42,86	32,48	27,55	-
		<u>trans</u>	205,78	31,15	34,89	42,18	27,37	36,85	31,94	27,58	-
<u>17</u>	OCH ₃	<u>cis</u>	209,63	83,73	35,57	45,98	28,45	39,89	32,43	27,62	58,05
		<u>trans</u>	212,82	83,27	34,20	40,36	28,22	37,56	31,98	27,48	56,92
<u>18</u>	SCH ₃	<u>cis</u>	207,08	54,85	35,21	47,22	27,85	40,63	32,59	27,54	14,18
		<u>trans</u>	208,02	52,86	33,13	41,49	27,51	35,74	32,09	27,43	15,35
<u>19</u>	SeCH ₃	<u>cis</u>	-	-	-	-	-	-	-	-	
		<u>trans</u>	207,73	46,23	33,31	42,52	27,30	35,54	32,14	27,46	5,92
<u>20</u>	N(CH ₃) ₂	<u>cis</u>	210,27	70,80	32,57	46,84	28,27	41,12	32,02	27,68	41,40
		<u>trans</u>	214,83	74,21	29,11	39,75	28,27	37,97	30,56	27,43	42,94
<u>21</u>	CH ₃	<u>cis</u>	213,55	44,46	37,27	47,11	28,65	41,34	32,36	27,64	14,72
		<u>trans</u>	216,14	42,97	32,97	41,23	26,21	37,99	32,42	27,38	16,88
<u>22</u>	C(CH ₃) ₃ ^b	<u>cis</u>	213,17	59,04	30,43	47,49	26,37	43,06	32,60	27,65	27,65
		<u>trans</u>	214,77	55,79	29,01	43,29	24,76	41,61	32,57	27,17	28,55

^a Em CDCl₃, relativo ao T.M.S.

^b δ do Carbono Quaternário cis: 31,99 ppm e trans: 32,93 ppm

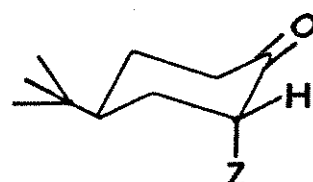
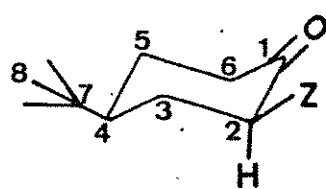
No caso dos derivados 4-t-butílicos (12 a 22) a atribuição dos sinais, embora um pouco mais complicada, já que se trata de uma mistura de dois diastereoisômeros, foi realizada com absoluta segurança. Na Tabela 19 são encontrados os deslocamentos químicos destes compostos.

Em alguns casos, além dos critérios já citados anteriormente para a atribuição dos sinais, foi necessário isolar os isômeros, ou pelo menos enriquecer um deles, de forma a facilitar a identificação dos sinais. No caso da 4-t-butil-2-metoxicicloexanona (17) a proximidade entre os sinais do C-2 levou-nos a duvidar da atribuição feita, problema este só resolvido quando isolamos cada um dos isômeros e então obtivemos novos espectros de r.m.n. de ^1H e de r.m.n. de ^{13}C , facilitando a correta identificação já que espectros de r.m.n. de ^1H podem ser facilmente diferenciados (ver Apêndice A - Figuras A.14 e A.15 e Apêndice B - Figuras B.14 e B.15) conforme já comentado (ver item 2.3.1.).

Um outro exemplo é o caso de 2,4-di-t-butilcicloexana (22), onde a grande proximidade e até sobreposição dos sinais referentes às metilas dos grupos t-butílicos dificultava a interpretação dos espectros. Isolando-se um dos isômeros o problema foi resolvido com relativa facilidade (ver Apêndice B - Figuras B.25 e B.26), detectando-se a sobreposição dos sinais das t-butilas de um mesmo isômero.

Na Tabela 20 são encontrados os valores calculados (Equação 14) dos Efeitos dos substituintes nos deslocamentos químicos das 4-t-butilcicloexanonas 2-monossubstituídas.

Tabela 20. Efeitos dos Substituintes nos Deslocamentos Químicos de 4-*t*-Butilcicloexanonas 2-Monossubstituídas.

cistrans

Composto	Z		C-1 (β')	C-2 (α)	C-3 (β)	C-4 (γ)	C-5 (δ)	C-6 (γ')	C-7 (δ)	C-8 (ε)
<u>13</u>	F	cis	-6,72	51,25	7,83	-1,33	0,22	-2,22	-0,04	-0,03
		trans	-4,62	51,18	6,78	-6,13	0,28	-3,58	-0,40	-0,18
<u>14</u>	Cl	cis	-9,99	22,92	12,64	0,79	0,42	-1,09	0,11	-0,05
		trans	-7,18	19,11	8,41	-5,84	-0,33	-5,39	-0,54	-0,10
<u>15</u>	Br	cis	-10,70	15,21	12,45	1,79	0,25	-0,32	0,13	-0,06
		trans	-7,61	10,29	8,40	-5,97	-0,18	-5,69	-0,56	-0,08
<u>16</u>	I	cis	-10,14	-4,30	11,24	3,11	0,32	1,56	0,02	-0,06
		trans	-6,63	-10,15	7,28	-4,50	-0,24	-4,45	-0,52	-0,03
<u>17</u>	OCH ₃	cis	-2,78	42,43	7,96	-0,70	0,84	-1,41	-0,03	0,01
		trans	0,41	41,97	6,59	-6,32	0,61	-3,74	-0,48	-0,13
<u>18</u>	SCH ₃	cis	-5,33	13,55	7,60	0,54	0,24	-0,67	0,13	-0,07
		trans	-4,39	11,56	5,52	-6,32	-0,10	-5,56	-0,37	-0,18
<u>19</u>	SeCH ₃	cis	-	-	-	-	-	-	-	-
		trans	-4,68	4,93	5,70	-4,16	-0,31	-5,76	-0,32	-0,15
<u>20</u>	N(CH ₃) ₂	cis	-2,14	29,50	4,96	0,16	0,66	-0,18	-0,44	0,07
		trans	2,42	32,91	1,50	-6,93	0,66	-3,33	-1,90	-0,18
<u>21</u>	CH ₃	cis	-0,86	3,16	9,96	0,43	1,04	0,04	-0,10	0,03
		trans	3,73	1,67	5,36	-5,45	-1,40	-3,31	-0,04	-0,23
<u>22</u>	C(CH ₃) ₃	cis	0,76	17,74	2,82	0,81	-1,24	1,76	0,14	0,04
		trans	2,36	14,49	1,40	-3,39	-2,85	0,31	0,11	-0,44

2.3.2.1. Efeitos Empíricos dos Substituintes

Elementos como F, Cl, Br, além dos grupos OMe e Me foram investigados⁷⁴, quanto aos seus efeitos (α , β , γ e δ) em trans-3-decalona-4-monossubstituída (ver Tabela 21). Como esse sistema apresenta certa semelhança com as cicloexanonas, alvo do presente estudo, julgamos oportuno comparar os dois sistemas e uma boa concordância entre os efeitos α , β , β' , γ e δ' de cada um dos compostos pode ser observada. Nas Figuras 27, 28, 29, 30 e 31 correlacionamos estes efeitos, para os substituintes axial e equatorial, de forma a visualizar esta concordância.

Algumas diferenças são observadas se compararmos os efeitos δ , o que é perfeitamente normal em vista da diferença estrutural entre os compostos em relação a estes efeitos, que inclusive são numericamente muito pequenos. Possivelmente esta seja também a justificativa da baixa correlação encontrada para o efeito gama (Figura 29) do substituinte axial.

A excelente correlação encontrada para os outros efeitos sugere o uso da 4-t-butilcicloexanona como modelo rígido para o estudo dos efeitos dos substituintes, com vantagens no que diz respeito a custo e pureza isomérica, em relação à decalona.

Analizando a Tabela 20, no que diz respeito aos efeitos dos substituintes sobre o deslocamento químico do carbono carbonílico (efeito β'), pelo menos duas observações bastante evidentes podem ser colocadas: A primeira é que a substituição de um hidrogênio por um átomo ou grupo eletronegativo provoca uma blindagem do carbono carbonílico. Há de se salientar, que um efeito contrário (desblindagem) é observado quando o substituinte é metila ou t-butila. Em segundo, observa-se que, para um mesmo substituinte eletronegativo, o efeito de blindagem de um subs-

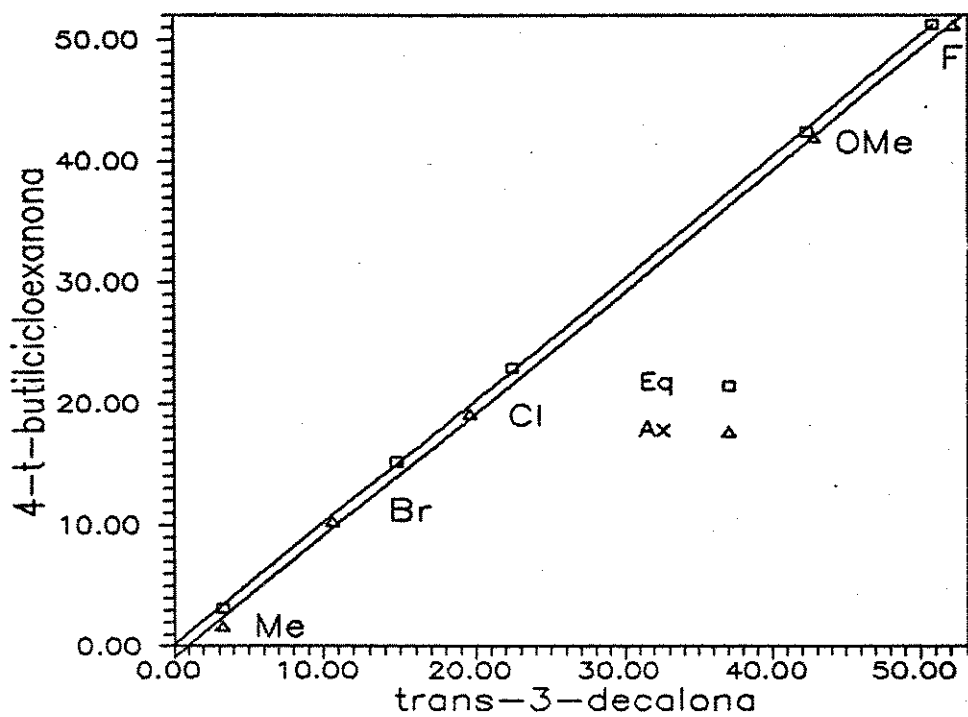


Figura 27. Correlação entre o efeito α em 4-t-butilcicloexanonas-2-monossubstituídas e trans-3-decalonas-4-monosubstituídas. $r = 0,9999$ $\Delta r = 0,9987$

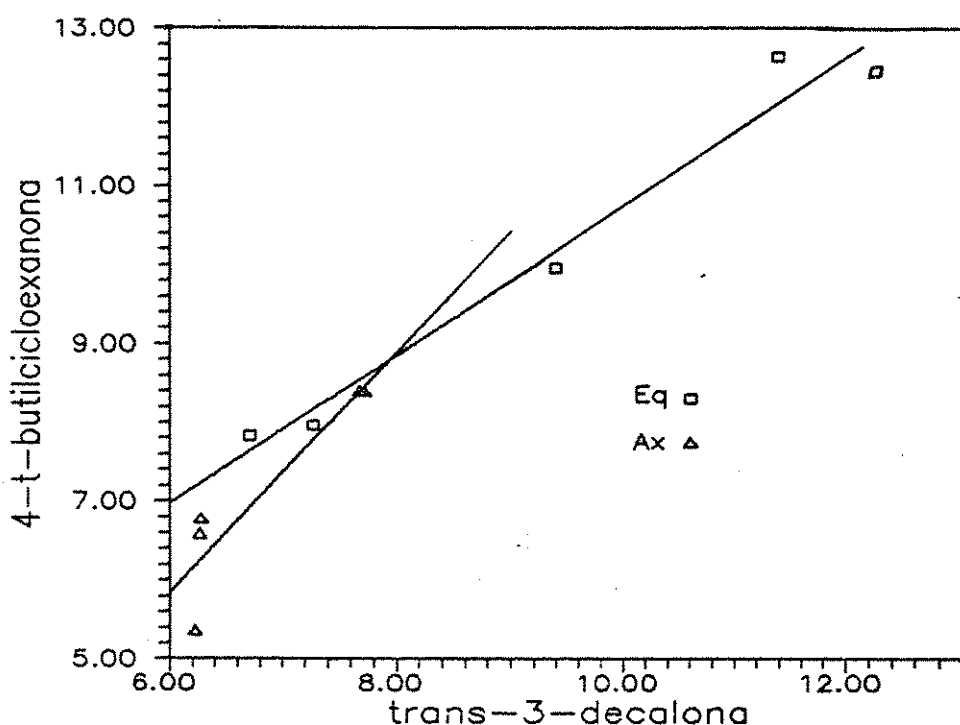


Figura 28. Correlação entre o efeito β em 4-t-butilcicloexanonas-2-monossubstituídas e trans-3-decalonas-4-monosubstituídas. $r = 0,9851$ $\Delta r = 0,9179$

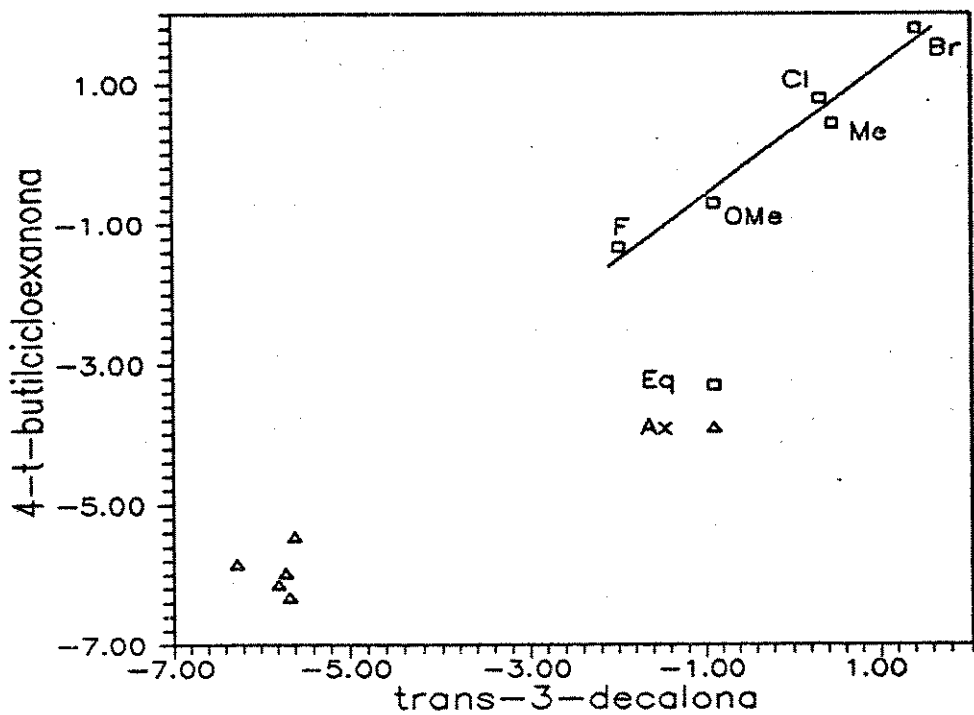


Figura 29. Correlação entre o efeito γ em 4-t-butilcicloexanonas-2-monossubstituídas e trans-3-decalonas-4-monosubstituídas. $\square r = 0,9813$ $\Delta r = -$

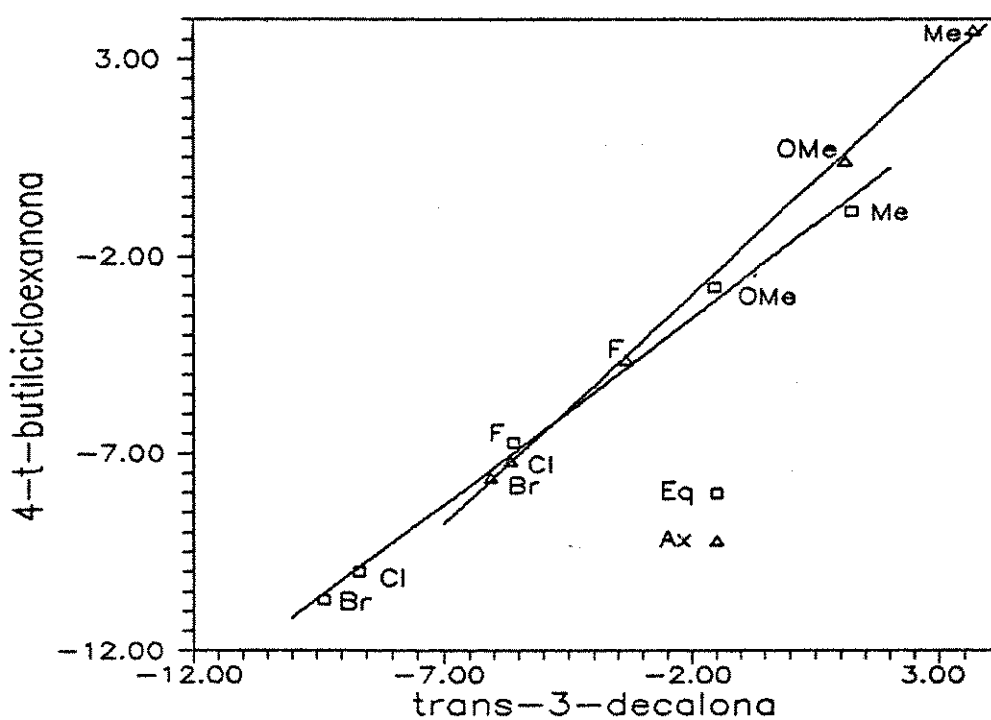


Figura 30. Correlação entre o efeito β' em 4-t-butilcicloexanonas-2-monossubstituídas e trans-3-decalonas-4-monosubstituídas. $\square r = 0,9976$ $\Delta r = 0,996$

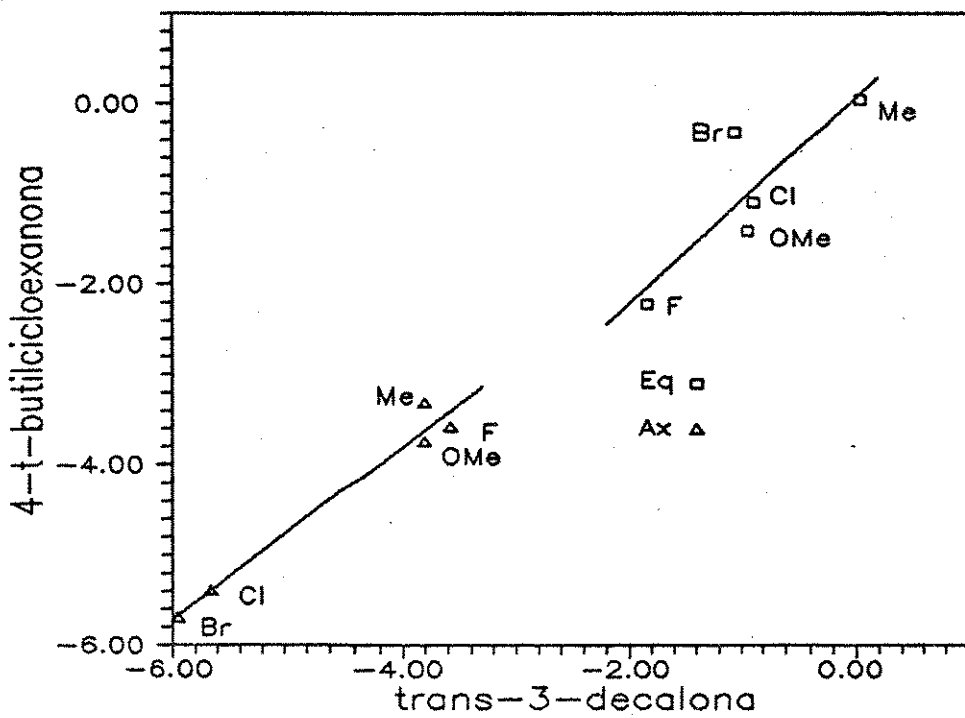
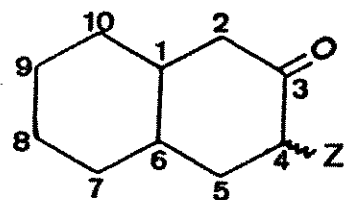


Figura 31. Correlação entre o efeito γ' em 4-t-butilcicloexanonas-2-monossubstituídas e trans-3-decalonas-4-monosubstituídas. $r = 0,8484$ $\Delta r = 0,9853$

tituinte equatorial é superior ao de um axial. Estes resultados podem ser interpretados levando-se em conta a polarização da ligação carbonílica e as interações, entre os elétrons não ligan-tes dos substituintes e a densidade eletrônica da carbonila.

Considerando as duas formas de ressonância do grupo carbonila (32.1 e 32.2 da Figura 32) pode-se imaginar que a pre-sença de um substituinte eletronegativo com seus elétrons não-li-gantes adjacentes (substituinte equatorial) à carbonila, diminui a contribuição da forma (32.2), aumentando a densidade eletrôni-ca do carbono carbonílico, o que se traduz na blindagem do mes-mo, em relação à cetona não substituída. Esta blindagem seria mais importante para o substituinte equatorial.

Tabela 21. Efeitos dos Substituintes nos Deslocamentos Químicos de ^{13}C ^a de trans-3-Decalonas-Monossubstituídas.



Z	Orientação	C-1(δ)	C-2(γ')	C-3(β')	C-4(α)	C-5(β)	C-6(γ)	C-7(δ)
F	Eq	0,04	-1,84	-5,61	50,71	6,71	-1,99	-0,41
	Ax	0,89	-3,58	-3,34	52,08	6,28	-5,79	-0,48
Cl	Eq	0,08	-0,89	-8,65	22,39	11,38	0,31	-0,71
	Ax	0,12	-5,66	-5,66	19,57	7,67	-6,27	-0,76
Br	Eq	0,06	-1,06	-9,35	14,74	12,24	1,41	-0,76
	Ax	-0,11	-5,95	-6,07	10,63	7,71	-5,71	-0,82
OCH_3	Eq	0,61	-0,94	-1,54	42,26	7,27	-0,90	-0,35
	Ax	1,01	-3,81	-1,09	42,72	6,27	-5,66	-0,23
CH_3	Eq	0,97	0,03	1,22	3,26	9,39	0,45	-0,20
	Ax	-0,07	-3,81	3,65	3,23	6,23	-5,60	0,25

^a Calculados em ppm em relação à cetona não substituída.

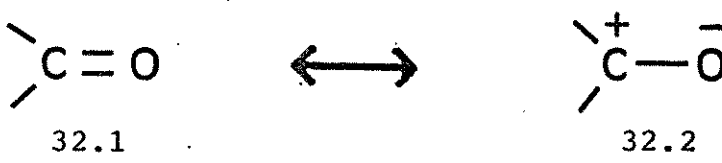


Figura 32. Estruturas Canônicas do Grupo Carbonila.

Estas conclusões, fornecidas por Metzger e col.⁷⁴ num estudo de cetonas bicíclicas, foram propostas na década de 60 para explicar um aumento na freqüência de estiramento da carbonila de esteróides³⁶, quando estes eram bromados no carbono alfa-carbonílico.

Mais recentemente, passou-se a utilizar a teoria de orbitais para explicar o ocorrido^{66, 33, 57, 74}. Segundo estes estudos teríamos, no caso, pelo menos três interações a considerar: a) $n_Z \leftrightarrow \sigma^*_{CO-CZ}$, b) $n_Z \leftrightarrow \pi^*_{CO}$ e c) $\pi_{CO} \leftrightarrow \sigma^*_{CZ}$. Destas três interações, "a" é importante apenas para o substituinte equatorial, enquanto "b" e "c" seriam importantes para o substituinte axial. Conforme tem sido discutido na literatura⁷⁴, a interação do tipo "c" é mais importante para substituintes fortemente eletronegativos (F, O, N), uma vez que estes provocam um abaixamento no nível de energia de σ^*_{CZ} , permitindo uma melhor interação $\pi_{CO} \leftrightarrow \sigma^*_{CZ}$, que provoca uma diminuição da blindagem do carbono carbonílico. Se observarmos na Tabela 20, o carbono carbonílico dos derivados F, OCH_3 e $N(CH_3)_2$ sofreu no primeiro, uma redução da blindagem em relação aos outros halogênios, enquanto no caso do OCH_3 e $N(CH_3)_2$ já podemos observar um deslocamento paramagnético (desblindagem) para o isômero trans.

Ao contrário da interação do tipo "c", a interação "b" ($n_Z \leftrightarrow \pi^*_{CO}$), também importante apenas para o isômero trans, contribui para uma blindagem do carbono carbonílico, porém, esta cresce em importância no sentido F < Cl < Br, em razão dos níveis energeticamente mais elevados. As diferenças mais significativas nesse sentido podem ser vistas quando comparamos (Tabela 20) o efeito no isômero trans, do F com o do Cl e do OCH₃ com o do SCH₃.

A mesma justificativa é dada para a interação do tipo "a" ($n_Z \leftrightarrow \sigma^*_{CO-CZ}$). Importante para o isômero cis esta interação provoca um aumento na densidade eletrônica do carbono carbonílico, que reflete num deslocamento diamagnético em relação à cetona não substituída. Voltando-se à Tabela 20 podemos comprovar o citado, pela forte blindagem observada nos isômeros cis dos vários derivados. É importante salientar a redução desta blindagem quando o substituinte é da 1ª linha (F, O, N), conforme explicação mencionada anteriormente.

Finalmente, no caso do CH₃ teríamos, para o isômero trans, uma interação do tipo $\pi_{CO} \leftrightarrow \sigma^*_{CH_3}$ que provoca uma desblindagem do carbono carbonílico.

O efeito do substituinte para o Carbono-2 (Tabela 20), ou efeito alfa, é sem dúvida, fortemente dependente do efeito indutivo deste substituinte.

Esta afirmativa pode ser facilmente confirmada pela correlação do efeito α com a eletronegatividade de Grupos¹⁰³. Na Tabela 22 são apresentadas as eletronegatividades de Grupos (σ_Z) e o efeito α , para a maioria dos substituintes mencionados neste Capítulo.

A Figura 33 demonstra a correlação entre o efeito α e

a eletronegatividade de Grupos. É interessante observar, nesta Figura, que o efeito α praticamente não depende da geometria do composto (cis e trans estão na mesma correlação).

Outra observação interessante, é a redução da desproteção induzida pelos halogênios (Tabela 20), a ponto de, no caso do iodo, se observar um deslocamento diamagnético do Carbono- α , em relação à cetona não substituída. Este fato é bem conhecido da literatura¹⁰⁶ e é atribuído ao "efeito do átomo pesado".

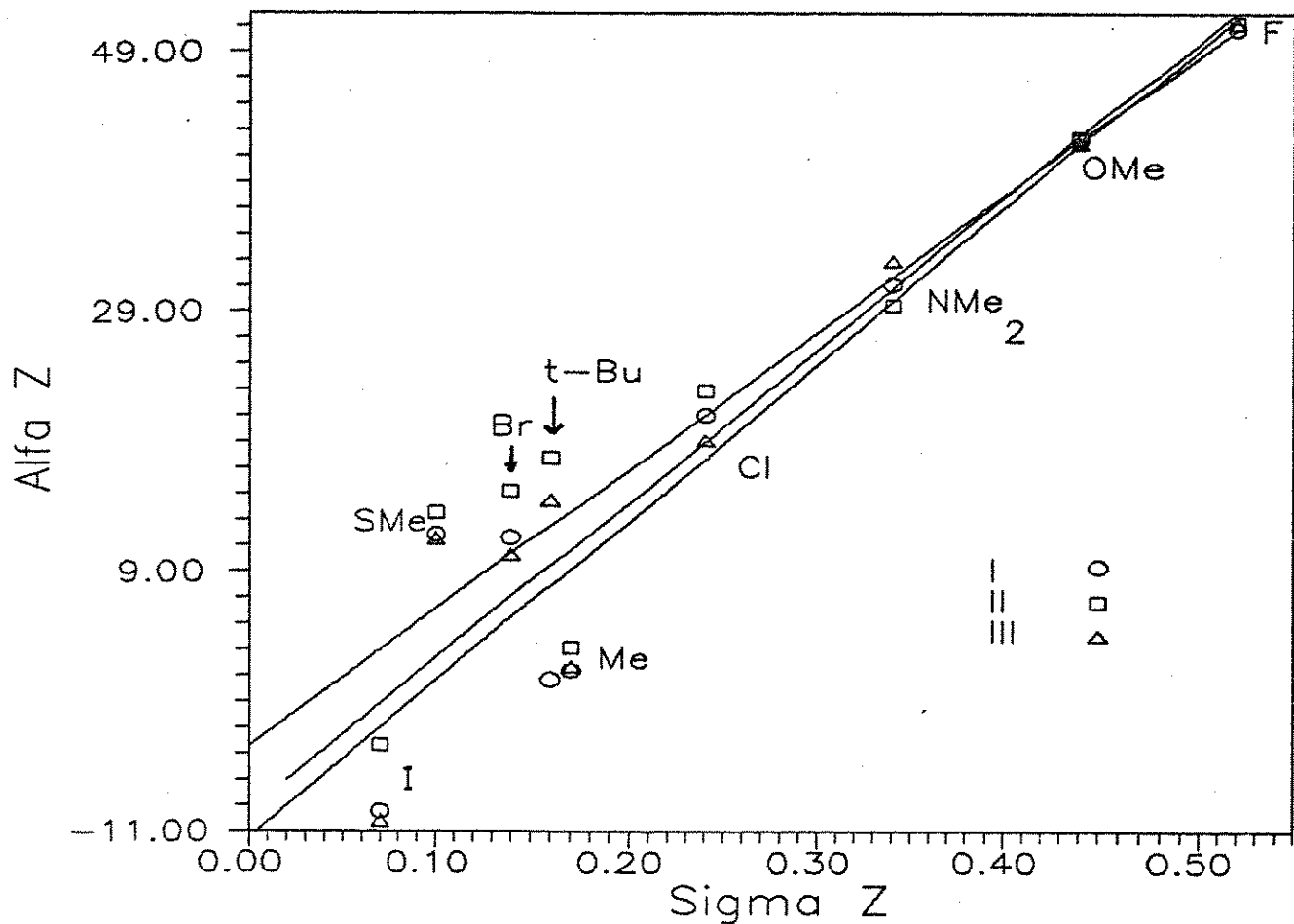


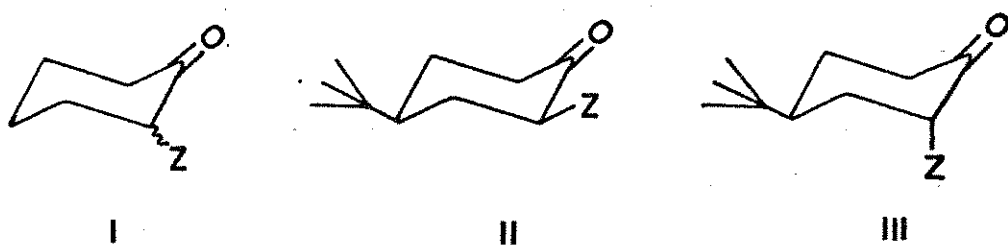
Figura 33. Gráfico do Efeito α vs eletronegatividade de Grupos (σ_Z), para algumas cicloexanonas (I) e 4-t-butilcicloexanonas (II e III) α -monossubstituídas.

Correlação linear: I: 0,9477

II: 0,9436

III: 0,9519

Tabela 22. Variação do Efeito α_Z com a Eletronegatividade de Grupos (σ_Z) para Cicloexanonas (I) e 4-t-Butilcicloexanonas (II e III) α -Monossubstituídas.



Z	Composto	α_Z	σ_Z^a
H	-	0,00	0,00
	I	50,76	
	II	51,25	
F	III	51,18	0,52
	I	21,01	
	II	22,92	
Cl	III	19,11	0,24
	I	11,63	
	II	15,21	
Br	III	10,29	0,14
	I	-9,45	
	II	-4,30	
I	III	-10,15	0,07
	I	42,26	
	II	42,43	
OCH_3	III	41,97	0,44
	I	11,85	
	II	13,55	
SCH_3	III	11,56	0,10
	I	31,09	
	II	29,50	
$\text{N}(\text{CH}_3)_2$	III	32,91	0,34
	I	1,40	
	II	3,16	
CH_3	III	1,67	0,17
	I	18,23	
	II	17,74	
$\text{C}(\text{CH}_3)_3$	III	14,49	0,16

^a Dados da Ref. 23.

O deslocamento paramagnético observado para o Carbono-3 (efeito beta) dos vários compostos aqui estudados (Tabela 19), se encontra estritamente dentro do previsto. Não existem explicações convincentes a respeito deste efeito, de forma que não são traçadas quaisquer correlações com parâmetros conhecidos.

Os carbonos C-4 e C-6 sofrem o efeito γ do substituinte, que pode ser γ -gauche (isômero trans) ou γ -anti (isômero cis).

Para o efeito γ -gauche, conforme o esperado, pode-se observar (Tabela 20) um deslocamento diamagnético (campo alto) na faixa de -3 a -7 ppm.

Já para o efeito γ -anti os valores observados são sempre menores do que os do γ -gauche e deveriam ser mais importantes para heteroátomos da 1^a linha (O, N, F), sendo praticamente nulos para elementos da 2^a linha. Entretanto, dados mais recentes¹⁰⁶ apontam para uma redução do efeito γ -anti com a diminuição da eletronegatividade do substituinte, o que pode ser comprovado pela análise dos dados, relativos a este efeito, na Tabela 20.

Além dos efeitos já discutidos, temos os efeitos δ , sobre os carbonos C-5 e C-7, e ϵ sobre o carbono C-8. Estes efeitos causam variações muito pequenas e por isso são tidos como sem importância em relação aos demais efeitos causados pelos substituintes.

2.3.2.2. Cálculos Empíricos dos Deslocamentos Químicos do Carbono-13

Embora exista um grande número de métodos descritos para o cálculo empírico dos deslocamentos químicos de ^{13}C , aplicáveis a diferentes classes de compostos (ver Refs. 90 e 23 para revisão sobre o assunto), nenhum destes métodos têm proporcionado resultados satisfatórios quando o substrato são cicloexanonas α -heterossustituídas.

Rittner e col.⁹¹ apresentaram um estudo sobre efeito do substituinte em acetonas α -heterossustituídas, onde foram realizados cálculos empíricos para estimativa do deslocamento químico do carbono α -methylênico utilizando a Equação 15.

$$\delta_{\text{CH}_2} = -2,3 + \alpha_y + \alpha_{\text{AC}} \quad (15)$$

Nesta Equação, -2,3 é o deslocamento químico do carbono do metano e α_y e α_{AC} são os efeitos α do substituinte e do grupo acetila, respectivamente.

Para a realização da estimativa dos deslocamentos químicos, não só do Carbono-2, mas também dos carbonos 3 e 4 das cicloexanonas α -heterossustituídas, seguiu-se o mesmo raciocínio, expressado na Equação 16, onde 27,66 é deslocamento químico do cicloexano.

$$\delta_{\text{CX}} = 27,66 + {}^1\text{CO} + {}^1\text{Z} + {}^1\text{t-BU} \quad (16)$$

Assim, δ_{CX} é o deslocamento químico calculado ($\delta_{\text{C-2}}$, $\delta_{\text{C-3}}$, ...), ${}^1\text{CO}$, ${}^1\text{Z}$ e ${}^1\text{t-BU}$ são os efeitos (α , β ou γ) da carbnila, do heteroátomo e do grupo t-Butila (somente para os derivados t-butílicos), respectivamente. Os valores obtidos pelo uso

da Equação 16 são relacionados nas Tabelas 23 e 24, para derivados da cicloexanona e 4-t-butilcicloexanona, respectivamente.

Tabela 23. Deslocamentos Químicos Experimental e Calculados^a para Alguns Carbonos de Cicloexanonas α -Heterossustituidas.

Substituinte	δ_{C-2}		δ_{C-3}		δ_{C-4}	
	Exp.	Calc.	Exp.	Calc.	Exp.	Calc.
F	92,76	105,00	34,26	32,66	22,81	21,02
Cl	63,01	74,30	37,52	36,76	23,04	22,72
Br	53,63	67,10	36,85	37,46	22,22	23,62
I	32,55	46,30	36,30	39,36	22,47	24,92
OMe	84,26	91,10	34,24	31,86	23,17	21,82
NMe ₂	73,09	79,30	30,35	29,26	23,05	24,52
Me	45,37	47,80	36,22	35,46	25,22	24,52

^a Valores utilizados: $\alpha_{CO} = 14,34$, $\beta_{CO} = -0,60$, $\gamma_{CO} = -2,64$.

Efeitos dos Substituintes: Tabelas 5 e 6 (Capítulo 1).

Na Tabela 25 são relacionadas as diferenças entre os valores de deslocamentos químicos calculado e experimental para cicloexanonas, 4-t-butilcicloexanonas e 2-propanonas (apenas C-2)⁹¹.

Numa rápida análise da Tabela 25 podemos observar diferenças muito grandes entre os valores de deslocamentos químicos calculado e experimental do Carbono-2, enquanto que para os outros carbonos as diferenças se encontram, de forma geral, em patama-

Tabela 24. Deslocamentos Químicos Experimental e Calculados^a para Alguns Carbonos de 4-t-Butilcicloexanonas α -Heterosubstituídas.

Substituinte	δ_{C-2}		δ_{C-3}		δ_{C-4}		
	Exp.	Calc.	Exp.	Calc.	Exp.	Calc.	
F	eq.	92,55	106,62	35,44	32,46	45,35	42,63
	ax.	92,48	103,22	34,39	29,96	40,55	38,83
Cl	eq.	64,22	74,92	40,25	37,46	47,47	45,93
	ax.	60,41	75,22	36,02	33,76	40,08	39,43
Br	eq.	56,51	67,22	40,06	38,66	48,47	47,43
	ax.	51,59	70,52	36,01	34,76	40,71	40,53
I	eq.	37,00	45,72	38,85	40,26	49,79	48,33
	ax.	31,15	53,42	34,89	35,86	42,18	41,83
OMe	eq.	83,73	95,02	35,57	31,96	45,98	49,03
	ax.	83,27	90,02	34,20	29,86	40,36	43,73
NMe_2	eq.	70,80	79,20	32,57	28,58	46,84	44,90
	ax.	74,21	75,82	29,11	29,49	39,75	39,83
Me	eq.	44,46	48,02	37,27	35,86	47,11	46,03
	ax.	42,97	43,52	32,97	32,26	41,23	39,63

^a Valores utilizados: $\alpha_{CO} = 14,24$; $\beta_{CO} = 0,56$; $\gamma_{CO} = -2,66$

$\alpha_{t-Bu} = 21,03$; $\beta_{t-Bu} = -0,24$; $\gamma_{t-Bu} = 0,22$

Efeitos dos Substituintes: Tabela 5 (Capítulo 1)

res aceitáveis.

Tabela 25. Diferenças entre Deslocamentos Químicos Calculado e Experimental^a para Cicloexanonas (\bar{m}) e 4-t-Butilcicloexanonas (Eq. e Ax.) α -Heterossubstituídas.

Substituinte	$\Delta\delta_{C-2}$			$\Delta\delta_{C-3}$			$\Delta\delta_{C-4}$		
	Eq.	Ax.	\bar{m}	Eq.	Ax.	\bar{m}	Eq.	Ax.	\bar{m}
F	-14,1	-10,7	-12,2	3,0	4,4	1,6	2,7	1,7	1,8
Cl	-10,7	-14,8	-11,3	2,8	2,3	0,8	1,5	0,6	0,3
Br	-10,7	-18,9	-13,5	1,4	1,2	-0,6	1,0	0,2	-1,4
I	-8,7	-22,3	-13,7	-1,4	-1,0	-3,1	1,5	0,3	-2,4
OMe	-11,3	-6,7	-6,8	3,6	4,3	2,4	-3,0	-3,4	1,3
NMe ₂	-8,4	-1,6	-6,2	4,0	-0,4	1,1	1,9	-0,1	-1,5
Me	-3,6	-0,5	-2,4	1,4	0,7	0,8	1,1	1,6	0,7

$$^a \Delta\delta = \delta_{\text{exp.}} - \delta_{\text{calc.}}$$

Uma observação bastante interessante é o fato das diferenças existentes nas cetonas cíclicas (cicloexanonas) serem muito próximas àquelas observadas nas cetonas acíclicas⁹¹ (ver Tabela 26), o que sugere que as interações orbitalares envolvidas devem ser semelhantes nos dois casos (Figura 34).

As diferenças elevadas se devem, provavelmente, ao fato de que, ao realizarmos o cálculo, consideramos efeitos da carbonila e do substituinte independentes um do outro. Já quando

realizamos o experimento temos, além destes efeitos isolados, os efeitos resultantes das interações entre estes grupos.

Assim, as diferenças relativas aos carbonos 3 e 4 seriam reduzidas possivelmente porque as interações entre o substituinte e a carbonila não afetam a densidade de carga destes carbonos.

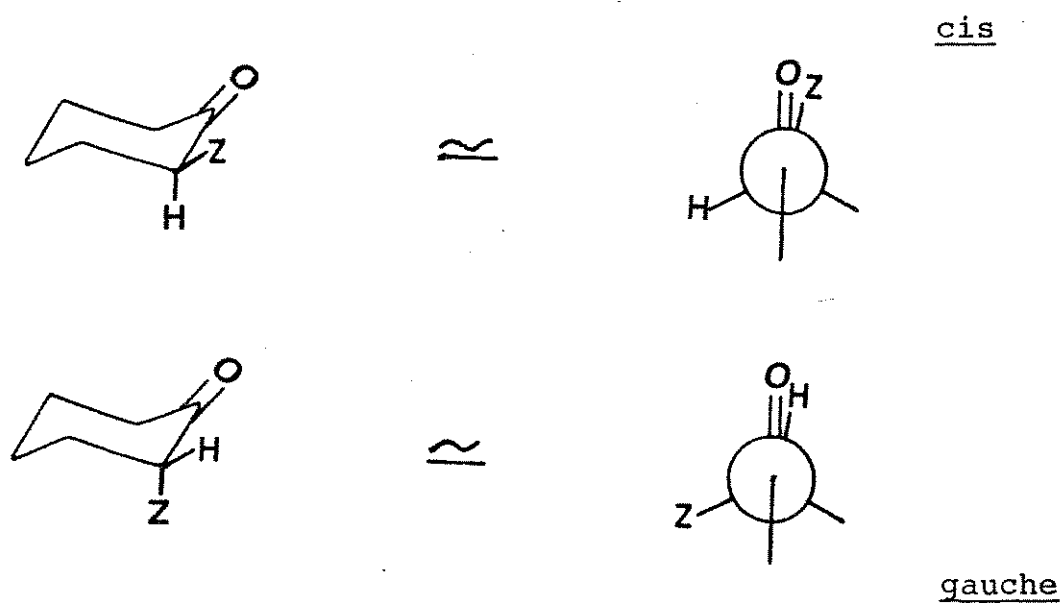


Figura 34. Conformações cis e gauche em Cicloexanonas e Propano nas α -Heterossubstituídas.

Tabela 26. Diferenças entre Deslocamentos Químicos Calculado e Experimental^a do Carbono-2 de Cicloexanonas e Propanonas^b α -Heterossubstituídas.

Substituinte	$\Delta\delta_{C-2}$	
	Cicloexanova	Propanona
F	-12,2	-13,7
Cl	-11,3	-11,6
Br	-13,5	-13,9
I	-13,7	-11,6
OMe	-6,8	-9,8
NMe ₂	-6,2	-5,1
Me	-2,4	-1,0

^a $\Delta\delta = \delta_{exp.} - \delta_{calc.}$

^b Ref. 91.

2.3.2.3. Determinação do Equilíbrio Conformatacional por r.m.n. de ¹³C à Temperatura Ambiente (20°C)

Para o cálculo do percentual de isômero axial e equatorial, por r.m.n. de ¹³C à temperatura ambiente, pode-se utilizar os dados de efeito do substituinte e proceder de maneira análoga^{46, 112} ao cálculo utilizado na r.m.n. de ¹H (ver item 2.3.1.1).

O uso dos dados de efeito do substituinte (Tabelas 18

e 20) se justifica na tentativa de eliminar variações nos deslocamentos químicos dos derivados 4-t-butílicos, provocadas pela presença do grupo t-butila.

Cabe salientar que tentativas anteriores^{12, 57} realizadas para a 2-N,N-dimetilaminocicloexanona (9) e 2-bromocicloexanona (4) apresentaram resultados relativamente satisfatórios. O maior problema encontrado está relacionado a qual efeito (α , β , γ ...) ou quais efeitos seriam mais adequados para a estimativa do equilíbrio conformacional. Como apenas dois compostos, desta classe, foram investigados, torna-se difícil qualquer conclusão a respeito.

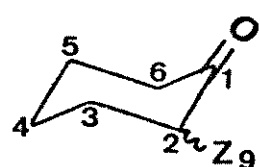
Na Tabela 27 são apresentados os valores percentuais do confôrmero com substituinte axial (10 ax; Figura 10 - item 2.2.1.), calculados com os dados de efeitos do substituinte (Tabelas 18 e 20).

Comparando-se os valores da Tabela 27 com os da Tabela 14 (item 2.3.1.1.) encontraremos uma concordância satisfatória em grande parte dos resultados obtidos a partir dos efeitos α , β' e γ .

Valores dos efeitos δ e γ' apresentaram um grande número de casos onde ficamos impossibilitados de calcular a porcentagem do confôrmero em questão, já que o valor referente ao efeito do substituinte no sistema em equilíbrio conformacional não corresponde a um valor médio entre os efeitos nos isômeros cis e trans.

A grande sensibilidade da r.m.n. de ^{13}C frente a quaisquer modificações estruturais⁶⁵ parece ser a causa mais provável da irregularidade dos dados obtidos, já que, conforme tem sido citado na literatura^{65, 47, 111} a presença do grupo t-butila causaria pequenas distorções na geometria da molécula.

Tabela 27. Percentual de Substituinte Axial em Cicloexanonas-2-Monossubstituídas, por R.M.N. de ^{13}C ^a.



Z	C-1(β')	C-2(α)	C-3(β)	C-4(γ)	C-5(δ)	C-6(γ')	C-9
F	20	-- ^c	60	18	-- ^c	-- ^c	--
Cl	44	50	51	42	57	32	--
Br	63	73	66	59	-- ^c	68	--
I	75	88	50	74	-- ^c	-- ^c	--
OCH ₃	20	37	57	20	82	-- ^c	31 ^b
SCH ₃	94	85	93	56	-- ^c	-- ^c	60 ^b
N(CH ₃) ₂	38	47	69	30	-- ^c	25	52 ^b
CH ₃	49	-- ^c	17	3,9	4,0	-- ^c	1,3 ^b
C(CH ₃) ₃	-- ^c	-- ^c	1,4	-- ^c	-- ^c	10	4,4 ^b

^a Em CDCl₃.

^b Valores obtidos com dados de Deslocamento Químico

^c Valor médio não se encontra entre os valores limite.

2.3.2.4. Determinação do Equilíbrio Conformatacional por r.m.n. de ^{13}C a Baixas Temperaturas

A determinação do equilíbrio conformacional pela obtenção de espectros à temperatura abaixo da temperatura de coalescência tem sido citada^{35, 58, 69, 86} como um método extremamente eficaz e de certa forma simples e, embora uma grande variedade de compostos tenham sido investigados por esta técnica^{69, 61, 104}, nenhuma citação foi encontrada em relação a cicloexanonas α -monosubstituídas.

Basicamente a técnica consiste em baixar a temperatura da amostra até um ponto em que a velocidade de interconversão do sistema em estudo seja lenta o suficiente para que se possa detectar os sinais de cada confórmero separadamente. Uma vez registrados os sinais para os dois confôrmeros, a medida da área dos sinais, quer seja por integração, uso de um planímetro ou mesmo recortando e pesando os sinais, nos fornecerá diretamente a razão entre os dois confôrmeros.

O solvente utilizado para a realização da experiência foi o diclorodifluormetano (Freon 12-Aldrich- p.e. - 29,8°C - p.f. - 158°C), ao qual adicionou-se 3% de diclorometano deuterado (CD_2Cl_2), utilizado para fazer o "lock" e como referência interna.

As amostras a serem analisadas foram preparadas em tubos de 5 mm, algumas horas antes da experiência, que foram selados e estocados em recipientes contendo gelo seco triturado.

Para todos os derivados da cicloexanona (2 a 11) foram obtidos espectros à pelo menos cinco temperaturas (-70°C, -100°C, -115°C, -125°C e -135°C), entretanto, apenas a 2-N,N-dimetilaminocicloexanona (9) apresentou resultados satisfatórios, com si-

nais para cada um dos confôrmeros.

Na Figura 35 selecionamos três espectros desta experiência. A -70°C (Figura 35a), onde temos um espectro normal, a -110°C (Figura 35b) que representa uma situação intermediária, ou a coalescência dos sinais e a -118°C (Figura 35c), temperatura abaixo da de coalescência, demonstrando a presença de um sinal para cada um dos confôrmeros.

Para a determinação da percentagem do confôrmero com substituinte axial procedeu-se a integração apenas dos sinais de carbonila (C-1), e do carbono α (C-2), já que os outros sinais se encontram todos numa pequena região do espectro (20 - 50 ppm) e sem dispersão suficiente para serem integrados.

A percentagem de confôrmero com substituinte axial encontrado foi de 50% para os dois carbonos (C-1 e C-2).

Esta experiência, que já havia sido realizada em nossos laboratórios¹², veio a confirmar os resultados anteriormente obtidos (58%). A diferença entre as percentagens (50% neste trabalho e 58% resultado anterior¹²) pode ser atribuída à presença de 3% de diclorometano deuterado (CD_2Cl_2) na solução, já que o equilíbrio em questão é fortemente dependente da constante dielétrica do meio, a presença de um solvente mais polar (CD_2Cl_2) favorecerá o confôrmero mais polar (substituinte equatorial).

A atribuição dos sinais do espectro obtido na temperatura abaixo da do ponto de coalescência (Figura 35c) foi realizada por analogia com espectros obtidos em experiências anteriores¹², onde obteve-se espectros utilizando a técnica de "spin-echo" e também em outro solvente ($CHClF_2$ - Freon 22) de constante dielétrica mais alta que o diclorodifluormetano, de forma a modificar a preferência conformacional do sistema. Estes espectros estão reproduzidos aqui à Figura 36.

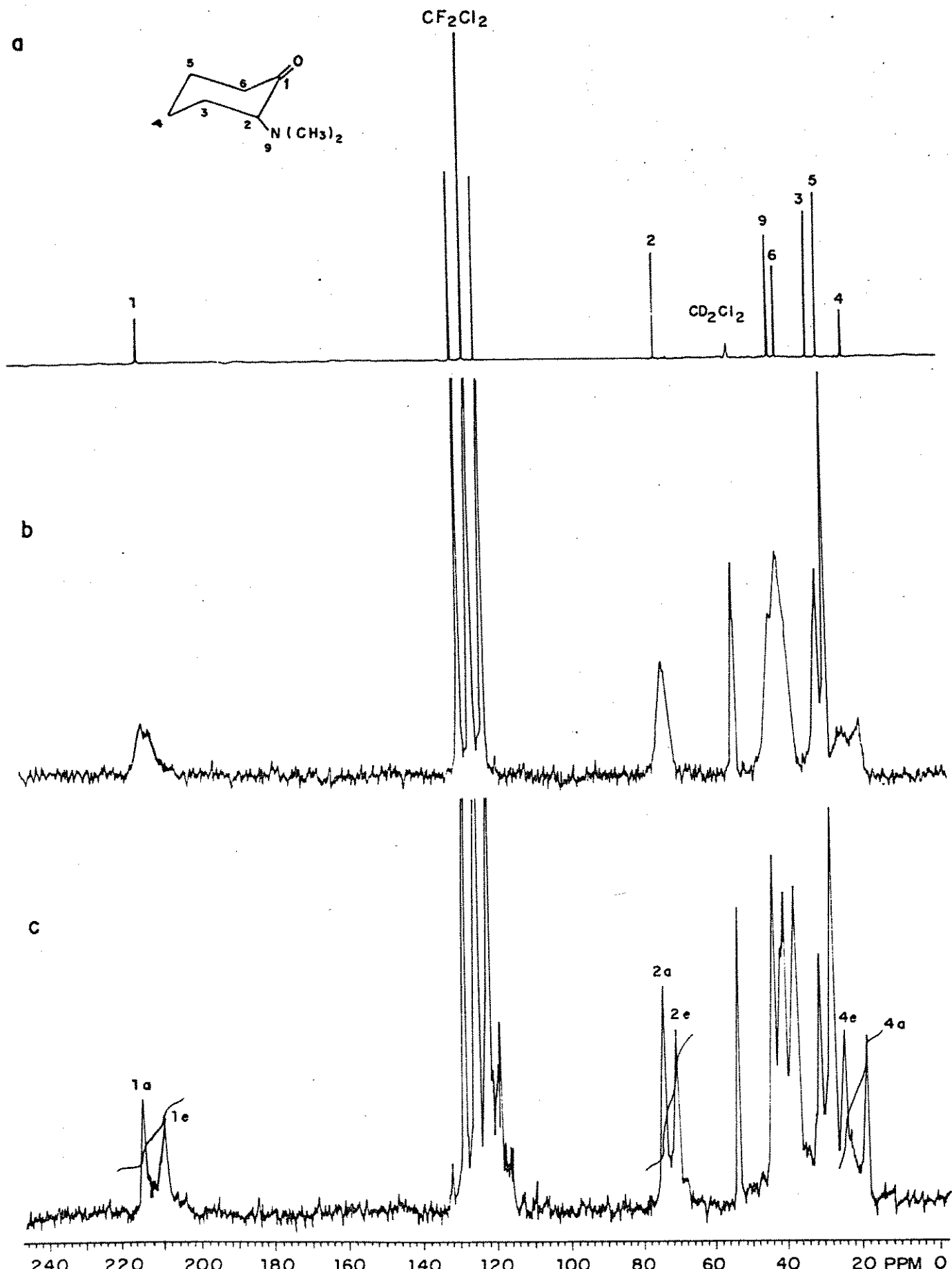


Figura 35. Espectros de R.M.N. de ${}^{13}\text{C}$ da 2-N,N-Dimetilaminocicloexanona (9). a) a -70°C ; b) a -110°C ; c) a -118°C .

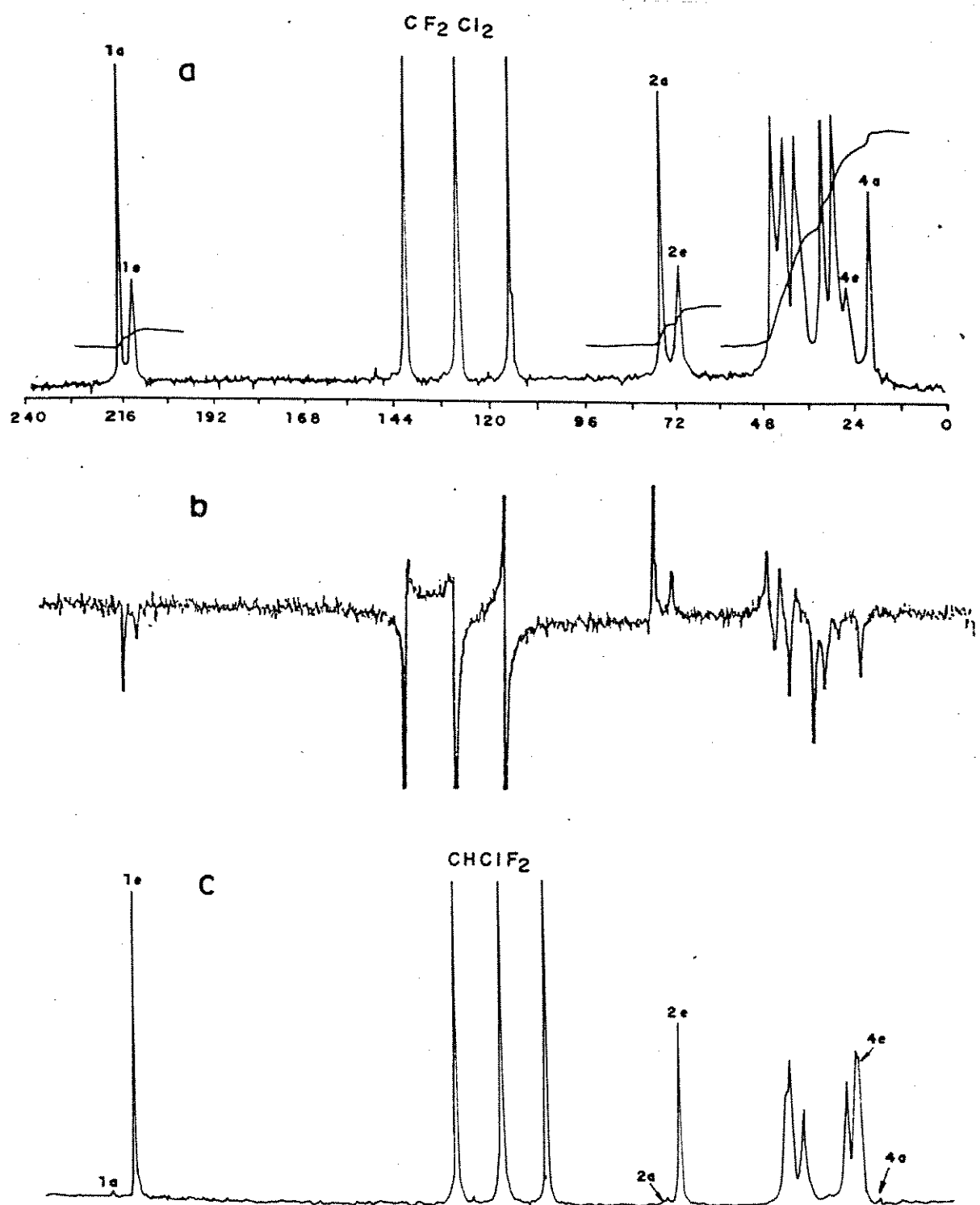


Figura 36. Espectros de R.M.N. de ^{13}C (100 MHz) da 2-N,N-Dimetil aminocicloexanona(9) à temperaturas abaixo da coalescência (-118°C). a) Em CCl_2F_2 ; b) "spin-echo" em CCl_2F_2 ; c) Em CHClF_2 .

Uma vez determinados os deslocamentos químicos de ^{13}C para cada um dos confôrmeros, podemos utilizá-los para a estimativa do equilíbrio conformacional. Cabe ressaltar aqui, que os deslocamentos químicos sofrem uma variação aleatória, com a mudança de temperatura^{64, 94, 93} e, assim deveriam ser corrigidos mediante experiências paralelas com compostos modelo (derivados *t*-butílicos), o que não foi possível realizar. Ainda assim, a estimativa da percentagem do confôrmero com substituinte axial é apresentada juntamente com os dados de deslocamento químico, antes e após a coalescência dos sinais, na Tabela 28. Para os carbonos C-3 e C-5 não foi possível a realização dos cálculos devendo a estes não desdobrarem os sinais com o abaixamento da temperatura.

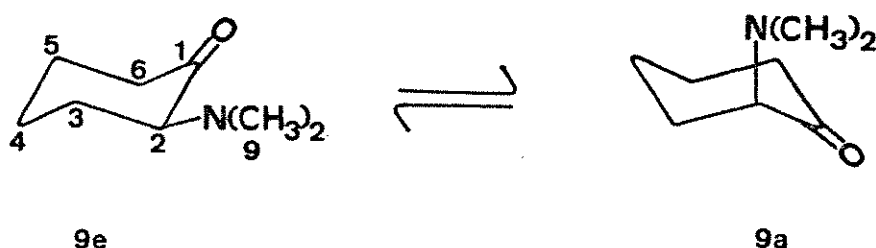
Comparando-se os valores de deslocamento químico da Tabela 28 com o das Tabelas 17 e 19 observaremos excelente concordância entre estes valores, no que diz respeito aos efeitos de blindagem ou desblindagem provocados pelo substituinte em diferentes orientações.

A despeito desta excelente concordância, os valores calculados para a percentagem do confôrmero axial (Tabela 28) foram discordantes principalmente para os obtidos dos carbonos C-2 e C-9. Tal discordância pode ser atribuída a já citada variação no deslocamento químico dos carbonos com o abaixamento da temperatura.

Conforme citado no início deste item, todos os compostos foram submetidos à experiência a baixas temperaturas, mas apenas a 2-N,N-dimetilaminocicloexanona (9) apresentou o esperado desdobramento dos sinais, enquanto as outras amostras congelaram antes que fosse possível esta detecção, embora vários derivados

do cicloexano tenham sido estudados com sucesso por esta técnica^{95, 101}. A provável razão para esta experiência não funcionar para os derivados da cicloexanona, é que nesta, a presença do grupo carbonílico confere maior flexibilidade a esta parte do anel, já que a barreira de rotação para uma ligação $C_{sp^2}-C_{sp^3}$ é mais baixa do que para uma ligação $C_{sp^3}-C_{sp^3}$. Assim, o processo total de inversão teria uma barreira de energia mais baixa na cicloexanona do que no cicloexano¹⁷ (ver Capítulo 1 - item 1.2.).

Tabela 28. Deslocamentos Químicos de ^{13}C da 2-N,N-Dimetilamino-cicloexanona (9)^a e Percentual do Conformero com Substituinte Axial (Ax).



Composto	C-1	C-2	C-3	C-4	C-5	C-6	C-9
<u>9^b</u>	212,00	73,53	31,15	22,05	28,53	40,22	42,10
Eq ^b	209,67	70,88	31,32	24,83	28,20	41,86	40,90
Ax ^b	214,10	74,59	31,32	18,93	28,20	38,09	44,09
%Ax	53	71	-	47	-	43	38

^a Em ppm, relativo ao T.M.S.

^b Em $CCl_2F_2/CDCl_2$ a $-90^\circ C$.

^c Em CCl_2F_2/CD_2Cl_2 a $-118^\circ C$

2.3.3. Espectros de r.m.n. de ^{17}O

Os espectros de r.m.n. de ^{17}O também foram obtidos a partir de soluções das cetonas em estudo (1 a 11), em clorofórmio. Para tanto, utilizou-se um tubo concêntrico ao da amostra, contendo água deuterada (D_2O).

A atribuição dos sinais é direta e muito simples já que estes espectros apresentam apenas dois sinais, o do oxigênio da água (referência) e o do grupo carbonila.

Os valores de deslocamento químico de ^{17}O e de ^{13}C por nós obtidos se encontram reunidos na Tabela 29.

Comparações realizadas entre os dados de deslocamento químico de oxigênio-17 com os de carbono-13 de compostos alifáticos como aldeídos e cetonas (Tabela 30) revelaram uma excelente correlação^{31, 90} (0,977) quando não eram incluídas cetonas contendo heteroátomos (Figura 37).

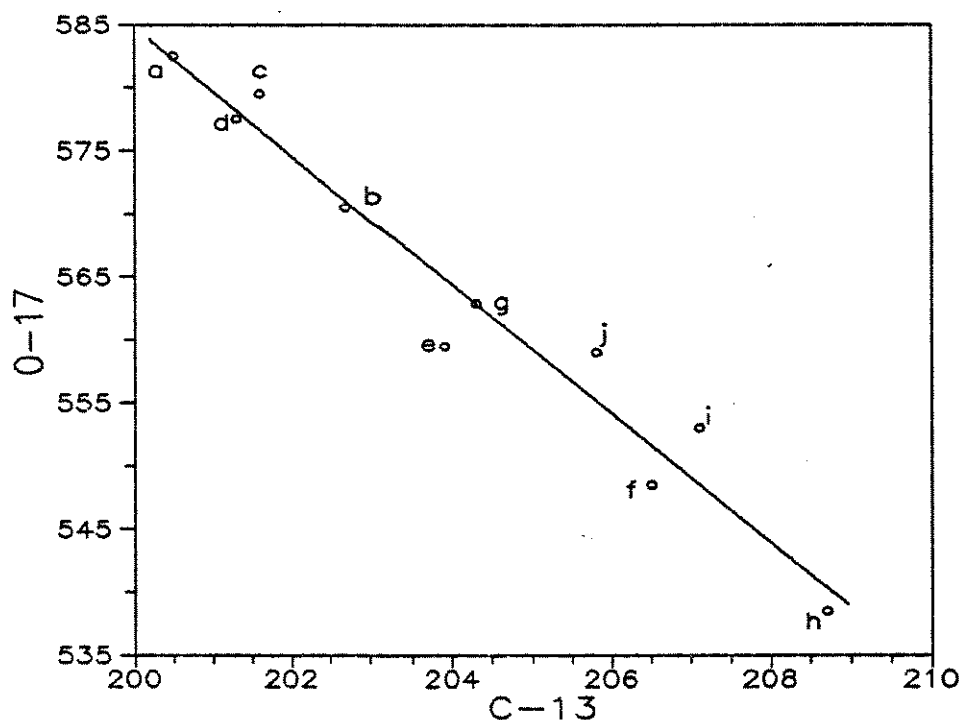
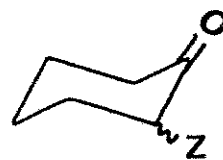


Figura 37. Confronto entre os deslocamentos químicos de ^{17}O e ^{13}C de aldeídos e acetonas alifáticas.

Tabela 29. Deslocamentos Químicos de ^{17}O e de ^{13}C do Grupo Carbonila de Algumas Cicloexanonas 2-Monossubstituídas.



Z	Composto	δ (ppm)	
		^{17}O	^{13}C
H	<u>1</u>	548,71	212,11
F	<u>2</u>	542,20	205,82
Cl	<u>3</u>	551,88	203,37
Br	<u>4</u>	554,26	203,37
I	<u>5</u>	-	204,62
OCH_3	<u>6</u>	544,82	209,97
SCH_3	<u>7</u>	550,32	207,66
SeCH_3	<u>8</u>	542,77	207,56
$\text{N}(\text{CH}_3)_2$	<u>9</u>	550,94	211,72
CH_3	<u>10</u>	540,72	213,51
$\text{C}(\text{CH}_3)_3$	<u>11</u>	553,07	212,80

Tabela 30. Deslocamentos Químicos de Carbono-13 e Oxigênio-17 do Grupo Carbonila de Aldeídos e Cetonas Alifáticas⁹⁰.

Composto	δ (ppm)	
	^{13}C	^{17}O
a Etanal	200,5	582,5
b Propanal	202,7	570,5
c Butanal	201,6	579,5
d Pentanal	201,3	577,5
e Acetona	203,9	559,5
f Butanona	206,5	548,5
g 2-Pantanona	204,3	562,9
h 3-Pantanona	208,7	538,5
i 2-Hexanona	207,1	553,0
j 4-Metil-2-pantanona	205,8	559,0

Foi observado⁹⁰ que a inclusão de cetonas contendo heteroátomos reduzia o valor de correlação observado. Da mesma forma, tentativas de obter este tipo de correlação para cicloexanonas mono e polissubstituídas fracassaram^{90, 30}, o que foi considerado previsível, com a justificativa de que os termos que fazem parte de σ_p não variam de uma mesma maneira para o "C" e "O".

No presente trabalho também não foi possível se traçar qualquer reta de correlação devido a grande dispersão dos pontos (Figura 38), vindo a reforçar a observação acima citada.

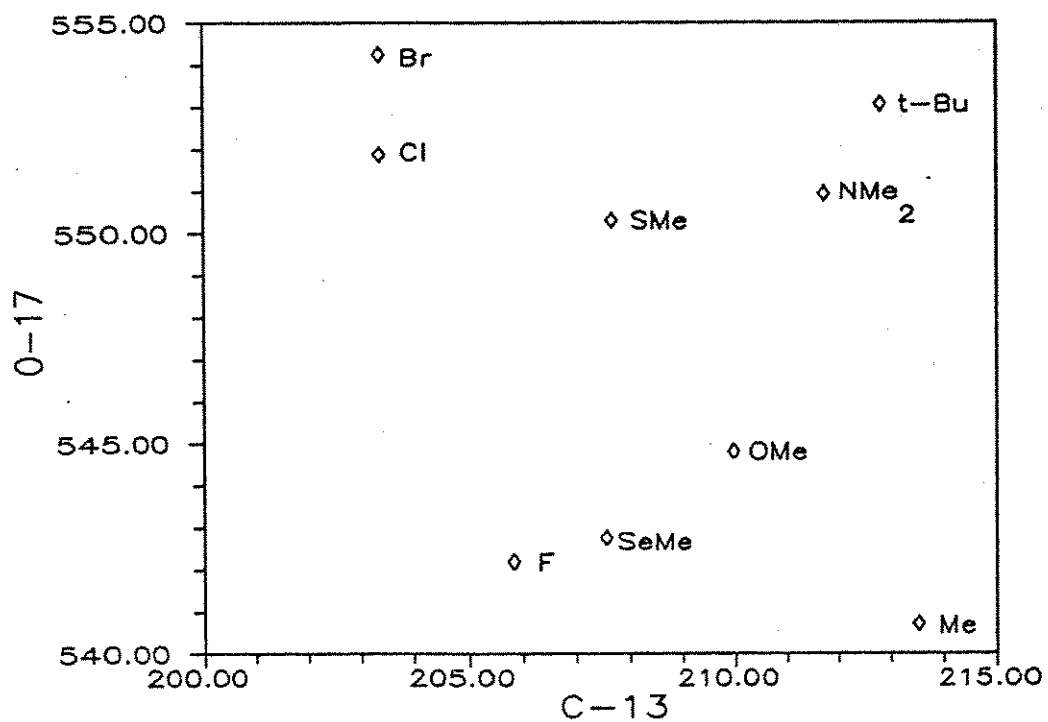


Figura 38. Confronto entre os Deslocamentos Químicos de ^{17}O e de ^{13}C de Algumas Cicloexanonas 2-Monossubstituídas.

2.4. Conclusões

Embora os resultados deste trabalho tenham sido discutidos detalhadamente no Capítulo 2 desta tese, achamos por bem aglutinar as principais conclusões, de uma maneira suscinta, em um único item.

1) A obtenção e purificação dos compostos utilizados é relativamente fácil na maioria dos casos. Entretanto, compostos como a 4-t-Butil-2-fluorcicloexanona (13) e 4-t-Butil-2-trimetilsililcicloexanona (37) apresentaram grandes dificuldades sendo que o segundo não foi obtido. Para o primeiro, a maior dificuldade se deu devido, principalmente, à falta de reagentes adequados, que obrigou-nos a várias adaptações. No que diz respeito à purificação, tentou-se sempre que possível isolar os diastereoisômeros, por cromatografia em coluna, entretanto, compostos como, 4-t-Butil-2-metilselenocicloexanona (19) se decompunham durante a eluição ocasionando grandes perdas, enquanto os derivados de iodo (5 e 16) não puderam ser manipulados, pois se decompõem na presença da luz, necessitando serem mantidos a baixas temperaturas.

2) Os efeitos dos substituintes nos deslocamentos químicos de ^{13}C foram bastante coerentes com relação a compostos análogos. Assim, foram demonstradas excelentes correlações entre os efeitos α , β , β' , γ e γ' de 4-t-butilcicloexanonas 2-monossubstituídas e trans-3-decalonas-4-monossubstituídas. Os valores de deslocamentos químicos do carbono carbonílico dos isômeros trans evidenciam as observações de que os substituintes fortemente eletronegativos (F, O, N), axialmente orientados, provocam um abaixamento no nível de energia de σ_{CZ}^* per-

mitindo uma melhor interação $\pi_{CO} \leftrightarrow \sigma^*_{C-Z}$, traduzida pela diminuição da blindagem ou até desblindagem do carbono carbonílico.

3) O confronto, entre as diferenças de deslocamento químico calculado e experimental do carbono α -carbonílico (C-2), das cicloexanonas em estudo com os derivados análogos da acetona, apresentaram uma grande semelhança, o que sugere que as interações envolvidas sejam muito semelhantes, ou seja, a orientação equatorial do substituinte na cicloexanona deve ser muito próxima a orientação cis da acetona substituída, enquanto o substituinte axial seria equivalente a orientação gauche.

4) O estudo de equilíbrios conformacionais pela r.m.n. de 1H ficou mais simplificada, mesmo quando temos espectros de segunda ordem, em virtude do desenvolvimento da ressonância magnética nuclear em duas dimensões.

5) Estudos de equilíbrio conformacional por r.m.n. de ^{13}C a baixas temperaturas é, sem dúvida, um dos métodos mais precisos, entretanto, devido a pequena barreira de interconversão da cicloexanona, este método só funcionou para a 2-N,N-dimetilaminocicloexanona.

6) Tentativas de correlacionar deslocamento químico de ^{13}C com deslocamentos químicos de ^{17}O não proporcionaram resultados satisfatórios, fato que já havia sido observado para outras cetonas α -monossubstituídas e tem sido atribuído a diferentes variações nos termos de σ_p , quando comparamos "C" e "O", sem contudo se ter uma conclusão mais abrangente.

C A P I T U L O 3

P A R T E E X P E R I M E N T A L

CAPÍTULO 3

PARTE EXPERIMENTAL

3.1. Instrumentação

- Destilação Fracionada: destilador Perkin-Elmer, modelo 251, com coluna rotatória de 200 placas teóricas ("Auto Annular Spinning Band").
- Ponto de Fusão: placa de aquecimento de Kofler.
- Espectros de Massa: Espectrômetro Varian modelo MAT 311A, de dupla focalização.
- Espectros de Infravermelho: Espectrômetro Perkin-Elmer, modelo 399B.

3.2. Espectros de R.M.N.

3.2.1. Espectros de r.m.n. de Hidrogênio-1

Os espectros de r.m.n. de ^1H foram obtidos em um espetrômetro Bruker, modelo AW-80 e num Varian, modelo XLA-400, de 1,88 T e 9,39 T, respectivamente.

3.2.2. Espectros de r.m.n. de Carbono-13

Os espectros de r.m.n. de ^{13}C foram obtidos em espetrômetros Varian, modelos XL-100 e XLA-400 de 2,35 T e 9,39 T, respectivamente.

As características e condições normais de operação do XLA-400 (mais utilizado) são descritas a seguir:

- freqüência: 100,578 MHz
- trava externa: sinal de Hidrogênio-2 do solvente (CDCl_3)
- temperatura: 20°C
- velocidade de rotação da amostra: 25 r.p.s.
- tubo da amostra: diâmetro externo 5 mm
- largura de varredura: 25126 Hz
- modo: Transformada de Fourier
- duração do pulso: 6,5 μs
- intervalo entre dois pulsos: 4,0 s
- tempo de aquisição: 1,19 s
- número de transientes acumulados: 320
- número de pontos de dados: 64 K

3.2.3. Espectros de r.m.n. de Carbono-13 a Baixas Temperaturas

Para obtenção de espectros a baixas temperaturas utilizamos nitrogênio (gás resfriado em serpentina com nitrogênio líquido) para girar a amostra e resfriar o "probe".

As condições típicas de trabalho foram:

- trava externa: sinal de Hidrogênio-2, presente na amostra (CD_2Cl_2)
- temperatura: de -70°C a -135°C
- controle de temperatura: realizado pelo próprio aparelho
- tubo da amostra (selado): diâmetro externo 5 mm

- intervalo entre dois pulsos consecutivos: 4,0 s
- duração do pulso: 6,5 μ s
- tempo de aquisição: 1,19 s

3.2.4. Espectros de r.m.n. de Oxigênio-17

Os espectros de r.m.n. de ^{17}O foram obtidos num espetrômetro Varian, modelo XLA-400 de 400 MHz.

As características e condições de operação para aquisição destes espectros foram:

- freqüência: 54,22 MHz
- trava externa: sinal de Hidrogênio, através de um tubo concêntrico a amostra, contendo D_2O
- temperatura: 20°C
- velocidade de rotação da amostra: 20 r.p.s.
- tubo da amostra: diâmetro externo 10 mm
- largura de varredura: 46082,9 Hz
- modo: Transformada de Fourier
- duração do pulso: 14 μ s
- intervalo entre dois pulsos: 0,4 s
- tempo de aquisição: 0,3 s
- número de transientes acumulados: 8000
- número de pontos de dados: 32 K

3.2.5. Espectros de r.m.n. em Duas Dimensões (2D)

Para alguns compostos fez-se necessário a aquisição de espectros com correlação heteronuclear (^{13}C x ^1H), utilizando-se para tal uma seqüência de pulsos denominada HETCOR, que faz parte do software do aparelho.

As condições normais de operação para aquisição destes espectros são descritas a seguir:

- temperatura: 20°C
- velocidade de rotação da amostra: 20 r.p.s.
- tubo da amostra: diâmetro externo 5 mm
- largura de varredura: 7550 Hz
- modo: Transformada de Fourier
- duração do pulso: 23,1 μs
- tempo de aquisição: 0,13 s
- número de transientes acumulados: 128
- número de pontos de dados: 2048

3.3. Solventes

Na obtenção dos espectros foram utilizados solventes deuterados (ALDRICH), com exceção dos espectros obtidos a baixas temperaturas onde utilizou-se o diclorodifluormetano.

Para a síntese e extração dos compostos foram utilizados solventes de qualidade técnica ou p.a., purificados segundo procedimentos usuais⁸⁵.

3.4. Preparação das Amostras

- R.M.N. de ^1H
 - Solvente: CDCl_3 , contendo 0,03% de T.M.S.
 - Substrato: Ca. 3% (p/v)
- R.M.N. de ^{13}C
 - Solvente: CDCl_3 , contendo 1% de T.M.S.
 - Substrato: 1 M
- R.M.N. de ^{13}C a baixas temperaturas
 - Solvente: CCl_2F_2 com 3% CD_2Cl_2
 - Substrato: 0,75 M
- R.M.N. de ^{17}O
 - Solvente: CDCl_3
 - Substrato: 1 M

3.5. Compostos Sintetizados e/ou Purificados

- Cicloexanona (1)

De procedência comercial (Aldrich). Seca com sulfato de magnésio anidro e destilado em coluna de Vigreux, fornecendo uma fração média de p.e. $70^\circ\text{C}/45$ Torr (lit.⁹ p.e. $152-153^\circ\text{C} / 716$ Torr).

• Cicloexanol (23)

De procedência comercial (Aldrich - p.e. 160 - 161°C). Utilizado sem qualquer purificação.

• Óxido de Cicloexeno (25)

De procedência comercial (Aldrich - p.e. 129 - 130°C), destilado em coluna de Vigreux forneceu uma fração média de p.e. 127-128°C.

• 2-Fluorcicloexanol (27)¹⁰⁹

Em um reator de aço inoxidável equipado com condensador de refluxo e agitação mecânica misturou-se 7,4 g (94,7 mmol) de hidrogênio fluoreto de potássio, 6,4 mL (63,2 mmol) de óxido de cicloexeno e 12,2 g de dietileno glicol. A mistura foi mantida sob agitação a 175°C por uma hora. Decorrido este tempo deixou-se o sistema esfriar e filtrou-se a mistura num funil de Büchner. O líquido filtrado foi destilado em coluna de Vigreux, fornecendo 4,3 g (58%) de um líquido incolor de p.e. 69 - 71°C/15 Torr (lit.¹⁰⁹ 68-69°C/14 Torr) identificado como o 2-fluorcicloexanol (27).

R.M.N. (CDCl₃): δ 4,4-3,2 (2H, m); δ 2,6 (1H, s); δ 2,4-1,0 (8H, m).

• 2-Fluorcicloexanona (2)¹⁰⁹

Em um balão de 50 mL, equipado com termômetro, agitador magnético e funil de adição dissolveu-se 0,5 g (4,2 mmol) de 2-fluorcicloexanol (24) em 10 mL de acetona isenta de álcool iso propílico. No funil de adição dissolveu-se 0,5 g (5 mmol) de óxi-

do de crômio VI em 1 mL de água mais 0,4 mL de ácido sulfúrico concentrado (solução 5,5 M). Sob agitação e mantendo a temperatura abaixo dos 35°C adicionou-se gota a gota o reagente oxidante sobre o álcool. Terminada a adição, deixou-se a reação sob agitação, à temperatura ambiente, por 24 horas.

Decorrido este prazo, adicionou-se álcool isopropílico até a solução ficar verde, filtrou-se o sólido formado e evaprou-se a acetona. Dissolveu-se o resíduo em diclorometano e lavou-se a solução com água (3 x 10 mL). Secou-se a solução orgânica com sulfato de sódio anidro no evaporador rotatório. Obteve-se 0,25 g (53%) de produto bruto que após destilação no Kugelrohr forneceu 0,20 g (42%) de um líquido incolor de p.e. 95-97°C/20 Torr (lit.⁷ 79°/12 Torr).

• 2-Clorocicloexanona (3)

De procedência comercial (Aldrich). Destilada em coluna de Vigreux, forneceu uma fração média de p.e. 85°C / 13 Torr (lit.⁷⁹ 90 - 91°C/14-15 Torr).

• 2-Bromocicloexanona (4)³

Em um balão de duas bocas de 50 mL, equipado com condensador de refluxo, agitador magnético e funil de adição, colocou-se 3,1 mL (30 mmol) de cicloexanona destilada e 10 mL de água. A mistura foi resfriada em banho de gelo (0 - 5°C), sob agitação, e 1,5 mL (30 mmol) de bromo molecular foram gotejados lentamente (aproximadamente 30 min.). Terminada a adição, retirou-se o banho de gelo, mantendo-se a agitação até a mistura descorrer (com evolução de HBr; 30 - 60 min.). O produto foi extraído

com éter (5 x 10 mL) e a solução etérea lavada com água gelada (2 x 10 mL) solução gelada de bicarbonato de sódio a 3% (2x10 mL) e novamente água gelada. Secou-se a solução etérea com sulfato de sódio anidro e removeu-se o solvente no evaporador rotatório. O produto foi então destilado em coluna de Vigreux, obtendo-se 3,1 g (58%) de um líquido incolor de p.e. 45°C/0,5 Torr (lit.³ 83°C/6 Torr). O produto foi estocado a baixa temperatura (-15°C) e protegido da luz, a fim de evitar a decomposição do mesmo.

• Cicloexeno (24)²⁵

Em um balão de 250 mL colocou-se 166 mL (1,6 mols) de cicloexanol (23) e 5 mL de ácido sulfúrico concentrado. Conectou-se este balão a uma coluna destilação (coluna de Vigreux + condensador) e aqueceu-se a mistura em banho de óleo a 130°C.

A mistura cicloexeno/H₂O que destilou da mistura reacional foi coletada e saturada com cloreto de sódio. Separou-se então o cicloexeno em漏il de separação, secou-se com sulfato de sódio anidro e procedeu-se nova destilação, donde obteve-se 102,5 g (78%) de um líquido incolor destilando a 81°C (lit.⁴⁰ 82,3°C/764 mmHg).

R.M.N.(CCl₄): δ 5,6 (2H, s); δ 2,2-1,4 (8H, m).

• 2-Iodocicloexanol (26)¹⁶

Em um balão de 2 bocas de 125 mL equipado com termômetro e agitação magnética e resfriado com banho de gelo, dissolveu-se 7,24 mL (0,071 mol) de cicloexeno (24) em 22 mL de éter etílico (isento de álcool) e 1,2 mL de água destilada. Em seguida, sob agitação, adicionou-se 8,06 g (0,037 mol) de óxido mercúrio amarelo. Esperou-se um tempo para a mistura atingir uma tem-

peratura em torno de 5°C e então adicionou-se, em pequenas porções, 18,2 g (0,14 mol) de iodo finamente pulverizado.

Terminada a adição manteve-se a mistura sob agitação e banho de gelo por aproximadamente 1 hora. Filtrou-se então o precipitado sob vácuo (trompa d'água), e lavou-se o mesmo com éter etílico. A solução filtrada foi agitada com uma solução concentrada de iodeto de potássio contendo uma pequena quantidade de metabissulfito de sódio. Separou-se a fase aquosa da etérea, sendo esta última seca com cloreto de cálcio anidro. Filtrou-se novamente a solução etérea e eliminou-se o solvente no evaporador rotatório, restando no balão um produto oleoso que foi submetido a um vácuo de aproximadamente 5 Torr por 15 minutos, para eliminar totalmente o solvente. Obteve-se assim, 10,3 g (64%) de um líquido oleoso, que no freezer cristalizou como um sólido branco.

R.M.N. (CDCl_3): δ 4,2-3,2 (2H, m); δ 2,6-1,0 (9H, m).

• 2-Iodocicloexanona (5)²²

- 1ª Tentativa:

Em um balão de 2 bocas de 125 mL, equipado com termômetro e agitador magnético dissolveu-se 2,26 g (0,01 mol) de 2-iodocicloexanol (26) em 25 mL de ácido acético. Mantendo-se a temperatura em torno de 20°C adicionou-se, gota a gota, uma solução de 1,1 g (0,011 mol) de óxido de crômio VI em 28 mL de ácido acético, durante um tempo de aproximadamente 4 h. Terminada a adição manteve-se a agitação por mais 6 h.

Decorrido este tempo, viramos a mistura sobre 100 mL de uma solução a 2%, gelada, de sulfito de sódio, extraiu-se o produto com tetracloreto de carbono e secou-se a solução com sul-

fato de magnésio anidro.

A mistura foi rapidamente filtrada e o solvente removido sob um vácuo de 1 Torr e a uma temperatura em torno de -10°C, tudo isto ao abrigo da luz.

Devido a presença de ácido acético no produto, dissolreu-se este com cloreto de metileno e lavou-se a solução sucessivas vezes com uma solução aquosa a 2% de meta bissulfito de sódio. Secou-se então a solução orgânica com sulfato de magnésio anidro e procedeu-se a remoção do solvente conforme descrito acima.

Obteve-se assim 0,9 g (41%) de um líquido amarelo claro que se decompõe rapidamente passando a uma coloração escura. Espectros de r.m.n. de ^1H demonstraram uma apreciável quantidade de álcool de partida.

- 2ª Tentativa:⁴⁹

Em um balão de 50 mL (previamente flambado) equipado com agitador magnético e septo de borracha e sob atmosfera de nitrogênio, dissolveu-se 0,76 mL (5,6 mmol) de diisopropilamina seca em 15 mL de tetraidrofuranô seco. À solução a 0°C foram adicionados 2,2 mL (5,6 mmol) de uma solução 2,5 M de n-butil-lítio em hexano. Decorridos 10 min., abaixou-se a temperatura para -78°C (banho gelo seco/acetona) e adicionou-se 0,53 mL (5,1 mmol) de cicloexanona (previamente destilada e estocada sob peneira molecular 4 Å). Após 20 min. de reação, adicionou-se lentamente (de forma que a mistura reacional permaneça sempre incolor) 1,35 g (5,3 mmol) de iodo molecular dissolvido em 5 mL de tetraidrofuranô seco. Terminada a adição retirou-se o banho de gelo seco/acetona e permitiu-se que a temperatura atingisse aproximadamente 0°C. Virou-se então a mistura reacional sobre uma solução gelada de bi-

carbonato de sódio a 3% e extraiu-se o produto com éter gelado. Lavou-se a solução etérea (mantida sempre que possível ao abrigo da luz) com uma solução gelada de sulfito de sódio a 2%, secou-se com sulfato de sódio anidro, filtrou-se rapidamente o secatore e evaporou-se o solvente sob vácuo (de 30 até 1 Torr) a -5°C e ao abrigo da luz. Obteve-se 0,85 g (74%) de produto bruto, que não permite purificação devido a rápida decomposição. O produto foi utilizado (para aquisição dos espectros) imediatamente após a obtenção.

• 2-Metoxicicloexanona (6)

De procedência comercial (Aldrich). Destilado em coluna de Vigreux, forneceu uma fração média de p.e. 80°C / 20 Torr (lit.⁵⁴ 77-78°C/13 Torr).

• Metanotiossulfonato de Metila (38)⁹⁵

Em um balão de 500 mL, equipado com agitador magnético e funil de adição, colocou-se 54 mL (0,6 mol) de dissulfeto de dimetila e 180 mL de ácido acético glacial. Abaixou-se a temperatura para 0°C e então adicionou-se lentamente (3,5 h) 122 h (1,2 mol) de peróxido de hidrogênio a 30%. Terminada a adição permitiu-se que a temperatura atingisse 20°C e manteve-se a agitação por mais 30 min., destilou-se então o ácido acético e extraiu-se o produto com diclorometano. A fase orgânica foi seca sob sulfato de sódio anidro e após filtragem removeu-se o solvente no evaporador rotatório e destilou-se o produto bruto, obtendo-se 49 g (65%) referente a uma fração média de p.e. 98-100°C/8,5 Torr (lit.⁹⁶ 119°C/20 Torr).

R.M.N. (CCl₄): δ3,3 (3 H, s); δ2,7 (3H, s).

• 2-Metiltiocicloexanona (7)⁹⁶

Em um balão de 100 mL (previamente flambado) sob atmosfera de nitrogênio, equipado com agitador magnético e septo de borracha, dissolveu-se 3,1 mL (22 mmol) de diisopropilamina em 50 mL de tetraidrofuranô seco. A esta solução a 0°C, foram adicionados 14,6 mL (22 mmol) de uma solução 1,5 M de n-butil-lítio em hexano. Decorridos 10 min., abaixou-se a temperatura para -78°C (banho de gelo seco/acetona) e adicionou-se 2,1 mL (20 mmol) de cicloexanona (previamente destilada e estocada sob peneira molecular 4 Å). Após 20 min. de reação, adicionou-se lentamente 2,1 mL (20 mmol) de metanotiosulfonato de metila (previamente preparado - composto 38). A reação foi deixada sob agitação a -78°C por 2 h, então retirou-se o banho de gelo seco/acetona e permitiu-se que esta atingisse a temperatura ambiente. A mistura reacional foi então virada sobre 20 mL de uma solução de bicarbonato de sódio a 3% e extraída com éter (3 x 30 mL). A fase etérea foi lavada com água (3 x 20 mL) seca com sulfato de sódio anidro e após filtração do secante o solvente foi removido no evaporador rotatório. O produto obtido foi destilado em coluna de Vigreux, obtendo-se 2,1 g (7,3%) de um líquido incolor de p.e. 88-90°C/6,5 Torr (lit.⁹⁶ 45°C/0,1 Torr).

• 2-Metilselenocicloexanona (8)⁶⁸

Em um balão (previamente flambado), de 3 bocas de 500 mL, sob atmosfera de nitrogênio, equipado com agitador magnético, termômetro de álcool e septo de borracha dissolveu-se 3,2 mL (23 mmol) de diisopropilamina seca em 150 mL de tetraidrofuranô seco. À solução, a 0°C foi adicionado 15 mL (23 mmol) de uma solução 1,5 M de n-butil-lítio em hexano. Decorridos 10 min., abai

xou-se a temperatura para -78°C (banho gelo seco/acetona) e adicionou-se 2,1 mL (20 mmol) de cicloexanona. Passado um tempo de 20 min. adicionou-se 10,6 mL (61 mmol) de hexametilfosforamida (HMPA) e 1,74 g (22 mmol) de selênio em pó e aumentou-se a temperatura para -20°C, mantendo-se assim por 1 h. Após este tempo, permitiu-se que a temperatura atingisse -15°C, tornou-se a abaixá-la para -20°C e então adicionou-se 2,5 mL (40 mmol) de iodeto de metila, manteve-se a agitação por mais 5 min. e então interrompeu-se a mesma pela adição de 4,0 mL de uma solução saturada de cloreto de amônio.

A mistura reacional foi diluída em éter e lavada com uma solução de ácido clorídrico a 1% (2 x 30 mL), com uma solução de bicarbonato de sódio a 3% (2 x 30 mL) e, finalmente, com água (2 x 30 mL). A fase etérea foi seca com sulfato de sódio anidro e após filtração do secante, o solvente foi retirado no evaporador rotatório.

Tentativas de purificar o produto por destilação ocasionou a decomposição do mesmo. A purificação foi possível somente por eluição em coluna de sílica com hexano: éter (7:3). Obteve-se assim 2,0 g (53%) de um líquido amarelo com cheiro desagradável muito forte.

• 2-N,N-dimetilaminocicloexanona (9)¹²

Este composto estava disponível em nossos laboratórios, procedente de estudos anteriores realizados por nosso grupo¹², de forma que foi apenas purificado por destilação em coluna de Vigreux, p.e. 75-76°C/5 Torr (lit.⁷⁷ 96-98°C/20 Torr).

• 2-Metilcicloexanona (10)

De procedência comercial (Aldrich), foi usada sem qualquer purificação.

• 1-Cicloexeniloxitrimetilsilício (28)⁵²

Em um balão (previamente flambado), sob atmosfera de nitrogênio, equipado com agitador magnético e septo de borracha dissolveu-se 8,9 mL (64 mmol) de diisopropilamina seca em 120 mL de tetraidrofurano seco. A temperatura foi abaixada para 0°C e 42,6 mL (64 mmol) de uma solução 1,5 M de n-butil-lítio em hexano foram adicionados. Decorridos 10 min. de reação, a temperatura foi abaixada para -78°C e 6,2 mL (60 mmol) de cicloexanona (1) foram adicionados e, após 20 min. de reação, adicionou-se 8,6 mL (64 mmol) de cloreto de trimetilsilila e retirou-se então o banho de gelo seco/acetona, permitindo-se que a mistura reacional atingisse uma temperatura em torno de 5°C. Neste ponto, virou-se a mesma sobre 50 mL de uma solução saturada de bicarbonato de sódio gelada e extraiu-se o produto com éter de petróleo (4 x 30 mL). A solução orgânica foi seca sob sulfato de sódio anidro e, após filtragem, o solvente foi removido no evaporador rotatório. Destilação do produto bruto em coluna de Vigreux, forneceu 7,9 g (77%) referente a uma fração média de p.e. 68-70°C/14 Torr (lit.⁵⁵ 74-75°C/20 Torr).

R.M.N. de ¹H (CCl₄): δ 4,7 (1H, m); δ 2,2-1,4 (8 H, m); δ 0,2 (9 H, s).

I.V. (Filme): 1675 (C = C).

• 2-t-Butilcicloexanona (11)^{87, 88}

Em um balão de 50 mL (previamente flambado) sob atmosfera de nitrogênio, equipado com agitador magnético e septo de borracha misturou-se 1,94 mL (10 mmol) do 1-cicloexeniloxitrime-tilsílico (28), 1,1 mL (10 mmol) de cloreto de t-butila (previamente destilado e estocado com peneira molecular 4 Å) e 7 mL de diclorometano seco. Num segundo balão misturou-se 1,1 mL (10 mmol) de tetracloreto de titânio em 4 mL de diclorometano seco. Abaixou-se a temperatura dos dois balões para -40°C e então transferiu-se o conteúdo do segundo balão ($TiCl_4 + CH_2Cl_2$) para o primeiro. Manteve-se a temperatura de -40°C e agitação por 2 horas. Decorrido este tempo, diluiu-se a mistura reacional em 50 mL de diclorometano e lavou-se a solução orgânica com água gelada (3 x 20 mL). A fase orgânica foi então seca com sulfato de sódio anidro e o solvente, após filtragem, foi eliminado no evaporador rotatório.

O produto bruto foi eluído em coluna de sílica com hexano: éter (9,5:0,5), da qual obteve-se 0,93 g (60%) do produto puro.

• 4-t-butilcicloexanona (12)

De procedência comercial (Aldrich) de p.f. 47 - 50°C. Foi recristalizada em hexano e seca sob vácuo.

• trans-1-Ciano-1,2-epoxi-4-t-butilcicloexano (34)²¹

Em um balão de 250 mL, equipado com agitação magnética e funil de adição, dissolveu-se 6,4 g (0,13 mol) de cianeto de sódio em 30 mL de uma mistura de dimetil sulfóxido e água (1:1).

Fazendo-se uso do funil de adição, adicionou-se lentamente (~40 min.), à temperatura ambiente, 7,6 g (0,033 mol) de cis-2-bromo-4-t-butilcicloexanona (15e) dissolvidos em uma mistura de 53 mL de dimetilsulfóxido e 5 mL de clorofórmio.

Após a adição manteve-se a mistura em agitação por uma hora e então virou-se sobre esta 400 mL de uma solução saturada de cloreto de sódio. Extraiu-se o produto com éter (4 x 25 mL), secou-se a fase etérea com sulfato de magnésio anidro e após filtração evaporou-se o solvente no evaporador rotatório.

O óleo residual foi mantido sob vácuo (0,1 Torr) por 3 h, em seguida, dissolvido em 30 mL de pentano seco e mantido sob refrigeração (-18°C) por 5 dias. Obteve-se assim 2,5 g (42%) de cristais brancos identificados como o ciano-epóxi (34) desejado, utilizado na reação seguinte. O espectro de R.M.N. de ¹H é complexo, mas permite identificar o próton ligado ao carbono do grupo epóxido [δ (CCl₄): 3,5 ppm (1 H, s.a.)].

• 1-Ciano-1-hidróxi-2-flúor-4-t-butilcicloexanona (35)²¹

Em um recipiente de aço inoxidável, previamente flamulado, adicionou-se 30 g de hidrogenofluoreto de potássio seco. Fechou-se o recipiente com uma tampa rosqueável conectada a um tubo de cobre, o qual recebia uma corrente de nitrogênio seco.

Em um segundo recipiente (de polietileno) de 100 mL, equipado com agitação magnética e banho de gelo seco/etanol adicionou-se 1,74 mL (14 mmol) de trifluoreto de boro-eterato seco e 50 mL de éter seco. Este recipiente foi conectado ao recipiente de aço inoxidável, mantendo-se entre eles um tubo em "Y" onde uma das extremidades possuia um septo de borracha.

O recipiente de aço inoxidável foi então aquecido com

bico de bunsen a uma temperatura em torno de 500°C de forma a decompor o hidrogenofluoreto de potássio em fluoreto de potássio, que permanece no recipiente, e um ácido fluorídrico que foi borbulhado no recipiente de polietileno, contendo trifluoreto de boro, gerando assim o ácido tetrafluorbórico ($\text{HBF}_4 - \text{O}(\text{C}_2\text{H}_5)_2$) necessário para a abertura do epóxido e introdução do flúor. Ces-sada a geração de HF, adicionou-se (pelo tubo em "Y") 2,50 g (14 mmol) do 1-ciano-1,2-epóxi-4-t-butilcicloexano (34) dissolvidos em 5 mL de éter seco. Nesse instante retirou-se o banho de gelo seco/etanol, desconectou-se o restante da aparelhagem (tubo em "Y" e recipiente de aço inoxidável) e colocou-se nova tampa no recipiente de polietileno de forma a mantê-lo bem vedado. A mistura reacional foi mantida sob agitação magnética à temperatura ambiente por 3 dias.

Decorrido este tempo, a mistura foi neutralizada ($\text{pH} = 7,0$) com isopropilamina seca, dissolvida em éter seco.

Após a neutralização, adicionou-se 20 mL de água e extraiu-se o produto com éter (4×10 mL), secou-se a fase etérea com sulfato de magnésio e após filtragem evaporou-se o solvente no evaporador rotatório. O resíduo obtido foi seco sob vácuo (5 Torr) por 2 h, dissolvido em 50 mL de pentano seco e mantido a -18°C por 3 dias.

Os cristais formados foram filtrados em funil de Buchner e lavados com pequena quantidade de pentano gelado. Após evaporação do solvente sob vácuo, obteve-se 0,71 g (25%) de um sólido amarelo claro identificado como o 1-ciano-1-hidróxi-2-flúor-4-t-butilcicloexano (35).

R.M.N. (CDCl_3): δ 4,3 (1 H, m); δ 3,4 (1 H, s); δ 2,4-1,2 (7 H, m); δ 0,9 (9 H, s).

• cis-4-t-Butil-2-fluorcicloexanona (13e)²¹

Em um balão de 10 mL, equipado com agitador magnético e contendo 620 mg (3,1 mmol) do 1-ciano-1-hidróxi-2-flúor-4-t-butilcicloexano (35) adicionou-se 2,4 mL de uma solução de hidróxido de amônio concentrado e 3,1 mL de uma solução de nitrato de prata 1 M. Fechou-se o balão com uma rolha, mantendo-se agitação à temperatura ambiente por 6 horas. Decorrido o tempo, filtrou-se a mistura, separando-se assim, o precipitado de cianeto de prata e lavou-se a fase aquosa com éter etílico (5 x 10 mL). Se cou-se a fase etérea com sulfato de magnésio anidro. Após filtragem, evaporou-se o solvente no evaporador rotatório, obtendo-se 389 mg de um líquido oleoso de cor castanha, o qual purificou-se por eluição em coluna de sílica, utilizando-se como eluente uma mistura de hexano:éter (80:20). Obteve-se 250 mg (47%) de um líquido amarelo claro, identificado como a cis-5-t-butil-2-fluorcicloexanona (13e). O diastereoisômero trans (13a) foi obtido pela epimerização do cis (13e) (ver Reações de Epimerização - Item 3.5.1.).

• cis(14e) e trans-4-t-butil-2-clorocicloexanona (14a)⁸⁰

Em um balão de 3 bocas e 125 mL, resfriado em banho de gelo (0-5°C), equipado com sistema para passagem de gás e agitador magnético, dissolveu-se 5,0 g (32 mmol) de 4-t-butilcicloexanona em 15 mL de ácido acético glacial. Separadamente resfriou-se um tubo de ensaio em nitrogênio líquido e fez-se passar cloro gasoso dentro deste. Pesou-se assim 2,8 g (39 mmol) de cloro (sólido). Conectou-se este tubo ao sistema para passagem de gás, acoplado ao balão reacional e, lentamente, permitiu-se o aquecimento do cloro, que ao passar para o estado gasoso borbulhava na solução de cetona e ácido acético.

Imediatamente após ter-se borbulhado todo o gás, destilou-se o ácido acético sob vácuo obtendo-se 5,25 g (87%) de produto bruto.

Uma destilação fracionada, no "spinning band", forneceu as seguintes frações: I, 1,32 g, p.e. 70-85°C/1 Torr; II, 2,50 g, p.e. 89-100°C/1 Torr e III, 0,97 g, p.e. 100 - 110°C / 1 Torr. Os espectros de r.m.n. de ^1H indicaram que na fração I tinha-se praticamente a cetona de partida, enquanto nas frações II e III tinha-se os diastereoisômeros cis (14e) e trans (14a), respectivamente, cada um deles apresentando uma pequena fração do outro.

• cis(15e) e trans-2-Bromo-4-t-butilcicloexanona (15a)⁴

Procedeu-se de maneira análoga à já descrita para a obtenção da 2-bromocicloexanona (4), porém, utilizou-se éter como solvente, uma vez que a 4-t-butilcicloexanona é insolúvel em água. Desta forma 2,6 mL (50 mmol) de bromo foram lentamente adicionados a 7,7 g (50 mmol) de 4-t-butilcicloexanona em éter, a uma temperatura de banho de gelo (0-5°C). Terminada a reação lavou-se a solução etérea com água (2 x 20 mL), com uma solução de bicarbonato de sódio a 3% (2 x 20 mL) e novamente com água. Se cou-se a fase etérea com sulfato de sódio anidro e, após filtração, retirou-se o solvente no evaporador rotatório. O produto bruto foi destilado em coluna de Vigreux obtendo-se 7,1 g (61%) de um líquido incolor de p.e. 95-120°C/1 Torr (lit.² 78,5/85°C/0,5 Torr), identificado como a mistura dos diastereoisômeros cis (15e) e trans (15a).

• cis(16e) e trans-4-t-Butil-2-iodocicloexanona(16a)⁴⁹

O procedimento utilizado aqui foi idêntico ao já descrito, na 2^a Tentativa, para obtenção da 2-Iodocicloexanona (5). Assim, partiu-se de 0,49 mL (3,5 mmol) de disopropilamina, 1,4 mL (3,5 mmol) de uma solução 2,5 M de n-butilílio em hexano, 15 mL de tetrahidrofurano, 0,5 g (3,2 mmol) de 4-t-butilcicloexanona (12) e 0,88 g (3,5 mmol) de iodo molecular, obtendo-se 0,53 g (58%) de produto bruto identificado como uma mistura dos diastereoisômeros cis (16e) e trans (16a), que foi utilizada sem qualquer purificação.

• Iodosobenzeno (39)⁹²

Em um bêcker de 125 mL colocou-se 3,0 g (9,3 mmol) de iodosobenzeno diacetato finamente tritulado e adicionou-se, sob agitação vigorosa, 14 mL de uma solução de hidróxido de sódio 3 N. Terminada a adição, interrompeu-se a agitação e manteve-se a mistura em repouso por 1 h.

Decorrido este tempo, filtrou-se a mistura num funil de Buchner e lavou-se o precipitado com água. Novamente colocou-se o precipitado em um bêcker de 125 mL para então tritá-lo na presença de água (20 mL), em seguida repetiu-se a filtração e secou-se o produto sob vácuo (10 Torr, 30 min.). Depois de seco, mais uma vez colocou-se o sólido no bêcker com 20 mL de clorofórmio e agitou-se a mistura vigorosamente por 10 min., filtrou-se e secou-se o sólido sob vácuo (1 Torr, 30 min.). Obteve-se assim 1,6 g (78%) de um sólido amarelo claro com ponto de fusão entre 206-208°C (lit.⁹² p.f. 210°C - com explosão).

• 4-t-Butil-1-cicloexeniloxitrimetilsilício (33)⁵²

O procedimento é análogo ao utilizado na obtenção do 1-cicloexeniloxitrimetilsilício (28). Assim, partiu-se de 3,5 mL (25 mmol) de diisopropilamina seca, 100 mL de tetraidrofurano seco, 16,6 mL (25 mmol) de solução de 1,5 M de n-butil-lítio em hexano, 3,4 g (22 mmol) de 4-t-butilcicloexanona (12) e 3,2 mL (25 mmol) de cloreto de trimetilsilila.

Após devidamente isolado, o produto bruto foi destilado em coluna de Vigreux, obtendo-se 3,7 g (75%) de uma fração média de p.e. 98-100°C/5 Torr (lit.⁵⁵ 98°C/4,2 Torr).

R.M.N. (CCl₄): δ 4,7 (1 H, m); δ 2,0-1,0 (7 H, m), 80,9 (9 H, s); δ 0,2 (9 H, s).

I.V. (Filme): 1675 (C=C).

• cis(17e) e trans-4-t-Butil-2-metoxicicloexanona(17a)⁷⁶

1ª Tentativa:

Em um balão de 50 mL (previamente flambado) sob atmosfera de nitrogênio, equipado com agitador magnético e septo de borracha dissolveu-se 0,42 g (1,9 mmol) de iodosobenzeno (39) em 8,7 mL de metanol absoluto. Adicionou-se sobre esta mistura 0,46 mL (3,8 mmol) de trifluoreterato de boro. A mistura foi resfriada a -70°C e 0,38 g (1,7 mmol) do 4-t-butil-1-cicloexeniloxitrimetilsilício (33), previamente preparado (v. p.), foram adicionados, mantendo-se a agitação por mais 1 h. Decorrido este tempo, permitiu-se que a temperatura aumentasse lentamente (aproximadamente 2 h) até atingir a temperatura ambiente, mantendo-se a agitação nestas condições por mais 30 min.. Em seguida, evaprou-se o metanol sob vácuo, adicionou-se 10 mL de água e neutralizou-se a mistura com uma solução de bicarbonato de sódio a 5%.

137

Procedeu-se então à extração do produto com diclorometano (3×10 mL), secou-se a fase orgânica com sulfato de magnésio anidro e após filtragem da mistura, eliminou-se o solvente no evaporador rotatório. Análise de espectros de r.m.n. de ^1H do produto bruto não revelaram quantidades suficientes do produto para procedermos a purificação. Repetições desta reação foram realizadas sem contudo chegar a resultados satisfatórios.

• 4-t-Butil-1-pirrolidinocicloexeno (30)^{19, 20}

Em um balão de 125 mL, equipado com agitador magnético, colocou-se 4,0 g (26 mmol) de 4-t-butilcicloexanona (12), 75 mL de benzeno, 4,3 mL (52 mmol) de pirrolidina e quantidades catalíticas de ácido p-tolueno sulfônico. O balão, contendo a mistura reacional, foi acoplado a um separador de água contínuo (Dean-Stark) e este a um condensador de refluxo. Esta mistura foi mantida sob agitação e a uma temperatura em torno de 90°C (refluxo) por 20 h. Decorrido este tempo, evaporou-se o solvente no evaporador rotatório e destilou-se o resíduo em coluna de Vigreux, obtendo-se 4,80 g (89%) de um líquido incolor de p.e. 115-117°C / 1 Torr que foi imediatamente utilizado na reação seguinte.

RMN (CCl_4): δ 4,1 (1 H, t; -CH = CR₂).

• Brometo de cis e trans-2-bromo-4-t-butil-1-pirrolidinocicloexeno (31)^{19, 20}

Em um balão de 250 mL e três bocas, equipado com condensador de refluxo e funil de adição, colocou-se 4,80 g (23 mmol) de 4-t-butil-1-pirrolidinocicloexeno (30) e 100 mL de n-pentano. A solução foi resfriada em banho de gelo e, sob agitação, adicionou-se lentamente, utilizando-se o funil de adição, 1,2 mL (23

mmol) de bromo. Terminada a adição, manteve-se a agitação por mais 4 horas. Em seguida, evaporou-se o solvente no evaporador rotatório, obtendo-se 7,7 g (91%) de um sal amarelo que imediatamente sofreu o tratamento descrito a seguir.

- Brometo de cis e trans-4-t-butil-2-metóxi-1-pirrolidinocicloexeno (32)^{19, 20}

Em um balão de 250 mL e três bocas, equipado com funil de adição, condensador de refluxo e agitador magnético, colocou-se 1,9 g (35 mmol) de metóxido de sódio e 100 mL de metanol. Em seguida, utilizando-se o funil de adição e sob agitação foram adicionados 7,7 g (21 mmol) do Brometo de cis e trans-2-bromo-4-t-butil-1-pirrolidinocicloexeno (31) dissolvido em 40 mL de metanol. Terminada a adição, a mistura reacional foi deixada sob refluxo por 4 horas. Decorrido este tempo, evaporou-se parte do solvente, obtendo-se um líquido avermelhado que foi imediatamente hidrolisado, conforme descrito a seguir.

- cis (17e) e trans-4-t-Butil-2-metoxicicloexanona (17a)^{19, 20}

2ª Tentativa:

Em um balão de 250 mL e uma boca equipado com condensador de refluxo e agitador magnético, contendo o Brometo de cis e trans-4-t-butil-2-metóxi-1-pirrolidinocicloexeno (32) em metanol, obtido na reação anterior, adicionou-se 100 mL de ácido clorídrico a 10%. A mistura foi colocada sob refluxo por 3 horas. Decorrido este tempo, esperou-se a mistura esfriar, extraiu-se o produto com éter etílico (3 x 50 mL) e secou-se a fase etérea com sulfato de magnésio anidro. Após filtragem, evaporou-se o solvente no evaporador rotatório restando um resíduo marrom que foi

destilado em coluna de Vigreux, donde recolheu-se 2,5 g (65%) de um líquido incolor de p.e. 78-84°C/1,5 Torr, que ainda apresentava impurezas.

A purificação e separação dos diastereoisômeros cis (17e) e trans (17a) só foi possível por eluição em coluna de sílica, utilizando como eluente hexano:éter (8:2). Foram recolhidos no total 1,5 g de produto (cis + trans), que corresponde a um rendimento global de 31%.

• cis (18e) e trans-4-t-Butil-2-metiltiocicloexanona (18a)⁹⁶

Procedeu-se de maneira análoga a da preparação da 2-metiltiocicloexanona (7). Assim, partiu-se de 3,8 mL (27 mmol) de diisopropilamina seca, 80 mL de tetraidrofuran, 18 mL (27 mmol) de uma solução 1,5 M de n-butil-lítio em hexano, 3,9 g (25 mmol) de 4-t-butilcicloexanona (12) e 2,6 mL (25 mmol) de metanotiosulfonato de metila (38), preparado anteriormente (ver pag. 126). Após isolar o produto, o mesmo foi destilado em coluna de Vigreux, fornecendo 3,9 g (78%) de um líquido incolor de p.e. 123-130°C/0,5 Torr (lit.¹⁰⁵ 85-87°C/1 Torr).

• cis (19e) e trans-4-t-Butil-2-metilselenocicloexanona (19a)⁶⁸

Procedeu-se de maneira análoga a da preparação da 2-metilselenocicloexanona (8), assim partiu-se de 2,4 mL (17 mmol) de diisopropilamina seca, 80 mL de tetraidrofuran, 11,3 mL (17 mmol) de uma solução 1,5 M de n-butil-lítio em hexano, 2,4 g (15,5 mmol) de 4-t-butilcicloexanona (12), 8,0 mL (46 mmol) de hexametilfosforamida (HMPA), 1,34 g (17 mmol) de selênio em pó e 1,9 mL (31 mmol) de iodeto de metila. Tentativa de destilação no Kugel-

rohr, ocasionou perda de material por decomposição. Purificação foi feita por eluição em coluna de sílica, utilizando como eluente hexano:éter (8:2), da qual obteve-se 1,6 g (42%) do isômero cis (19e) puro; o outro isômero, trans (19a), não foi identificado no produto de reação. Tentativa de epimerização ocasionou a decomposição do produto (ver item 3.5.1).

- cis (20e) e trans-4-t-butil-2-N,N-dimetilaminocicloexanona (20a)

Este composto estava disponível no laboratório, procedente de trabalhos anteriores¹². Ainda assim, fez-se necessário a sua purificação por cromatografia em coluna de sílica, eluída com hexano:éter (9:1).

- 4-t-Butil-N,N-dimetilhidrazona-cicloexanona (29)⁸⁰

Em um balão de 25 mL e duas bocas, equipado com agitador magnético e condensador de refluxo colocou-se, 6,78 g (44 mmol) de 4-t-butilcicloexanona (12), 8,4 mL de etanol absoluto e 10 mL (132 mmol) de 1,1-dimetilhidrazina anidra. A mistura reacional foi deixada em refluxo (~80°C) e agitação por 24 h. Decorrido este tempo, evaporou-se o excesso de 1,1-dimetilhidrazina e o solvente no evaporador rotatório e então, destilou-se o produto bruto numa coluna de Vigreux, obtendo-se 6,7 g (78%) de uma fração média de p.e. 97-98°C/3 Torr.

R.M.N. de ¹H (CCl₄): δ 2,3 (6 H, s); δ 2,2-1,0 (9 H, m); δ 0,9 (9 H, s).

I.V. (Filme): 1635 (C = N).

• cis (21e) e trans-4-t-Butil-2-metilcicloexanona (21a)^{28,43}

Em um balão de 250 mL (previamente flambado) sob atmosfera de nitrogênio, equipado com agitador magnético e septo de borracha, dissolveu-se 2,4 mL (17 mmol) de diisopropilamina seca em 80 mL de tetraidrofuranô seco. Abaixou-se a temperatura para 0°C e então adicionou-se 17 mL (17 mmol) de uma solução 1 M de n-butil-lítio em hexano. Após 15 min., adicionou-se 3,1 g (15,6 mmol) de 4-t-butil-1,1-dimetilhidrazona-cicloexanona (29), manteve-se a temperatura de 0°C e agitação por 2 h. Decorrido este tempo, abaixou-se a temperatura para -78°C (gelo seco/acetona) e adicionou-se 4,2 mL (68 mmol) de iodeto de metila, permitiu-se que a temperatura atingisse 0°C e manteve-se a agitação por mais 4 h. Terminado o tempo de reação, acrescentou-se 100 mL de éter à mistura reacional e lavou-se esta (3 x 30 mL) com uma solução de bicarbonato de sódio a 3%. Secou-se a fase etéria com sulfato de sódio anidro, e após filtragem, evaporou-se o solvente no evaporador rotatório. O produto obtido foi colocado sob vácuo (1 Torr) por 1 h. Passado este tempo, obteve-se 2,89 g (13,7 mmol) do produto que foi dissolvido em 20 mL de éter e colocado sob agitação a 0°C, adicionou-se então 2,0 mL (16 mmol) de trifluoreterato de boro (recentemente destilado), manteve-se agitação por 15 min., adicionou-se 10 mL de água gelada, agitação por mais 30 min. e, então, extraiu-se o produto com éter (3 x 30 mL). Secou-se o produto com sulfato de sódio anidro, filtrou-se e retirou-se o solvente no evaporador rotatório. O produto bruto foi purificado por eluição em coluna de silíca, usando como eluente hexano:éter (95:5), a qual forneceu 1,53 g (58%) de produto puro, identificado como uma mistura dos diasteroisômeros cis (21e) e trans (21a).

• cis (22e) e trans-2,4-di-t-Butilcicloexanona (22a)^{87, 88}

O procedimento para obtenção deste composto é análogo ao utilizado na obtenção da 2-t-butilcicloexanona (11), assim, partiu-se de 3,1 g (13,7 mmol) do 4-t-butil-1-cicloexeniloxitri-metilsilício (33) previamente preparado (v. pag. 136), 1,5 mL (13,7 mmol) de cloreto de t-butila, 1,5 mL (13,7 mmol) de tetracloreto de titânio e 20 mL de diclorometano. O produto bruto obtido após extração foi purificado por eluição em coluna de sílica, usando como eluente hexano:éter (95:5). Obteve-se, assim, 0,47 g do isômero cis (22e) puro e 0,72 g de uma mistura dos isômeros cis (22e) e trans (22a), rendendo um total de 1,19 g (73%).

• trans-4-t-Butil-1,1-dimetilhidrazona-2-trimetilsililcicloexanona (36)³⁹

Em um balão de 25 mL (previamente flambado), sob atmosfera de nitrogênio, equipado com agitador magnético e septo de borracha, colocou-se 0,46 mL (3,3 mmol) de diisopropilamina seca e 10 mL de éter etílico seco. Abaixou-se a temperatura para 0°C e então adicionou-se 2,2 mL (3,3 mmol) de uma solução 1,5 M de n-butil-lítio em hexano. Após 15 min., adicionou-se 0,59 g (3 mmol) de 4-t-butil-1,1-dimetilhidrazona-cicloexanona (29), previamente preparada (ver pag. 140), mantendo-se a temperatura de 0°C e agitação por mais 2 horas.

Decorrido este tempo, abaixou-se a temperatura para -78°C (gelo seco/acetona) e adicionou-se 0,58 mL (3 mmol) de trimetilsil-trifluormetanosulfonato. A mistura foi mantida a -78°C e agitação por mais 2 h. Em seguida, permitiu-se que a temperatura aumentasse lentamente (10 h) até atingir a temperatura ambiente.

Terminado o tempo de reação, o produto foi extraído com éter etílico, seco com sulfato de magnésio anidro e, após filtragem, o solvente foi removido no evaporador rotatório. O resíduo obtido foi seco sob vácuo (5 Torr/30 min.), obtendo-se 0,65 g (86%) de produto bruto, identificado pelos sinais de R.M.N. de ^1H absorvendo em: $\delta = 2,2$ ($=\text{N}-\text{N}(\text{CH}_3)_2$); $\delta = 1,0$ ($-\text{C}(\text{CH}_3)_3$) e $\delta = 0,2$ ($-\text{Si}(\text{CH}_3)_3$).

• cis e trans-4-t-Butil-2-trimetilsililcicloexanona (37)^{39,43,29}

1ª Tentativa:³⁹

Em um balão de 25 mL, equipado com borbulhador de gases e acoplado a um gerador de ozônio, colocou-se 150 mg (0,6 mmol) de trans-4-t-butil-1,1-dimetilhidrazona-2-trimetilsililcicloexanona (36) dissolvido em 15 mL de n-pentano seco. A temperatura foi baixada para -78°C (gelo seco/acetona) e então, borbulhou-se o ozônio gerado, por 6 horas. Decorrido este tempo, permitiu-se que a temperatura atingisse a temperatura ambiente e evaporou-se o solvente sob fluxo de nitrogênio. Análise do resíduo por R.M.N. de ^1H revelou apenas a presença do produto de partida.

2ª Tentativa:⁴³

Em um balão de 25 mL, equipado com agitador magnético e septo de borracha, colocou-se 254 mg (1 mmol) de trans-4-t-butil-1,1-dimetilhidrazona-2-trimetilsililcicloexanona (36) dissolvido em 10 mL de éter etílico seco. A temperatura foi abaixada para 0°C e então, adicionou-se 0,15 mL (1,2 mmol) de trifluoreteto de boro. Após 15 min., adicionou-se 10 mL de água e então, extraiu-se o produto com éter etílico, secou-se a fase etérea com sulfato de magnésio anidro e, após filtragem, removeu-se o sol-

vente no evaporador rotatório. Análise do produto obtido, por R.M.N. de ^1H revelou apenas a presença da 4-t-butilcicloexanona (12), indicando a clivagem não só da hidrazona como também da ligação C-Si.

3ª Tentativa:²⁹

Em um balão de 50 mL, colocou-se 250 mg (1,0 mmol), 15 mL de tetraidrofuran, 5,0 mL de água destilada, 3,0 mL de um tampão fosfato 0,05 N (pH = 7,0) e 0,15 g de cloreto de cobre (II). A mistura reacional foi mantida sob agitação à temperatura ambiente por 1 hora. Decorrido este tempo, evaporou-se o tetraidrofuran no evaporador rotatório e extraiu-se o produto com diclorometano. Após secagem da fase orgânica com sulfato de magnésio anidro, evaporou-se o solvente no evaporador rotatório e o resíduo foi analisado por R.M.N. de ^1H e identificado como sendo basicamente a 4-t-butilcicloexanona (12), indicando a decomposição do produto desejado.

3.5.1. Reações de Epimerização

• cis-4-t-Butil-2-fluorcicloexanona (13e)⁷⁵

Secou-se 200 mg (1,2 mmol) do compoto 13e sob vácuo e então, adicionou-se 2 mL de uma solução 1 M de ácido clorídrico em éter. Acompanhou-se o desenvolvimento da reação por Cromatografia Gasosa (coluna capilar), atingindo-se após 2,0 h de reação a razão de 80/20 (cis/trans) que não se alterou mais. Filtrou-se o produto em coluna de sílica (ativada em estufa), evaporou-se o solvente sob vácuo e procedeu-se a aquisição dos espectros onde confirmou-se a mistura dos diastereoisômeros cis (13e) e

trans (13a) nas proporções acima citadas.

• cis-4-t-Butil-2-clorocicloexanona (14e)

Procedeu-se de maneira análoga ao caso anterior (composto 13e). Assim, partiu-se 220 mg (1,2 mmol) da cis-4-t-butil-2-clorocicloexanona e 2 mL de uma solução 1 M de ácido clorídrico em éter seco. Após 1,5 h de reação, filtrou-se a solução em sílica e evaporou-se o solvente sob vácuo, obtendo-se uma mistura com uma razão de 80/20 entre os diastereoisômeros cis / trans da 4-t-butil-2-clorocicloexanona (14), determinado por cromatografia gasosa e confirmado nos espectros de r.m.n. de ^1H e de ^{13}C .

• cis-4-t-Butil-2-metilselenocicloexanona (19e)

O procedimento foi análogo ao utilizado para os compostos 13e e 14e. Partiu-se de 300 mg (1,2 mmol) de cis-4-t-Butil-2-metilselenocicloexanona (19e) e 2 mL de uma solução 1 M de ácido clorídrico em éter anidro. Após 30 min. de reação, filtrou-se a solução em sílica e evaporou-se o solvente sob vácuo. Os espectros de r.m.n. de ^1H e de ^{13}C demonstraram ter havido forte decomposição do produto, que originou a cetona de partida.

REFERENCIAS BIBLIOGRÁFICAS

REFERÉNCIAS BIBLIOGRÁFICAS

- 1 - ABRAHAM, R.J.; CHADWICK, D.J.; GRIFFITHS, L.; SANCASSAN, F.. J.Am.Chem.Soc., 102, 5128 (1980).
- 2 - ABRAHAM, R.J.; GRIFFITHS, L.. Tetrahedron, 37, 575 (1981).
- 3 - ALLINGER, J.; ALLINGER, N.L.. Tetrahedron, 2, 64 (1958).
- 4 - ALLINGER, N.L.; ALLINGER, J.. J.Am.Chem.Soc., 80, 5476 (1958).
- 5 - ALLINGER, N.L.; ALLINGER, J.; FREIBERG, L.A.; CZAJA, R.F.; LEBEL, N.A.. J.Am.Chem.Soc., 82, 5876 (1960).
- 6 - ALLINGER, N.L.; ALLINGER, J.; LEBEL, N.A.. J.Am.Chem. Soc., 82, 2926 (1960).
- 7 - ALLINGER, N.L.; BLATTER, H.M.. J.Org.Chem., 27, 1523 (1962).
- 8 - ALLINGER, N.L.; CHOW-TAI, J.; MILLER, M.A.. J.Am.Chem.Soc., 88, 4495 (1966).
- 9 - BAEYER, A.. Justus Liebigs Ann. Chem., 278, 88 (1894).
- 10 - BARTON, D.H.R.. Experientia, 6, 316 (1950).
- 11 - BARTON, D.H.R.. J.Chem.Soc., 1027 (1953).
- 12 - BASSO, E.A.. "Dissertação de Mestrado", UNICAMP, 1987.
- 13 - BOOTH, H.. Prog. Nucl. Mag. Res. Spectrosc., 5, 149 (1969).
- 14 - BOOTH, H.; JOZEFOWICZ, M.L.. J.Chem.Soc.Perkin Trans - II, 895 (1976).

- 15 - BREITMAIER, E.; VOELTER, W.. " ^{13}C NMR spectroscopy" Verlag-Chemie, Weinheim, 1987, 3^a ed..
- 16 - BRUNEL, L.. Ann.Chem., 6, 221 (1905).
- 17 - BUCOURT, R.. Topics in stereochem., 8, 159 (1973).
- 18 - CANTACUZENE, D.; ATLANI, M.. Tetrahedron, 26, 2447 (1990)..
- 19 - CANTACUZENE, D.; TORDEUX, M.. Tetrahedron Lett., 50, 4807 (1971).
- 20 - CANTACUZENE, D.; TORDEUX, M.. Can.J.Chem., 54, 2759 (1976).
- 21 - CANTACUZENE, J.; JANTZEN, R.. Tetrahedron, 26, 2429 (1970).
- 22 - CANTACUZENE, J.; JANTZEN, R.; RICHARD, D.. Tetrahedron, 28, 717 (1972).
- 23 - CARNEIRO, P.I.B.. "Tese de Doutorado", UNICAMP, 1991.
- 24 - CHEN, C.Y.; LE FÈVRE, R.J.. J.Chem.Soc., 3700 (1965).
- 25 - COLEMAN, G.H.; JOHNSTONE, H.F.. Org.Synth., Coll. Vol.III p.183.
- 26 - COREY, E.J.. J.Am.Chem.Soc., 75, 2301 (1953).
- 27 - COREY, E.J.; BURKE, H.J.. J.Am.Chem.Soc., 77, 5418 (1955).
- 28 - COREY, E.J.; ENDERS, D.. Tetrahedron Lett., 1, 3 (1976).
- 29 - COREY, E.J.; KNAPP, S.. Tetrahedron Lett., 41, 3667 (1976).
- 30 - CRANDALL, J.K.; CENTENO, M.A.; BORRESEN, S.. J.Org.Chem., 59, 466 (1976).

31 - DELSETH, C.; KINTZINGER, J.P.. Helv.Chem.Acta, 59, 466

(1976).

32 - DODRELL, D.M.; PEGG, D.T.; BENDALL, M.R.. J.Magn.Reson.,

48, 323 (1982).

33 - EISENSTEIN, O.; ANH, N.T.; JEAN, Y.; DEVAGUET, A.; SALEM,

L.; CANTACUZENE, J.. Tetrahedron, 30, 1717 (1974).

34 - EGGERT, H.; DJERASSI, C.. J.Org.Chem., 38, 3788 (1973).

35 - ELIEL, E.L.. J.Chem.Educ., 52, 762 (1975).

36 - ELIEL, E.L.; ALLINGER, N.L.; ANGYAL, S.J.; MORRISON, G.A..

"Conformational Analysis", Interscience, London (1965).

37 - ELIEL, E.L.; BAILEY, W.F.; KOPP, L.D.; WILLER, R.L.;

D.M.; BERTRAND, R.; CHRISTENSEN, K.A.; DALLING, D. K.;

DUCK, M.W.; WENKERT, E.; SCHELL, F.M.; COCHRAN, D.W..

J.Am.Chem.Soc., 97, 322 (1975).

38 - ELIEL, E.L.. Chem.Ind., London, p.568 (1964).

39 - ENDERS, D.; LOHRAY, B.B.. Angew.Chem.Int.Ed. Engl., 26, 351

(1987).

40 - FORTEY, E.C.. J.Chem.Soc., 73, 941 (1898).

41 - FUCKS, B.; SCHLEIFER, L.; APED, P.; ABRAMSON, S.; SENDERO-

WITZ, H.. Tetrahedron Lett., 30, 6765 (1989).

42 - GARBISCH, W.. J.Am.Chem.Soc., 86, 1780 (1964).

43 - GAWLEY, R.E.; TERMINE, E.J.. Synthetic Comm., 12, 15 (1982).

- 44 - GIL, V.M.S.; GERALDES, C.F.G.C.. "Ressonância Magnética Nuclear", Fundação Calouste Gulbenkian, Lisboa, 1987.
- 45 - GRANT, D.M.; CHENEY, B.V.. J.Am.Chem.Soc., 89, 5315 (1967).
- 46 - GRENIER-LOUSTALOT, M.F.; IRATÇABAL, P.; FORCHIONIC, A.; METRAS, F.. Org.Magn.Reson., 8, 544 (1976).
- 47 - GRENIER-LOUSTALOT, M.F.; IRATÇABAL, P.; LICHANOT, A.; METRAS, F.. Org.Magn.Reson., 12, 146 (1976).
- 48 - GRENIER-LOUSTALOT, M.F.; LECTARD, A.; LICHANOT, A.; METRAS, F.. Org.Magn.Reson., 10, 86 (1977).
- 49 - GROENEWEGEN, P.; KALLENBERG, H.; VAN DER GEN, A.. Tetrahedron Lett., 30, 2817 (1979).
- 50 - GRUTZNER, J.B.; JAUTELAT, M.; DENCE, J.B.; SMITH, R. A.; ROBERTS, J.D.. J.Am.Chem.Soc., 92, 7107 (1970).
- 51 - HANACK, M.. "Conformational Theory", Academic Press, London, 1965.
- 52 - HEATHCOCK, C.H.; BUSE, C.T.; KLESCHICK, W.A.; PIRRUNG, M. C.; SOHN, J.E.; LAMPE, J.. J.Org.Chem., 45, 1066 (1980).
- 53 - HIRST, J.A.. Top.stereochem., 1, 199 (1967).
- 54 - HOLLAND, M.A.G.L.. "Dissertação de Mestrado", USP, 1984.
- 55 - HOUSE, H.O.; CZUBA, L.J.; GALL, M.; OLMSTEAD, H.D.. J.Org.Chem., 34, 2324 (1969).
- 56 - JAMESON, C.J.. Bull.Magn.Res., 3, 3 (1980).

- 57 - JANTZEN, R.; TORDEUX, M.; DE VILLARDI, G.; CHACHATY, C..
Org.Magn.Reson., 8, 183 (1976).
- 58 - JORDAN, E.A.; THORNE, M.P.. Tetrahedron, 42, 93 (1986).
- 59 - KALINOWSKI, H.; BERGER, S.; BRAUN, S.. "13C-NMR-spektroskopie", Georg Thieme Verlag, Stuttgart, New York, 1984.
- 60 - KITCHING, W.; DREW, G.M.. J.Org.Chem., 46, 2695 (1981).
- 61 - KLOCHKOV, V.V.; CHERNOV, P.P.; POLOZOV, A.M.; ANTONOVSKII, V.L.; AGANOV, A.V.. J.Org.Chem., 24, 2056 (1988).
- 62 - KUMLER, W.D.; HUITRIC, A.C.. J.Am.Chem.Soc., 78, 3369 (1956).
- 63 - LAMBERT, J.B.; TEVRUCHT, M.L.E.. Org.Magn.Reson., 22, 613 (1984).
- 64 - LAMBERT, J.B.; VAGENAS, A.R.; SOMANI, S.. J.Am.Chem.Soc., 103, 6398 (1981).
- 65 - LECTARD, A.; LICHANOT, A.; METRAS, F.; GAULTIER, J.; HAUW, C.. J.Mol.Struct., 35, 113 (1976).
- 66 - LEVIN, C.C.; HOFFMANN, R.; HEHRE, W.J.; HUDEC, J.. J.Chem.Soc.Perkin Trans-II, 210 (1972).
- 67 - LEVY, G.C.; NELSON, G.L.. "13C Nuclear Magnetic Resonance for Organic Chemists", Wiley, New York, 1972.
- 68 - LIOTTA, D.; ZIMA, G.; BARNUM, C.; SAINDANE, M.. Tetrahedron Lett., 21, 3643 (1980).
- 69 - MANN, B.E.. "Progress in NMR Spectroscopy", 11, 95 (1977).

70 - MARTIN, G.J.; MARTIN, M.L.. Org.Magn.Reson., 7, 2 (1975).

71 - MARTIN, M.L.; MARTIN, G.J.; DELPUECH, J.J.. "Practical
N.M.R. Spectroscopy", Heyden & Son Ltd., London, 1980.

72 - MASON, J.. J.Chem.Soc., A1, 1038 (1971).

73 - METRAS, F.; LOUDET, M.; PETRISSANS, J.; PFISTER-GUILLOUZO,
F.. J.Mol.Struct., 29, 263 (1975).

74 - METZGER, P.; CASADEVALL, E.; CASADEVALL, A.; POUET, M.J..
Can.J.Chem., 58, 1503 (1980).

75 - MOREAU, P.; CASADEVALL, A.; CASADEVALL, E.. Bull.Soc.
Chim.Fr., 6, 2013 (1969).

76 - MORIARTY, R.M.; PRAKASH, O.; DUNCAM, M.P.; VAID, R.K.; MU-
SALLAM, H.A.. J.Org.Chem., 52, 150 (1987).

77 - MOUSSERON, M.; JULLIEN, J.; JOLCHINE, Y.. Bull. Soc. Chim.
Fr., 19, 757 (1952).

78 - NELSON, G.L.; LEVY, G.C.; CARGIOLI, J.D.. J.Am.Chem.Soc.,
94, 3089 (1972).

79 - NEWKOME, G.R.; FISHEL, D.L.. J.Org.Chem., 31, 677 (1966).

80 - NEWMANN, M.S.; FARBMAN, M.D.; HIPPSHER, H.. Org.Synth.,
Coll. Vol. III. p. 188.

81 - NOE, E.A.; MARK, H.; BAKER, T.. J.Am.Chem.Soc., 111, 6551
(1989).

82 - PAN, Y-H; STOTHERS, J.B.. Can.J.Chem., 45, 2943 (1967).

- 83 - PATT, S.L.; SHOOLERY, J.N.. J.Magn.Reson., 46, 353 (1982).
- 84 - PEHK, T.; LIPPMAA, E.. Org.Magn.Reson., 3, 679 (1971).
- 85 - PERRIN, D.D.; ARMAREGO, W.L.F.; PERRIN, D.R.. "Purification of Laboratory Chemicals", Pergamon Press, Oxford, 1983.
- 86 - RABIDEAU, P.W.. Conformational Analysis of Cyclohexenes, Cyclohexadienes and Related Hydroaromatic Compounds, UCH Publishers, Inc., New York, NY, 1989.
- 87 - REETZ, M.T.; MAIER, W.F.. Angew.Chem.Int.Ed.Eng., 1, 17 (1978).
- 88 - REETZ, M.T.; MAIER, W.F.; HEIMBACH, H.. Chem.Ber., 113, 3734 (1980).
- 89 - REISSE, J.; CUVELIER, C.; OTTINGER, R.. Tetrahedron Lett., 4, 277 (1972).
- 90 - RITTNER, R.. Tese de Livre Docência, UNICAMP, 1983.
- 91 - RITTNER, R.; VANIN, J.A.; WLADISLAW, B.. Magn. Reson. Chem., 26, 51 (1988).
- 92 - SALTMAN, H.; SHAREFKIN, J.G.. Org.Synth., Coll. Vol. V, p. 658.
- 93 - SCHNEIDER, H.-J.; FREITAG, W.. J.Am.Chem.Soc., 98, 478 (1976).
- 94 - SCHNEIDER, H.-J.; FREITAG, W.; HOPPEN, V.. Org.Magn. Reson., 13, 266 (1980).
- 95 - SCHNEIDER, H.-J.; HOPPEN, V.. Tetrahedron Lett., 7, 579 (1974).

- 96 - SCHOLZ, D.. Synthesis, 944 (1983).
- 97 - SQUILLACOTE, M.E.; NETH, J.M.. Mag.Reson.Chem., 25, 53 (1987).
- 98 - STOTHERS, J.B. "¹³C N.M.R. Spectroscopy". Academic Press, New York, 1972.
- 99 - STOTHERS, J.B.; GROVER, S.H.; GUTHRIE, J.P.; TAN, C.T.. J.Magn.Reson., 10, 227 (1973).
- 100 - STOTHERS, J.B.; TAN, C.T.. Can.J.Chem., 52, 308 (1974).
- 101 - SUBOTTIN, O.A.; SERGEYEV, N.M.. J.Am.Chem.Soc., 97, 1080 (1975).
- 102 - SWAIN, C.G.; LUPTON, E.C.. J.Am.Chem.Soc., 90, 4328 (1968).
- 103 - TAFT, R.W.; TOMPSON, R.D.; CHARTON, M.. Prog.Phys.Org. Chem., 16, 1 (1987).
- 104 - THORNE, M.P.; JORDAN, E.A.. Tetrahedron, 42, 93 (1986).
- 105 - VIERTLER, H.H. "Tese de Livre Docência", USP, 1978.
- 106 - WEHRLI, F.W.; MARCHAND, A.P.; WEHRLI, S.. "Interpretation of ¹³C N.M.R. spectra", John Wiley & Sons, New York, 1988, 2^a ed..
- 107 - WELLMAN, K.M.; BORDWELL, F.G.. Tetrahedron Lett., 23, 1703 (1963).
- 108 - WILSON, N.K.; STOTHERS, J.B.. Top.stereochem., 8, 1 (1974).
- 109 - WITTIG, G.; MAYER, U.. Ber., 335 (1963).

- 110 - WLADISLAW, B.; VIERTLER, H.; OLIVATO, P.R.; CALEGÃO, I.C.
C.; PARDINI, V.L.; RITTNER, R.. J.Chem.Soc.Perkin Trans-
II, 453 (1980).
- 111 - WOLFE, S.; CAMPBELL, J.R.. J.Chem.Soc.Chem.Commun., 872
(1967).
- 112 - ZAHRA, J.P.; WAEGELL, B.; REISSE, J.; POUZARD, G.; FOURNIER,
J.. Bull.Soc.Chim.Fr., 1976, (1896).
- 113 - ZAJAC, W.W.; ÖZBAL, H.. J.Org.Chem., 45, 4154 (1980).
- 114 - ZAJAC, W.W.; ÖZBAL, H.. Tetrahedron Lett., 50, 4821 (1979).

A P E N D I C E S

APÊNDICE

ÍNDICE GERAL

	Página
Apêndice A	
• Espectros de R.M.N. de Hidrogênio-1.....	158
Apêndice B	
• Espectros de R.M.N. de Carbono-13.....	186
Apêndice C	
• Espectros de R.M.N. de Oxigênio-17.....	214

APÊNDICE A

Espectros de R.M.N. de Hidrogênio-1

Figura	Composto	Página
A-1	Cicloexanona.....	160
A-2	4- <u>t</u> -Butilcicloexanona.....	161
A-3	2-Fluorcicloexanona.....	162
A-4	<u>cis</u> -4- <u>t</u> -Butil-2-fluorcicloexanona.....	163
A-5	<u>cis</u> e <u>trans</u> -4- <u>t</u> -Butil-2-fluorcicloexanona.....	164
A-6	2-Clorocicloexanona.....	165
A-7	<u>cis</u> e <u>trans</u> -4- <u>t</u> -Butil-2-clorocicloexanona.....	166
A-8	2-Bromocicloexanona.....	167
A-9	<u>cis</u> -2-Bromo-4- <u>t</u> -butilcicloexanona.....	168
A-10	<u>cis</u> e <u>trans</u> -2-Bromo-4- <u>t</u> -butilcicloexanona.....	169
A-11	2-Iodocicloexanona.....	170
A-12	<u>cis</u> e <u>trans</u> -4- <u>t</u> -Butil-2-iodocicloexanona.....	171
A-13	2-Metoxicicloexanona.....	172
A-14	<u>cis</u> -4- <u>t</u> -Butil-2-metoxicicloexanona.....	173
A-15	<u>trans</u> -4- <u>t</u> -Butil-2-metoxicicloexanona.....	174

Figura	Composto	Página
A-16	2-Metiltiocicloexanona.....	175
A-17	<u>cis</u> e <u>trans</u> -4- <u>t</u> -Butil-2-metiltiocicloexanona....	176
A-18	2-Metilselenocicloexanona.....	177
A-19	<u>trans</u> -4- <u>t</u> -Butil-2-metilselenocicloexanona.....	178
A-20	2- <u>N,N</u> -Dimetilaminocicloexanona.....	179
A-21	<u>cis</u> e <u>trans</u> -4- <u>t</u> -Butil-2- <u>N,N</u> -dimetilaminocicloexa nona.....	180
A-22	2-Metilcicloexanona.....	181
A-23	<u>cis</u> e <u>trans</u> -4- <u>t</u> -Butil-2-metilcicloexanona.....	182
A-24	2- <u>t</u> -Butilcicloexanona.....	183
A-25	<u>cis</u> -2,4-di- <u>t</u> -Butilcicloexanona.....	184
A-26	<u>cis</u> e <u>trans</u> -2,4-di- <u>t</u> -Butilcicloexanona.....	185

NU ANALYTICAL SERVICES
NMR LABORATORY

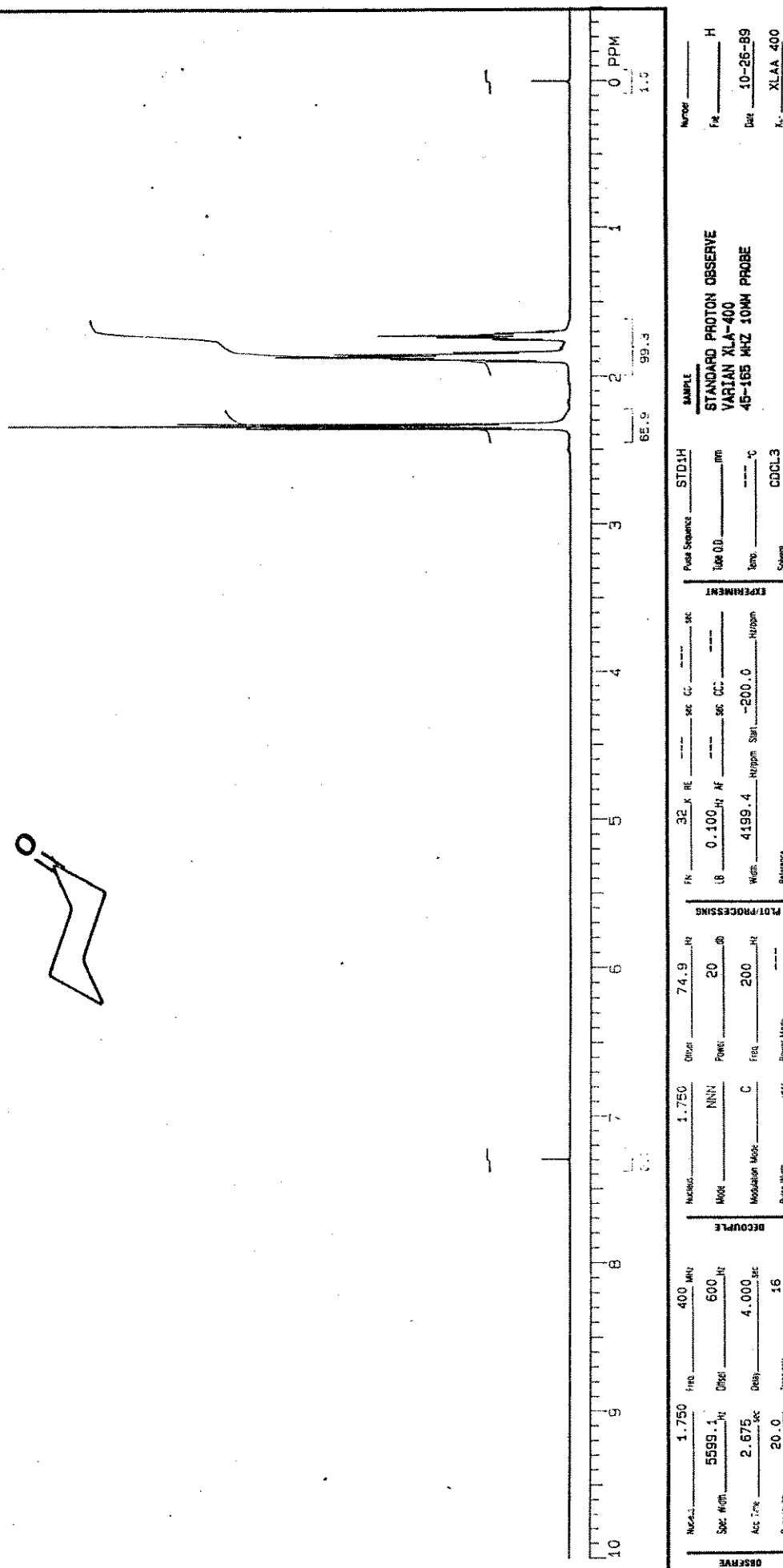


Figura A-1. Espectro de R.M.N. de ^1H da Cicloexanona.

NU ANALYTICAL SERVICES
NMR LABORATORY

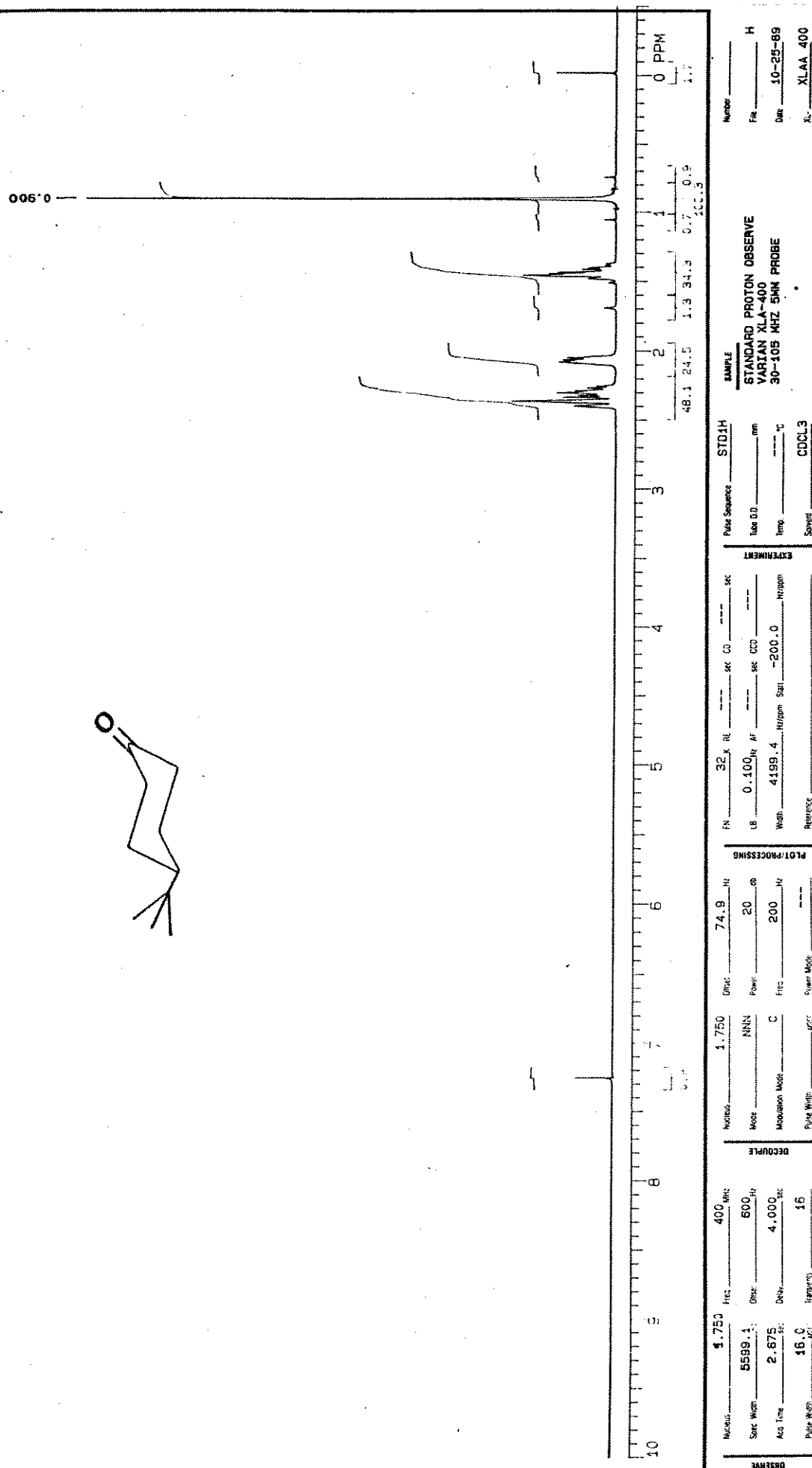


Figura A-2. Espectro de R.M.N. de ^1H da 4-t-Butilcicloexanona.

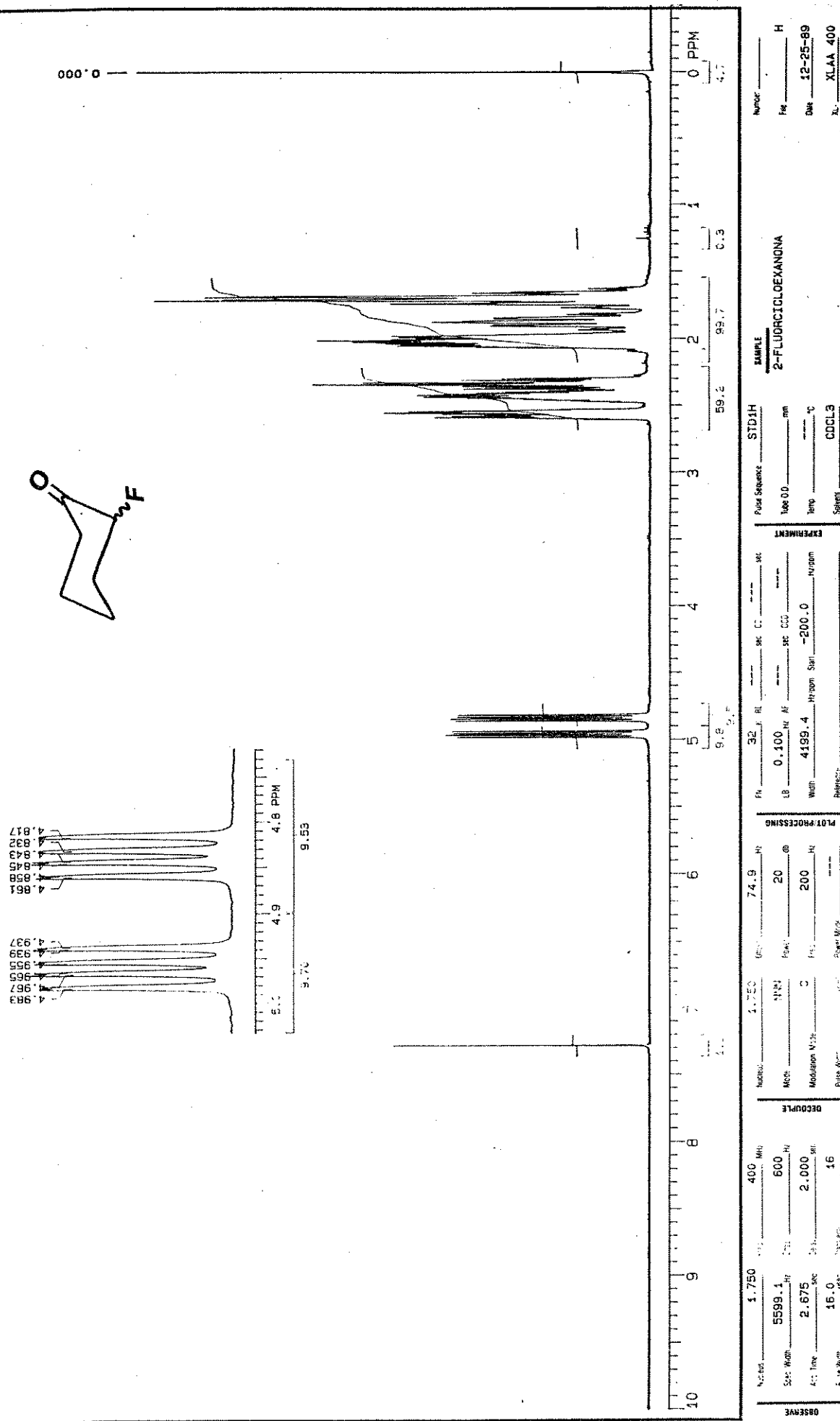


Figura A-3. Espectro de R.M.N. de ¹H da 2-Fluorocicloexanona.

NU ANALYTICAL SERVICES
NMR LABORATORY

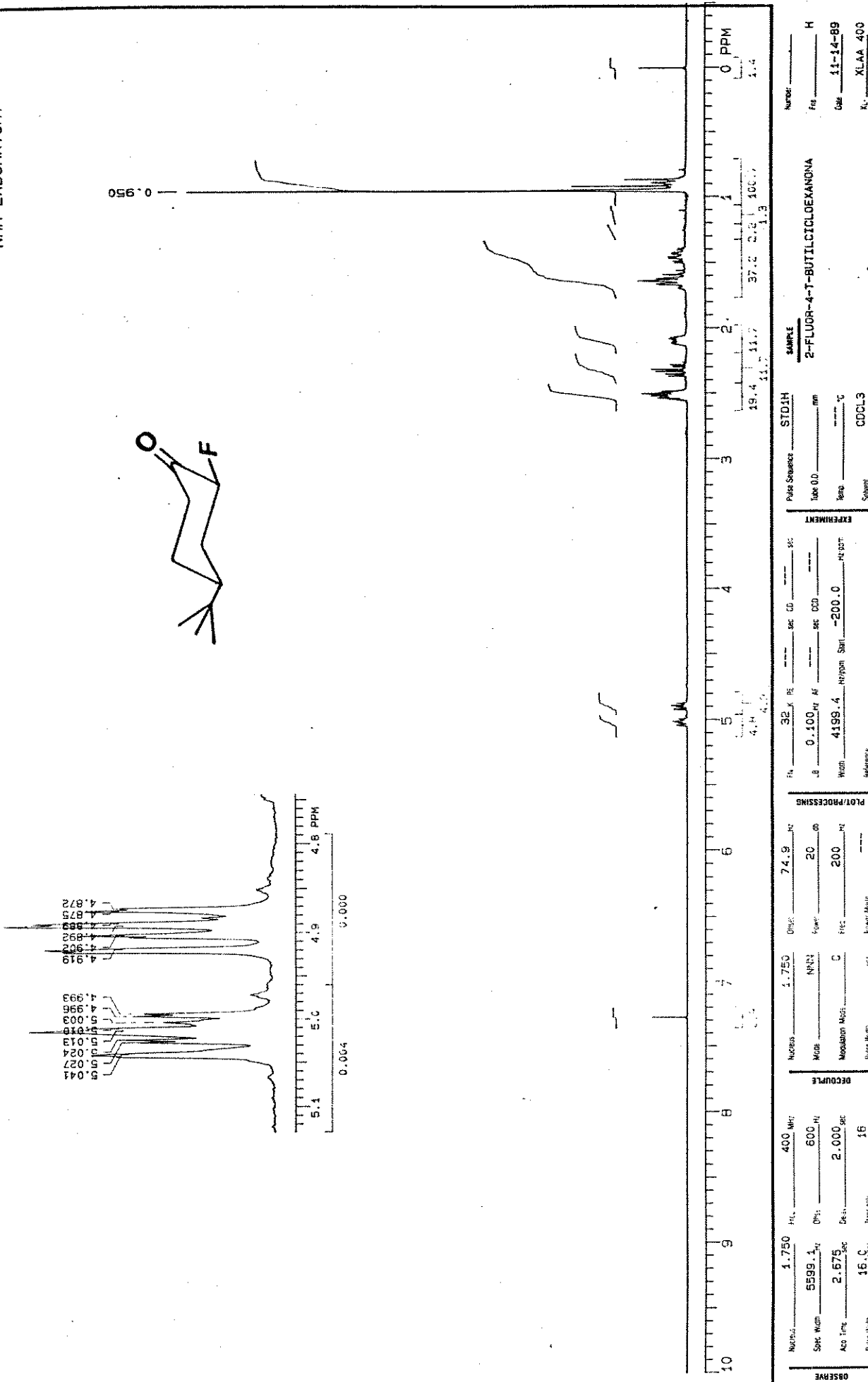
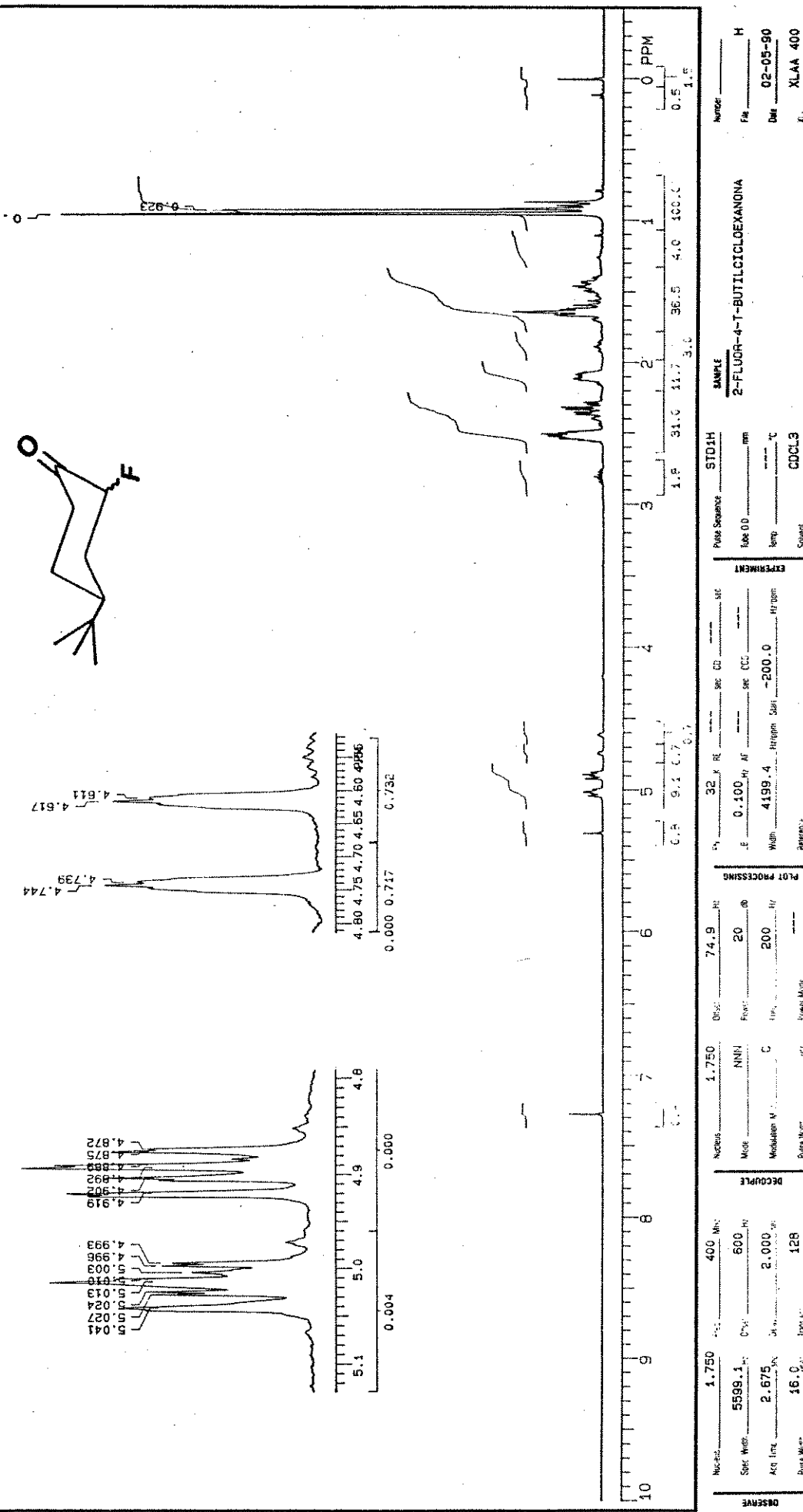


Figura A-4. Espectro de R.M.N. de ^1H da cis-4-t-Butil-2-Fluorcicloexanona.

NU ANALYTICAL SERVICES
NMR LABORATORY



NU ANALYTICAL SERVICES
NMR LABORATORY

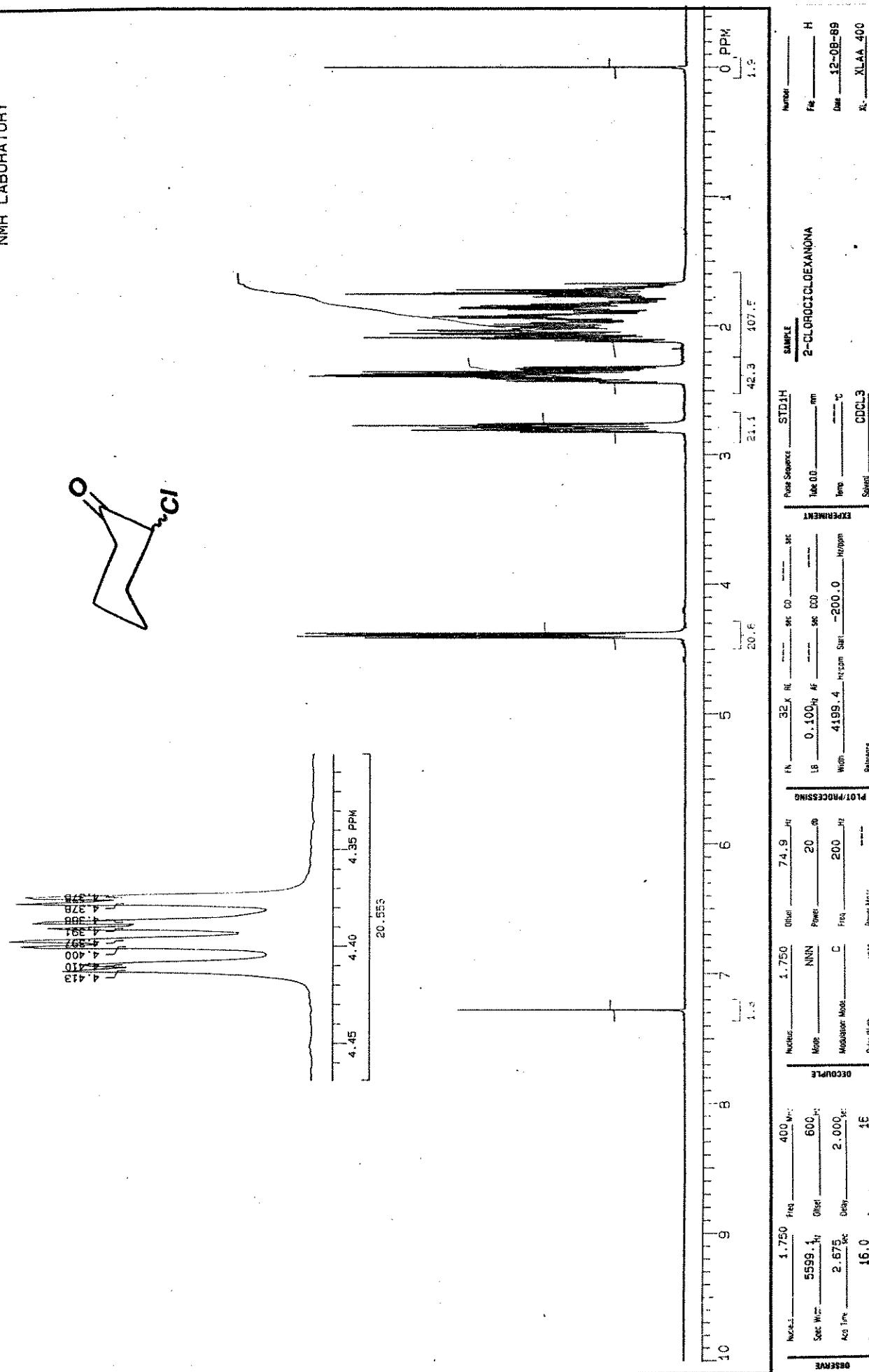


Figura A-6. Espectro de R.M.N. de ¹H da 2-Chlorocyclohexanona.

NU ANALYTICAL SERVICES
NMB LABORATORY

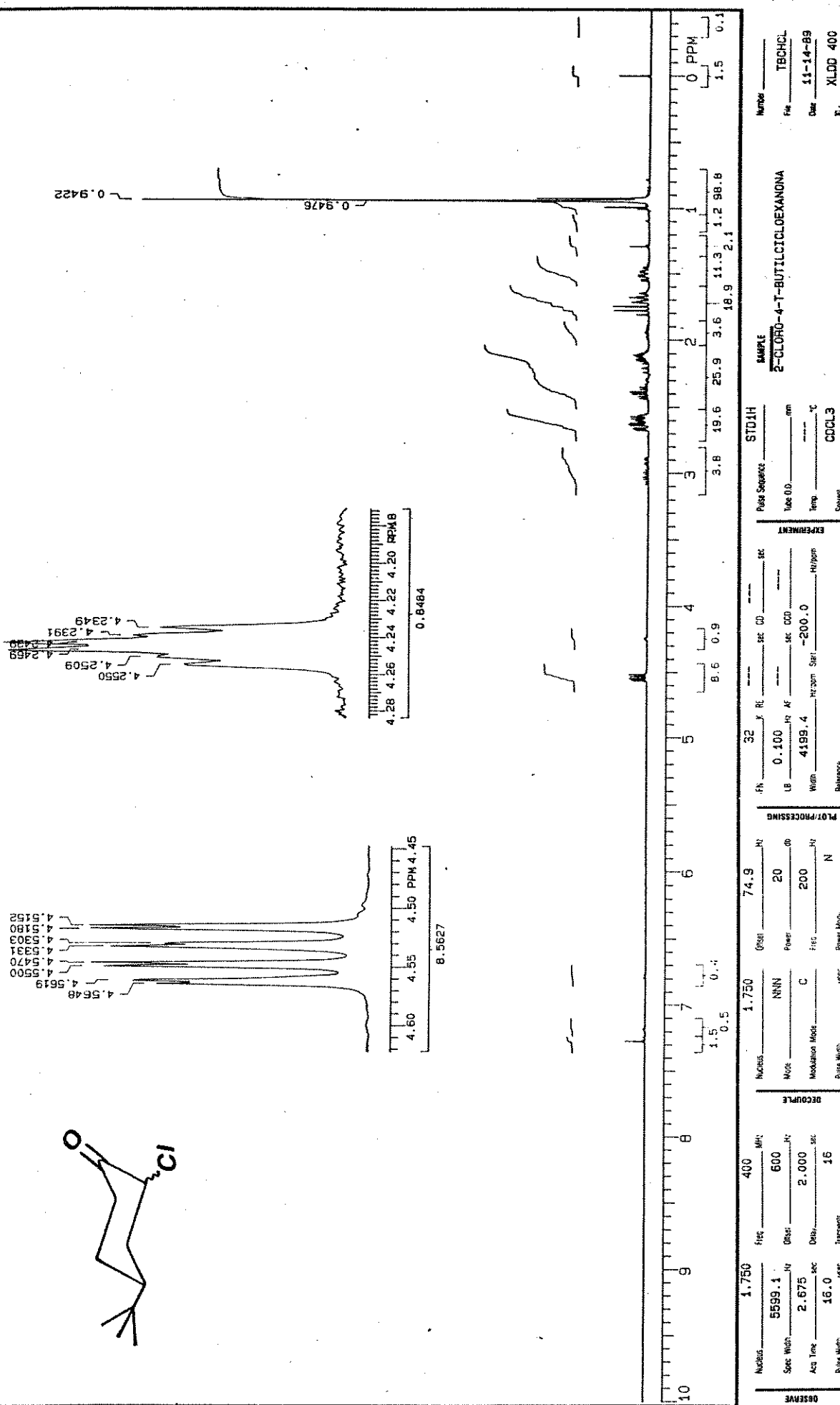


Figura A-7. Espectro de R.M.N. de ^1H da cis e trans-4-t-Butil-2-clorocloexanona.

NU ANALYTICAL SERVICES
NMR LABORATORY

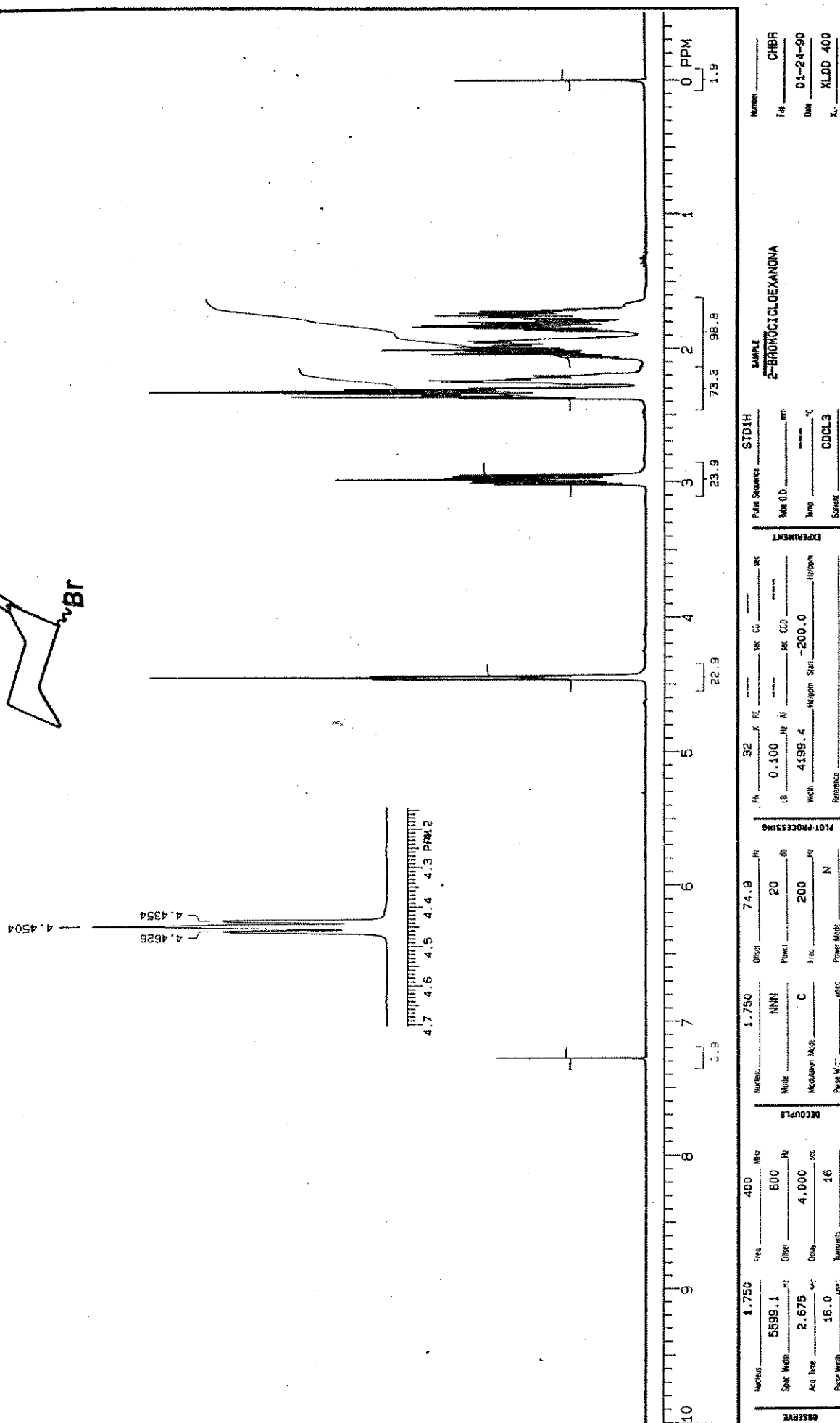
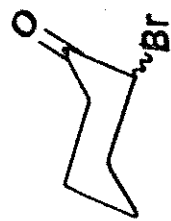


Figura A-8. Espectro de R.M.N. de ¹H da 2-Bromocicloexanona.

NU ANALYTICAL SERVICES
NMR LABORATORY

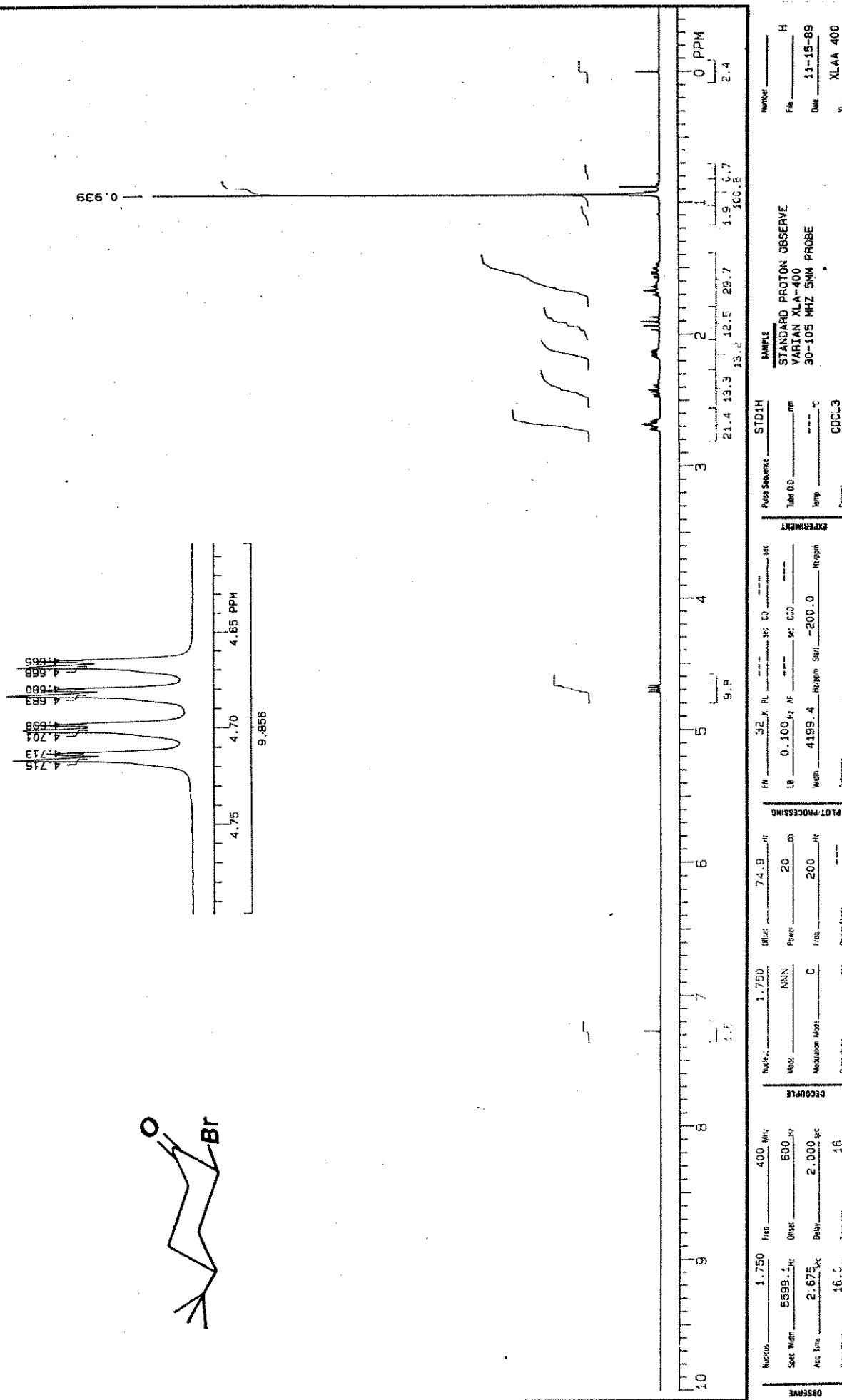


Figura A-9. Espectro de R.M.N. de ¹H da cis-2-Bromo-4-t-butylcycloexanona.

NU ANALYTICAL SERVICES
NMR LABORATORY

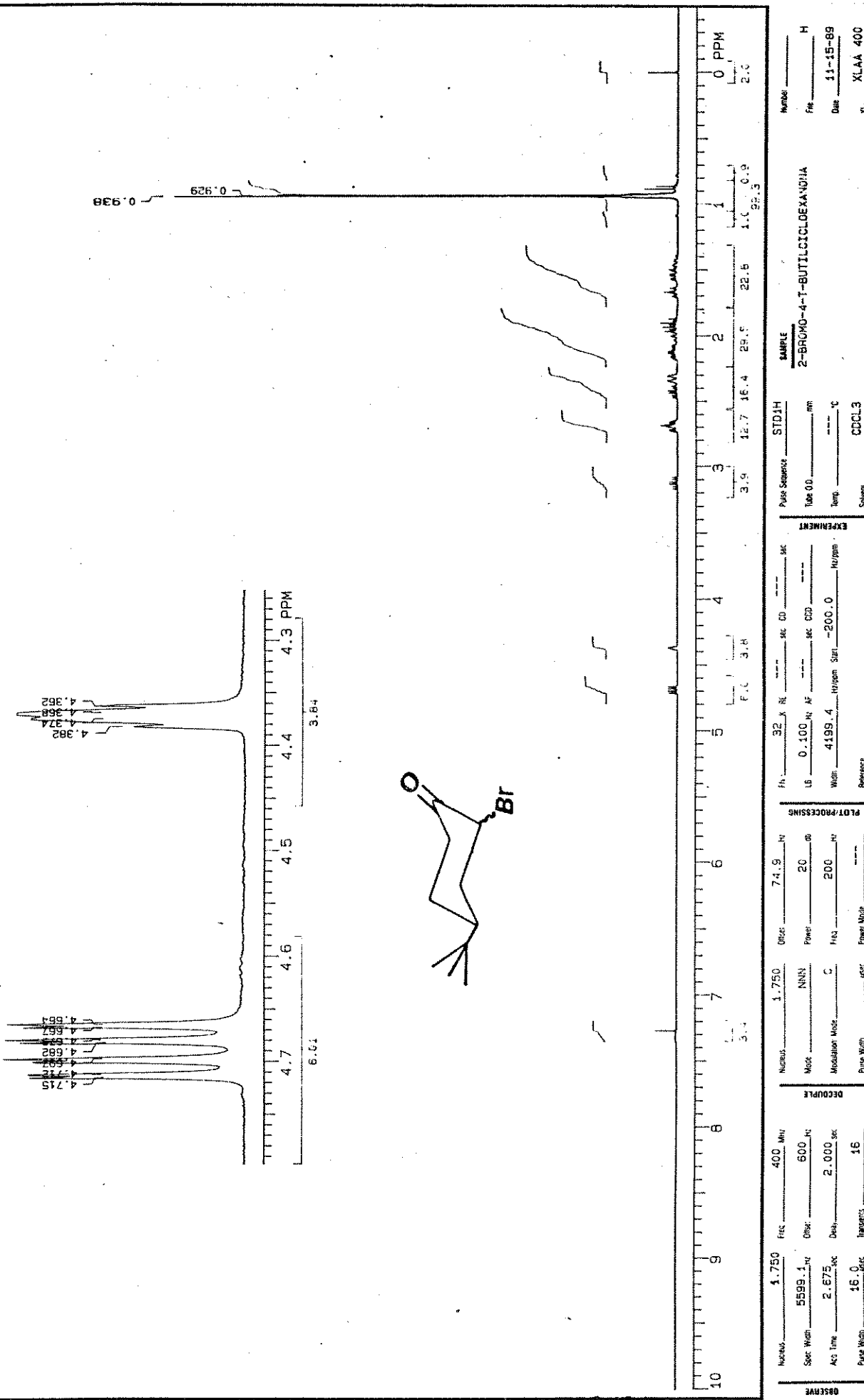


Figura A-10. Espectro de R.M.N. de ¹H da císe trans-2-Bromo-4-t-butylciclohexanona.

NU ANALYTICAL SERVICES
NMB LABORATORY

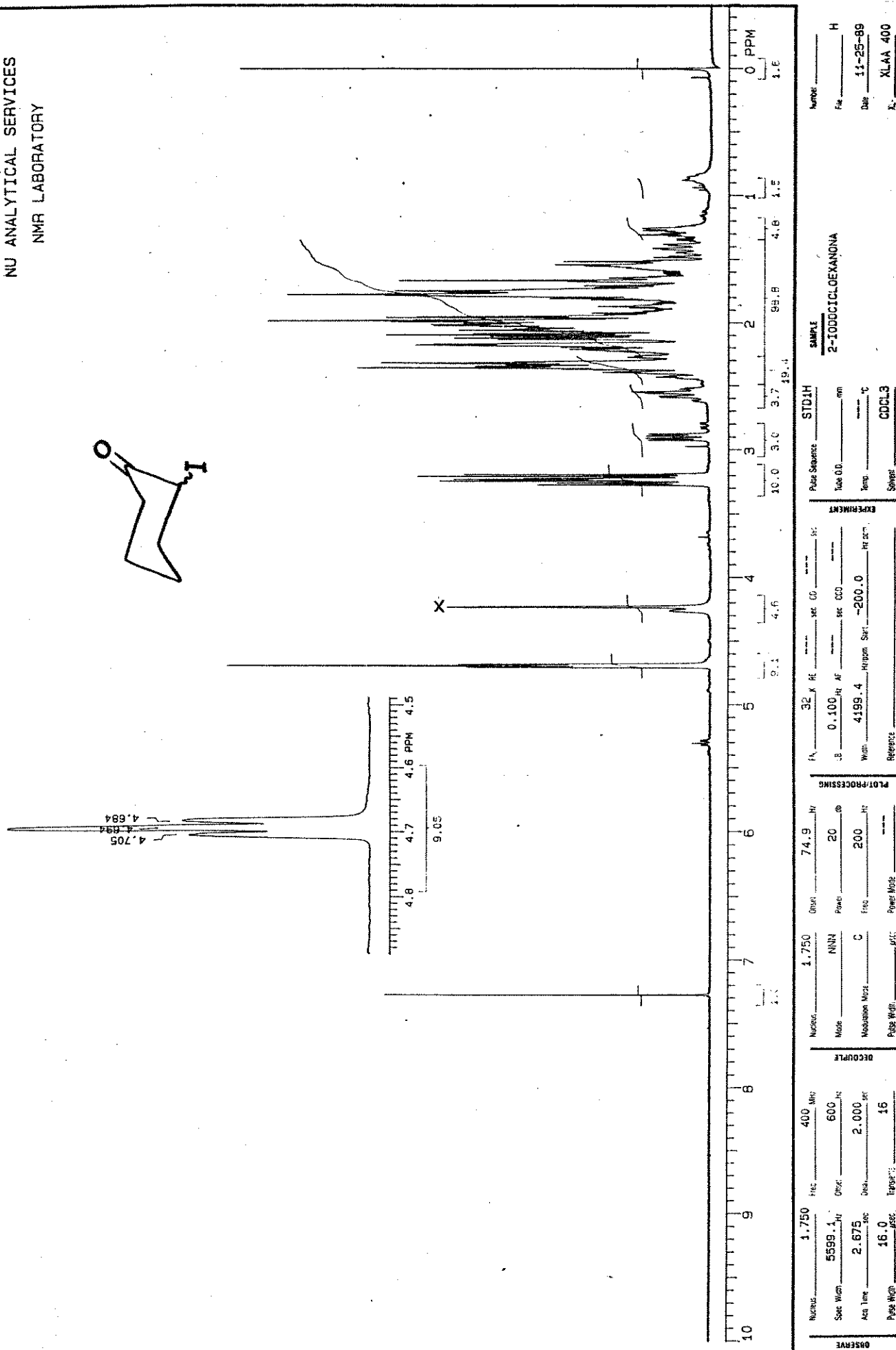


Figura A-11. Espectro de R.M.N. de ^1H da 2-Iodocloexanona.

NU ANALYTICAL SERVICES

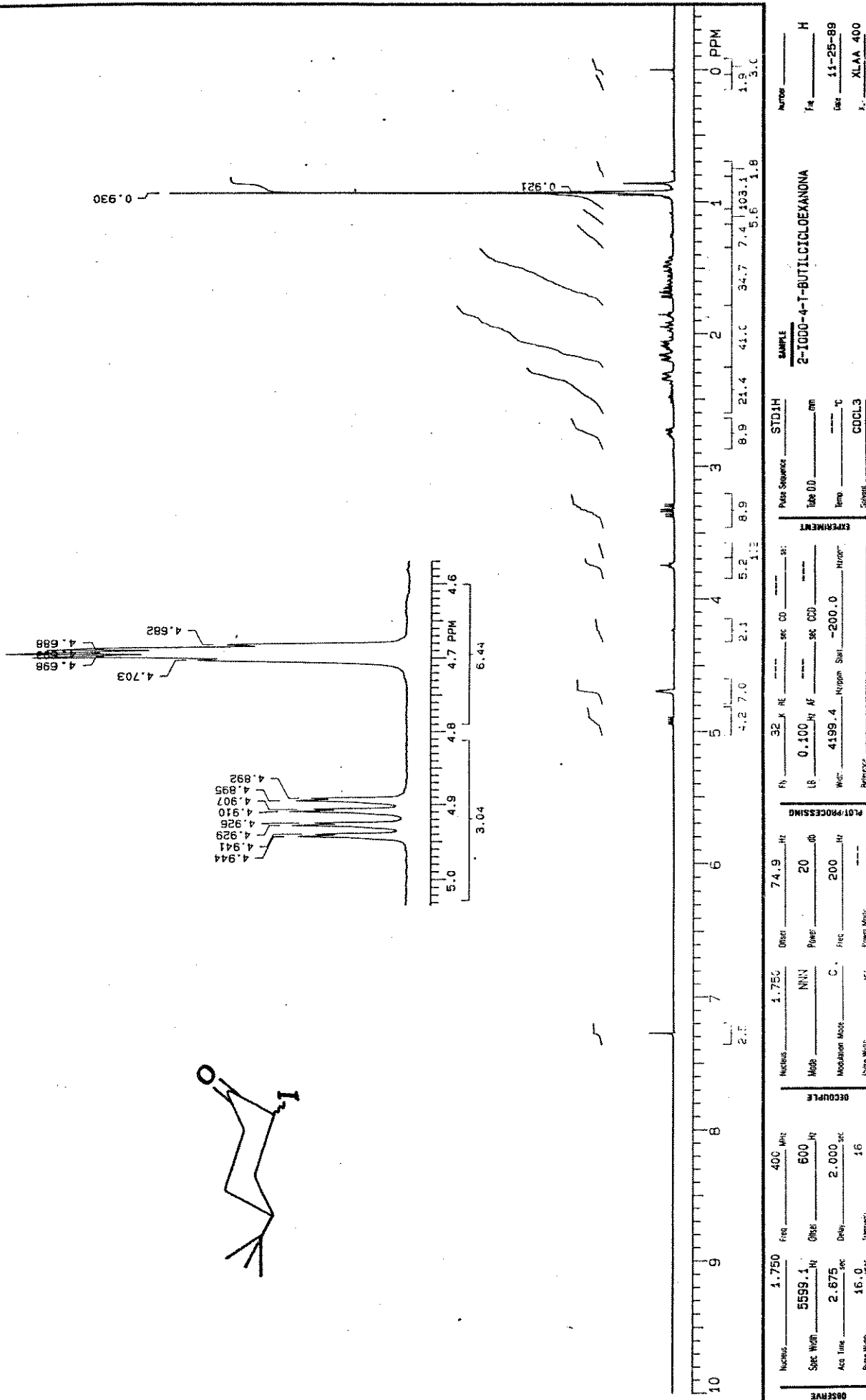


Figura A-12. Espectro de R.M.N. de ^1H da cis e trans-4-t-Butil-2-iodocloexanona.

**NU ANALYTICAL SERVICES
NMR LABORATORY**

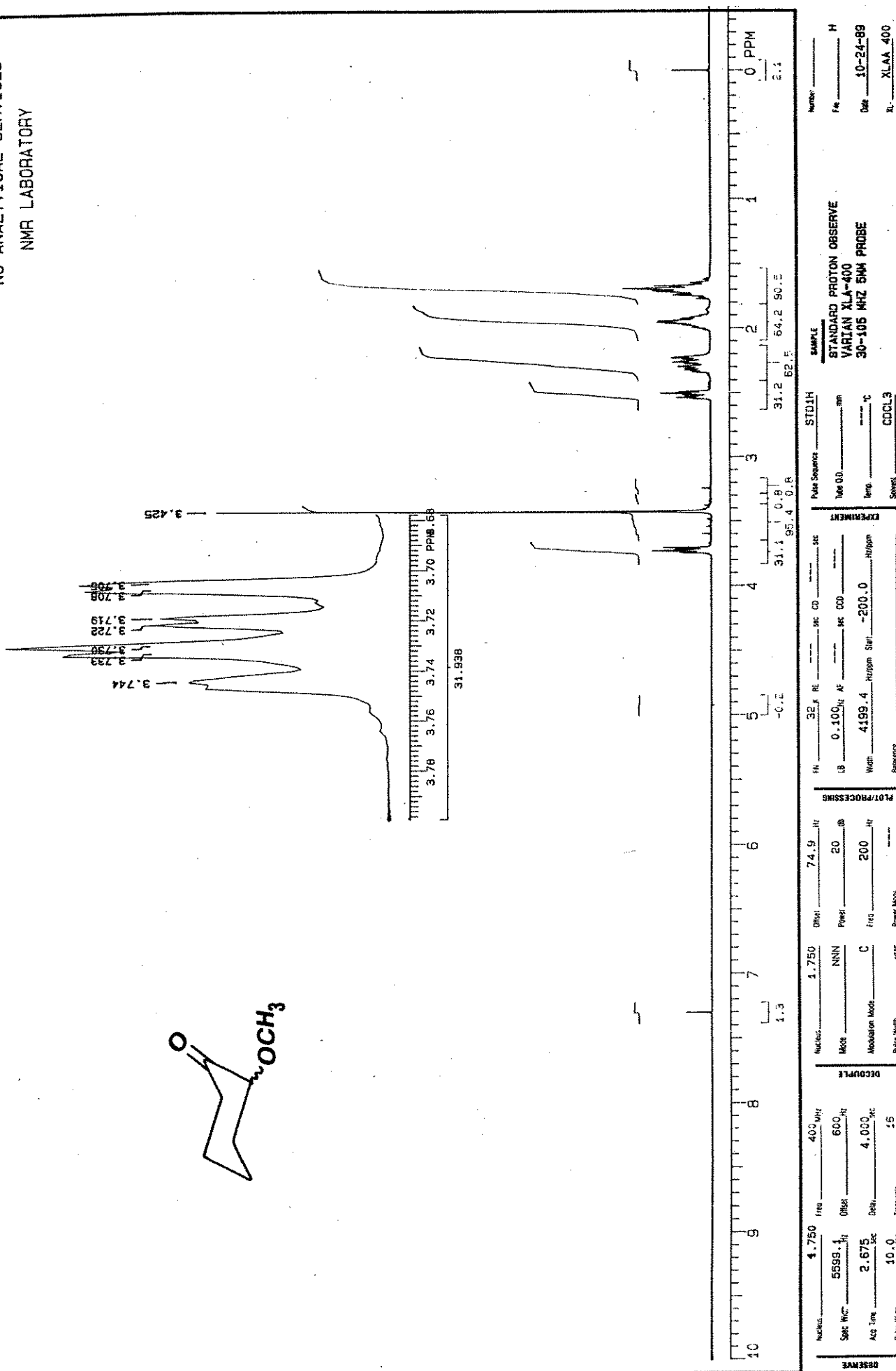


Figura A-13. Espectro de R.M.N. de ^1H da 2-Metoxicicloexanona.

NU ANALYTICAL SERVICES
NMR LABORATORY

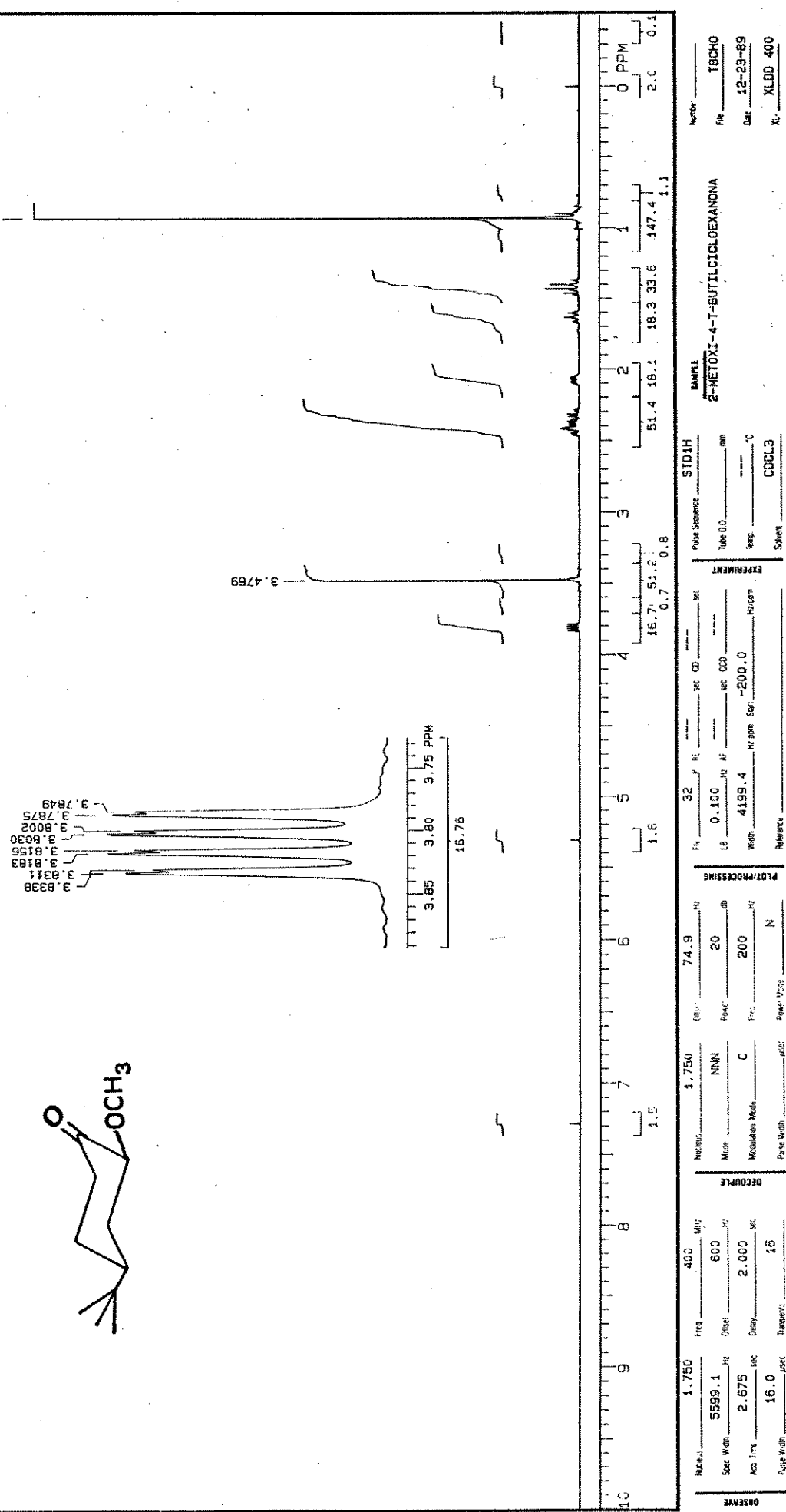


Figura A-14. Espectro de R.M.N. de ^1H da cis-4-t-Butil-2-metoxicloexanona.

NU ANALYTICAL SERVICES
NMR LABORATORY

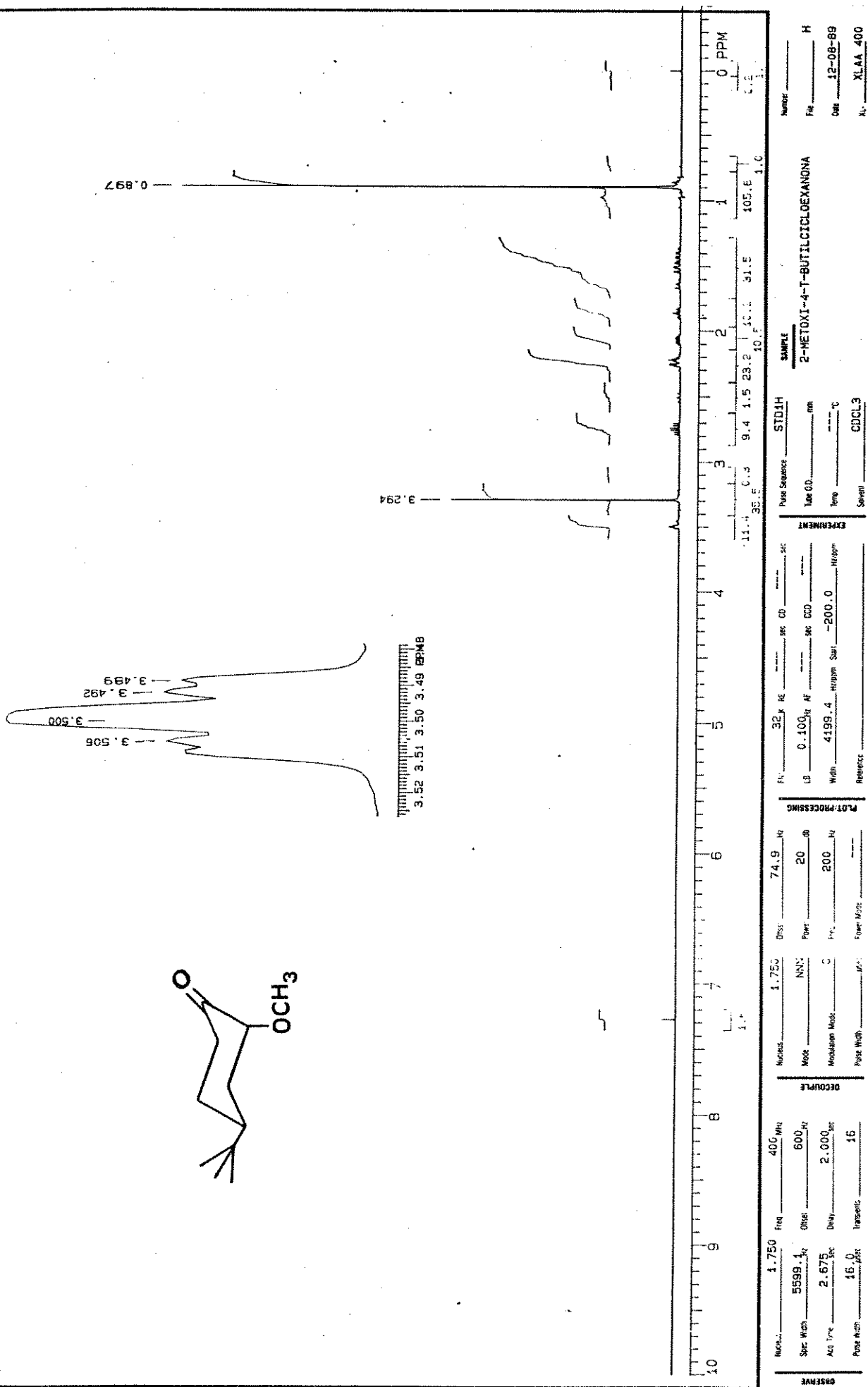


Figura A-15. Espectro de R.M.N. de ^1H da trans-4-t-Butil-2-metoxicloexanona.

NU ANALYTICAL SERVICES
NMR LABORATORY

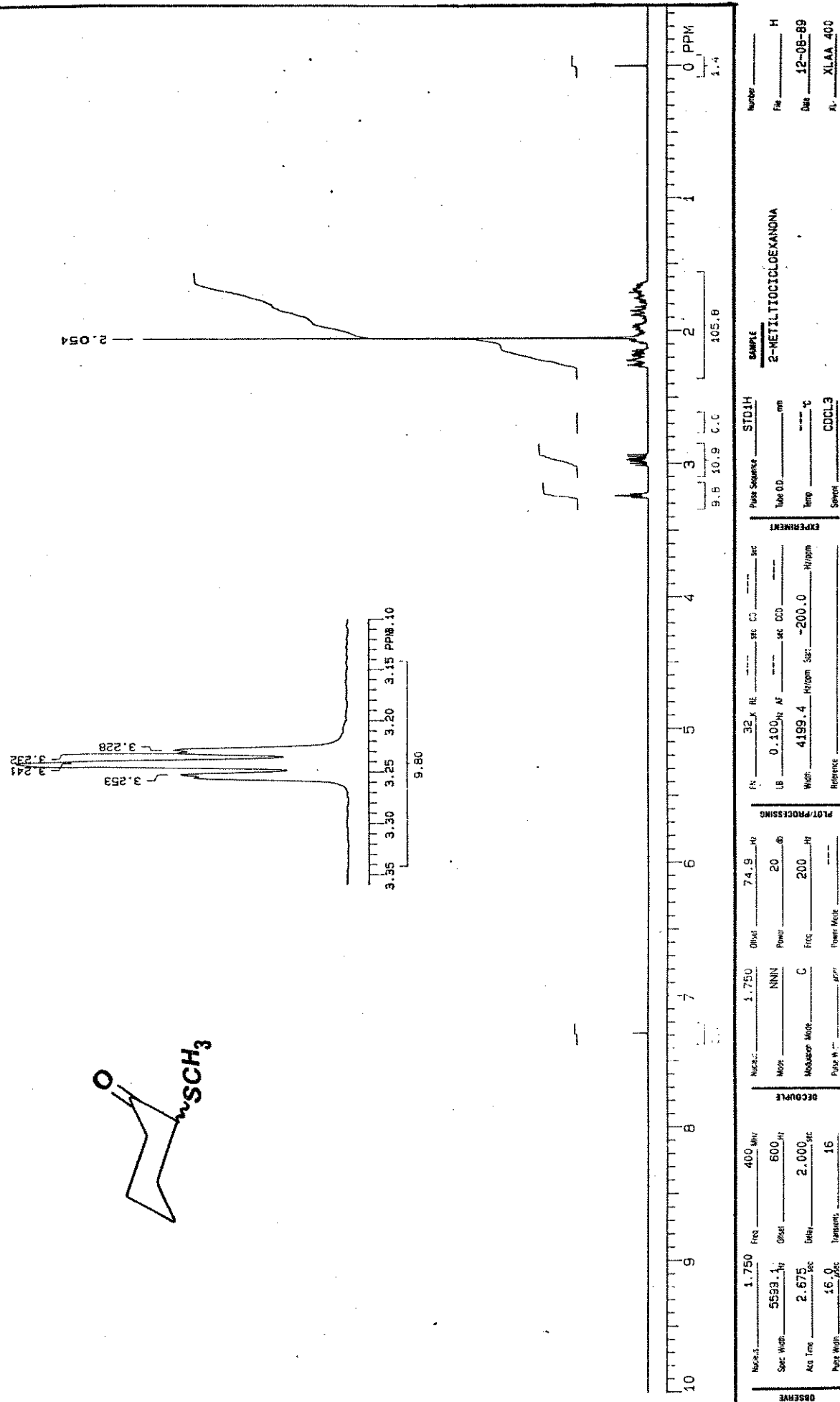


Figura A-16. Espectro de R.M.N. de ^1H da 2-Metiltiocloexanona.

NU ANALYTICAL SERVICES
NMB LABORATORY

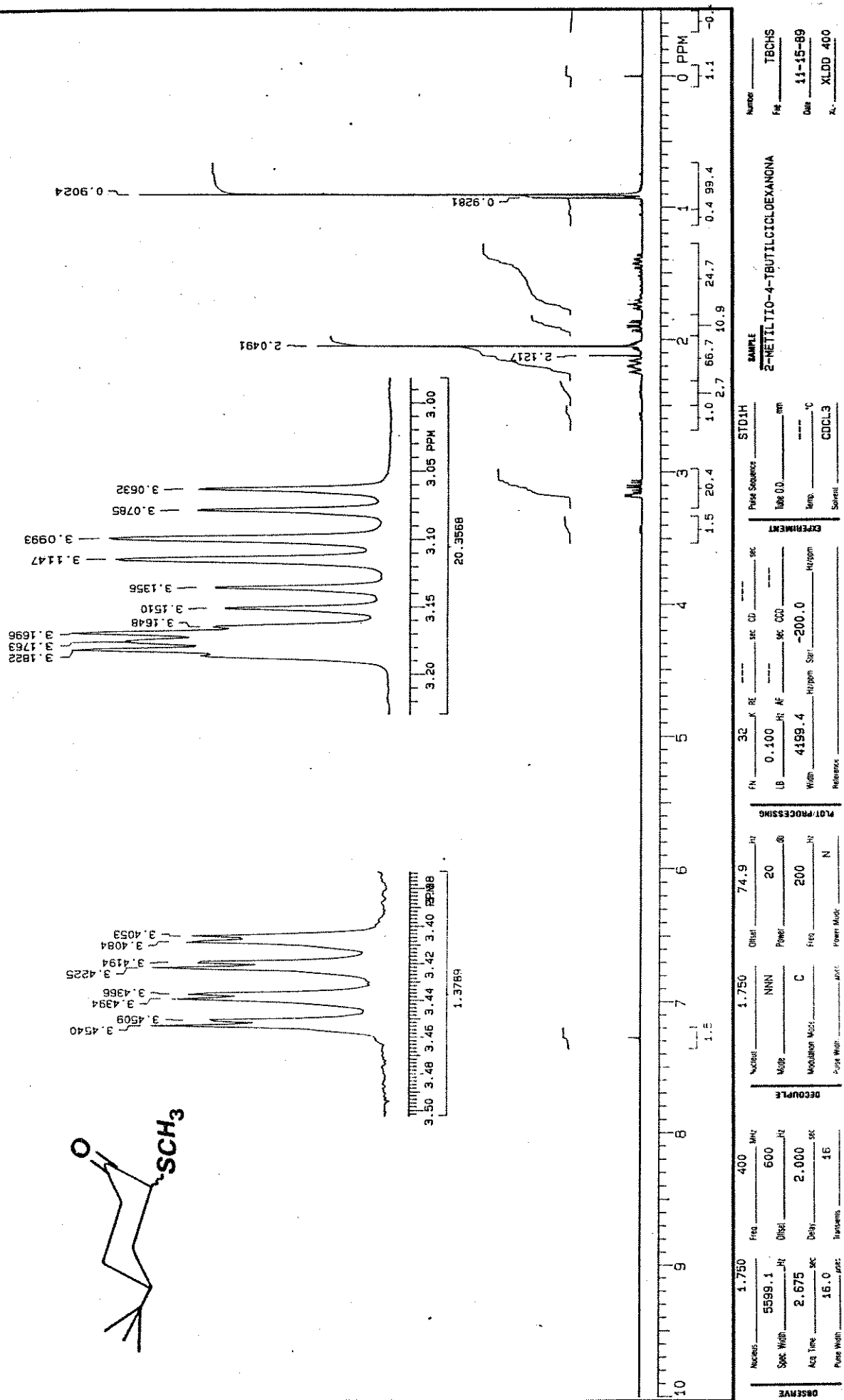


Figura A-17. Espectro de R.M.N. de ^1H da cis e trans-4-t-Butil-2-metiltiocloexanona.

NU ANALYTICAL SERVICES
NMR LABORATORY

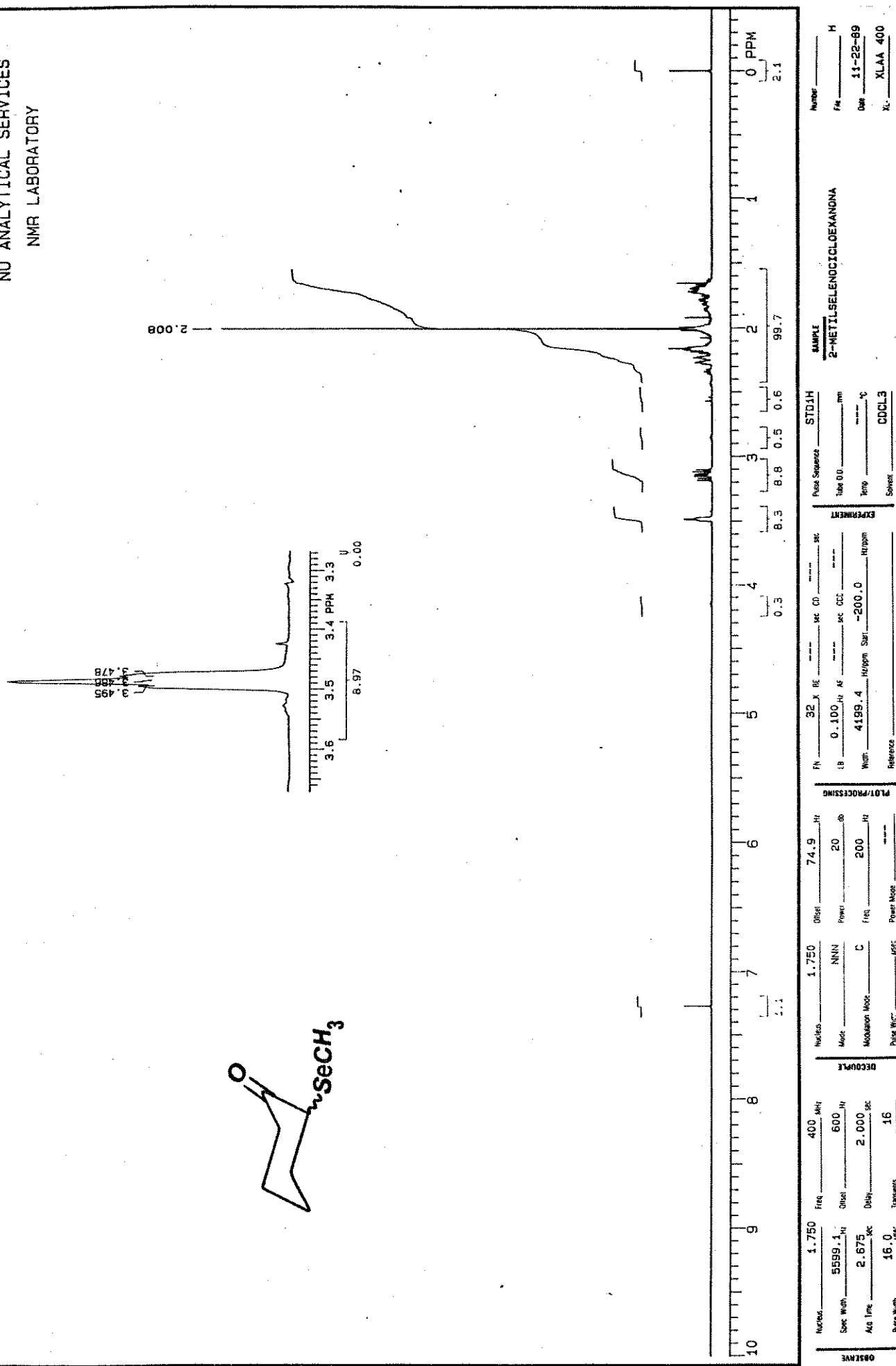
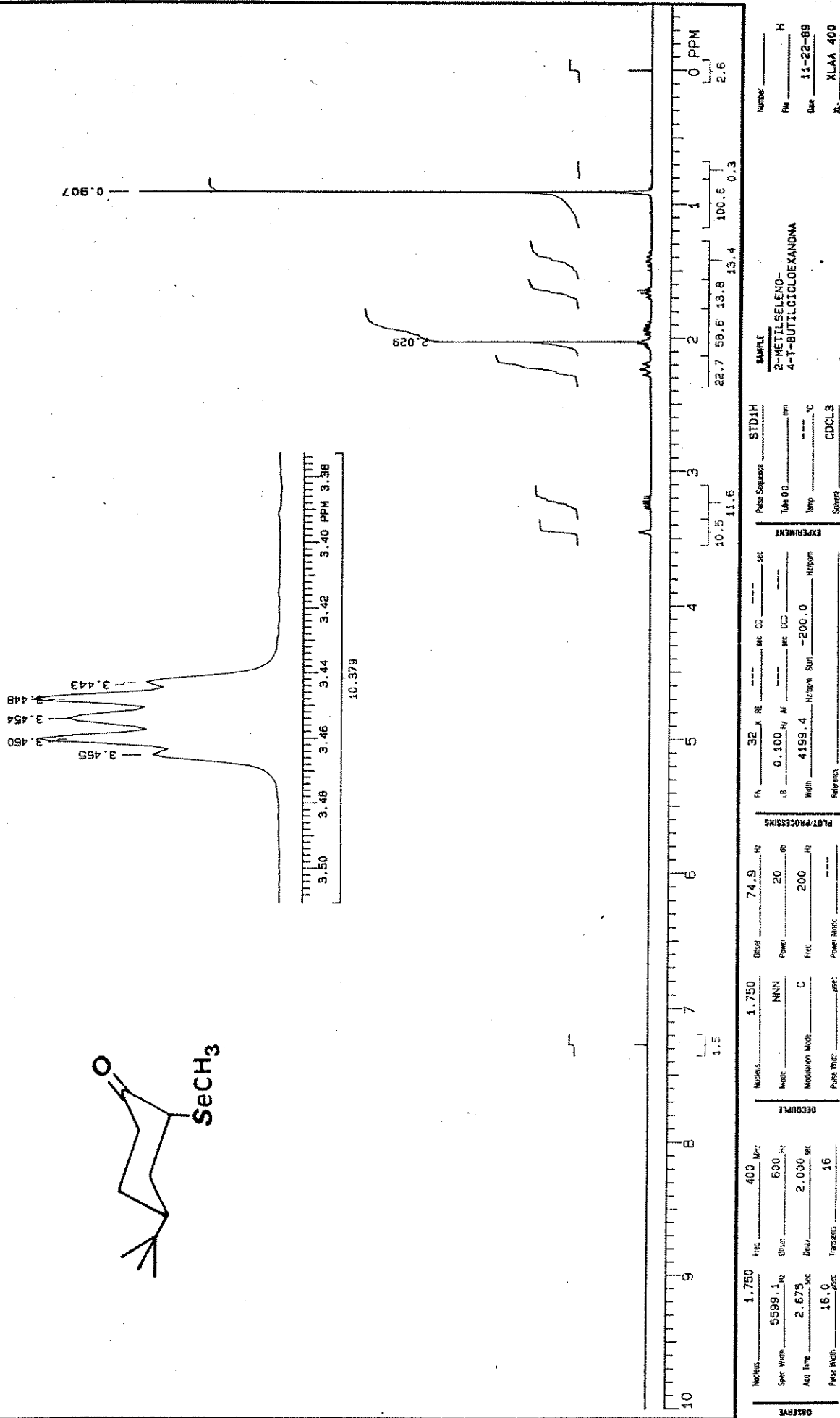
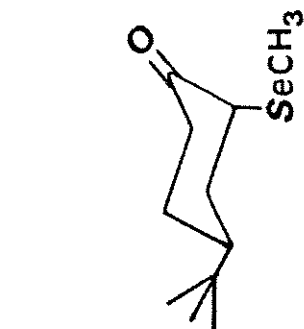


Figura A-18. Espectro de R.M.N. de ¹H da 2-Metilselenocycloexanona.

NU ANALYTICAL SERVICES

NMR LABORATORY



NU ANALYTICAL SERVICES
NMR LABORATORY

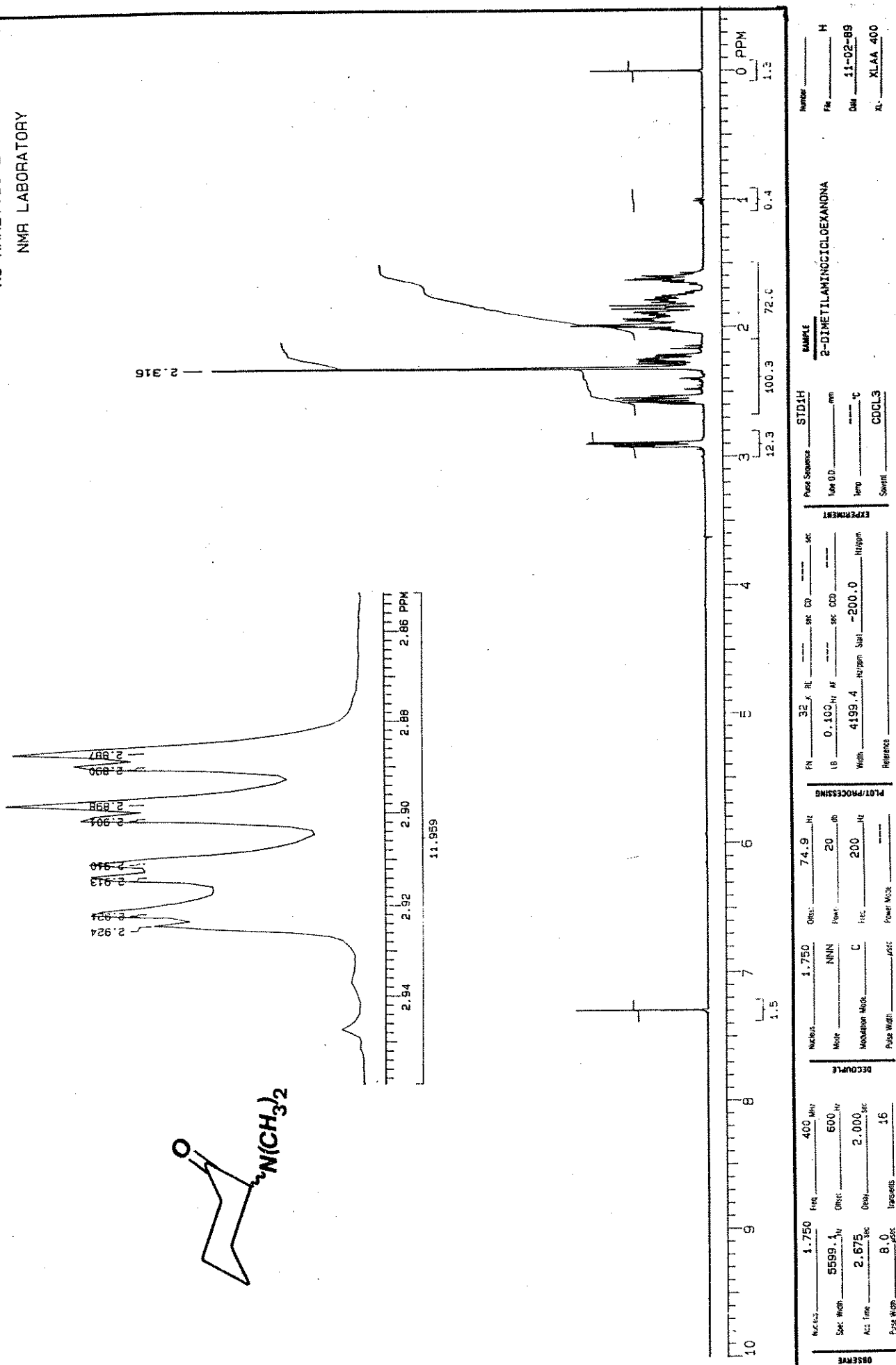


Figura A-20. Espectro de R.M.N. de ^1H da 2-N,N-Dimetilaminocloexanona.

NU ANALYTICAL SERVICES
NMB LABORATORY

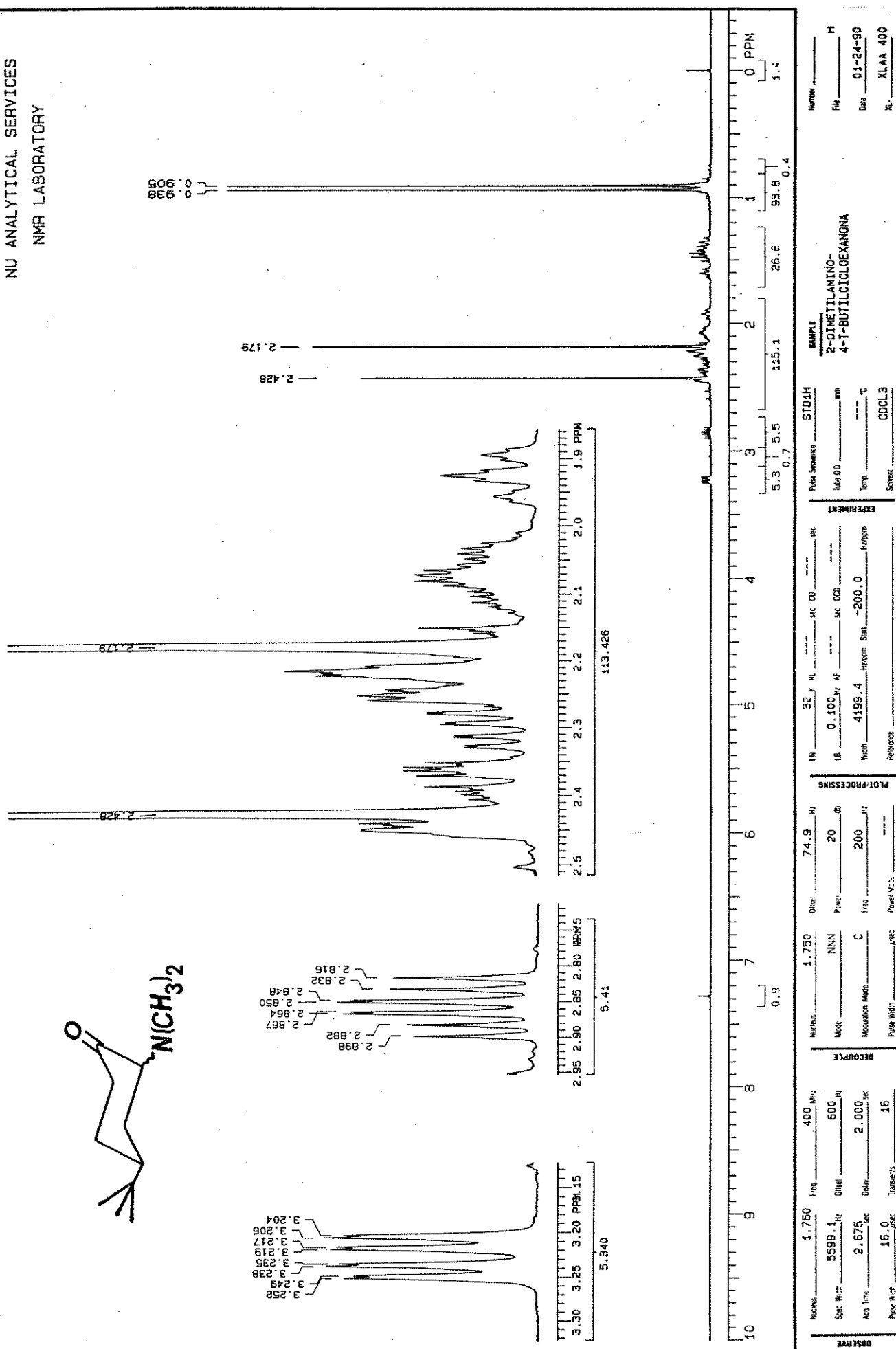
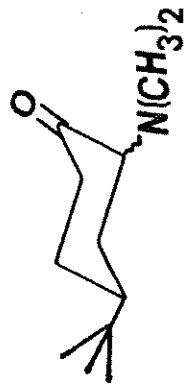


Figura A-21. Espectro de R.M.N. de ^1H da cis e trans-4-t-Butil-2-N,N-dimetilaminocloexanona.

NU ANALYTICAL SERVICES
NMR LABORATORY

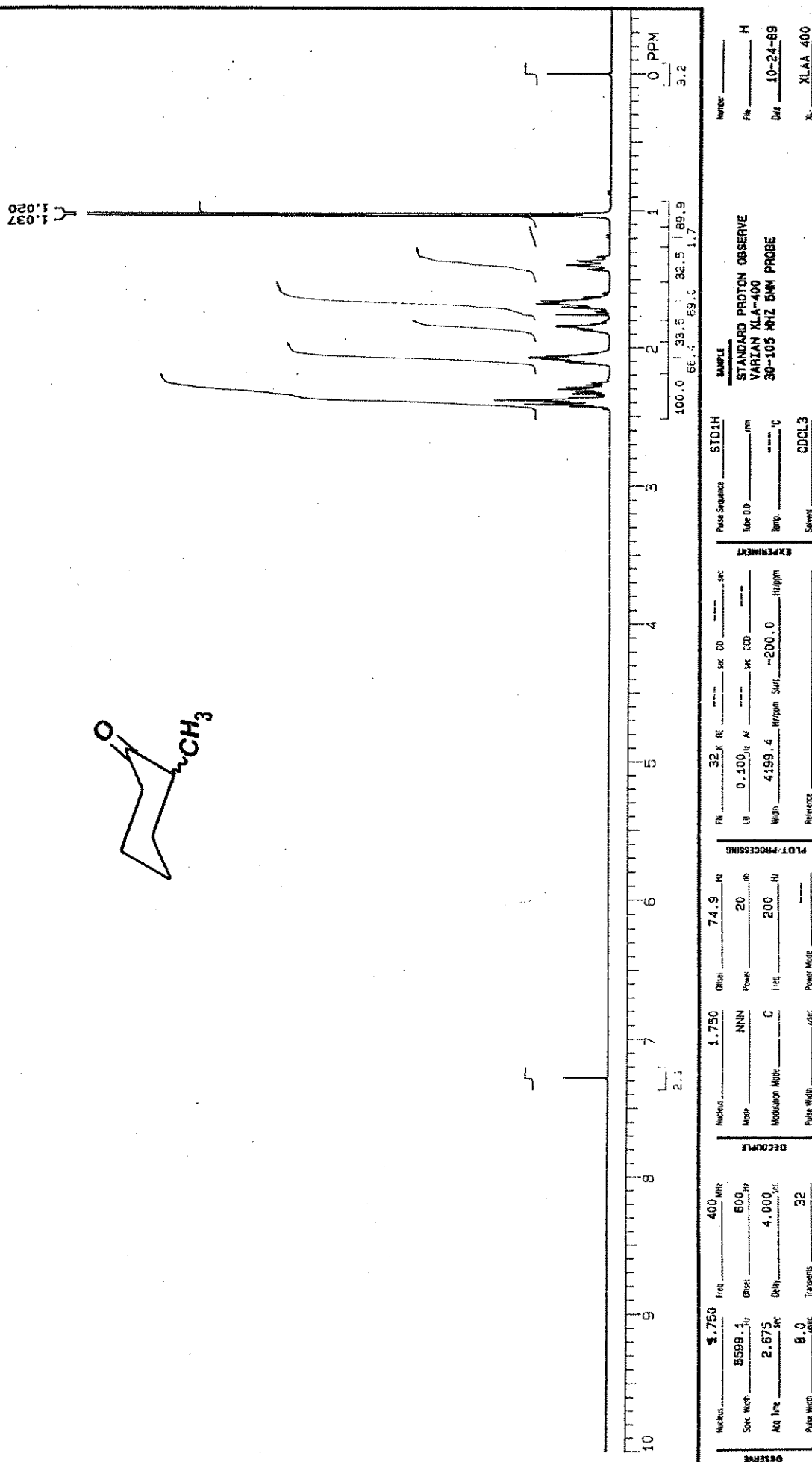


Figura A-22. Espectro de R.M.N. de ^1H da 2-Metilcicloexanona.

NU ANALYTICAL SERVICES
NMR LABORATORY

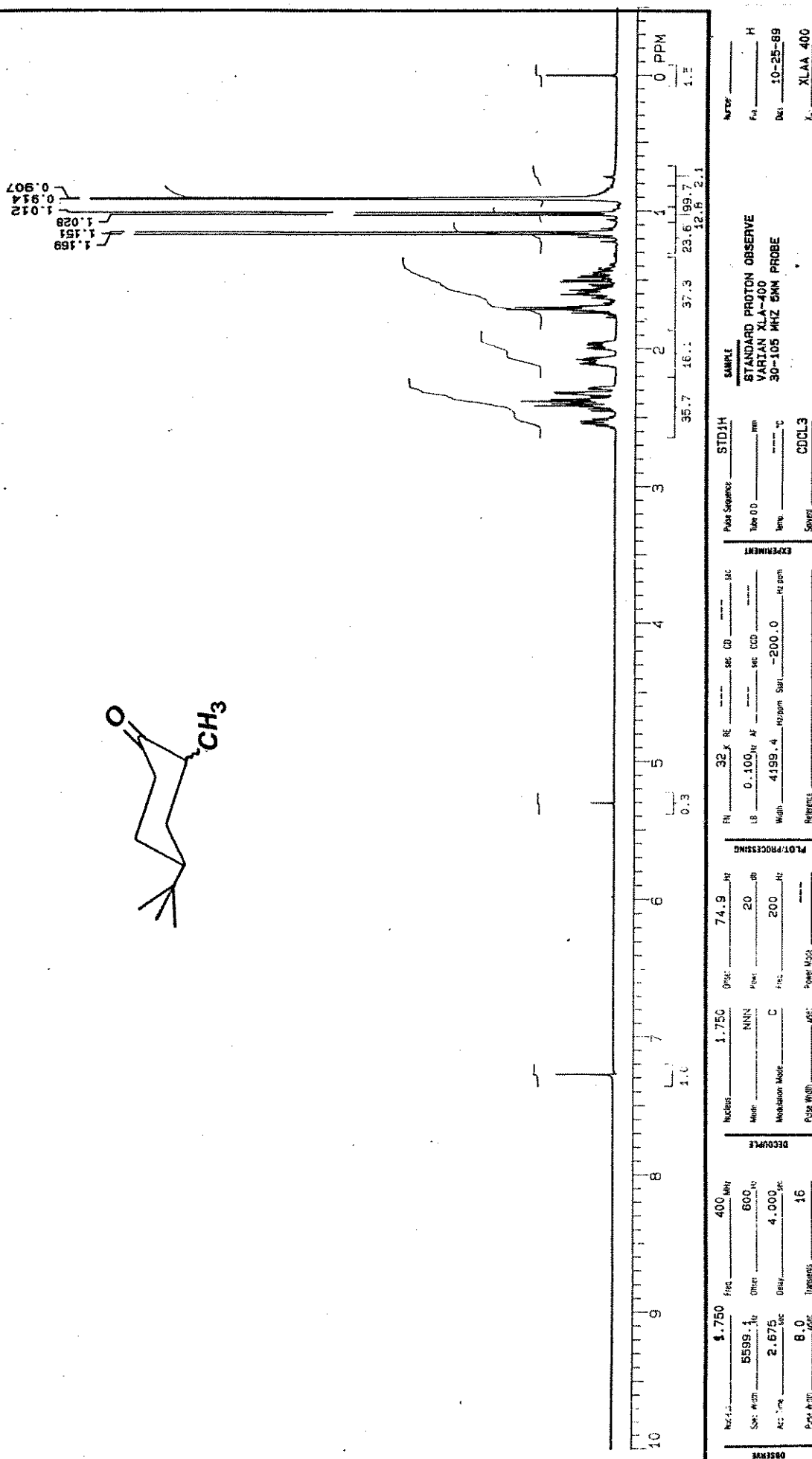
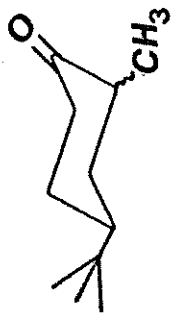


Figura A-23. Espectro de R.M.N. de ^1H da cis e trans-4-t-Butil-2-metilcicloexanona.

NU ANALYTICAL SERVICES
NMR LABORATORY

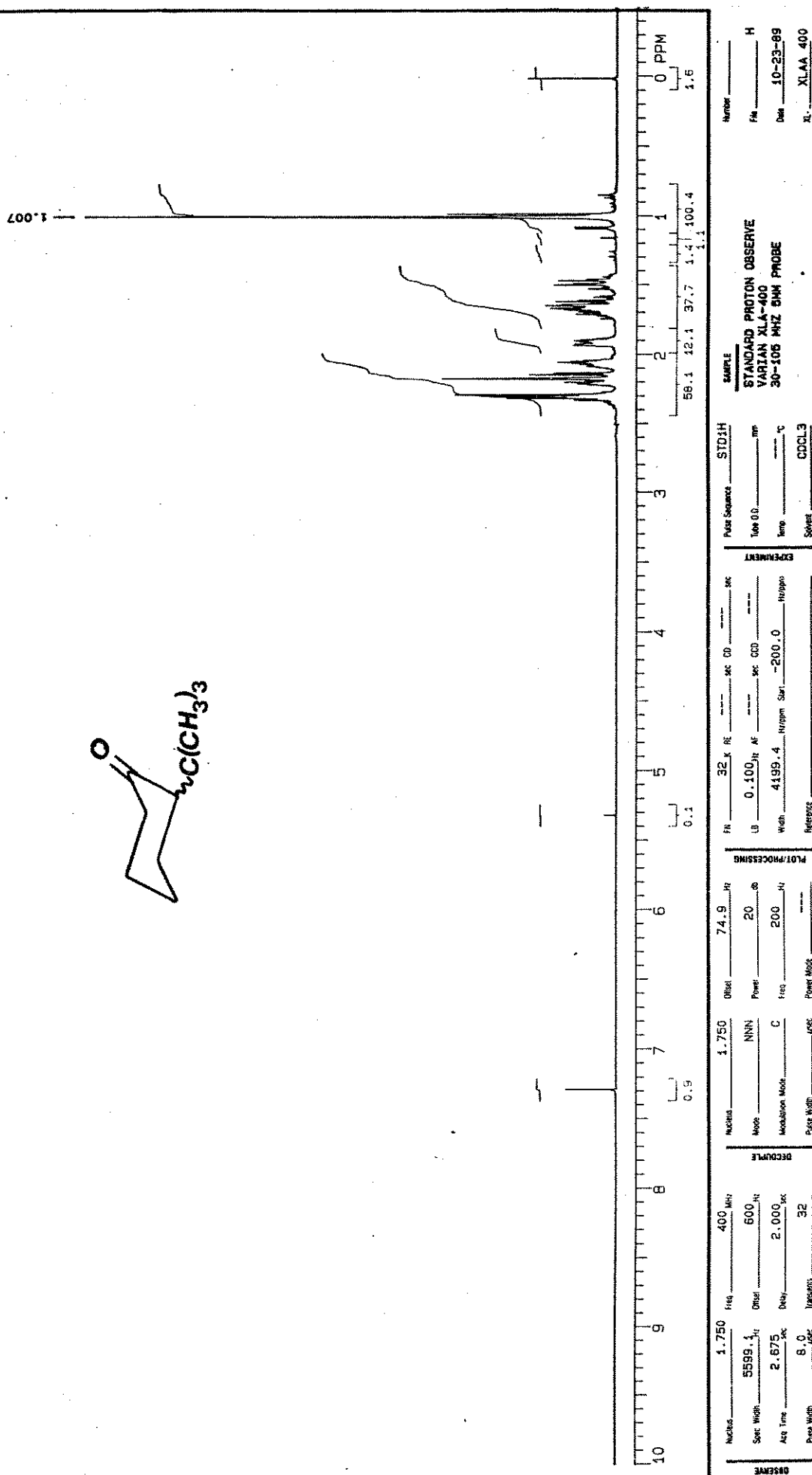
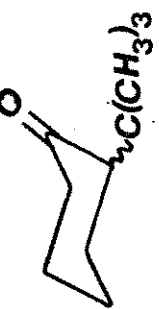


Figura A-24. Espectro de R.M.N. de ¹H da 2-t-Butilcicloexanona.

NU ANALYTICAL SERVICES
NMR LABORATORY

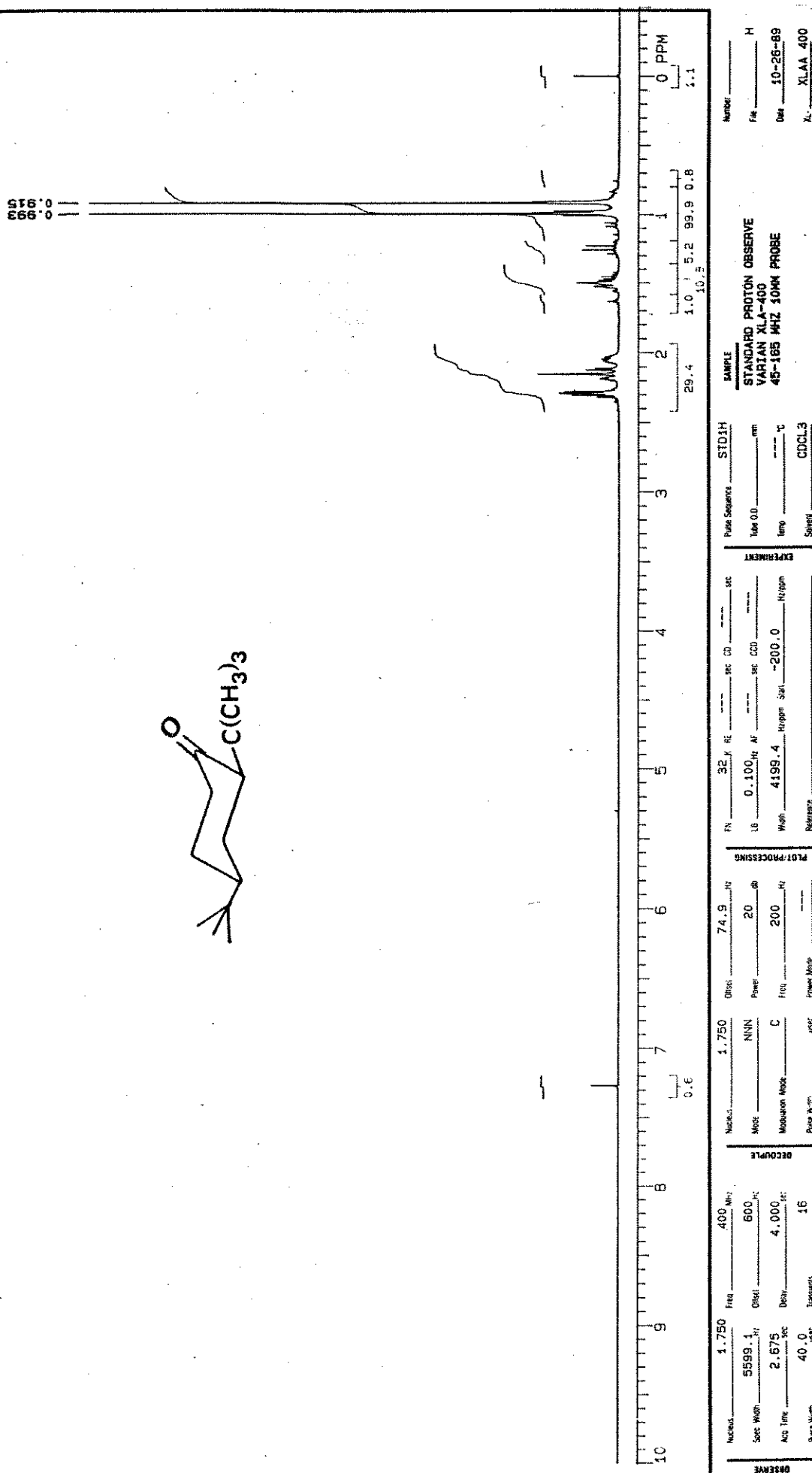
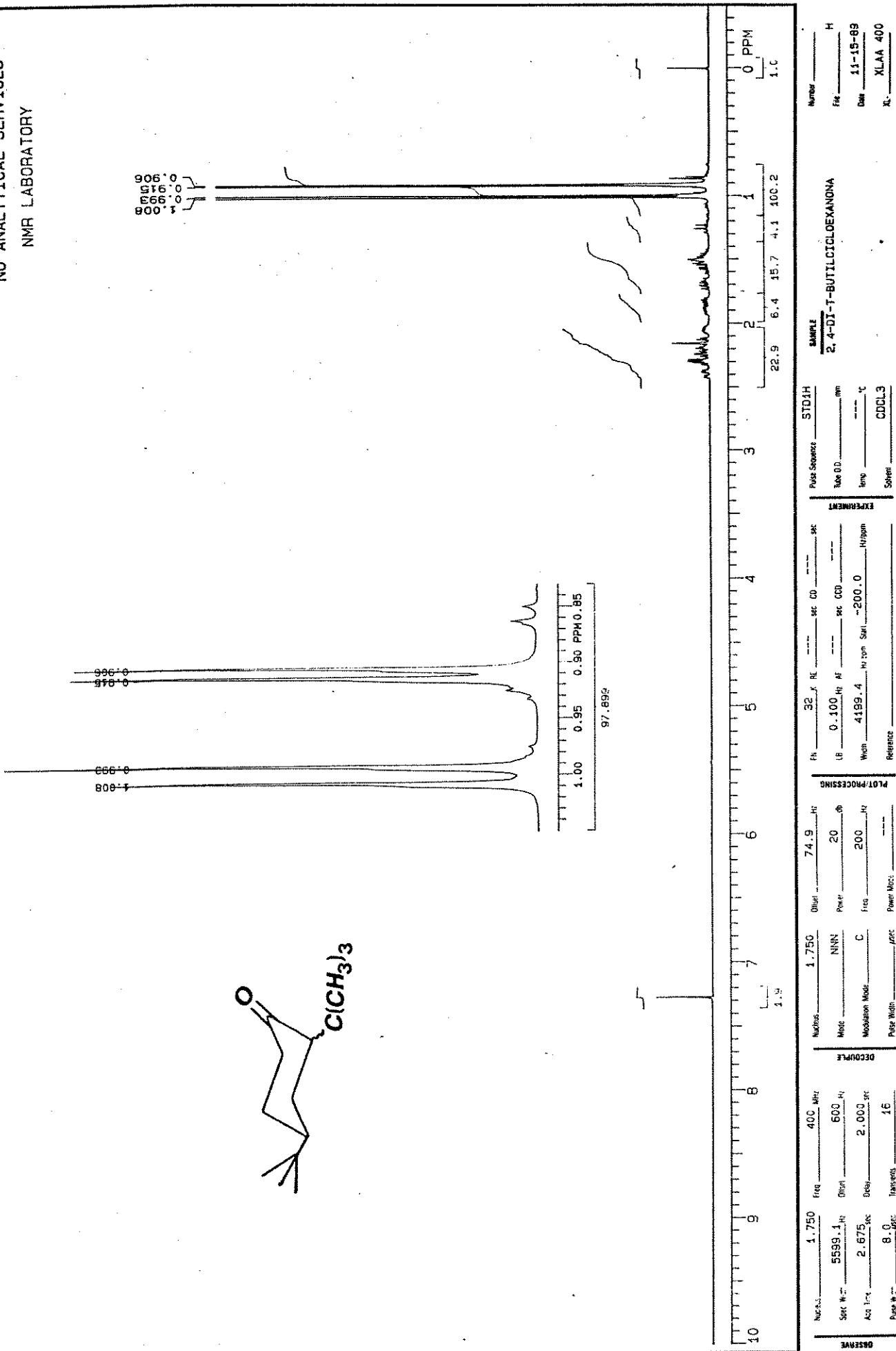


Figura A-25. Espectro de R.M.N. de ^1H da cis-2,4-di-t-Butilcicloexanona.

NU ANALYTICAL SERVICES
NMR LABORATORY



100

APÉNDICE B

Espectros de R.M.N. de Carbono-13

Figura	Composto	Página
B-1	Cicloexanona.....	188
B-2	4- <u>t</u> -Butilcicloexanona.....	189
B-3	2-Fluorcicloexanona.....	190
B-4	<u>cis</u> -4- <u>t</u> -Butil-2-fluorcicloexanona.....	191
B-5	<u>cis</u> e <u>trans</u> -4- <u>t</u> -Butil-2-fluorcicloexanona.....	192
B-6	2-Clorocicloexanona.....	193
B-7	<u>cis</u> e <u>trans</u> -4- <u>t</u> -Butil-2-clorocicloexanona.....	194
B-8	2-Bromocicloexanona.....	195
B-9	<u>cis</u> -2-Bromo-4- <u>t</u> -butilcicloexanona.....	196
B-10	<u>cis</u> e <u>trans</u> -2-Bromo-4- <u>t</u> -butilcicloexanona.....	197
B-11	2-Iodocicloexanona.....	198
B-12	<u>cis</u> e <u>trans</u> -4- <u>t</u> -Butil-2-iodocicloexanona.....	199
B-13	2-Metoxicicloexanona.....	200
B-14	<u>cis</u> -4- <u>t</u> -Butil-2-metoxicicloexanona.....	201
B-15	<u>trans</u> -4- <u>t</u> -Butil-2-metoxicicloexanona.....	202

Figura	Composto	Página
B-16	2-Metiltiocicloexanona.....	203
B-17	<u>cis</u> e <u>trans</u> -4- <u>t</u> -Butil-2-metiltiocicloexanona....	204
B-18	2-Metilselenocicloexanona.....	205
B-19	<u>trans</u> -4- <u>t</u> -Butil-2-metilselenocicloexanona.....	206
B-20	2, <u>N,N</u> -Dimetilaminocicloexanona.....	207
B-21	<u>cis</u> e <u>trans</u> -4- <u>t</u> -Butil-2- <u>N,N</u> -dimetilaminocicloexa nona.....	208
B-22	2-Metilcicloexanona.....	209
B-23	<u>cis</u> e <u>trans</u> -4- <u>t</u> -Butil-2-metilcicloexanona.....	210
B-24	2- <u>t</u> -Butilcicloexanona.....	211
B-25	<u>cis</u> -2,4-di- <u>t</u> -Butilcicloexanona.....	212
B-26	<u>cis</u> e <u>trans</u> -2,4-di- <u>t</u> -Butilcicloexanona.....	213

CICLOEXANONA

EXP1 PULSE SEQUENCE: STD13C
 DATE 11-02-89
 SOLVENT CDCL₃
 FILE CH1

ACQUISITION	DEC. & VT
TN 13.750	DN 1.750
SW 25125.6	DO 74.9
AT 1.193	DM YYY
NP 59968	DMM S
PH 7.0	DMF 8000
P1 0	DLP 1
D1 4.000	PROCESSING
D2 0	
TO 2500	SE 0.318
NT 320	LB 1.000
CT 192	MATH F
PH90 14.0	DISPLAY
BS 64	
SS 0	SP -265.3
TL N	WP 25125.6
IN N	VS 109
DP N	SC 0
HS NN	WC 400
	IS 500
RF1	REFL 265.3
RFP	0
TH	5
INS	1.000
	DC

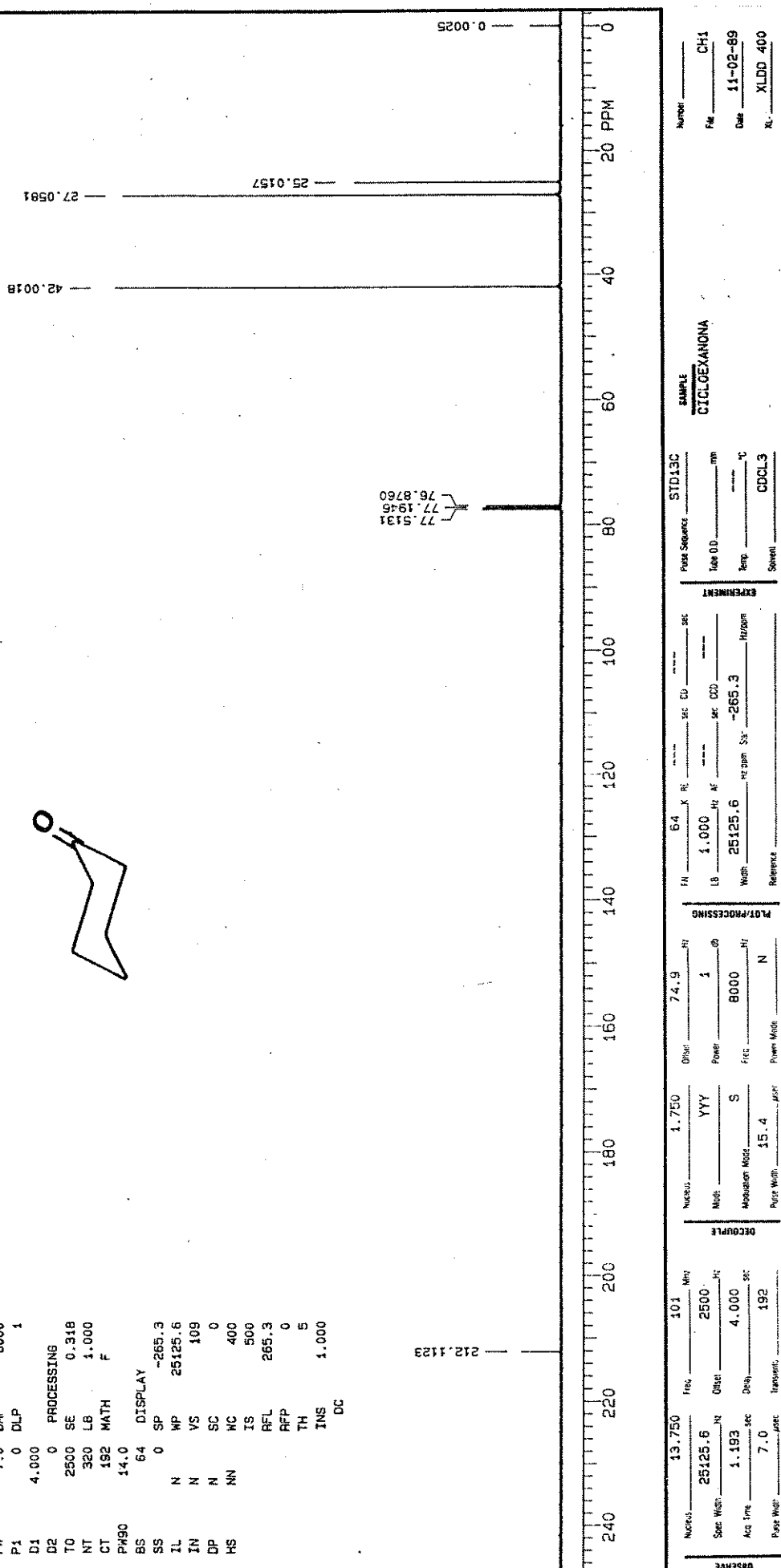


Figura B-1. Espectro de R.M.N. de ¹³C da Cicloexanona.

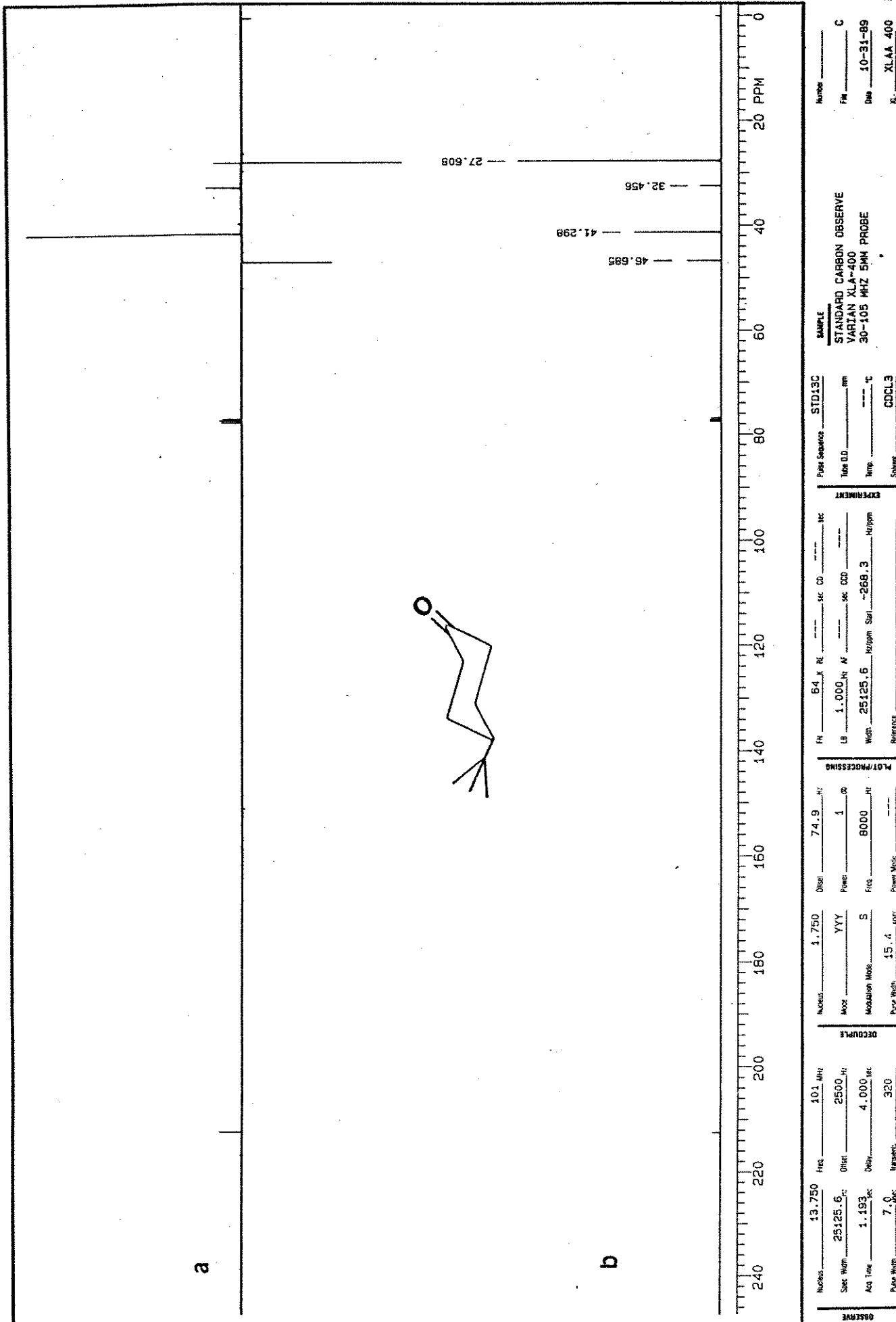


Figura B-2. Espectros de R.M.N. de ^{13}C da 4-t-Butilcicloexanona.

a) "APT"

b) com desacoplamento de próton

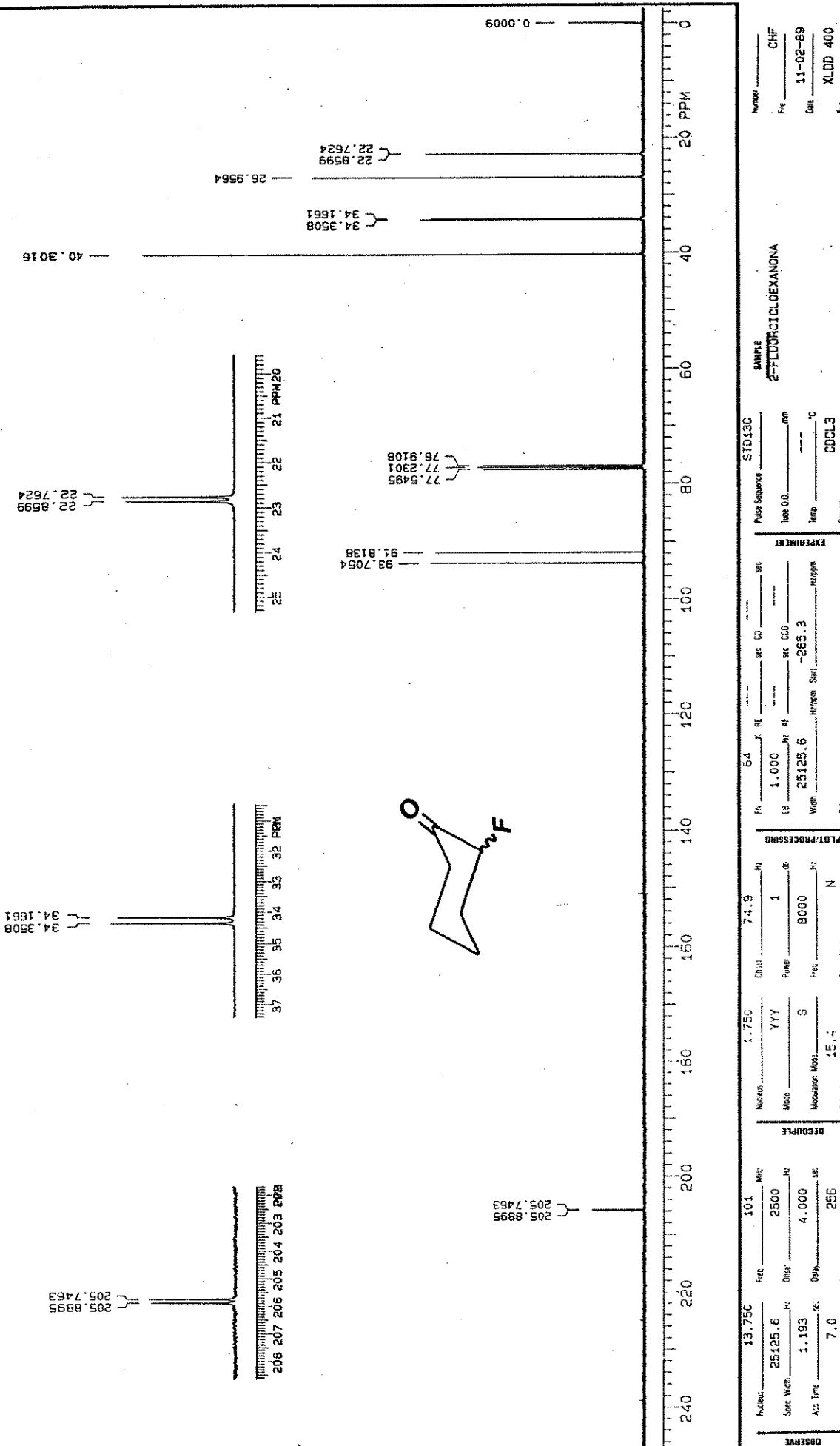
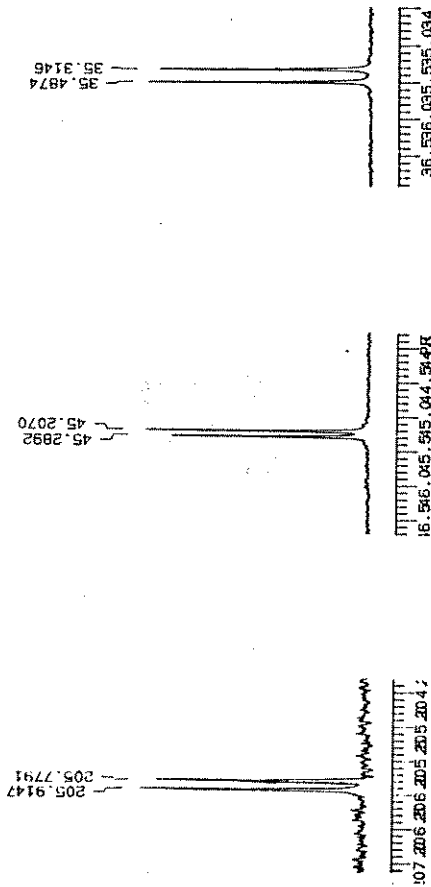


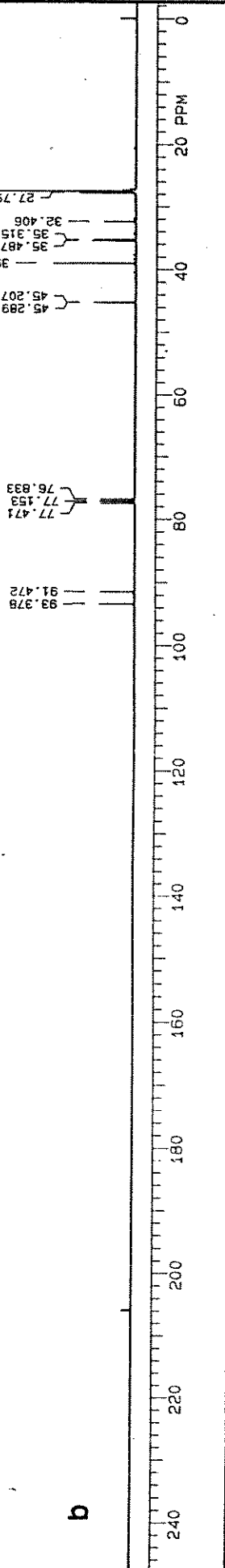
Figura B-3. Espectro de R.M.N. de ^{13}C da 2-Fluorcicloexanona.



a



b



SPECIES		SAMPLE		Pulse Sequence		STD13C		Number	
2-FLUOROCYCLOHEXANONE		2-FLUOROCYCLOHEXANONE		10.000 Hz		1.000 Hz		100	
WIDENING		WIDENING		8000		8000		mm	
WIDENING		WIDENING		25125.6		25125.6		mm	
DECOUPLE		DECOUPLE		WIDENING		WIDENING		mm	
DECOUPLE		DECOUPLE		270.0		270.0		Hz	
DECOUPLE		DECOUPLE		Power Mod.		Power Mod.		Hz	
DECOUPLE		DECOUPLE		Reference		Reference		Reference	
DECOUPLE		DECOUPLE		CDCL3		CDCL3		Reference	
DECOUPLE		DECOUPLE		XLAAC		XLAAC		XLAAC	
DECOUPLE		DECOUPLE		400		400		Hz	

Figura B-4. Espectros de R.M.N. de ^{13}C da cis-4-t-butyl-2-fluorocyclohexanona.

- a) "APT"
- b) com desacoplamento de próton

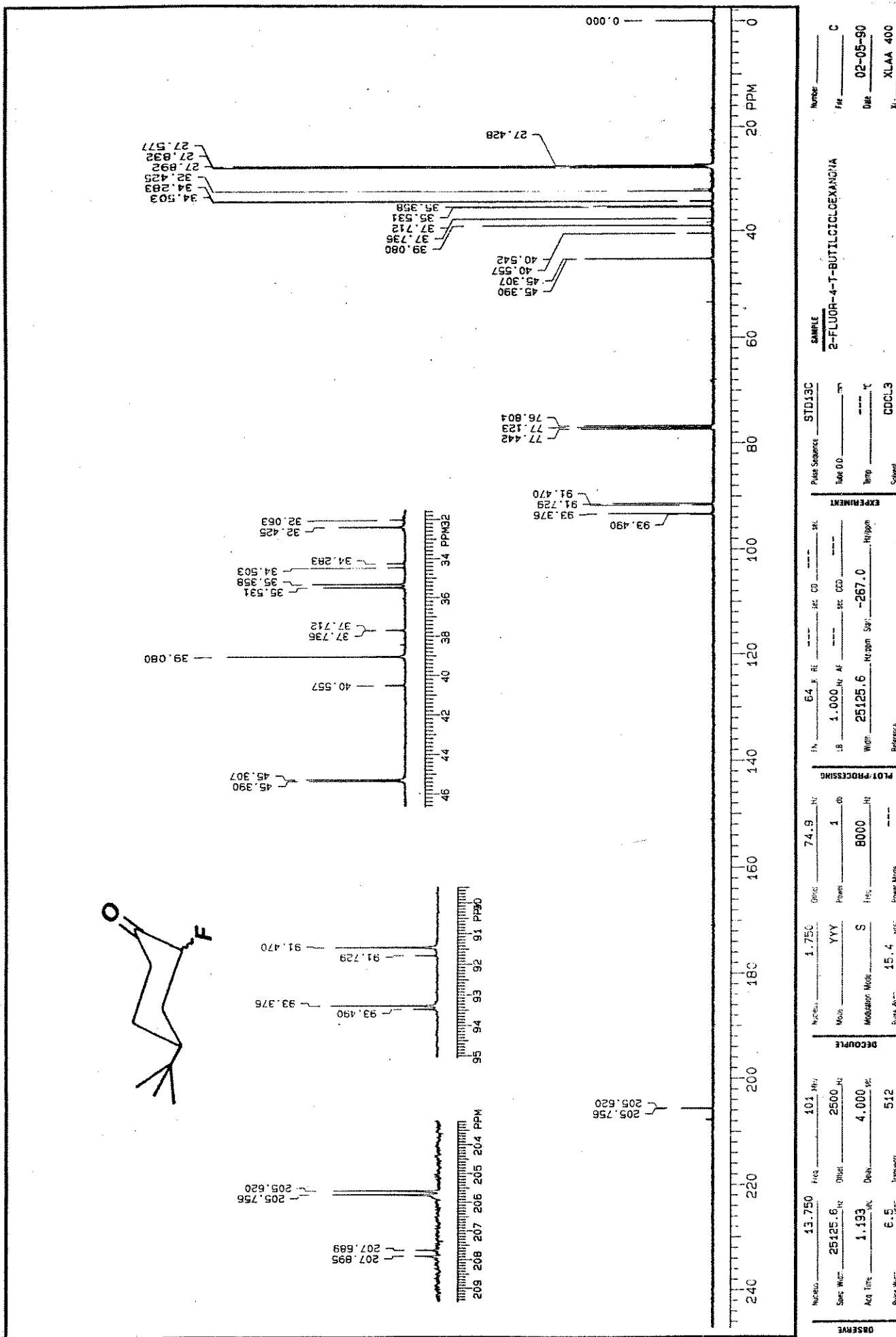


Figura B-5. Espectro de R.M.N. de ^{13}C da cis-e trans-4-t-Butil-2-fluorcicloexanona.

22-CHLOROCYCLOHEXANONE

FILE C
PULSE SEQUENCE: STD13C
DATE 11-02-89
TEST EVENT COCL3

	ACQUISITION	DEC.	&	VT
TIN	13.750	DN	1.750	
TSN	25125.6	DO	74.9	
AT	1.193	DM	YYY	
NPB	55968	DMM	S	
PH	7.0	DMF	8000	
P1	0	DLP	1	
P2	4.000	HOMO	N	
P3	0	PROCESSING		
P4	2500	SE	0.318	
P5	256	LB	1.000	
P6	14.0	MATH	F	
P7	64	DISPLAY		
P8	0	SP	-269.9	
P9	N	WP	25125.6	
P10	N	VS	140	
P11	NN	SC	0	
P12	N	NC	400	

The diagram shows the skeletal structure of 1-chloro-2-methylpropane. It consists of a four-carbon chain in a zigzag conformation. The first carbon (primary) has a chlorine atom (Cl) attached. The second carbon (secondary) has a methyl group (CH₃) attached.

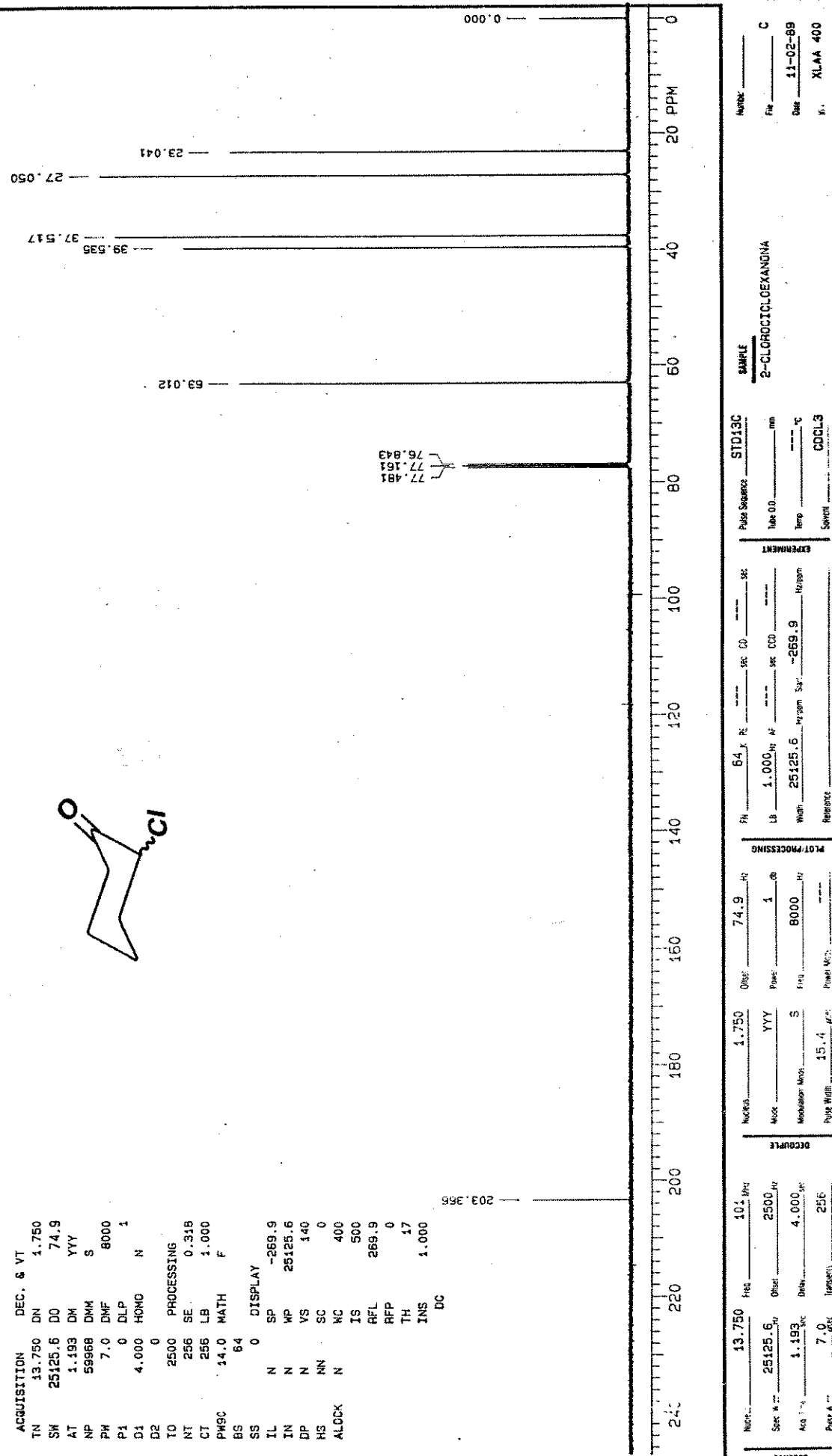
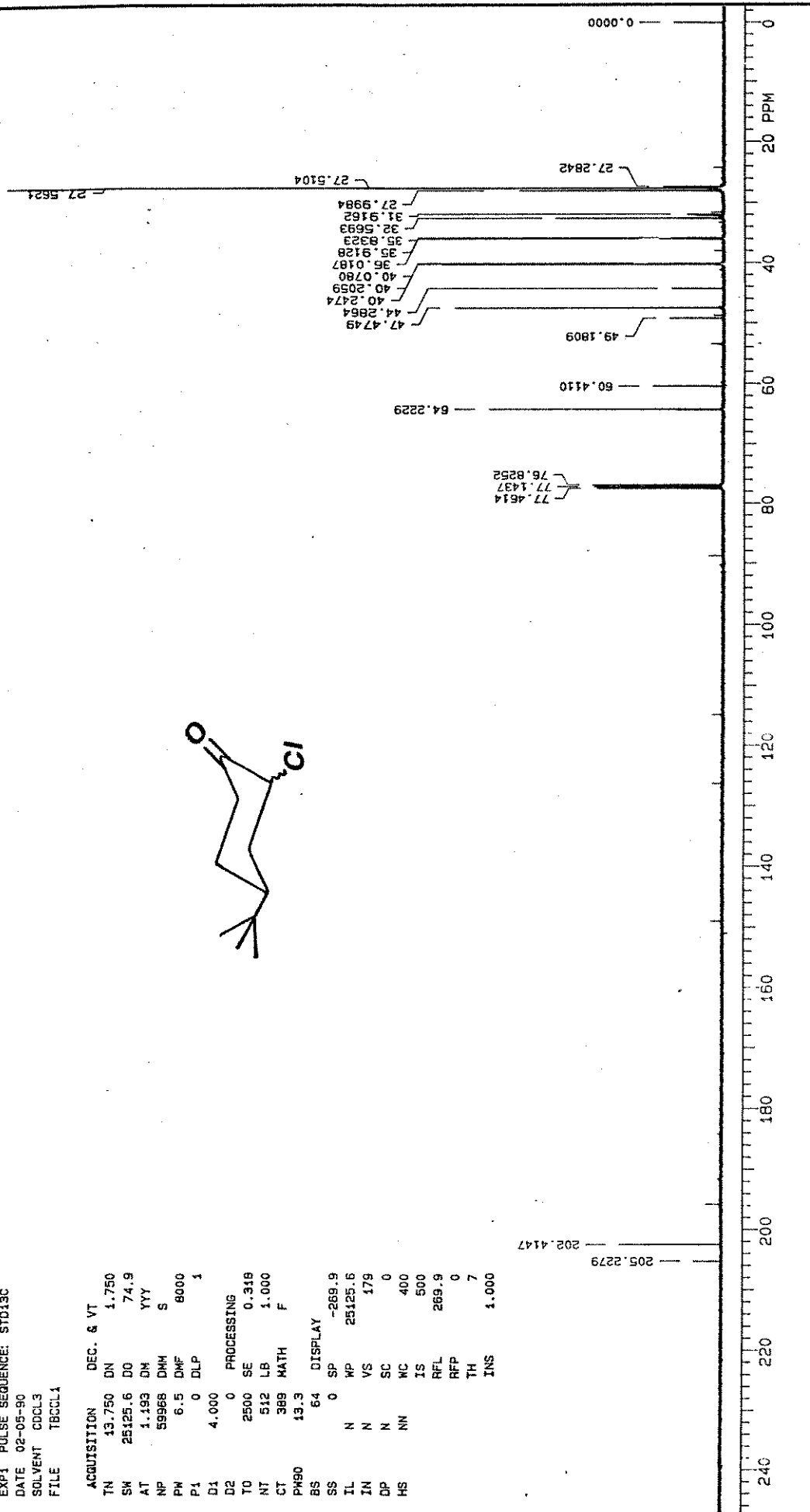
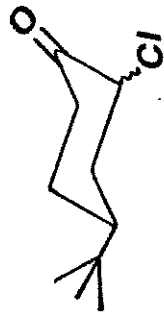


Figura B-6. Espectro de R.M.N. de ^{13}C da 2-Clorocloexanona.

2-CLORO-4-t-BUTILCICLOEXANONA

EXP1 PULSE SEQUENCE: STD13C
 DATE 02-05-90
 SOLVENT CDCL₃
 FILE TBCC1

ACQUISITION	DEC.	&	VT
TN	13.750	DN	1.750
SW	25125.6	DO	74.9
AT	1.193	DN	YYY
NP	59968	DHM	S
PW	6.5	DMF	8000
P1	0	DLP	1
D1	4.000		
D2	0		
TO	2500	SE	0.318
NT	512	LB	1.000
CT	389	MATH	F
PH90	13.3		
BS	64	DISPLAY	
SS	0	SP	-268.9
TL	N	WP	25125.6
IN	N	VS	179
DP	N	SC	0
HS	NN	HC	400
		IS	500
		RFL	269.9
		RFP	0
		TH	7
		INS	1.000



SAMPLE		STD13C		STD13C		STD13C		STD13C	
<u>2-CLORO-4-t-BUTILCICLOEXANONA</u>									
Fe		Fe		Fe		Fe		Fe	
Date 02-05-90		Date 02-05-90		Date 02-05-90		Date 02-05-90		Date 02-05-90	
XLDD 400		XLDD 400		XLDD 400		XLDD 400		XLDD 400	
EXP1		EXP1		EXP1		EXP1		EXP1	
PR0T PROCESSING		PR0T PROCESSING		PR0T PROCESSING		PR0T PROCESSING		PR0T PROCESSING	
Freq		Freq		Freq		Freq		Freq	
Hz		Hz		Hz		Hz		Hz	
25125.6		2500		1.000		1.000		1.000	
Sett. W.CD		Sett. W.CD		Sett. W.CD		Sett. W.CD		Sett. W.CD	
Sec		Sec		Sec		Sec		Sec	
1.193		4.000		8000		8000		8000	
Act. T-1		Act. T-1		Act. T-1		Act. T-1		Act. T-1	
sec		sec		sec		sec		sec	
389		389		15.4		15.4		15.4	
Transf.		Transf.		Transf.		Transf.		Transf.	
Pulse A-1		Pulse A-1		Pulse A-1		Pulse A-1		Pulse A-1	
ppm		ppm		ppm		ppm		ppm	

Figura B-7. Espectro de R.M.N. de ¹³C da cis e trans-4-t-Butil-2-clorocicloexanona.

2-BENZYL-2-EXANDRONE

EXP1 PULSE SEQUENCE: STD13C
DATE 10-30-89
SOLVENT CDCL3
ETLE C

ACQUISITION		DEC.	&	VT
TN	13.750	DN	1.750	
SW	25125.6	DO	74.9	
AT	1.193	DM	YYY	
NP	59968	DMM	S	
PW	7.0	DMF	6000	
P1	0	DLP	1	
D1	4.000	HOMO	N	
D2	0			
T0	2500	PROCESSING		
NT	384	SE	0.318	
CT	207	LB	1.000	
PW90	14.0	MATH	F	
BS	64			
SS	0	DISPLAY		
IL	N	SP	-270.7	
IN	N	WP	25125.6	
DP	N	VS	160	
HS	NN	SC	0	
		WG	400	
		ALOCK		

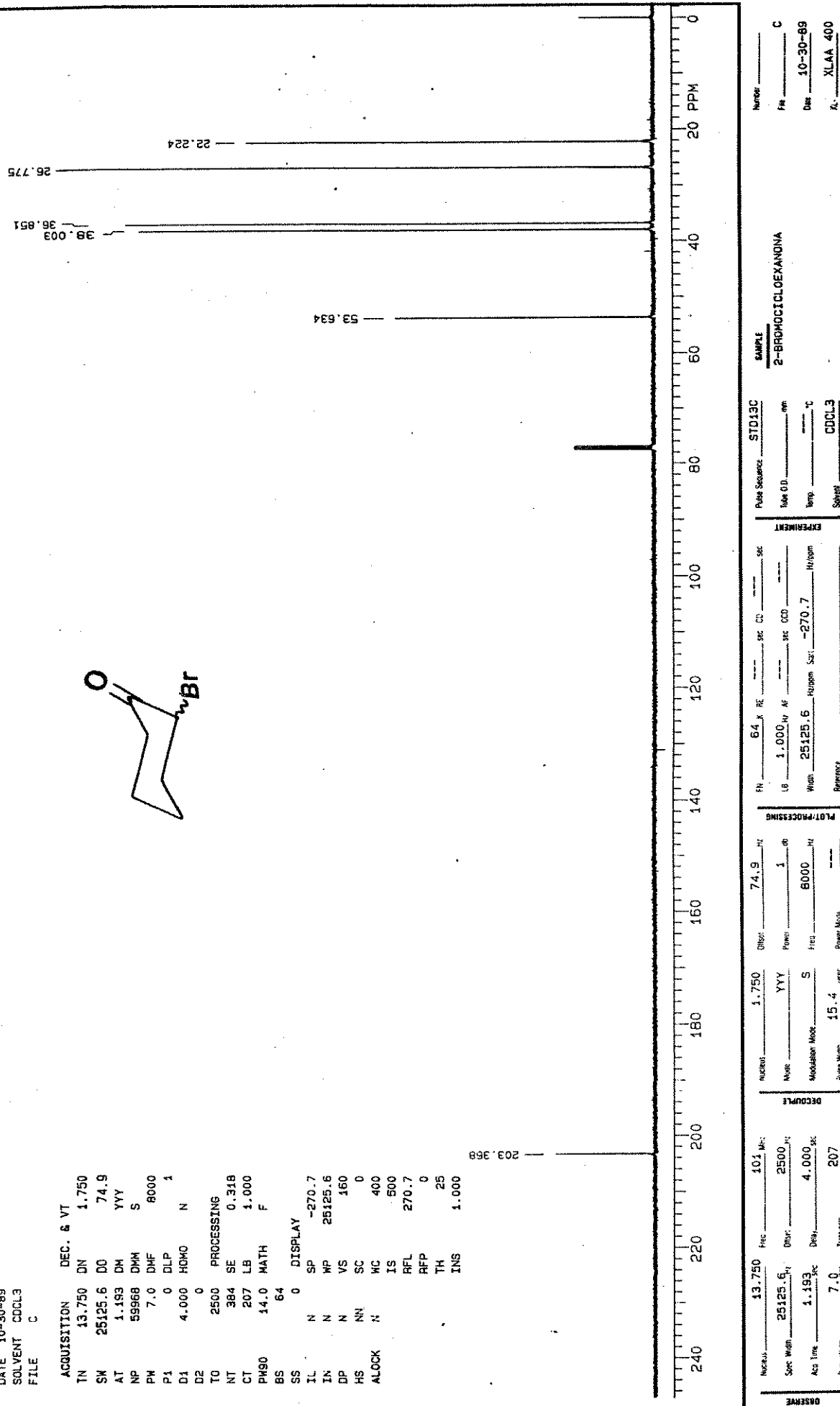


Figura B-8. Espectro de R.M.N. de ^{13}C da 2-Bromocicloexanona.

a



b

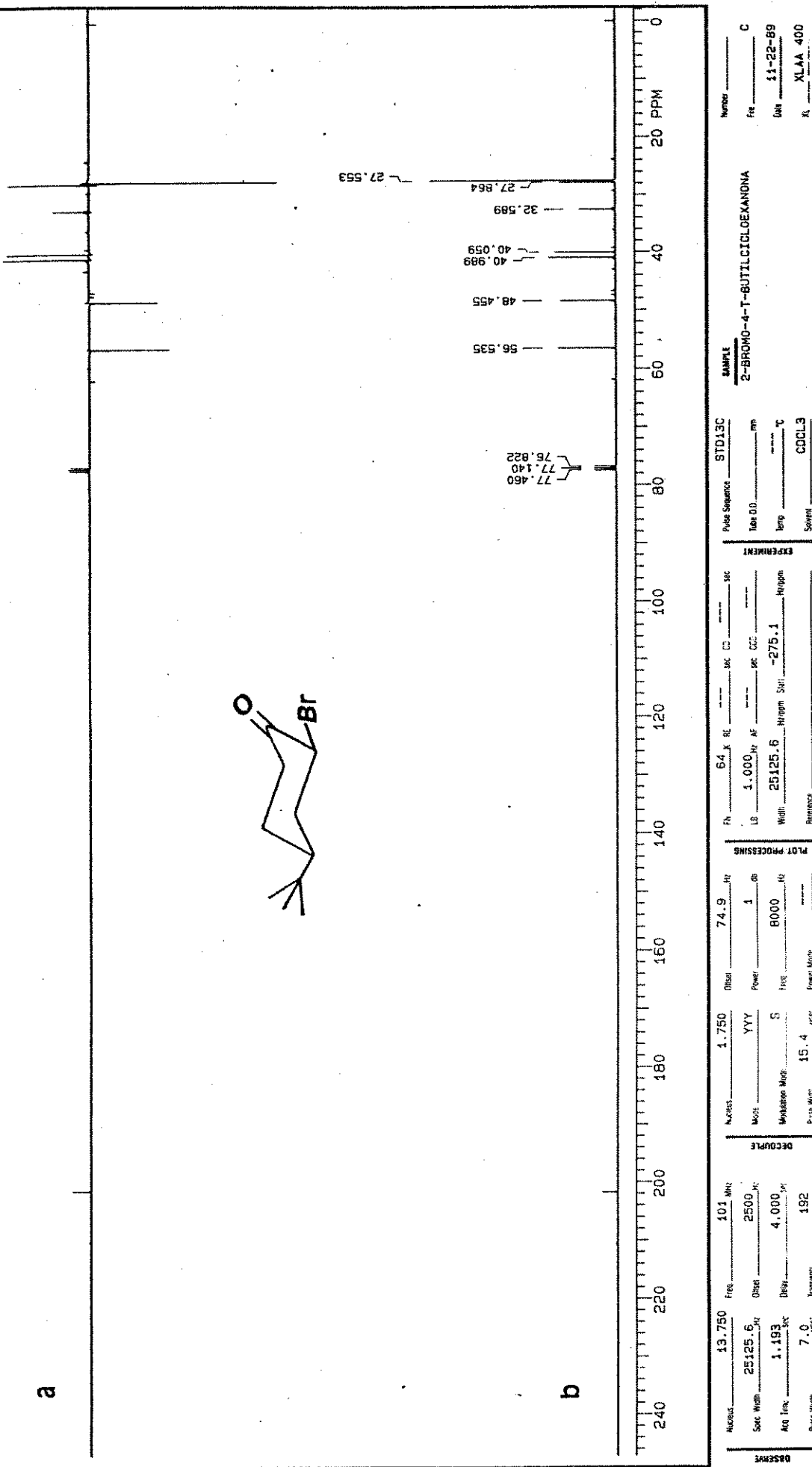


Figura B-9. Espectros de R.M.N. de ¹³C da cis-2-Bromo-4-t-butylcycloexanona.

a) "APT"

b) com dessacoplamento de próton

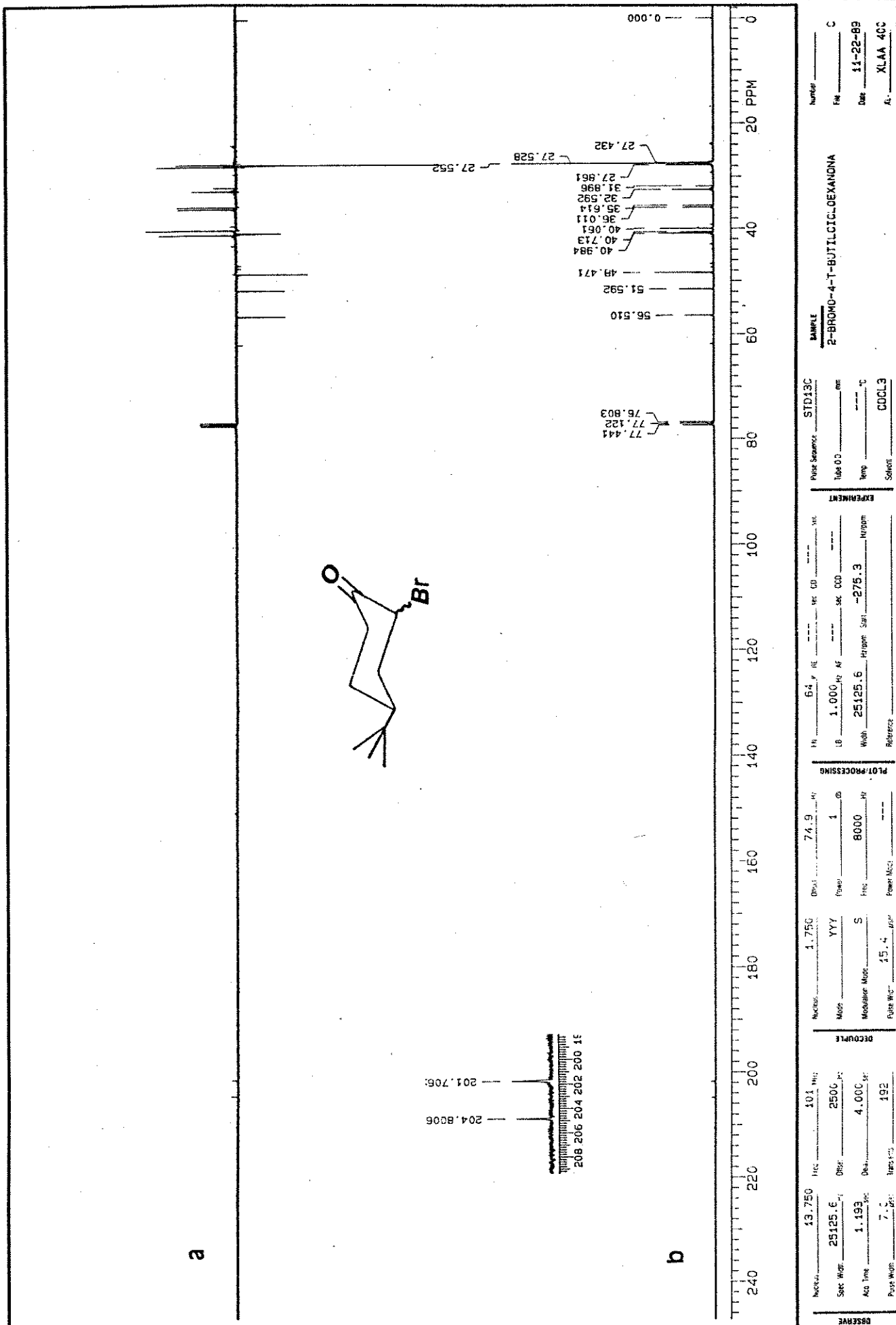
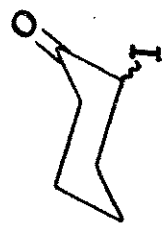


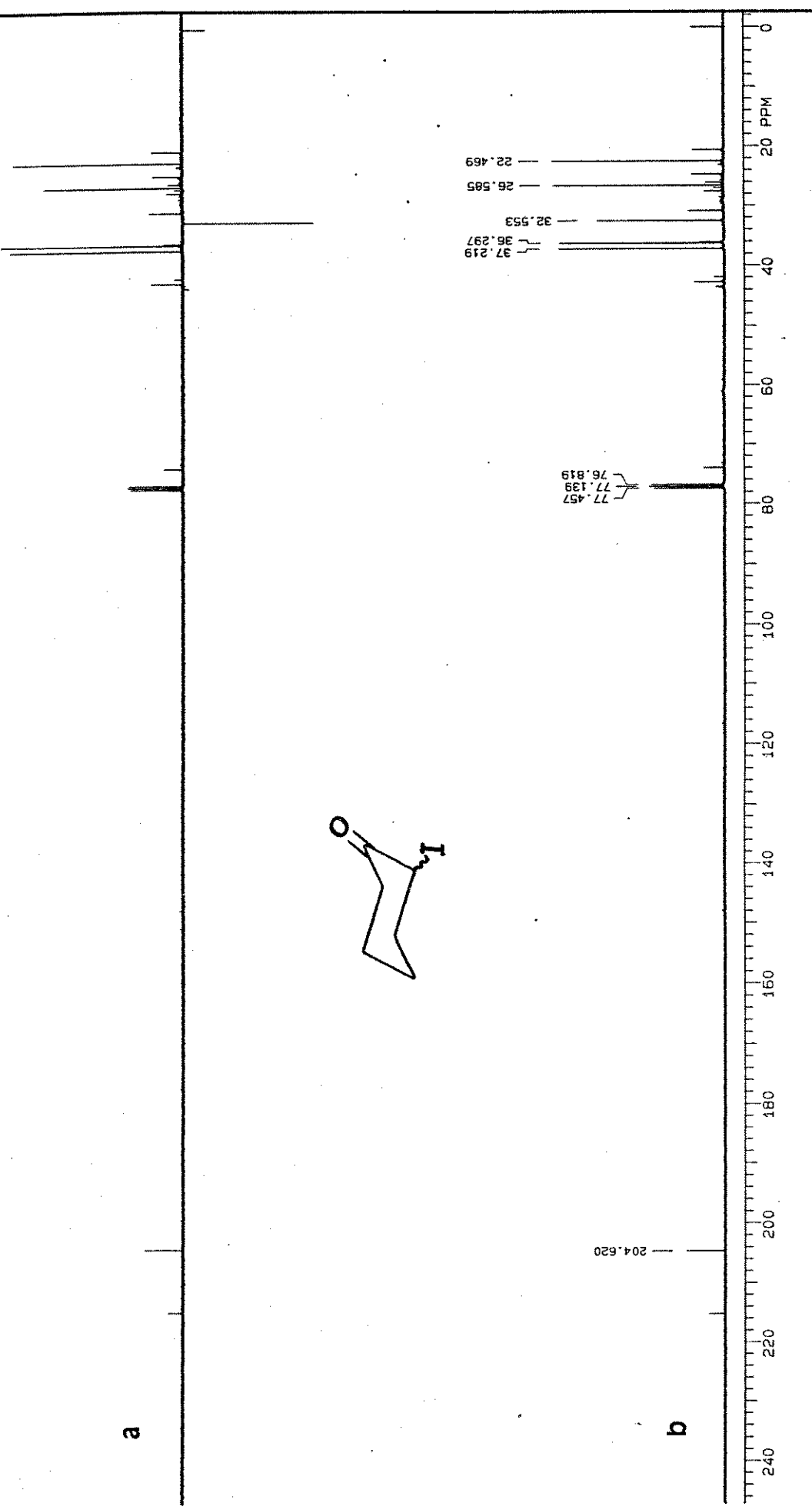
Figura B-10. Espectros de R.M.N. de ^{13}C da cis e trans-2-Bromo-4-t-butylcicloexanona.

a) "APT"
b) com desacoplamento de próton

a



b



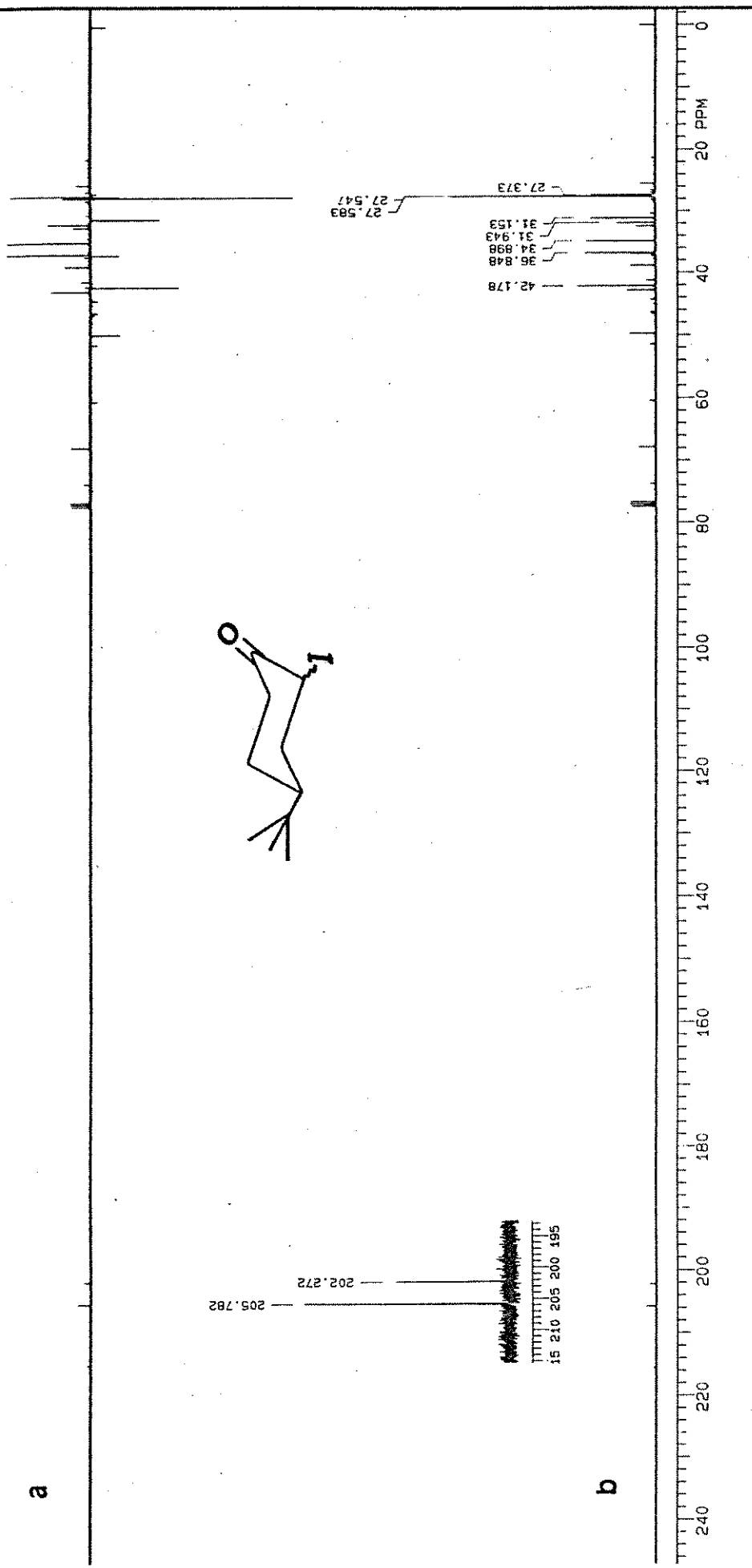
OBSERVE		ST13C		SAMPLE	
Nucleus	Freq.	Nucleus	Freq.	Name	Code
13.750	101 MHz	1.750	64.9 Hz	Pulse Sequence	ST13C
25125.6	2500 Hz	0.950	1.000 Hz	Rate 0.0	2-1DOCICLOEXANDNA
Sec. Width	0.1 sec	Mode	1 sec	Rate 0.0	C
Avg. Time	1.193 sec	Mode/Int. Rate	4.000 sec	Width	11-25-89
Pulse Width	7.0 μsec	Decoupl. Rate	5 sec	25125.6 Hz	Ideas
Pulse Width	7.0 μsec	Pulse W:	128	Hfpm Start	XLAA 400
		Pulse W:		Ref. Peak	

Figura B-11. Espectros de R.M.N. de ^{13}C da 2-Iodocicloexanona.

a) "APT"

b) com desacoplamento de próton

a



b

SPECTRUM		SAMPLE		NUMBER	
13.750	Hz	101	MHz	74.9	Hz
25125.6	Hz	2500	MHz	64	Hz
Sect Wdm	0%	0.054		Power	1.000
Ave Time	1.193	Sec	4.000	sec	sec
Plot Wdm	7.5	Transf.	192	Modulation Mhz	8000
DECOUPLED		DECOUPLED		Pulse Sequence	
Freq.		Freq.		STD13C	
Wdm		Wdm		Rate 00	
Hertz		Hertz		mm	
Power		Power		Temp	
Modulation		Modulation		Reference	
Freq.		Freq.		Solvent	
Wdm		Wdm		DDCL3	
Hertz		Hertz		XLAA 400	
Power		Power		K	
Modulation		Modulation		C	
Freq.		Freq.		Date	
Wdm		Wdm		11-25-89	
Hertz		Hertz		File	
Power		Power		XLAA	
Modulation		Modulation		400	
Freq.		Freq.		K	
Wdm		Wdm		C	
Hertz		Hertz		Date	
Power		Power		11-25-89	
Modulation		Modulation		File	
Freq.		Freq.		XLAA	
Wdm		Wdm		400	
Hertz		Hertz		K	

Figura B-12. Espectros de R.M.N. de ^{13}C da cis e trans-4-t-Butil-2-iodocicloexanona.

- a) "APT"
b) com desacoplamento de próton

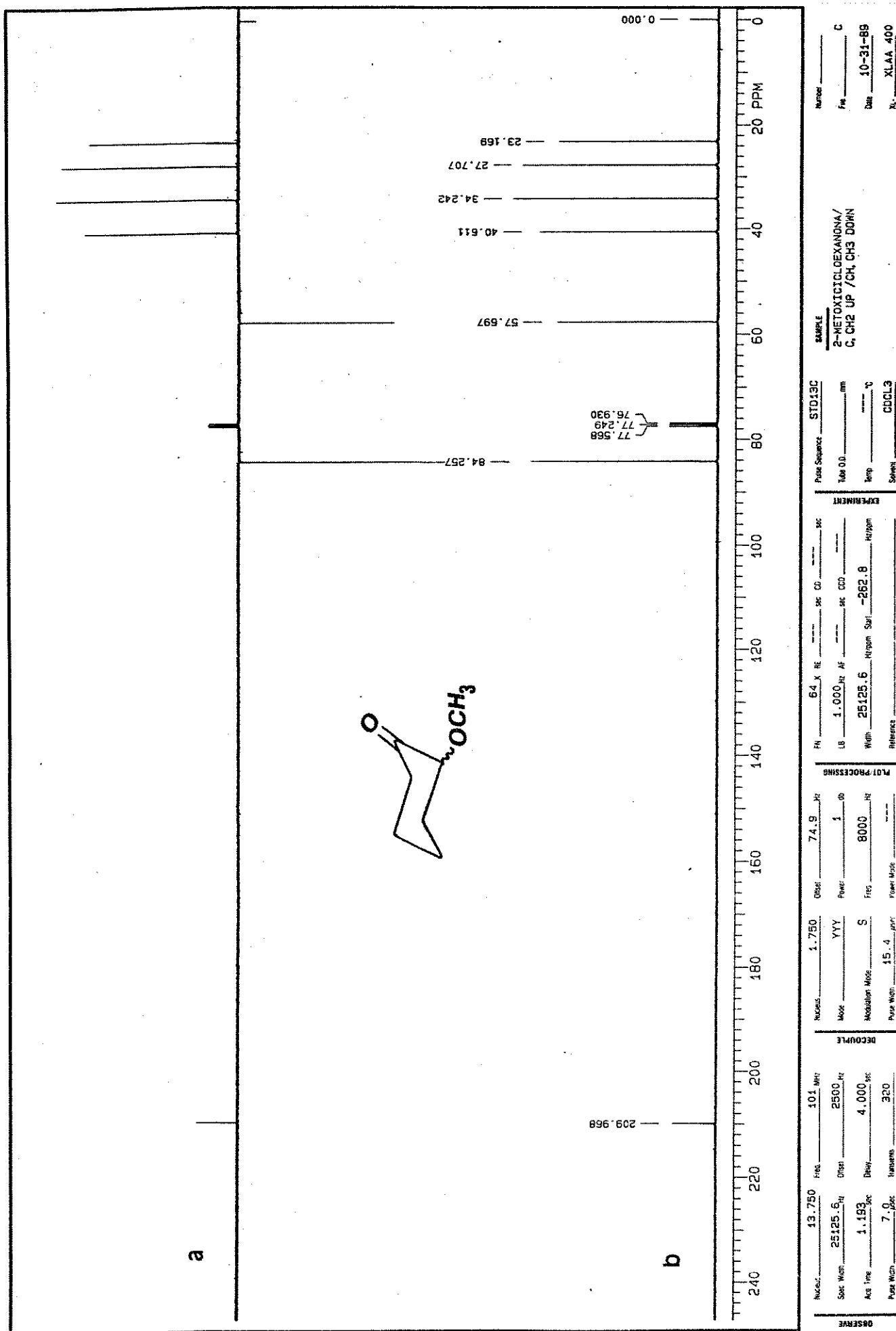
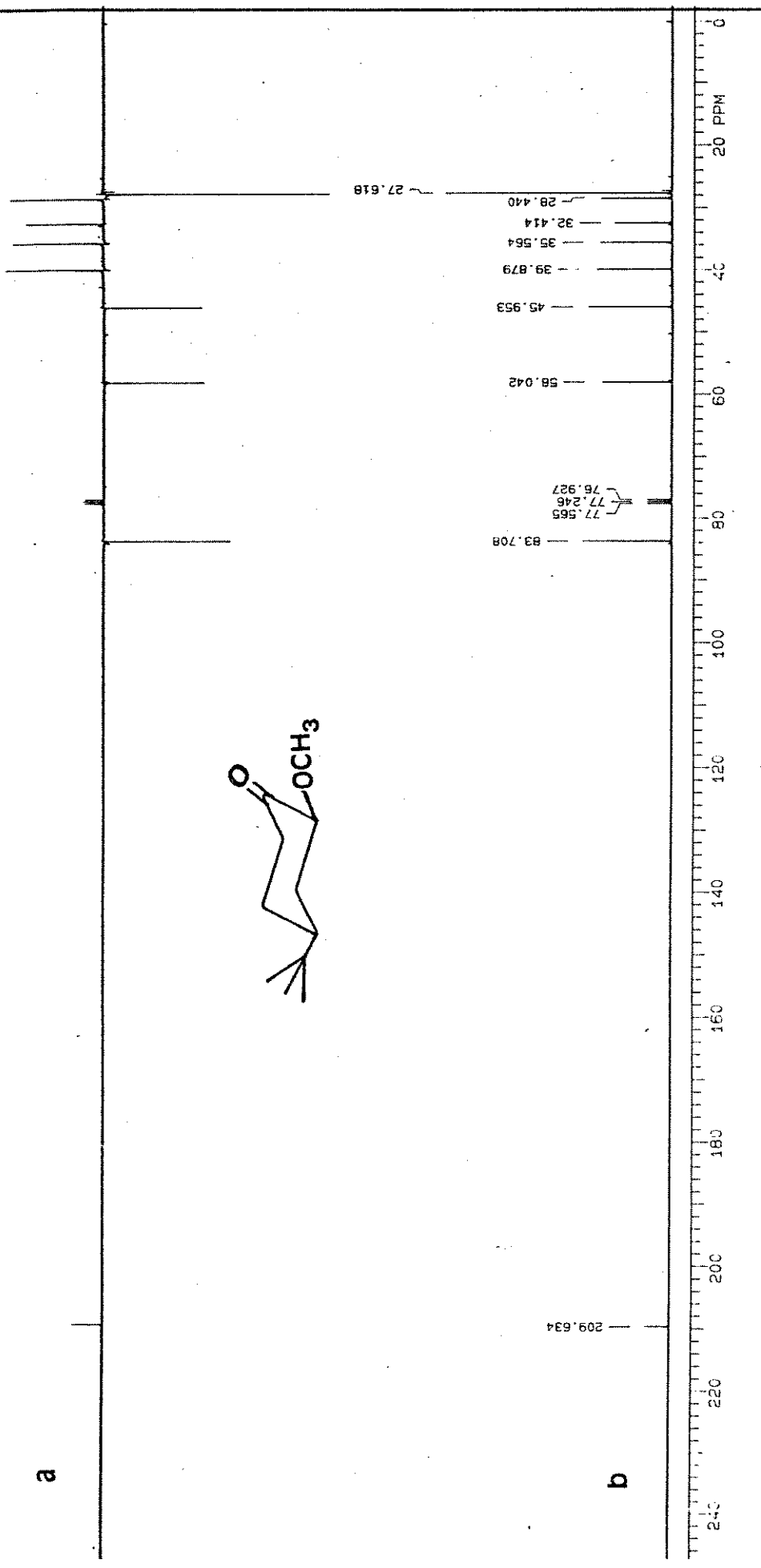


Figura B-13. Espectros de R.M.N. de ^{13}C da 2-Metoxicicloexanona.

a



b



SAMPLE		STD 13C		Number	
2-METOXI-4-T-BUTYLCLOCOXANO				File	
				Date	
Pulse Width:	1.000	Pulse Width:	1.000	100.00	mm
Exp. Time:	1 sec	Exp. Time:	1 sec	Temp.	°C
WIDP:	25125.6	WIDP:	25125.6	Hipar:	
Mod. Mode:	S	Mod. Mode:	S	Spans:	
Print WIDP:	8000	Print WIDP:	8000	Ref.:	
Print Mod.:	15.4	Print Mod.:	15.4	Scans:	
Print WIDP:	256	Print WIDP:	256		
Print Mod.:	6.5	Print Mod.:	6.5		
Print WIDP:	400	Print WIDP:	400		
Print Mod.:	400	Print Mod.:	400		

Figura B-14. Espectros de R.M.N. de ^{13}C da cis-4-t-Butil-2-metoxicicloexanona.

a) "APT"

b) com desacoplamento de próton

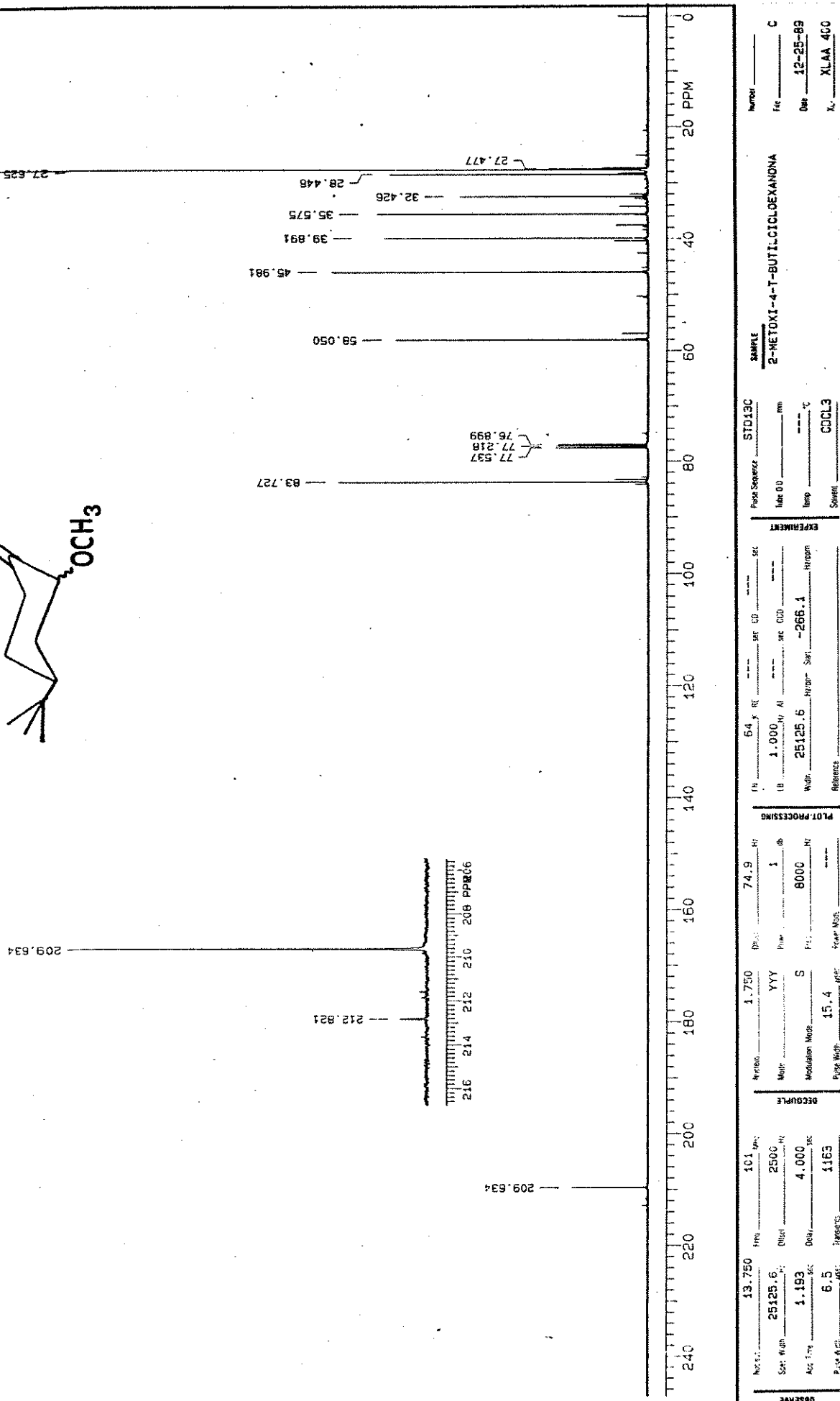
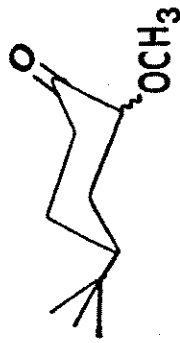
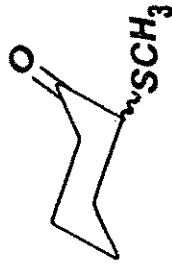


Figura B-15. Espectro de R.M.N. de ^{13}C da trans-4-t-Butil-2-metoxicloexanona.

a



b

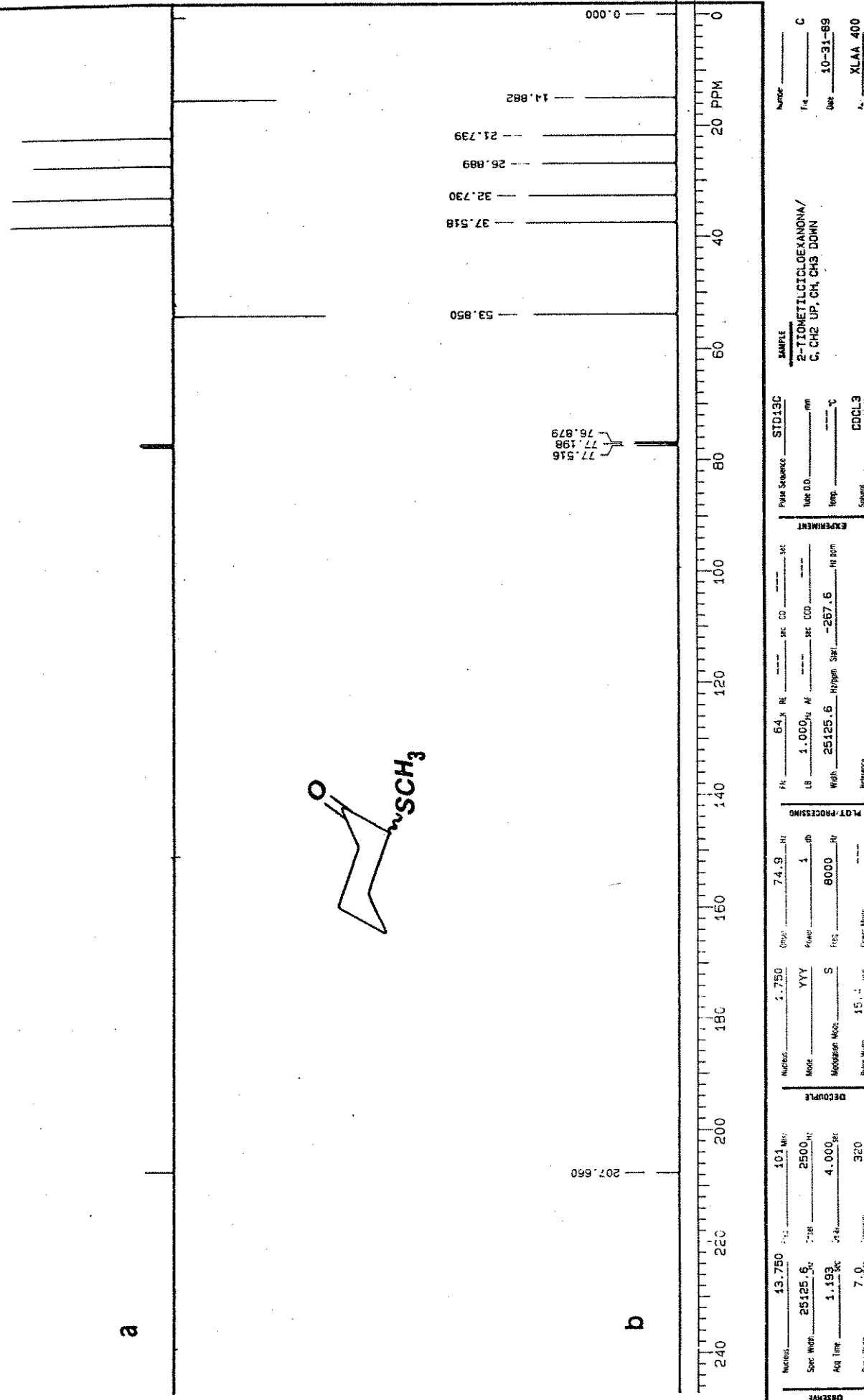


Figura B-16. Espectros de R.M.N. de ^{13}C da 2-Metiltiocloexanona.

- "APT"
- com desacoplamento de próton

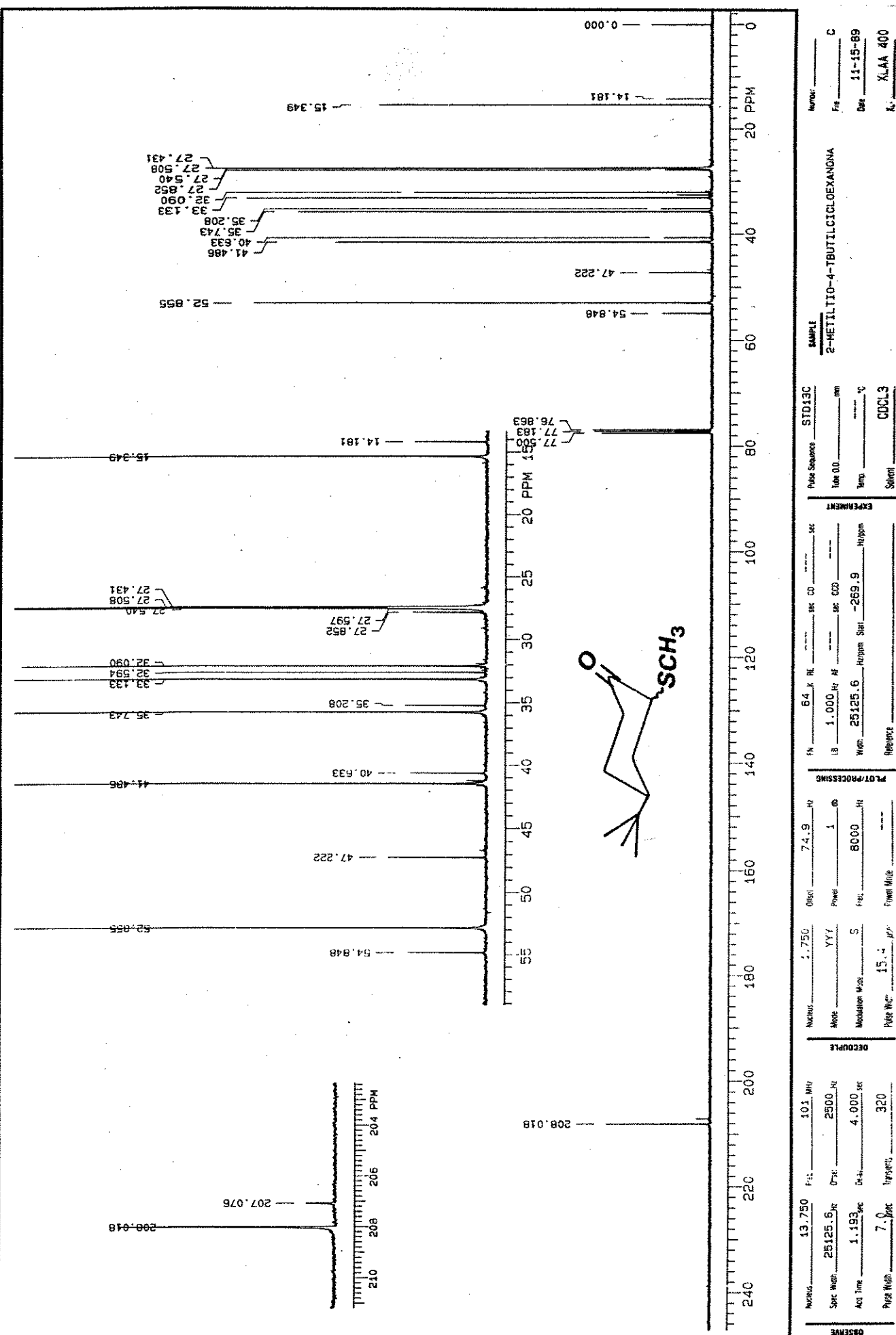


Figura B-17. Espectros de R.M.N. de ^{13}C da cis e trans-4-t-Butil-2-metiltiocloexanona.

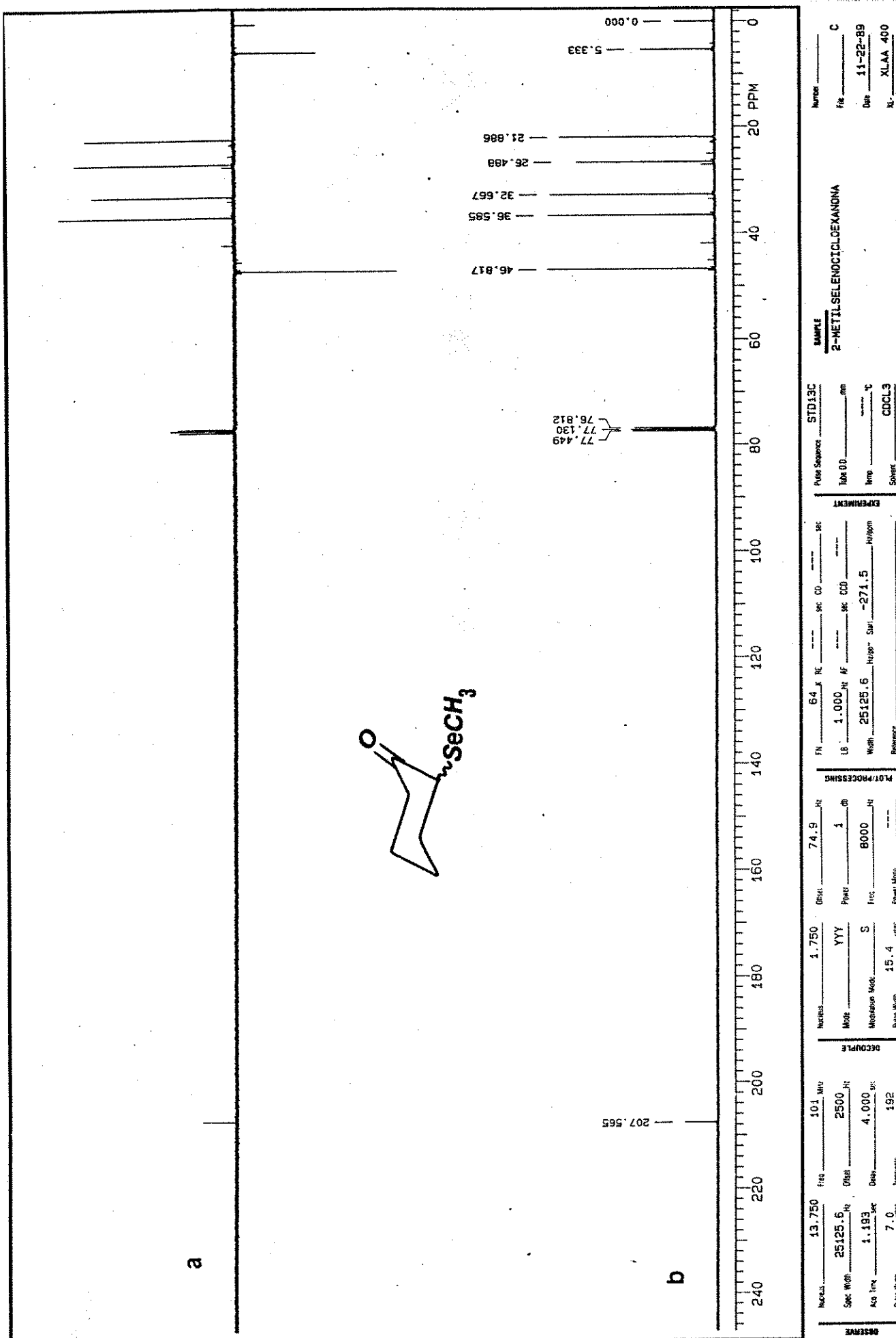


Figura B-18. Espectros de R.M.N. de ^{13}C da 2-Metilselenocicloexanona.

- a) "APT"
b) com desacoplamento de próton

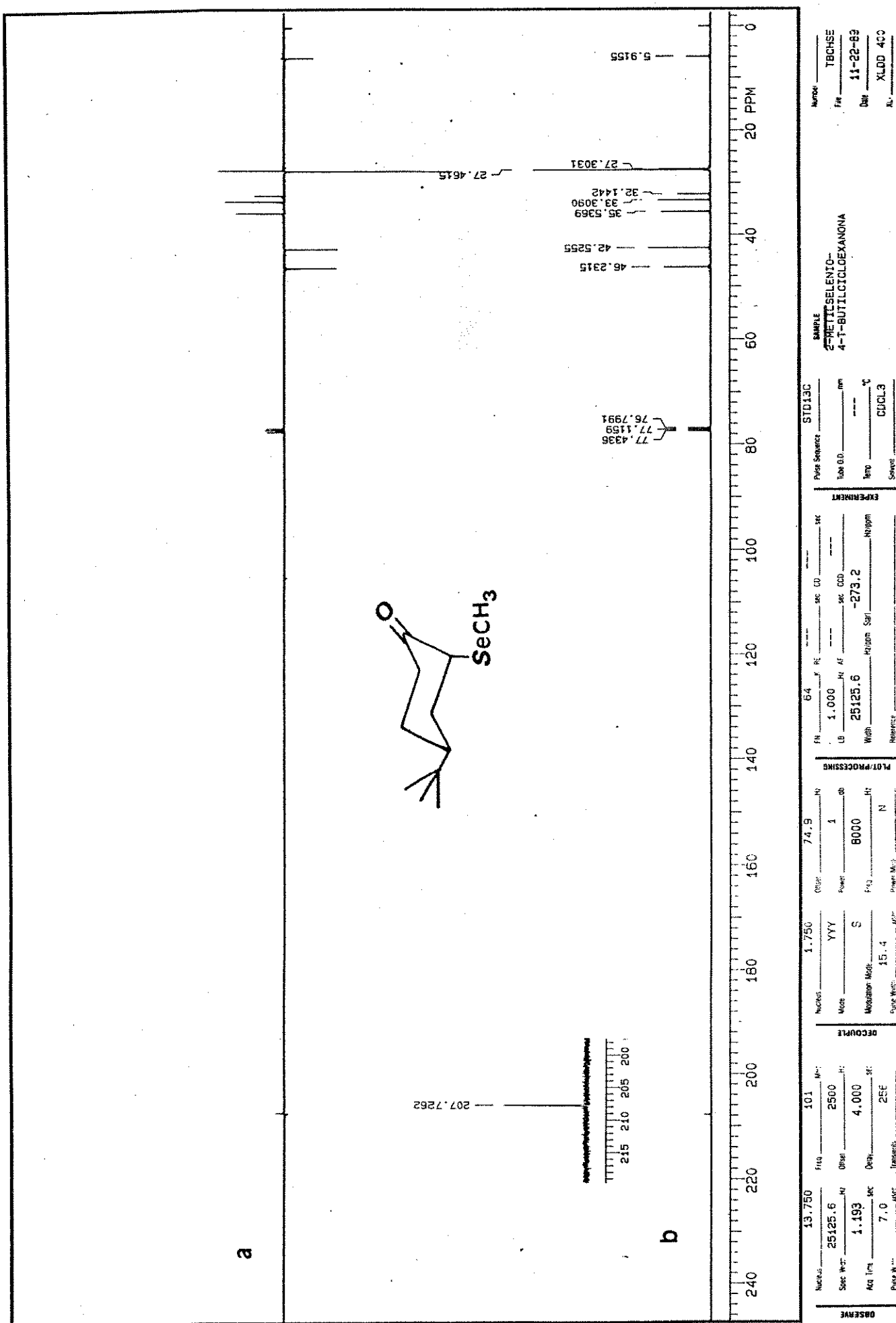


Figura B-19. Espectros de R.M.N. de ¹³C da trans-4-t-butil-2-metilselenocloexanona.

a) "APT"
b) com desacoplamento de próton

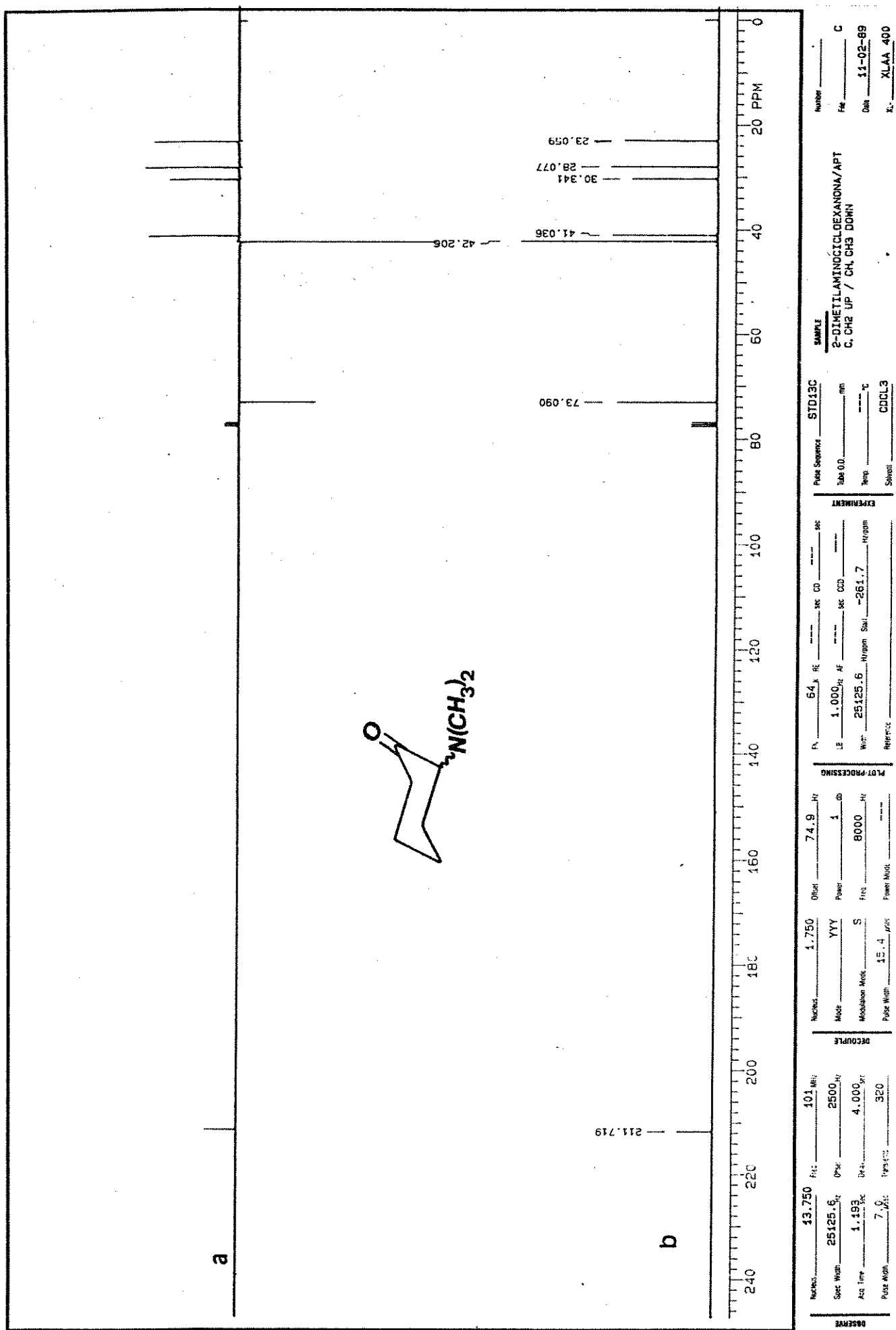


Figura B-20. Espectros de R.M.N. de ^{13}C da 2-N,N-Dimetilaminocloexanona.

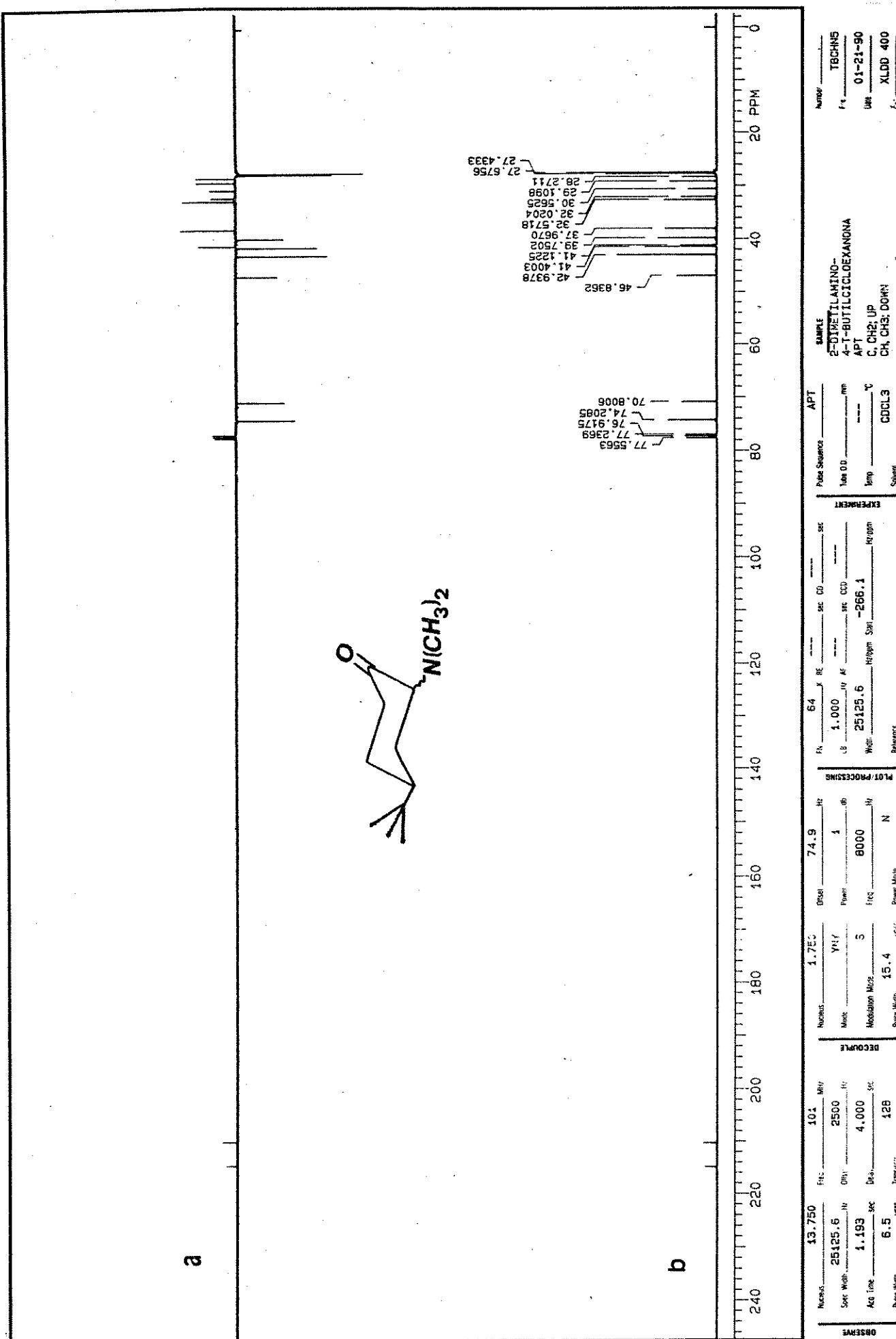


Figura B-21. Espectros de R.M.N. de ^{13}C da cis e trans-4-t-Butil-2-N,N-dimetilaminocicloexanona.

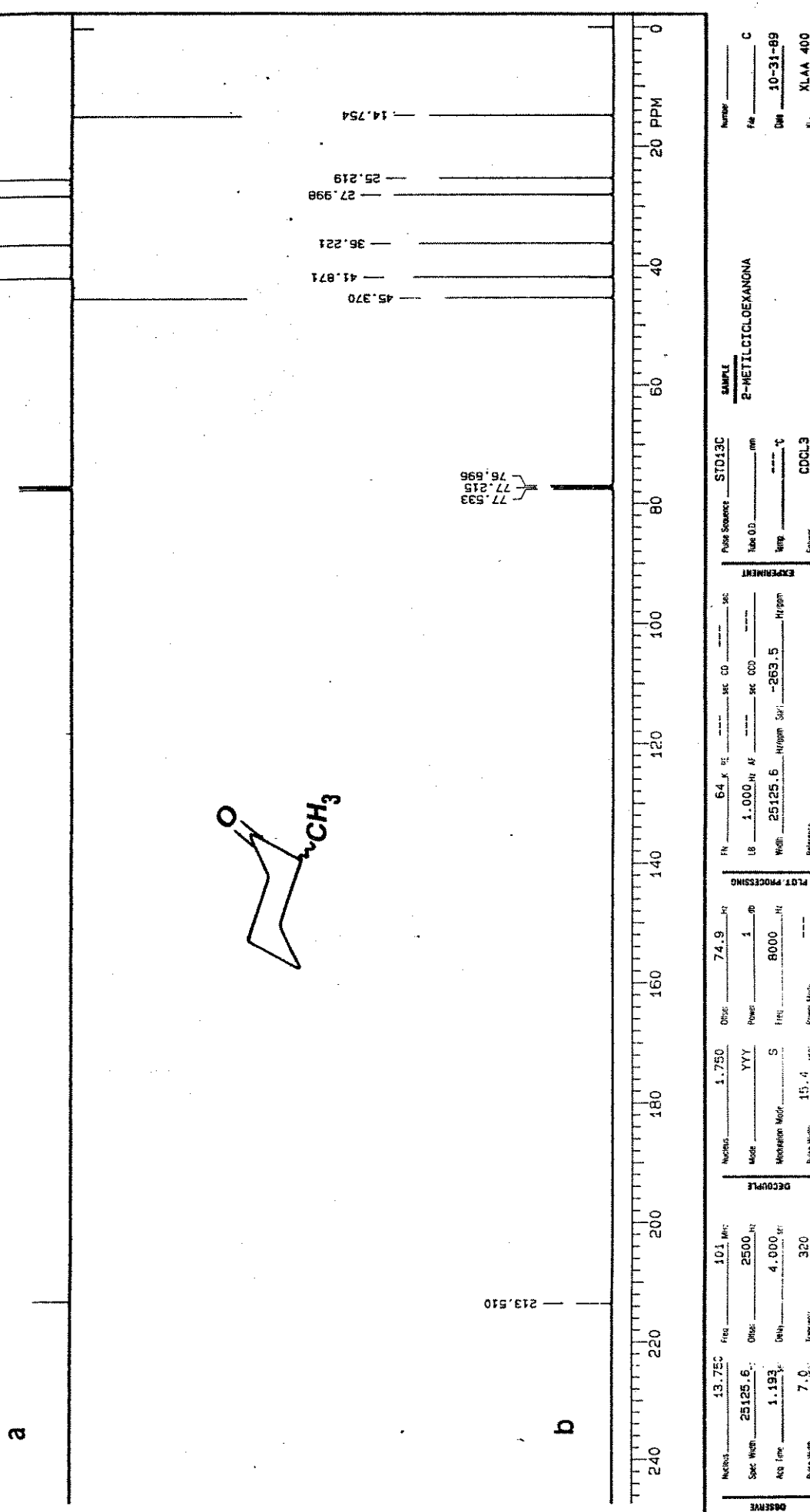


Figura B-22. Espectros de R.M.N. de ¹³C da 2-Metilcicloexanona.

- "APT"
- com desacoplamento de próton

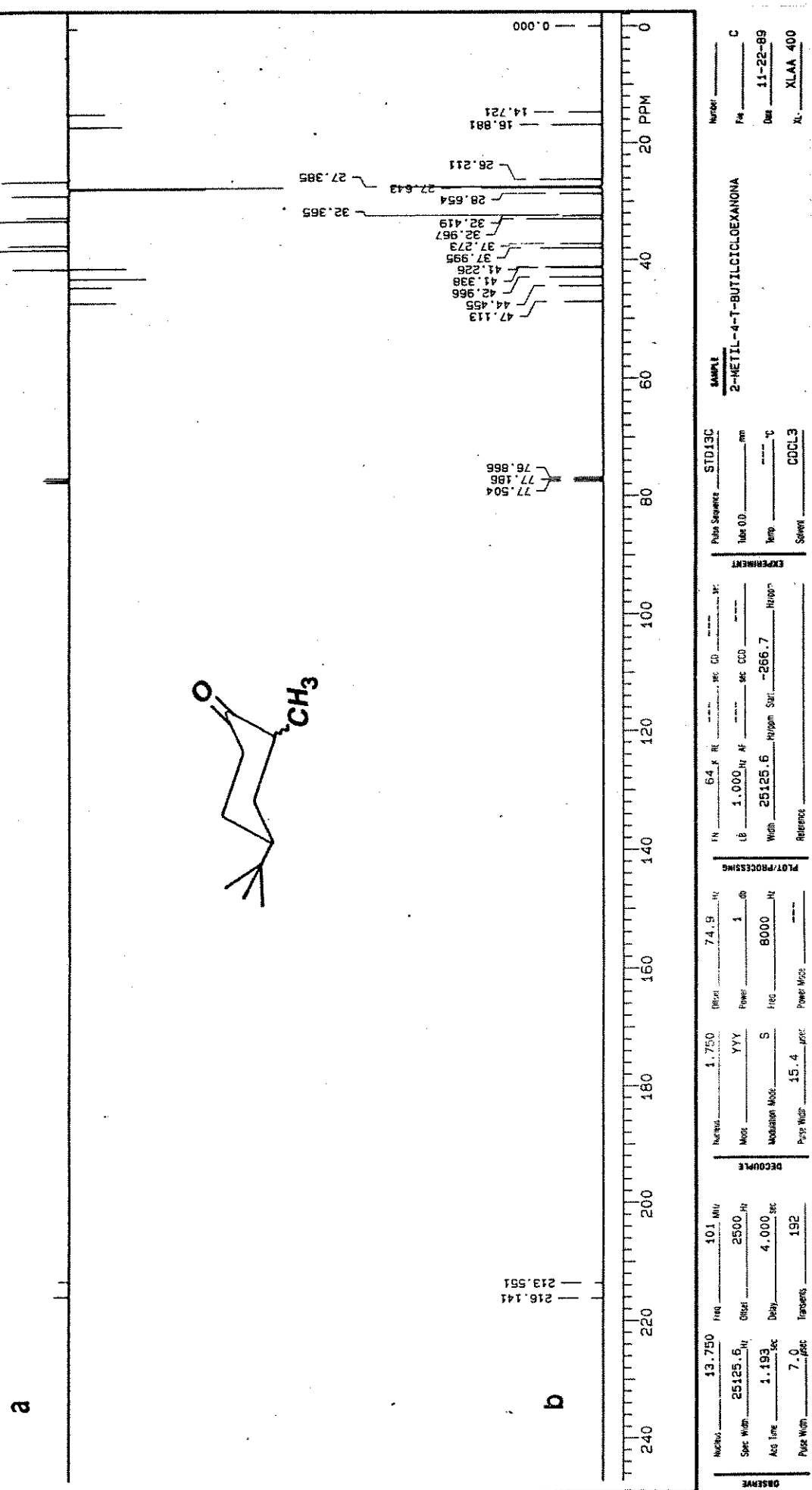


Figura B-23. Espectros de R.M.N. de ^{13}C da cis e trans-4-t-Butil-2-metilcicloexanona.

- a) "APT"
b) com desacoplamento de próton

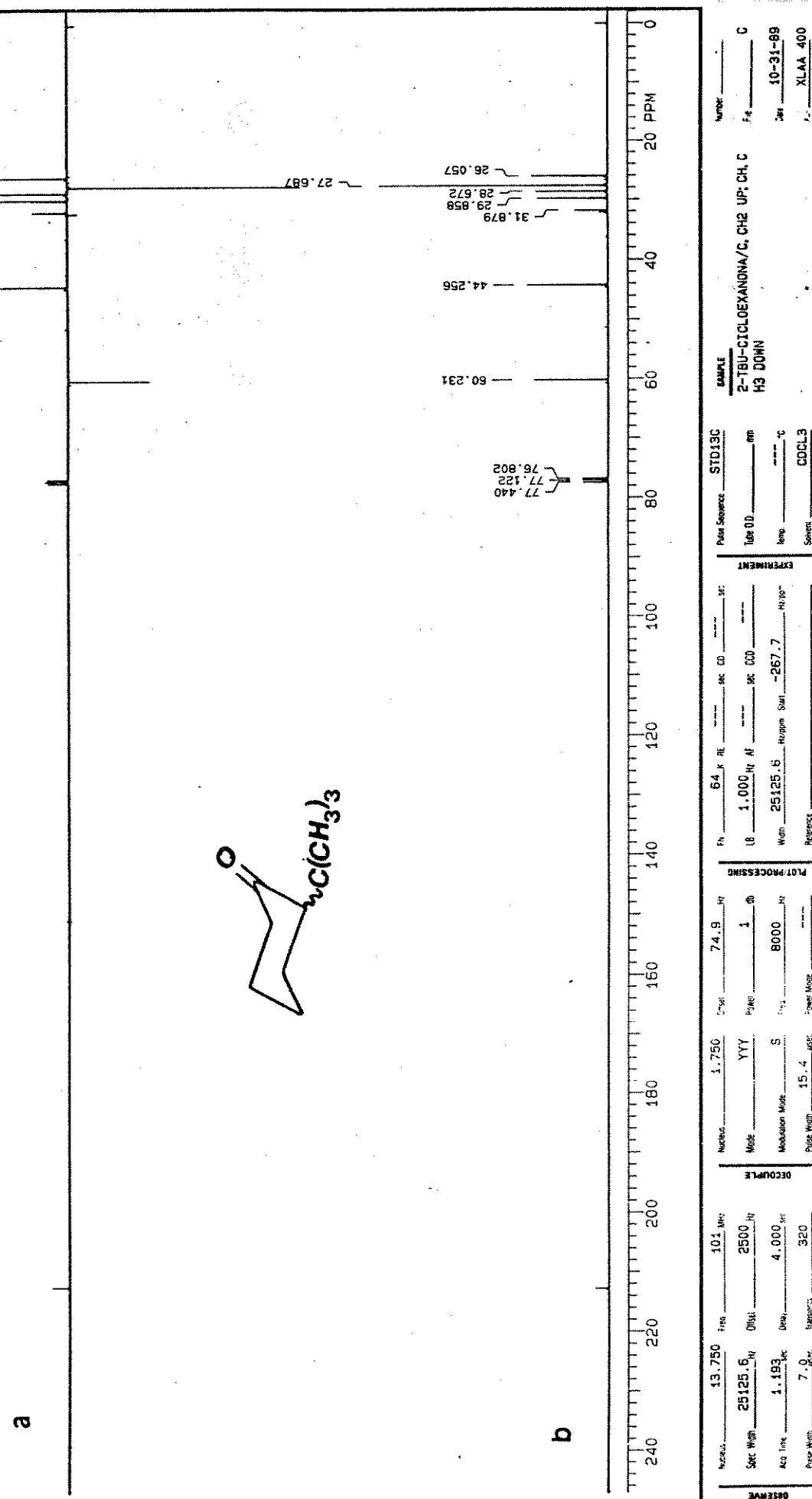


Figura B-24. Espectros de R.M.N. de ^{13}C da 2-t-Butilcicloexanona.

- a) "APT"
b) com desacoplamento de próton

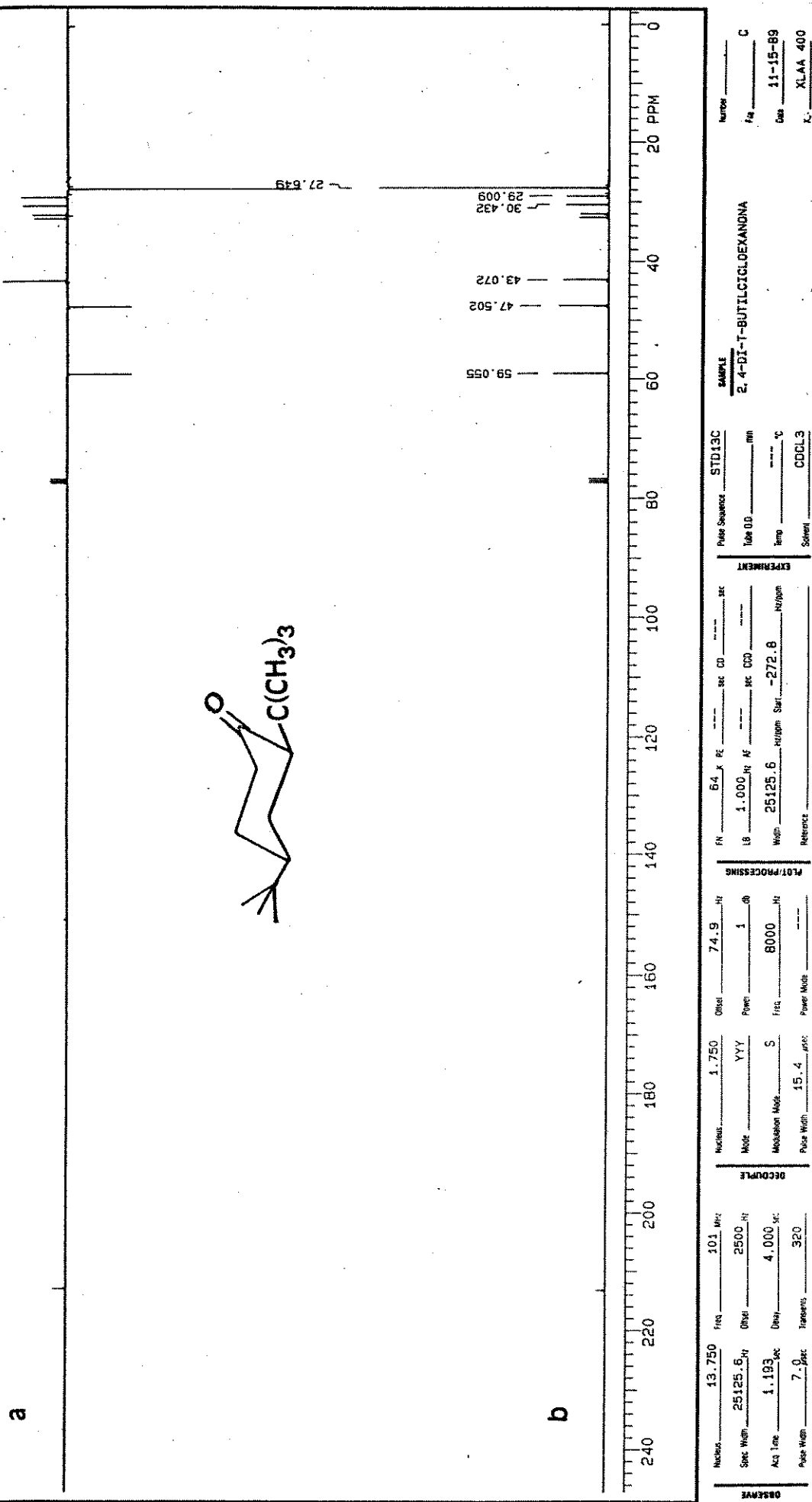
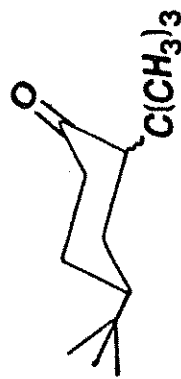


Figura B-25. Espectros de R.M.N. de ^{13}C da cis-2,4-di-t-Butilcicloexanona.

a



b

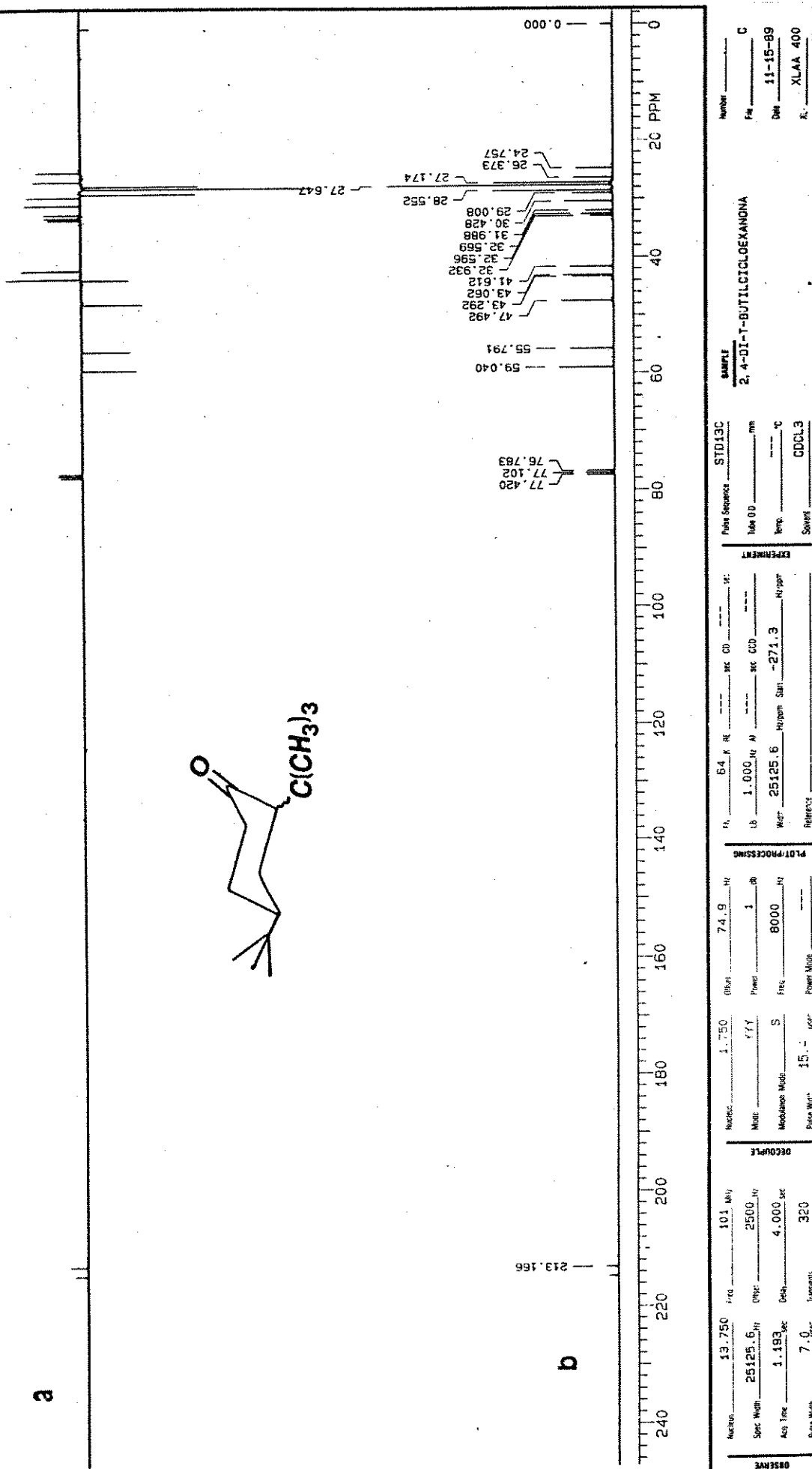


Figura B-26. Espectros de R.M.N. de ^{13}C da cis e trans-2,4-di-t-butilcicloexanona.

- a) "APT"
b) com desacoplamento de próton

APÊNDICE C

Espectros de R.M.N. de Oxigênio-17

Figura	Composto	Página
C-1	Cicloexanona.....	215
C-2	4- <u>t</u> -Butilcicloexanona.....	216
C-3	2-Fluorcicloexanona.....	217
C-4	2-Clorocicloexanona.....	218
C-5	2-Bromocicloexanona.....	219
C-6	2-Metoxicicloexanona.....	220
C-7	2-Metiltiocicloexanona.....	221
C-8	2-Metilselenocicloexanona.....	222
C-9	2- <u>N,N</u> -Dimetilaminocicloexanona.....	223
C-10	2-Metilcicloexanona.....	224
C-11	2- <u>t</u> -Butilcicloexanona.....	225

CICLODEXANONA-017
SOLV: CHCL₃
ENZY: DAD

EXP1 PULSE SEQUENCE: S2PUL
DATE 12-04-89
SOLVENT D2O
FILE CHO

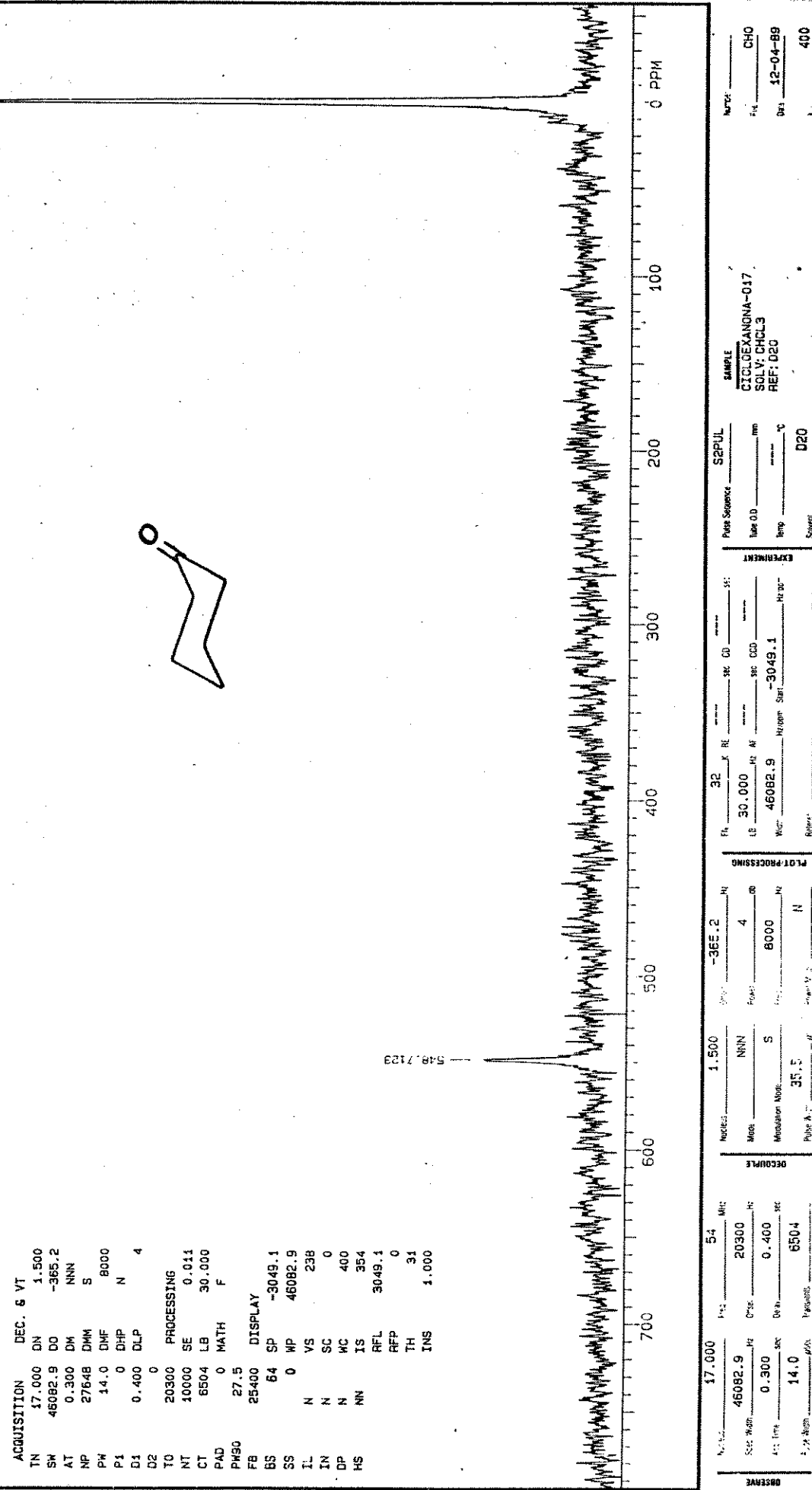


Figura C-1. Espectro de R.M.N. de ^{170}Ta Cicloexanona.

4-T-BUTYL CLOEXANDNA-017
SOLV: CHCL₃
REF: D20

EXPI PULSE SEQUENCE: S2PUL
DATE 12-12-89
SOLVENT D2O
FILE TECH1

ACQUISITION	DEC.	&	VT
TN	17.000	DN	1.500
SW	46082.9	DO	-365.2
AT	0.300	DMM	NNN
NP	27648	DMM	S
PW	14.0	DMF	8000
P1	0	DHP	N
D1	0.400	DLP	4
D2	0		
TO	20300	PROCESSING	
NT	20000	SE	0.011
CT	11408	LB	30.000
PAC	0	FN	65535
PR90	27.5	AF	0.090
FB	25400	MATH	F

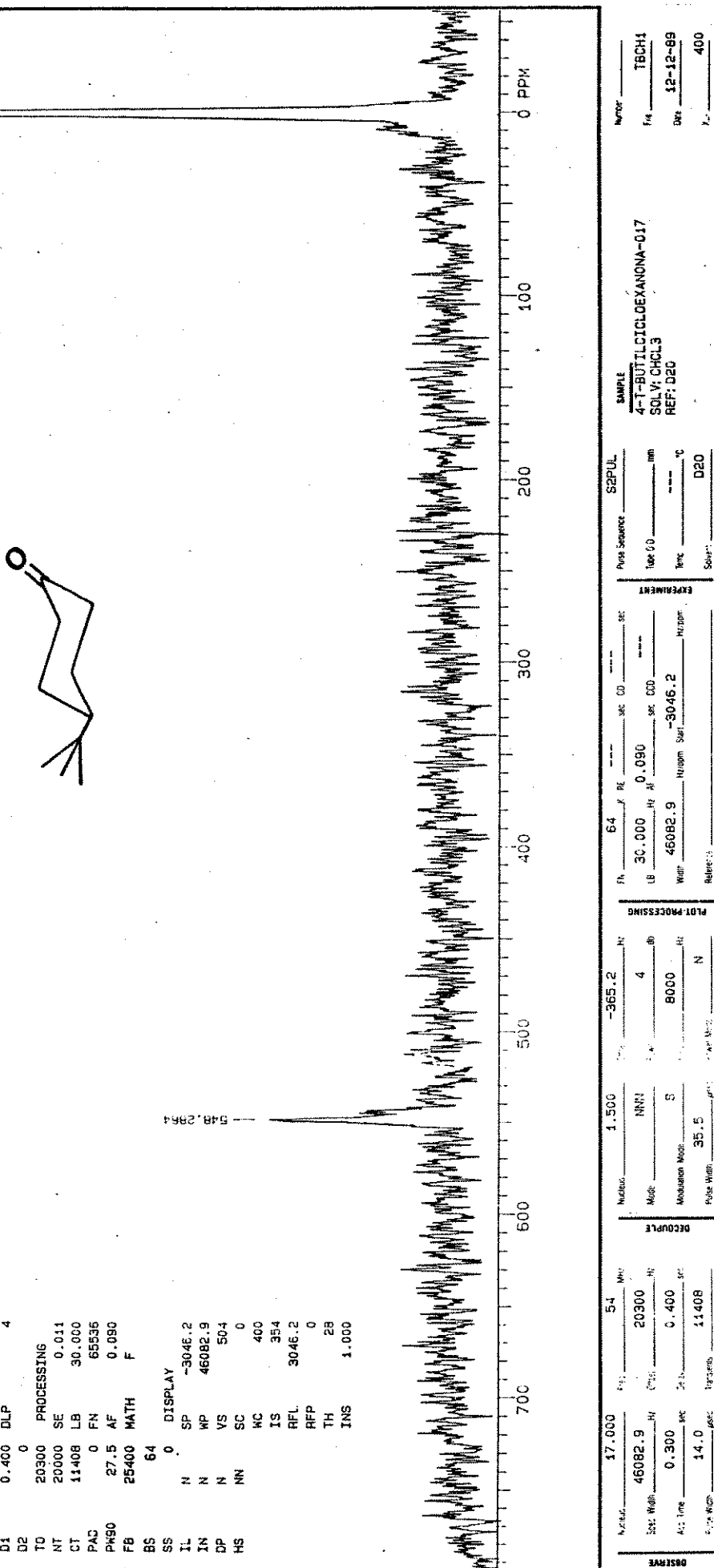


Figura C-2. Espectro de R.M.N. de $170\text{ da }4\text{-t-Butilcicloexanona}$.

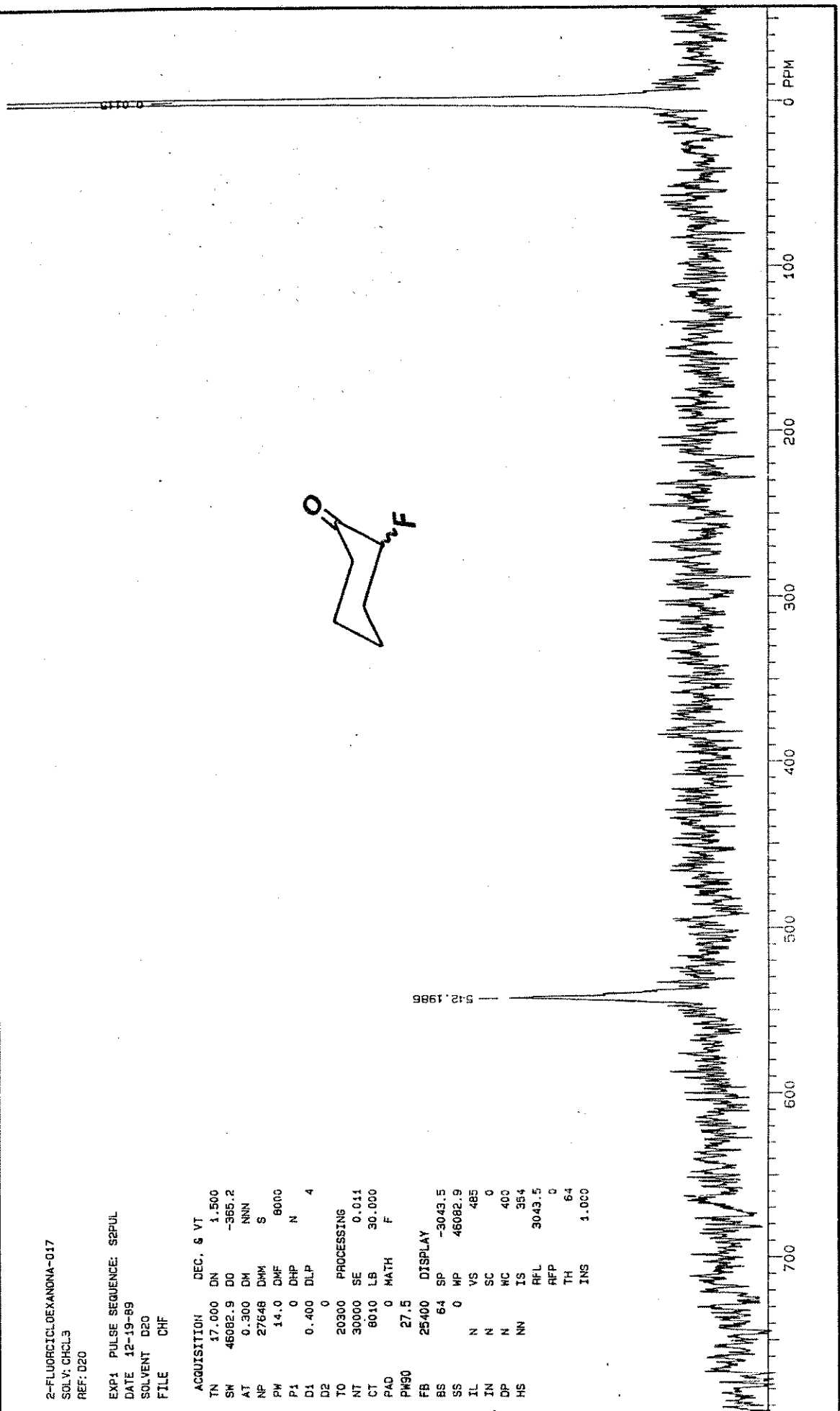
2-FLUOROCYCLOEXANONE-017
SOLV: CHCl₃
REF: D2O

EXP1 PULSE SEQUENCE: SE2PUL
DATE 12-19-89
SOLVENT D2O
FILE CHF

ACQUISITION	DEC.	S	VT
TN	17.000	DN	1.500
SW	46082.9	DD	-365.2
AT	0.300	DH	NNN
NP	27648	DHM	S
PW	14.0	DHF	8000
P1	0	DHP	N
D1	0.400	DLP	4
D2	0		
TO	20300	PROCESSING	
NT	30000	SE	0.041
CT	6010	LB	30.000
PAD	0	MATH	F
PH90	27.5		
FB	25400	DISPLAY	
BS	64	SP	-3043.5
SS	0	WP	46082.9
IL	N	VS	485
JN	N	SC	0
DP	N	HC	400
HS	NH	TS	354
RFL			
RFP	D		
TH	64		
INS	1.000		



5-12-1989



Acq. No.	17.000	Sec	54	Offst:	20300	NumBrs	1.500	DecPw:	-365.2	H1	32	SPW:	9	Phase	SPUL:	Sample
Sec/Wdt	46082.9	Hz				Mode	NNN	ForC:	4	dt						2-FLUOROCYCLOEXANONE-017
Acc. Time	0.300	sec				Modulation Mode	S	Int:		8000						SOLV: CHCl ₃
Pulse Width	14.0	μsec				DecPw:	35.5	Wdt:								REF: D2O
						Pulse Width:	8010	Wdt:								0.0

SAUS2550

Figura C-3. Espectro de R.M.N. de 170 da 2-Fluorocycloexanona.

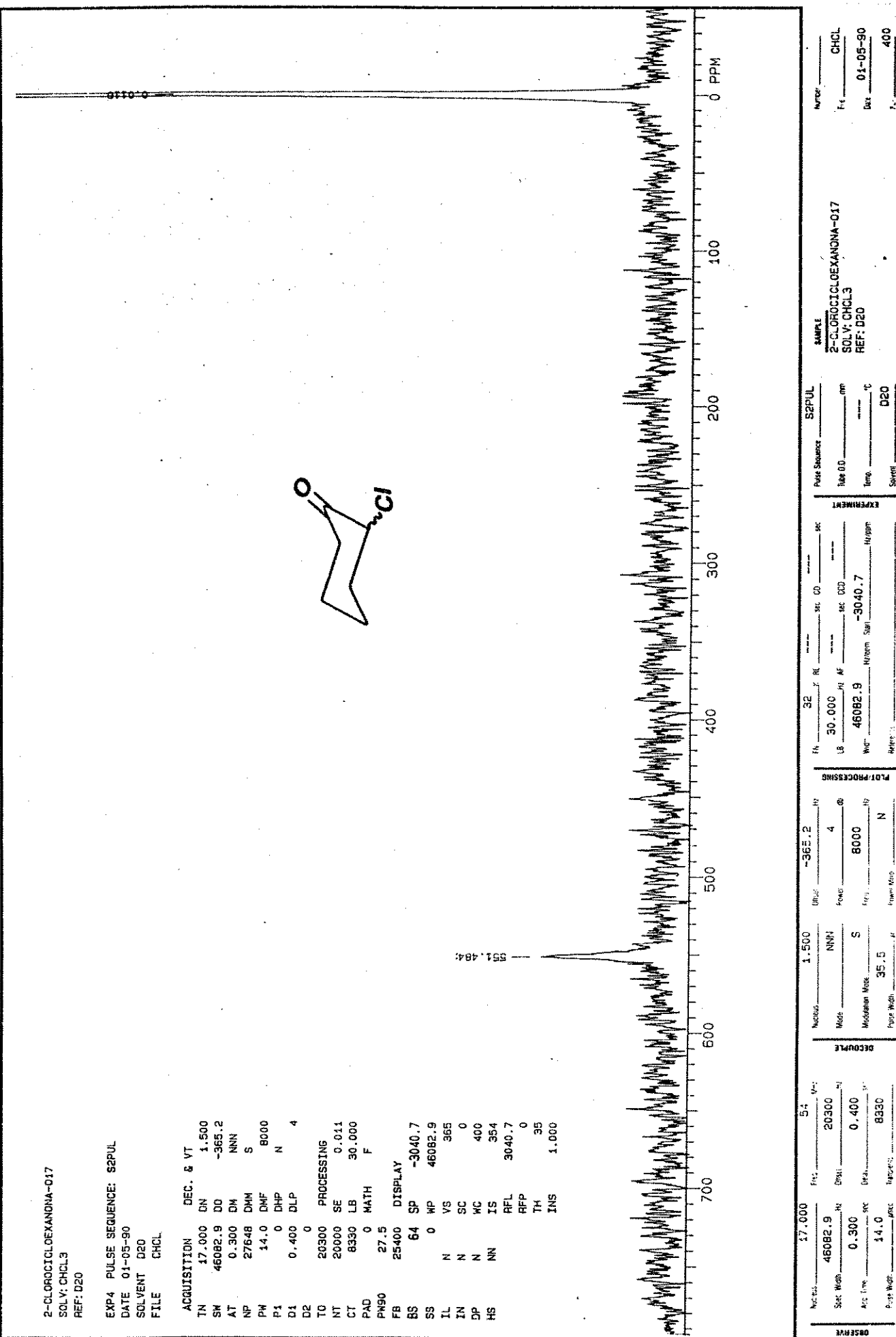


Figura C-4. Espectro de R.M.N. de 170 da 2-Clorocloexanona.

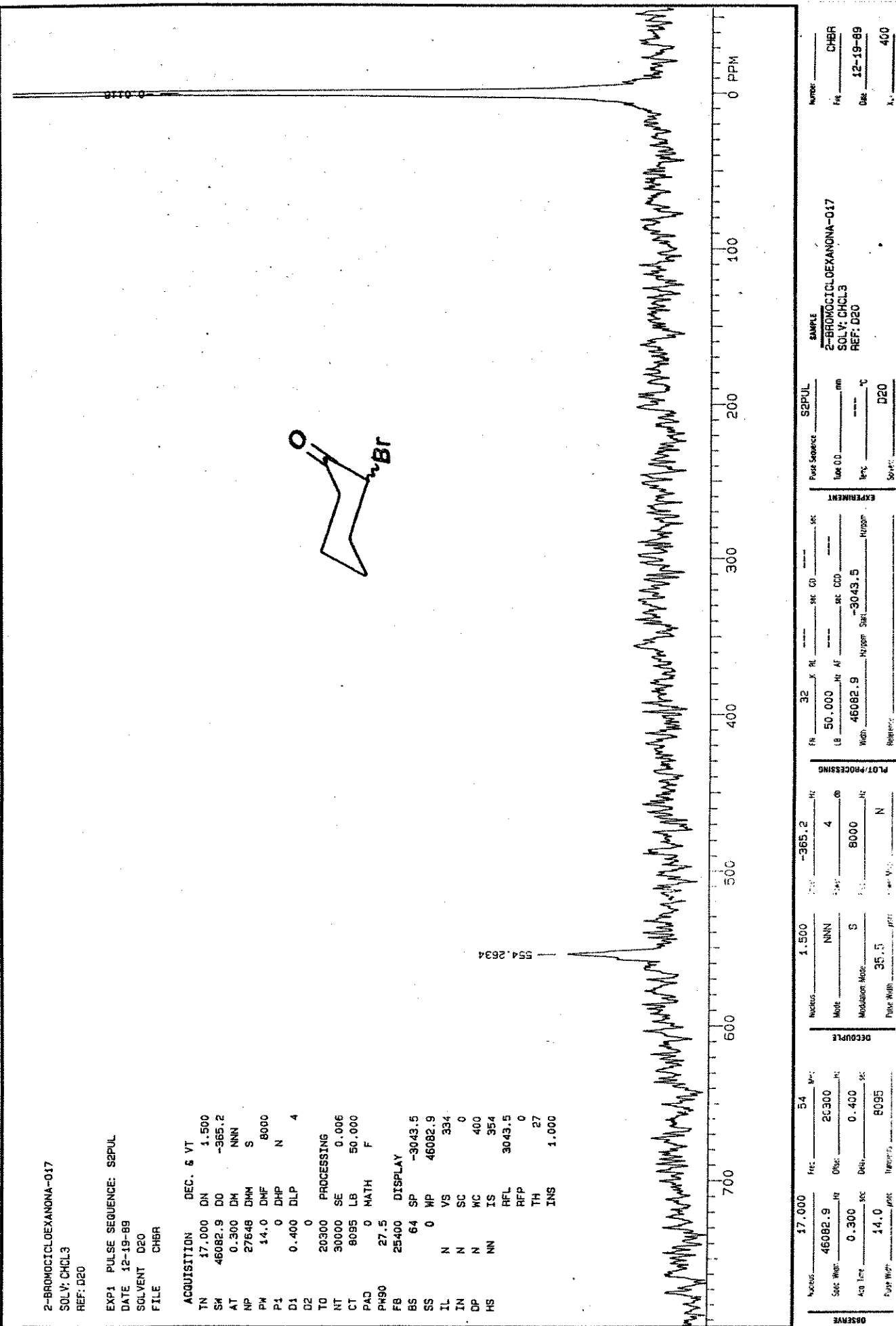


Figura C-5. Espectro de R.M.N. de ^{17}O da 2-Bromocloexanona.

2-METOXICLOEXANONA-017
SOL: V: CHCl₃
REF: D20

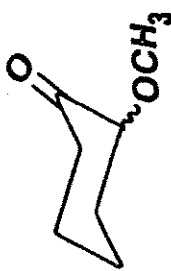
EXP4 PULSE SEQUENCE: S2PUL

DATE 01-05-90

SOLVENT D20

FILE CHO

ACQUISITION DEC. & VT
TN 17.000 DN 1.500
SW 46082.9 DO -365.2
AT 0.300 DM NNN
NP 27648 DHM S
PH 14.0 DMF 8000
P1 0 DHP N
D1 0.400 DL.P 4
D2 0
T0 20300 PROCESSING
NT 20000 SE 0.006
CT 14090 LB 50.000
PAD 0 MATH F
P950 27.5
FB 25400 DISPLAY
BS 64 SP -3043.5
SS 0 MP 46082.9
IL N VS 461
IN N SC 0
DP N WC 400
HS NN IS 354
RFL 3043.5
RFP 0
TH 25
INS 1.000



Freq. 54 MHz
Oscil. 20300 Hz
Det. 0.400 sec
Pulse Width 14.0 usec

Freq.

Oscil.

Det.

Pulse Width

Hz

Hz

sec

usec

Mode

Modulation Mode

DECOUPLE

Pulse Width

Hz

Hz

sec

usec

Point

N

Hz

usec

Ref.

N

Hz

usec

Rate

Hz

Hz

usec

Time

Hz

Hz

usec

Width

Hz

Hz

usec

Temp

Hz

Hz

usec

Reference

N

Hz

usec

Time AD

Hz

Hz

usec

Time DD

Hz

Hz

usec

Time CD

Hz

Hz

usec

Time EXP3N3

Hz

Hz

usec

Time HZ

Hz

Hz

2-METHYLIODOEXANONA-017
SC. V: CHCL₃
REF: D20

EXP1 PULSE SEQUENCE: S2PUL
 DATE 12-19-89
 SOLVENT D2O
 CHS

ACQUISITION DEC. 6 VI

DEPT	ITEM	QTY	UNIT	DESCRIPTION	AMOUNT
	TN	17,000	DN		1,500
	TSK	46082.9	DD		-365.2
	AT	0.300	DM	NNN	
	NP	27648	DMM	S	
	PX	14.0	DHF	N	8000
	>1	0	DHP		
	Q1	0.400	DLP		4
	32	0			
TD	20300		PROCESSING		
	RT	30000	SE		0.003
	TT	10004	LB		100,000
	AC	0	MATH	F	
	W90	27.5			
B	25400		DISPLAY		
	S	64	SP		-3043.5
	S	0	WP		46082.9
	N	VS			41.1
	N	SC			0
	N	WC			400
	NN	IS			354
	S				
	AFL				
	RFP				0
	TH				32
	INS				

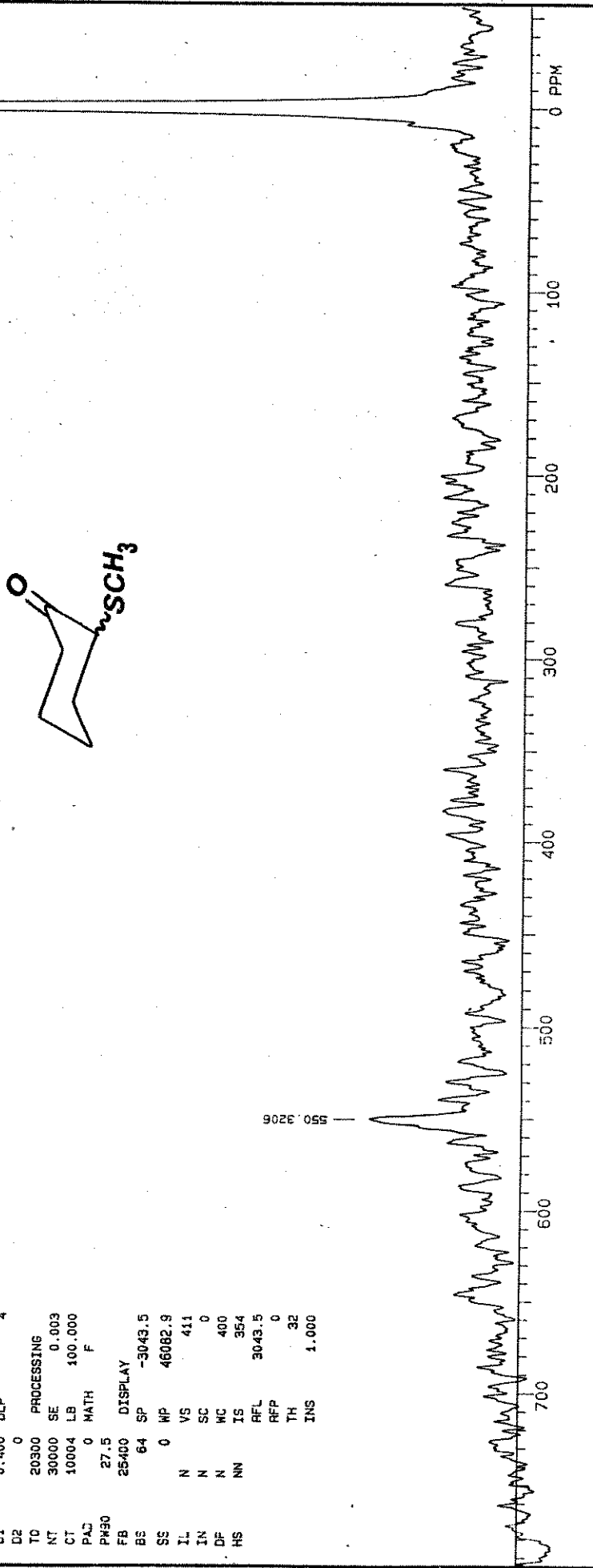


Figura C-7. Espectro de R.M.N. de C^{17}O da 2-Metiltiocloexanona.

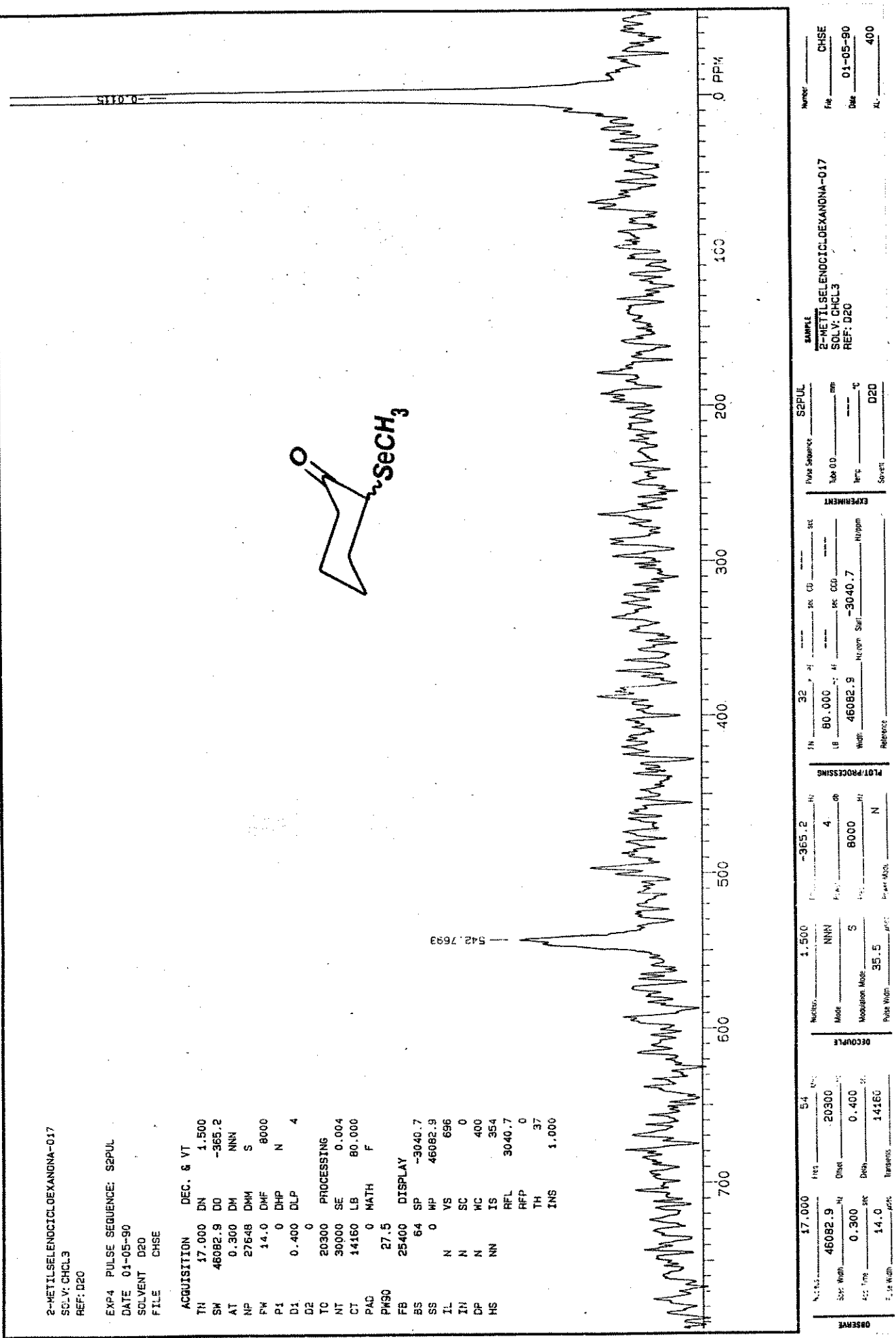


Figura C-8. Espectro de R.M.N. de ^{17}O da 2-Metilselenocloexanona.

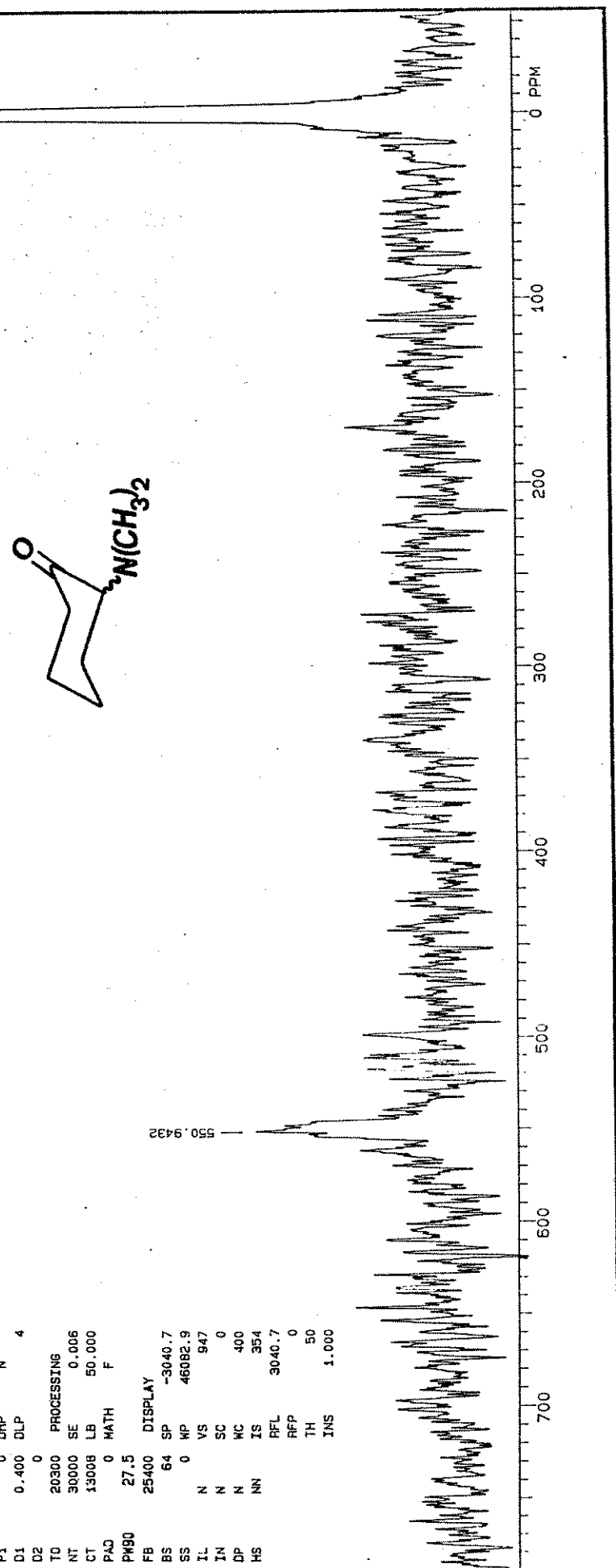
2-DIMETHYLAMINOCYCLOEXANONE-017

SOLV. CHCL₃
REF. 020

taxes the same scheme. See also

DATE 01-05-90
SOLVENT D2O
FILE CHN

	ACQUISITION	DEC.	G	VIT
TN	17.000	DN	1.500	
SW	46082.9	DO	-365.2	
AT	0.300	DN	NNN	
NP	27646	DNM	S	
PK	14.0	DMF	8090	
P1	0	DHP	N	
D1	0.400	DLP	4	
D2	0			
T0	203000	PROCESSING		
NT	30000	SE	0.006	
CT	13008	LB	50.000	



SAMPLE		2-DIMETHYLAMINOCYCLODEXANONE-017		CHN	
		SOLV:	HCl:3	REF: D20	DATE: 01-05-90
PLATE SEQUENCE	SP2U				
PLATE ID	32	AE	SEC CCO	sec	sec
PLATE DD	50.000	AF	SEC CCO	mm	mm
PLATE DO	6000	Wdt	460082.5	mm	mm
PLATE TENS			3040.7	mm	mm
PLATE HYPHEN			Hyphen		
PLATE D2O			D2O		
PLATE SCALES					
PLATE PROCESSING					

Figura C-9. Espectro de R.M.N. de 17_O da 2-N,N-Dimetilaminocloexanona.

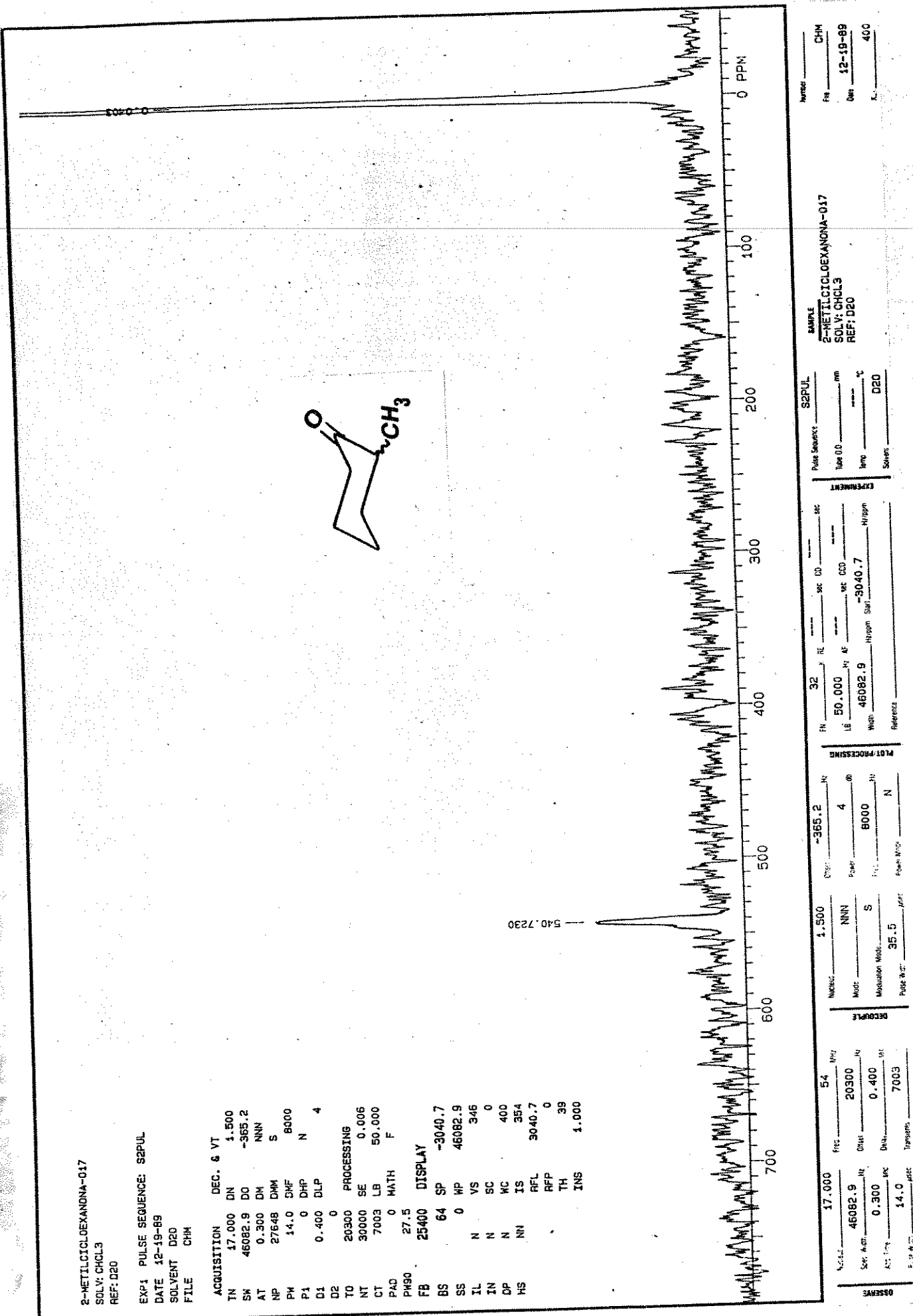


Figura C-10. Espectro de R.M.N. de O_2 da 2-metilciclopentana.

2-T-BUTYLICLOEXANONA-017
SOLV: CHCl₃
REF: D20

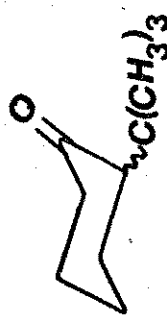
EXP1 PULSE SEQUENCE: S2PUL

DATE 12-19-89

SOLVENT D20

FILE CHTB

ACQUISITION	DEC.	6 VT	
TN	17.000	DN	1.500
SN	46082.9	DO	-365.2
AT	0.300	DH	NNN
NP	27648	DHM	S
PH	14.0	DHF	8000
P1	0	DHP	N
D1	0.400	DLP	4
D2	0		
TO	20300	PROCESSING	
NT	30000	SE	0.006
CT	8215	LB	50.000
PAD	0	MATH	F
PW90	27.5		



FB 25400 DISPLAY

BS 64 SP -3046.3

SS 0 WP 46082.9

IL N VS 420

ZN N SC 0

DP N WC 400

HS NN IS 354

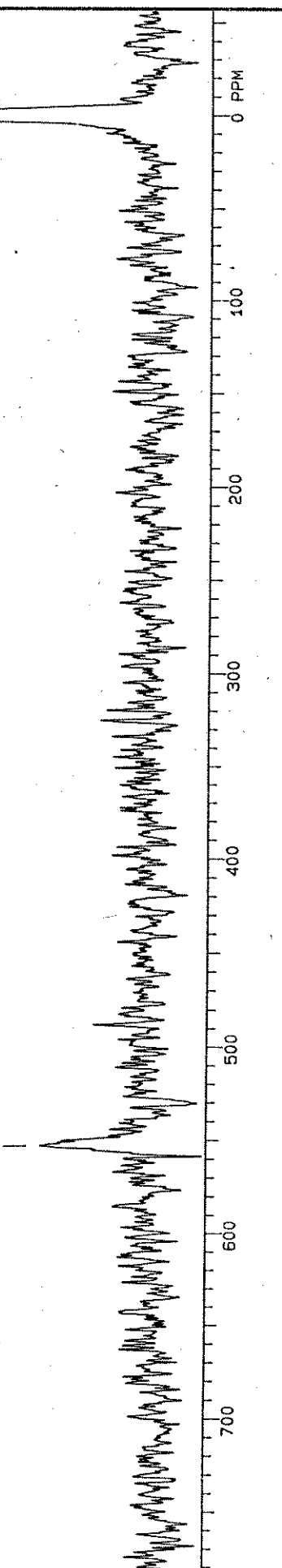
RFL 3046.3

RFP 0

TH 34

INS 1.000

553.0704



NUCLEUS	17.000	freq	54	NUCLEUS	1.500	freq	-365.2	NUCLEUS	32	freq	sec	CD	sec	MC	Pulse Source	S2PUL	SAMPLE
Spec Nucld	46082.9	H1	Offst	20300	H1			NuN	50.000	sec	0.00						2-T-BUTYLICLOEXANONA-017
Ave T1ms	0.300	sec	Delay	0.400				Modulation	4	sec	0.00						SOLV: CHCl ₃
Pulse W1c	14.0	sec	Transit	8215				Modulation	8000	Hz	46082.9						REF: D20
								Decoupling	35.5	Hz	-3046.3						Date 12-19-89
								Power Mod									Teng --- °C
								Reference									Solvent D20
																	Acq. 400

Figura C-11. Espectro de R.M.N. de ¹³C da 2-t-butilcicloexanona.